



ใบรับรองวิทยานิพนธ์
บัณฑิตวิทยาลัย มหาวิทยาลัยเกษตรศาสตร์

วิศวกรรมศาสตร์มหาบัณฑิต (วิศวกรรมเคมี)

ปริญญา

วิศวกรรมเคมี

สาขา

วิศวกรรมเคมี

ภาควิชา

เรื่อง ศึกษาความเป็นไปได้ในการผลิตกรดอะมิโนชนิดแอล-ฟีนิโลลามีนจากกลีเซอรอลดิบ
ในกระบวนการผลิตไบโอดีเซล

Potential of L-phenylalanine Production from Raw Glycerol of Biodiesel Process

นามผู้วิจัย นายสุภชัย ฤกษ์เกย์

ได้พิจารณาเห็นชอบโดย

อาจารย์ที่ปรึกษาวิทยานิพนธ์หลัก

(ผู้ช่วยศาสตราจารย์อนุสิทธิ์ ธนาพิมพ์เมฆา, D.Eng.)

อาจารย์ที่ปรึกษาวิทยานิพนธ์ร่วม

(รองศาสตราจารย์เพ็ญจิตร ศรีนพคุณ, Ph.D.)

หัวหน้าภาควิชา

(รองศาสตราจารย์ผ่องพาย พรรณดี, Ph.D.)

บัณฑิตวิทยาลัย มหาวิทยาลัยเกษตรศาสตร์รับรองแล้ว

(รองศาสตราจารย์กัญจนा ธีระกุล, D.Agr.)

คณบดีบัณฑิตวิทยาลัย

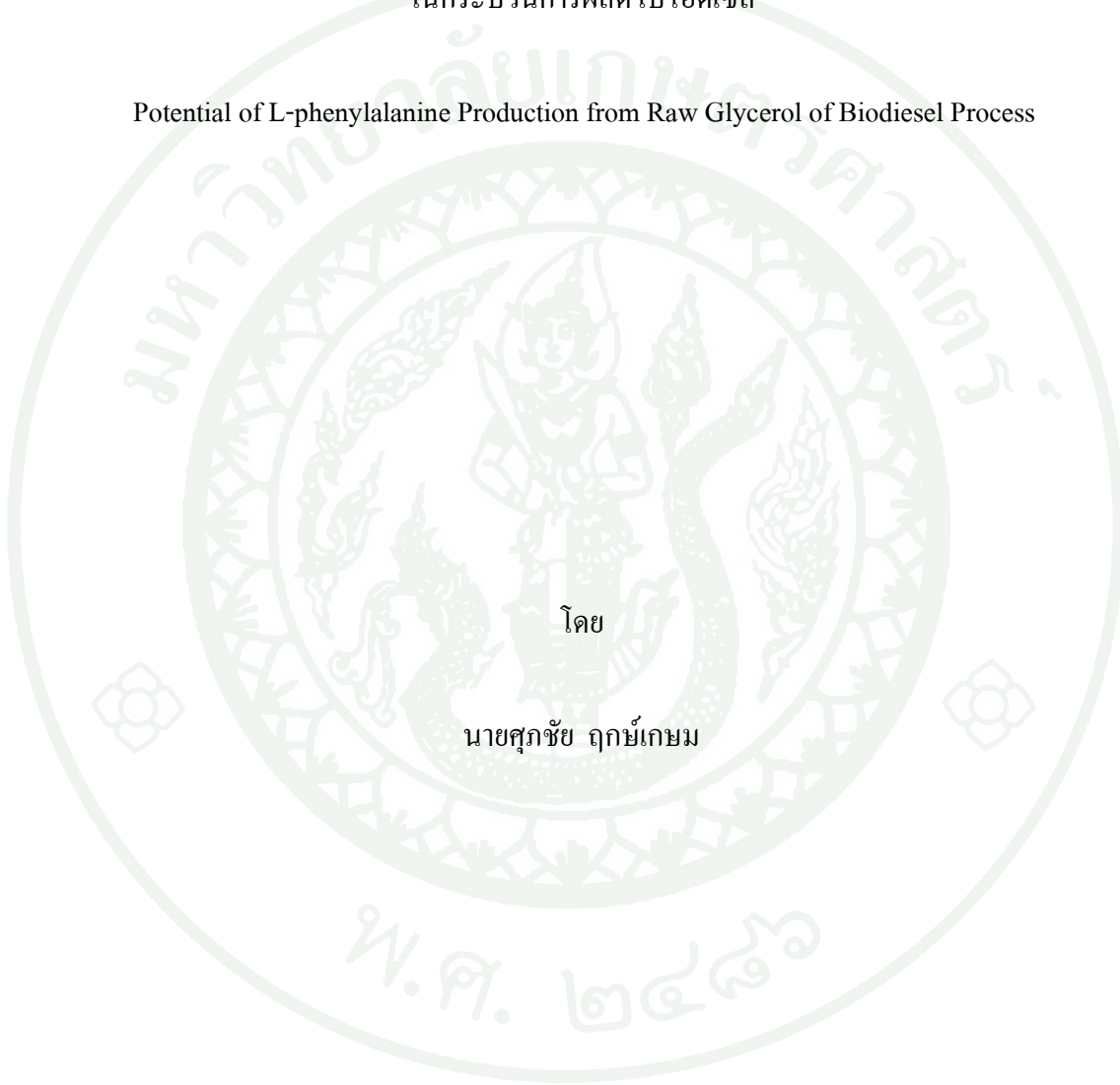
วันที่ เดือน พ.ศ.

วิทยานิพนธ์

เรื่อง

ศึกษาความเป็นไปได้ในการผลิตกรดอะมิโนชนิดแอล-ฟีนิลอะลานีนจากกลีเซอรอลดิบ
ในกระบวนการผลิตไบโอดีเซล

Potential of L-phenylalanine Production from Raw Glycerol of Biodiesel Process



เสนอ

บัณฑิตวิทยาลัย มหาวิทยาลัยเกษตรศาสตร์
เพื่อความสมบูรณ์แห่งปริญญาวิศวกรรมศาสตรมหาบัณฑิต (วิศวกรรมเคมี)
พ.ศ. 2553

สิงหนาท นิตาวิทยาลัยเกษตรศาสตร์

ศุภชัย ฤกษ์เกynom 2553: ศึกษาความเป็นไปได้ในการผลิตกรดอะมิโนชนิดแอล-ฟีนิล
อะลานีนจากกลีเซอโรลดินในกระบวนการผลิตไบโอดีเซล บริษัทวิศวกรรมศาสตร
มหาบันพิท (วิศวกรรมเคมี) สาขาวิศวกรรมเคมี ภาควิชาเคมี อาจารย์ที่ปรึกษา
วิทยานิพนธ์หลัก: ผู้ช่วยศาสตราจารย์อนุสิทธิ์ ชนะพิมพ์เมฆา, D.Eng. 131 หน้า

งานวิจัยนี้ได้ศึกษาถึงความเป็นไปได้ในการใช้กลีเซอโรลดินที่ได้จากโรงงานในกระบวนการผลิตไบโอดีเซลจากน้ำมันปาล์ม RBD สำหรับเป็นแหล่งคาร์บอนในการเพาะเลี้ยงแบคทีเรีย *Escherichia coli* BL21 (DE3) ที่ผ่านการดัดแปลงพันธุกรรม เพื่อใช้ในการผลิตกรดอะมิโนชนิดแอล-ฟีนิลอะลานีน โดยกลีเซอโรลดินจากการกระบวนการผลิตไบโอดีเซลมีปริมาณกลีเซอโรล 76 เปอร์เซ็นต์ สูง 7.9 เปอร์เซ็นต์ และ เถ้า 3.9 เปอร์เซ็นต์โดยน้ำหนัก ตามลำดับ กลีเซอโรลดินได้ถูกนำมาปรับปรุงคุณภาพให้บริสุทธิ์ขึ้นด้วยการเติมกรดซัลฟิวริกเข้มข้น โดยปรับพีเอชของกลีเซอโรลดินให้มีค่าลดลงจาก 12 เป็น 6.5 4.3 และ 2 ตามลำดับ พนวจเมื่อเติมกรดซัลฟิวริกเข้มข้นลงในกลีเซอโรลดิน ทำให้กลีเซอโรลดินเกิดการแยกชั้นเป็นสามชั้น ชั้นบนคือชั้นกรดไขมันอิสระ ชั้นกลางคือชั้นกลีเซอโรล และชั้นล่างคือชั้นเกลือซัลไฟต์ เมื่อทำการวิเคราะห์หาองค์ประกอบชั้นกลีเซอโรลที่แยกออกมาก็ได้ พนวจว่ากลีเซอโรลดินที่ถูกปรับค่าพีเอชให้ต่ำจะมีความบริสุทธิ์เพิ่มขึ้น โดยกลีเซอโรลที่ผ่านการปรับค่าพีเอชเป็น 3 มีความบริสุทธิ์สูงสุดเป็น 91 เปอร์เซ็นต์โดยน้ำหนัก มีปริมาณเถ้าเท่ากับ 2.59 เปอร์เซ็นต์โดยน้ำหนัก และไม่พบว่ามีสูง หลงเหลืออยู่ในชั้นกลีเซอโรลเลย อายุของตัวอย่างที่ใช้ในการวิจัยนี้คือ 36 ชั่วโมง พนวจว่าแบคทีเรียนิดนี้สามารถเจริญได้ดีที่สุดในกลีเซอโรลดินที่ผ่านการทำให้บริสุทธิ์ขึ้นด้วยกรด และกลีเซอโรลเกรดคุณภาพพิเศษ (ที่มีความบริสุทธิ์ 99.5 เปอร์เซ็นต์โดยน้ำหนัก) ที่ความเข้มข้น 5 10 30 และ 50 กรัมต่อลิตร ในการเพาะเลี้ยง *E. coli* BL21 (DE3) เป็นเวลา 36 ชั่วโมง พนวจว่าแบคทีเรียนิดนี้สามารถเจริญได้ดีที่สุดในกลีเซอโรลดินอาหารเลี้ยงเชื้อที่มีกลีเซอโรลดินเข้มข้น 30 กรัมต่อลิตรให้ค่าน้ำหนักเซลล์แห้งของแบคทีเรียและความเข้มข้นของกรดอะมิโนชนิดแอล-ฟีนิลอะลานีนสูงที่สุดเท่ากับ 3.47 กรัมต่อลิตร และ 55.2 มิลลิกรัมต่อลิตรตามลำดับ จากผลการทดลองนี้ชี้ให้เห็นว่ากลีเซอโรลดินจากกระบวนการผลิตไบโอดีเซลจากน้ำมันปาล์ม RBD เป็นแหล่งคาร์บอนที่น่าสนใจอย่างยิ่งสำหรับการเพาะเลี้ยง *E. coli* BL21 (DE3)

Supachai Reakasame 2010: Potential of L-phenylalanine Production from Raw Glycerol of Biodiesel Process. Master of Engineering (Chemical Engineering), Major Field: Chemical Engineering, Department of Chemical Engineering. Thesis Advisor: Assistant Professor Anusith Thanapimmetha, D.Eng. 131 pages.

The possibility of using raw glycerol from RBD palm oil biodiesel process for bacteria growth and L-phenylalanine production using recombinant *Escherichia coli* BL21 (DE3) was investigated. Raw glycerol from the biodiesel industry with 76% (w/w) glycerol content was pretreated with concentrated sulfuric acid to reduce the amount of impurities which were 7.9% (w/w) of soap and 3.9% (w/w) of ash. The acid was added into raw glycerol until the pH of raw glycerol decreased from 12 to 6, 5, 4, 3 and 2, respectively. After that, raw glycerol was separated into 3 phases: free fatty acid (top phase), glycerol (middle phase) and sulfate salt (bottom phase). The recovered glycerol phase was analyzed to determine the glycerol composition. The results showed that glycerol content in the recovered glycerol phase increased when the pH of acid-pretreated glycerol decreased. The pH 3 acid-pretreated glycerol contained 91% (w/w) glycerol, 2.59% (w/w) ash and non-detectable level of soap. Then raw glycerol, acid-pretreated glycerol and USP grade glycerol (99.5% w/w) at the concentration of 5, 10, 30 and 50 g/L were used as a carbon source in culturing *E. coli* BL21 (DE3). The results showed that the cells were able to use raw glycerol efficiently for their growth. The cell dry weight and L-phenylalanine concentration obtained after 36 h of cultivation from raw glycerol were much higher than that from the other kinds of glycerol. The highest cell dry weight (3.47 g/L) and L-phenylalanine concentration (55.2 mg/L) were obtained from the medium containing 30 g/L of raw glycerol. The results indicated that raw glycerol from RBD palm oil biodiesel is an interesting carbon source for *E. coli* BL21 (DE3) cultivation.

Student's signature

Thesis Advisor's signature

กิตติกรรมประกาศ

ข้าพเจ้าขอขอบพระคุณ ผู้ช่วยศาสตราจารย์ ดร.อนุสิษฐ์ ชนะพิมพ์เมฆา ประธานกรรมการที่ปรึกษาที่คืออยู่แล้ว ให้คำแนะนำ และทำปรึกษาในการแก้ปัญหาต่าง ๆ ที่เกิดขึ้นตลอดการศึกษาวิจัย ขอขอบพระคุณ รองศาสตราจารย์ ดร. เพ็ญจิตร ศรีนพคุณ ที่กรุณาให้คำปรึกษา คำแนะนำ และช่วยตรวจสอบแก้ไขวิทยานิพนธ์ฉบับนี้จนเสร็จสมบูรณ์ ขอขอบพระคุณ ผู้ช่วยศาสตราจารย์ ดร. กนกพิพิชญ์ ภักดีบำรุง ที่ให้ความอนุเคราะห์จุดนทรีย์เพื่อใช้ในการศึกษาวิจัย และให้คำแนะนำในการวิเคราะห์ผลการวิจัย อีกทั้งขอบพระคุณ รองศาสตราจารย์ ดร. ไพบูลย์ คงกาญญา ที่กรุณาสละเวลาเพื่อเป็นคณะกรรมการในการสอบวิทยานิพนธ์ รวมถึงให้คำแนะนำ และแนวคิดที่เป็นประโยชน์อย่างยิ่งต่อผู้จัดทำ

ขอขอบคุณ บริษัทนำมันพีชปทุม จำกัด ที่ให้ความอนุเคราะห์ก่อตั้งและสนับสนุนในการวิจัย

ขอขอบคุณห้องปฏิบัติการวิศวกรรมชีวกระบวนการ และภาควิชาวิศวกรรมเคมี ที่เอื้อเฟื้อสถานที่ เครื่องมือและอุปกรณ์ต่างๆ ในการทำวิทยานิพนธ์ และ ขอขอบคุณ เจ้าหน้าที่ภาควิชาวิศวกรรมเคมี รวมถึง เพื่อน ๆ พี่ ๆ น้อง ๆ ในภาควิชาวิศวกรรมเคมี ที่ให้การสนับสนุนในการทำวิทยานิพนธ์มาโดยตลอด

ขอขอบคุณสถาบันวิจัยและพัฒนาแห่งมหาวิทยาลัยเกษตรศาสตร์ (KURDI) ศูนย์ความเป็นเลิศแห่งชาติด้านปีโตรเคมี ปีโตรเคมีและวัสดุขั้นสูง และบัณฑิตวิทยาลัยมหาวิทยาลัยเกษตรศาสตร์ ที่ให้การสนับสนุนในด้านทุนวิจัยและส่งเสริมการทำวิทยานิพนธ์

สุดท้ายนี้ขอกราบขอบพระคุณ บิดา-มารดา ญาติพี่น้องที่เป็นกำลังใจเสมอมา จนสำเร็จการศึกษา

ศุภชัย ฤกษ์เกย์
กุมภาพันธ์ 2553

สารบัญ

หน้า

สารบัญ	(1)
สารบัญตาราง	(2)
สารบัญภาพ	(4)
คำนำ	1
วัตถุประสงค์และขอบเขตงานวิจัย	4
การตรวจเอกสาร	5
อุปกรณ์และวิธีการ	50
อุปกรณ์	50
วิธีการ	53
ผลและวิจารณ์	58
สรุปและข้อเสนอแนะ	78
สรุป	78
ข้อเสนอแนะ	79
เอกสารและสิ่งอ้างอิง	80
ภาคผนวก	87
ภาคผนวก ก การวิเคราะห์หาปริมาณกลีเซอรอล	88
ภาคผนวก ข การวิเคราะห์หาปริมาณกรดอะมิโนชนิดแอล-ฟีนิลอะลานีน	93
ภาคผนวก ค การคำนวณปริมาณสูญ	97
ภาคผนวก ง โพรมาโตแกรมการวิเคราะห์ปริมาณกรดอะมิโน	99
ภาคผนวก จ ผลการวิเคราะห์ต่าง ๆ	124
ประวัติการศึกษาและการทำงาน	131

สารบัญตาราง

ตารางที่	หน้า
1 คุณสมบัติทางกายภาพของกลีเซอรอล	6
2 งานวิจัยที่ใช้กลีเซอรอลดินในการเพาะเลี้ยงจุลินทรีย์	23
3 ปริมาณกรดไขมันชนิดต่าง ๆ ในน้ำมันปาล์มดิน	27
4 รายชื่อ และสูตร โมเลกุล ของกรดอะมิโนชนิดต่าง ๆ	32
5 ปริมาณกรดอะมิโนจำเป็นที่ผู้ใหญ่ และเด็กควรได้รับในแต่ละวัน	35
6 ลักษณะของกลีเซอรอลที่ผ่านการปรับค่าพีเอชด้วยกรดซัลฟิวริกเข้มข้น	60
7 เปอร์เซ็นต์โดยน้ำหนักของชั้นกรดไขมันอิสระ ชั้นกลีเซอรอล และชั้นเกลือ ที่แยกได้หลังการปั่นเหวี่ยงกลีเซอรอลดินที่ผ่านการปรับพีเอชด้วยกรดซัลฟิวริก	63
ตารางผนวกที่	
ก1 ปริมาณสารที่ใช้ในการเตรียมกราฟมาตรฐานในการวิเคราะห์ปริมาณกลีเซอรอล	91
ก2 ค่าการดูดกลืนแสงของสารคลายกลีเซอรอลมาตรฐานที่ใช้ในการเตรียมกราฟมาตรฐานในการวิเคราะห์กลีเซอรอล	91
ข1 ค่าพื้นที่ให้กราฟของกรดอะมิโนชนิดแอล-ฟินิโลลานีนที่ทำการวิเคราะห์ด้วยเครื่องโคมไฟโอลิฟของเหลวแบบสมรรถนะสูง	96
ข1 ค่าการวิเคราะห์ปริมาณสูญในชั้นกลีเซอรอล	125
ข2 ค่าการวิเคราะห์ปริมาณถ้าในชั้นกลีเซอรอล	125
ข3 ค่าการวิเคราะห์ค่าความบริสุทธิ์ของกลีเซอรอล	126
ข4 น้ำหนักเซลล์แห้งของ <i>Escherichia coli</i> BI21 (DE3) ที่ได้จากการเพาะเลี้ยงในอาหารที่มีกลีเซอรอลชนิดต่าง ๆ ที่ความเข้มข้นต่าง ๆ เป็นแหล่งการรับอน	127
ข5 ปริมาณกรดอะมิโนชนิดแอล-ฟินิโลลานีนที่ได้จากการเพาะเลี้ยง <i>Escherichia coli</i> BI21 (DE3) ในอาหารที่มีกลีเซอรอลชนิดต่าง ๆ ที่ความเข้มข้นต่าง ๆ เป็นแหล่งการรับอน	129

สารบัญตาราง (ต่อ)

ตารางพนวกที่	หน้า
จ6 น้ำหนักเซลล์แห้งของ <i>Escherichia coli</i> BL21 (DE3) ที่ได้จากเพาะเลี้ยงในอาหารที่ทำการแยกสู่ออกเปรี้ยบเทียบ กับอาหารที่ไม่ได้แยกสู่ออก	130
จ7 น้ำหนักเซลล์แห้งของ <i>Escherichia coli</i> BL21 (DE3) ที่ได้จากเพาะเลี้ยงในอาหารที่มีโซเดียมซัลเฟตความเข้มข้นต่าง ๆ	130

สารบัญภาพ

ภาพที่	หน้า
1 สูตรโภชสารสร้างของกลีเซอรอล	5
2 ปฏิกิริยาสaponification เข้นระห่วง ไตรกลีเซอไรด์ กับ ด่าง	10
3 ปฏิกิริยาที่ใช้ในการสังเคราะห์กลีเซอรอลด้วยวิธีทางเคมี	12
4 ปฏิกิริยาทรานส์อสเทอโรฟิเกชันระห่วง ไตรกลีเซอไรด์และแอลกอฮอล์	15
5 ขั้นตอนในการเกิดปฏิกิริยาทรานส์อสเทอโรฟิเกชัน	16
6 ปฏิกิริยาสaponification เข้นระห่วงกรดไขมันอิสระ กับด่างเร่งปฏิกิริยาประเภทด่าง	17
7 กระบวนการผลิตใบโอดีเซลในอุตสาหกรรม	21
8 ลักษณะของผลปาล์มน้ำมันที่ติดอยู่กับทะเลย	24
9 ลักษณะของผลปาล์มน้ำมันผ่าซีก	25
10 แผนภาพแสดงกระบวนการผลิตน้ำมันปาล์ม	30
11 โภชสารสร้างของกรดอะมิโน	31
12 การเรียงตัวในสามมิติของกรดอะมิโน	34
13 สูตรโภชสารสร้างของกรดอะมิโนชนิด ฟินิโลลามานีน	43
14 แบคทีเรีย <i>Escherichia coli</i>	43
15 ปฏิกิริยาการกำจัดเอาหมู่แมลงมิโนออกจากกรดอะมิโนชนิดแอล-ฟินิโลลามานีน	45
16 ขั้นตอนการเติมกรดเพื่อปรับปรุงคุณภาพกลีเซอรอลดิน	54
17 กลีเซอรอลดินจากกระบวนการผลิตใบโอดีเซล	60
18 ปฏิกิริยาระห่วงสนูในกลีเซอรอลดินกับกรดซัลฟิวริก	60
19 ปริมาณสนูในกลีเซอรอลดิน และกลีเซอรอลที่ผ่านการปรับค่าพีเอชด้วยกรดซัลฟิวริก	64
20 ปริมาณเหล้าในกลีเซอรอลดินและกลีเซอรอลที่ผ่านการปรับค่าพีเอชด้วยกรดซัลฟิวริก	66
21 ปริมาณกลีเซอรอลในกลีเซอรอลดินและกลีเซอรอลที่ผ่านการปรับค่าพีเอชด้วยกรดซัลฟิวริก	67

สารบัญภาพ (ต่อ)

ภาพที่	หน้า
22 นำหนักเซลล์แห้งของ <i>E. coli</i> BL21 (DE3) ที่ได้จากการเพาะเลี้ยงในอาหารที่มีกลีเซอรอลนิดต่าง ๆ ที่ความเข้มข้นต่าง ๆ เป็นแหล่งคาร์บอน ในชั่วโมงที่ 36	69
23 ปริมาณกรดอะมิโนชนิดแอล-ฟินิโลลาานีน ที่ได้จากการเพาะเลี้ยง <i>E. coli</i> BL21 (DE3) ในอาหารที่มีกลีเซอรอลนิดต่าง ๆ ที่ความเข้มข้นต่าง ๆ เป็นแหล่งคาร์บอน ในชั่วโมงที่ 36	74
24 นำหนักเซลล์แห้งของ <i>E. coli</i> BL21 (DE3) ที่ได้จากการเพาะเลี้ยงในอาหารที่มีโซเดียมซัลเฟตความเข้มข้นต่าง ๆ	75
25 ลักษณะของอาหารเลี้ยงเชื้อเมื่อทำการทดสอบกลีเซอรอลดิน_be_กับสารอาหารอื่น ๆ ในน้ำกลั่น	76
26 นำหนักเซลล์แห้งของ <i>E. coli</i> BL21 (DE3) ที่ได้จากการเพาะเลี้ยงในอาหารที่ที่ทำการแยกชั้นของเหลวสีขาวออกเปรียบเทียบ กับอาหารที่ไม่ได้แยกชั้นของเหลวสีขาวออก	77
 ภาพผนวกที่	
ก1 กราฟมาตราฐานในการวิเคราะห์ปริมาณกลีเซอรอล	92
ข1 กราฟมาตราฐานในการวิเคราะห์ปริมาณกรดอะมิโนชนิดแอล-ฟินิโลลาานีนด้วยเครื่องโคมไฟโตกราฟของเหลวแบบสมรรถนะสูง	96
ง1 โคมไฟโตแกรมผลการวิเคราะห์ปริมาณกรดอะมิโนชนิดแอล-ฟินิโลลาานีนในน้ำเลี้ยงเชื้อ <i>E. coli</i> BL21 (DE3) ที่ใช้กลีเซอรอลบริสุทธิ์เกรดญี่ปุ่น ความเข้มข้น 5 กรัมต่อลิตร เป็นแหล่งคาร์บอน(การทดลองช้ำที่ 1)	100
ง2 โคมไฟโตแกรมผลการวิเคราะห์ปริมาณกรดอะมิโนชนิดแอล-ฟินิโลลาานีนในน้ำเลี้ยงเชื้อ <i>E. coli</i> BL21 (DE3) ที่ใช้กลีเซอรอลบริสุทธิ์เกรดญี่ปุ่น ความเข้มข้น 5 กรัมต่อลิตร เป็นแหล่งคาร์บอน(การทดลองช้ำที่ 2)	100
ง3 โคมไฟโตแกรมผลการวิเคราะห์ปริมาณกรดอะมิโนชนิดแอล-ฟินิโลลาานีนในน้ำเลี้ยงเชื้อ <i>E. coli</i> BL21 (DE3) ที่ใช้กลีเซอรอลบริสุทธิ์เกรดญี่ปุ่น ความเข้มข้น 5 กรัมต่อลิตรเป็นแหล่งคาร์บอน (การทดลองช้ำที่ 3)	101

สารบัญภาพ (ต่อ)

ภาพพนวกที่	หน้า
ง4 โครมาโต้แกรมผลการวิเคราะห์ปริมาณกรดอะมิโนชนิดแอล-ฟินิโละลานีนในน้ำเดือยเชื้อ <i>E. coli</i> BL21 (DE3) ที่ใช้กลีเซอรอลบริสุทธิ์เกรดมูอสพี ความเข้มข้น 10 กรัมต่อลิตรเป็นแหล่งคาร์บอน (การทดลองช้าที่ 1)	101
ง5 โครมาโต้แกรมผลการวิเคราะห์ปริมาณกรดอะมิโนชนิดแอล-ฟินิโละลานีนในน้ำเดือยเชื้อ <i>E. coli</i> BL21 (DE3) ที่ใช้กลีเซอรอลบริสุทธิ์เกรดมูอสพี ความเข้มข้น 10 กรัมต่อลิตรเป็นแหล่งคาร์บอน (การทดลองช้าที่ 2)	102
ง6 โครมาโต้แกรมผลการวิเคราะห์ปริมาณกรดอะมิโนชนิดแอล-ฟินิโละลานีนในน้ำเดือยเชื้อ <i>E. coli</i> BL21 (DE3) ที่ใช้กลีเซอรอลบริสุทธิ์เกรดมูอสพี ความเข้มข้น 10 กรัมต่อลิตรเป็นแหล่งคาร์บอน (การทดลองช้าที่ 3)	102
ง7 โครมาโต้แกรมผลการวิเคราะห์ปริมาณกรดอะมิโนชนิดแอล-ฟินิโละลานีนในน้ำเดือยเชื้อ <i>E. coli</i> BL21 (DE3) ที่ใช้กลีเซอรอลบริสุทธิ์เกรดมูอสพี ความเข้มข้น 30 กรัมต่อลิตรเป็นแหล่งคาร์บอน(การทดลองช้าที่ 1)	103
ง8 โครมาโต้แกรมผลการวิเคราะห์ปริมาณกรดอะมิโนชนิดแอล-ฟินิโละลานีนในน้ำเดือยเชื้อ <i>E. coli</i> BL21 (DE3) ที่ใช้กลีเซอรอลบริสุทธิ์เกรดมูอสพี ความเข้มข้น 30 กรัมต่อลิตรเป็นแหล่งคาร์บอน(การทดลองช้าที่ 2)	103
ง9 โครมาโต้แกรมผลการวิเคราะห์ปริมาณกรดอะมิโนชนิดแอล-ฟินิโละลานีนในน้ำเดือยเชื้อ <i>E. coli</i> BL21 (DE3) ที่ใช้กลีเซอรอลบริสุทธิ์เกรดมูอสพี ความเข้มข้น 30 กรัมต่อลิตรเป็นแหล่งคาร์บอน(การทดลองช้าที่ 3)	104
ง10 โครมาโต้แกรมผลการวิเคราะห์ปริมาณกรดอะมิโนชนิดแอล-ฟินิโละลานีนในน้ำเดือยเชื้อ <i>E. coli</i> BL21 (DE3) ที่ใช้กลีเซอรอลบริสุทธิ์เกรดมูอสพี ความเข้มข้น 50 กรัมต่อลิตรเป็นแหล่งคาร์บอน(การทดลองช้าที่ 1)	104
ง11 โครมาโต้แกรมผลการวิเคราะห์ปริมาณกรดอะมิโนชนิดแอล-ฟินิโละลานีนในน้ำเดือยเชื้อ <i>E. coli</i> BL21 (DE3) ที่ใช้กลีเซอรอลบริสุทธิ์เกรดมูอสพี ความเข้มข้น 50 กรัมต่อลิตรเป็นแหล่งคาร์บอน (การทดลองช้าที่ 2)	105

สารบัญภาพ (ต่อ)

ภาพพนวกที่	หน้า
ง12 โครมาโต้แกรมผลการวิเคราะห์ปริมาณกรดอะมิโนชนิดแอล-ฟินิโละลานีนในน้ำเดือยเชื้อ <i>E. coli</i> BL21 (DE3) ที่ใช้กลีเซอรอลบริสุทธิ์เกรดมูเอสพี ความเข้มข้น 50 กรัมต่อลิตรเป็นแหล่งคาร์บอน (การทดลองช้ำที่ 3)	105
ง13 โครมาโต้แกรมผลการวิเคราะห์ปริมาณกรดอะมิโนชนิดแอล-ฟินิโละลานีนในน้ำเดือยเชื้อ <i>E. coli</i> BL21 (DE3) ที่ใช้กลีเซอรอลดิบที่ผ่านการปรับค่าพีโซชเป็น 3 ความเข้มข้น 5 กรัมต่อลิตรเป็นแหล่งคาร์บอน (การทดลองช้ำที่ 1)	106
ง14 โครมาโต้แกรมผลการวิเคราะห์ปริมาณกรดอะมิโนชนิดแอล-ฟินิโละลานีนในน้ำเดือยเชื้อ <i>E. coli</i> BL21 (DE3) ที่ใช้กลีเซอรอลดิบที่ผ่านการปรับค่าพีโซชเป็น 3 ความเข้มข้น 5 กรัมต่อลิตรเป็นแหล่งคาร์บอน (การทดลองช้ำที่ 2)	106
ง15 โครมาโต้แกรมผลการวิเคราะห์ปริมาณกรดอะมิโนชนิดแอล-ฟินิโละลานีนในน้ำเดือยเชื้อ <i>E. coli</i> BL21 (DE3) ที่ใช้กลีเซอรอลดิบที่ผ่านการปรับค่าพีโซชเป็น 3 ความเข้มข้น 5 กรัมต่อลิตรเป็นแหล่งคาร์บอน (การทดลองช้ำที่ 3)	107
ง16 โครมาโต้แกรมผลการวิเคราะห์ปริมาณกรดอะมิโนชนิดแอล-ฟินิโละลานีนในน้ำเดือยเชื้อ <i>E. coli</i> BL21 (DE3) ที่ใช้กลีเซอรอลดิบที่ผ่านการปรับค่าพีโซชเป็น 3 ความเข้มข้น 10 กรัมต่อลิตรเป็นแหล่งคาร์บอน (การทดลองช้ำที่ 1)	107
ง17 โครมาโต้แกรมผลการวิเคราะห์ปริมาณกรดอะมิโนชนิดแอล-ฟินิโละลานีนในน้ำเดือยเชื้อ <i>E. coli</i> BL21 (DE3) ที่ใช้กลีเซอรอลดิบที่ผ่านการปรับค่าพีโซชเป็น 3 ความเข้มข้น 10 กรัมต่อลิตรเป็นแหล่งคาร์บอน (การทดลองช้ำที่ 2)	108
ง18 โครมาโต้แกรมผลการวิเคราะห์ปริมาณกรดอะมิโนชนิดแอล-ฟินิโละลานีนในน้ำเดือยเชื้อ <i>E. coli</i> BL21 (DE3) ที่ใช้กลีเซอรอลดิบที่ผ่านการปรับค่าพีโซชเป็น 3 ความเข้มข้น 10 กรัมต่อลิตรเป็นแหล่งคาร์บอน (การทดลองช้ำที่ 3)	108
ง19 โครมาโต้แกรมผลการวิเคราะห์ปริมาณกรดอะมิโนชนิดแอล-ฟินิโละลานีนในน้ำเดือยเชื้อ <i>E. coli</i> BL21 (DE3) ที่ใช้กลีเซอรอลดิบที่ผ่านการปรับค่าพีโซชเป็น 3 ความเข้มข้น 30 กรัมต่อลิตรเป็นแหล่งคาร์บอน (การทดลองช้ำที่ 1)	109

สารบัญภาพ (ต่อ)

ภาพพนวกที่	หน้า
ง20 โครมาโต้แกรมผลการวิเคราะห์ปริมาณกรดอะมิโนชนิดแอล-ฟินิโละลานีนในน้ำเดือยเชื้อ <i>E. coli</i> BL21 (DE3) ที่ใช้กลีเซอรอลดิบที่ผ่านการปรับค่าพีเอชเป็น 3 ความเข้มข้น 30 กรัมต่อลิตรเป็นแหล่งคาร์บอน (การทดลองชำที่ 2)	109
ง21 โครมาโต้แกรมผลการวิเคราะห์ปริมาณกรดอะมิโนชนิดแอล-ฟินิโละลานีนในน้ำเดือยเชื้อ <i>E. coli</i> BL21 (DE3) ที่ใช้กลีเซอรอลดิบที่ผ่านการปรับค่าพีเอชเป็น 3 ความเข้มข้น 30 กรัมต่อลิตรเป็นแหล่งคาร์บอน (การทดลองชำที่ 3)	110
ง22 โครมาโต้แกรมผลการวิเคราะห์ปริมาณกรดอะมิโนชนิดแอล-ฟินิโละลานีนในน้ำเดือยเชื้อ <i>E. coli</i> BL21 (DE3) ที่ใช้กลีเซอรอลดิบที่ผ่านการปรับค่าพีเอชเป็น 3 ความเข้มข้น 50 กรัมต่อลิตรเป็นแหล่งคาร์บอน (การทดลองชำที่ 1)	110
ง23 โครมาโต้แกรมผลการวิเคราะห์ปริมาณกรดอะมิโนชนิดแอล-ฟินิโละลานีนในน้ำเดือยเชื้อ <i>E. coli</i> BL21 (DE3) ที่ใช้กลีเซอรอลดิบที่ผ่านการปรับค่าพีเอชเป็น 3 ความเข้มข้น 50 กรัมต่อลิตรเป็นแหล่งคาร์บอน (การทดลองชำที่ 2)	111
ง24 โครมาโต้แกรมผลการวิเคราะห์ปริมาณกรดอะมิโนชนิดแอล-ฟินิโละลานีนในน้ำเดือยเชื้อ <i>E. coli</i> BL21 (DE3) ที่ใช้กลีเซอรอลดิบที่ผ่านการปรับค่าพีเอชเป็น 3 ความเข้มข้น 50 กรัมต่อลิตรเป็นแหล่งคาร์บอน (การทดลองชำที่ 3)	111
ง25 โครมาโต้แกรมผลการวิเคราะห์ปริมาณกรดอะมิโนชนิดแอล-ฟินิโละลานีนในน้ำเดือยเชื้อ <i>E. coli</i> BL21 (DE3) ที่ใช้กลีเซอรอลดิบที่ผ่านการปรับค่าพีเอชเป็น 5 ความเข้มข้น 5 กรัมต่อลิตรเป็นแหล่งคาร์บอน (การทดลองชำที่ 1)	112
ง26 โครมาโต้แกรมผลการวิเคราะห์ปริมาณกรดอะมิโนชนิดแอล-ฟินิโละลานีนในน้ำเดือยเชื้อ <i>E. coli</i> BL21 (DE3) ที่ใช้กลีเซอรอลดิบที่ผ่านการปรับค่าพีเอชเป็น 5 ความเข้มข้น 5 กรัมต่อลิตรเป็นแหล่งคาร์บอน (การทดลองชำที่ 2)	112
ง27 โครมาโต้แกรมผลการวิเคราะห์ปริมาณกรดอะมิโนชนิดแอล-ฟินิโละลานีนในน้ำเดือยเชื้อ <i>E. coli</i> BL21 (DE3) ที่ใช้กลีเซอรอลดิบที่ผ่านการปรับค่าพีเอชเป็น 5 ความเข้มข้น 5 กรัมต่อลิตรเป็นแหล่งคาร์บอน (การทดลองชำที่ 3)	113

สารบัญภาพ (ต่อ)

ภาพพนวกที่	หน้า
ง28 โครมาโต้แกรมผลการวิเคราะห์ปริมาณกรดอะมิโนชนิดแอล-ฟินิโละลานีนในน้ำเดือยเชื้อ <i>E. coli</i> BL21 (DE3) ที่ใช้กลีเซอรอลดิบที่ผ่านการปรับค่าพีเอชเป็น 5 ความเข้มข้น 10 กรัมต่อลิตรเป็นแหล่งคาร์บอน (การทดลองชำที่ 1)	113
ง29 โครมาโต้แกรมผลการวิเคราะห์ปริมาณกรดอะมิโนชนิดแอล-ฟินิโละลานีนในน้ำเดือยเชื้อ <i>E. coli</i> BL21 (DE3) ที่ใช้กลีเซอรอลดิบที่ผ่านการปรับค่าพีเอชเป็น 5 ความเข้มข้น 10 กรัมต่อลิตรเป็นแหล่งคาร์บอน (การทดลองชำที่ 2)	114
ง30 โครมาโต้แกรมผลการวิเคราะห์ปริมาณกรดอะมิโนชนิดแอล-ฟินิโละลานีนในน้ำเดือยเชื้อ <i>E. coli</i> BL21 (DE3) ที่ใช้กลีเซอรอลดิบที่ผ่านการปรับค่าพีเอชเป็น 5 ความเข้มข้น 10 กรัมต่อลิตรเป็นแหล่งคาร์บอน (การทดลองชำที่ 3)	114
ง31 โครมาโต้แกรมผลการวิเคราะห์ปริมาณกรดอะมิโนชนิดแอล-ฟินิโละลานีนในน้ำเดือยเชื้อ <i>E. coli</i> BL21 (DE3) ที่ใช้กลีเซอรอลดิบที่ผ่านการปรับค่าพีเอชเป็น 5 ความเข้มข้น 30 กรัมต่อลิตรเป็นแหล่งคาร์บอน (การทดลองชำที่ 1)	115
ง32 โครมาโต้แกรมผลการวิเคราะห์ปริมาณกรดอะมิโนชนิดแอล-ฟินิโละลานีนในน้ำเดือยเชื้อ <i>E. coli</i> BL21 (DE3) ที่ใช้กลีเซอรอลดิบที่ผ่านการปรับค่าพีเอชเป็น 5 ความเข้มข้น 30 กรัมต่อลิตรเป็นแหล่งคาร์บอน (การทดลองชำที่ 2)	115
ง33 โครมาโต้แกรมผลการวิเคราะห์ปริมาณกรดอะมิโนชนิดแอล-ฟินิโละลานีนในน้ำเดือยเชื้อ <i>E. coli</i> BL21 (DE3) ที่ใช้กลีเซอรอลดิบที่ผ่านการปรับค่าพีเอชเป็น 5 ความเข้มข้น 30 กรัมต่อลิตรเป็นแหล่งคาร์บอน (การทดลองชำที่ 3)	116
ง34 โครมาโต้แกรมผลการวิเคราะห์ปริมาณกรดอะมิโนชนิดแอล-ฟินิโละลานีนในน้ำเดือยเชื้อ <i>E. coli</i> BL21 (DE3) ที่ใช้กลีเซอรอลดิบที่ผ่านการปรับค่าพีเอชเป็น 5 ความเข้มข้น 50 กรัมต่อลิตรเป็นแหล่งคาร์บอน (การทดลองชำที่ 1)	116
ง35 โครมาโต้แกรมผลการวิเคราะห์ปริมาณกรดอะมิโนชนิดแอล-ฟินิโละลานีนในน้ำเดือยเชื้อ <i>E. coli</i> BL21 (DE3) ที่ใช้กลีเซอรอลดิบที่ผ่านการปรับค่าพีเอชเป็น 5 ความเข้มข้น 50 กรัมต่อลิตรเป็นแหล่งคาร์บอน (การทดลองชำที่ 2)	117

สารบัญภาพ (ต่อ)

ภาพพนวกที่	หน้า
ง36 โครมาโต้แกรมผลการวิเคราะห์ปริมาณกรดอะมิโนชนิดแอล-ฟินิโละลานีนในน้ำเดือยเชื้อ <i>E. coli</i> BL21 (DE3) ที่ใช้กลีเซอรอลดิบที่ผ่านการปรับค่าพีเอชเป็น 5 ความเข้มข้น 50 กรัมต่อลิตรเป็นแหล่งการรับอน (การทดลองช้ำที่ 3)	117
ง37 โครมาโต้แกรมผลการวิเคราะห์ปริมาณกรดอะมิโนชนิดแอล-ฟินิโละลานีนในน้ำเดือยเชื้อ <i>E. coli</i> BL21 (DE3) ที่ใช้กลีเซอรอลดิบ ความเข้มข้น 5 กรัมต่อลิตรเป็นแหล่งการรับอน (การทดลองช้ำที่ 1)	118
ง38 โครมาโต้แกรมผลการวิเคราะห์ปริมาณกรดอะมิโนชนิดแอล-ฟินิโละลานีนในน้ำเดือยเชื้อ <i>E. coli</i> BL21 (DE3) ที่ใช้กลีเซอรอลดิบ ความเข้มข้น 5 กรัมต่อลิตรเป็นแหล่งการรับอน (การทดลองช้ำที่ 2)	118
ง39 โครมาโต้แกรมผลการวิเคราะห์ปริมาณกรดอะมิโนชนิดแอล-ฟินิโละลานีนในน้ำเดือยเชื้อ <i>E. coli</i> BL21 (DE3) ที่ใช้กลีเซอรอลดิบ ความเข้มข้น 5 กรัมต่อลิตรเป็นแหล่งการรับอน (การทดลองช้ำที่ 3)	119
ง40 โครมาโต้แกรมผลการวิเคราะห์ปริมาณกรดอะมิโนชนิดแอล-ฟินิโละลานีนในน้ำเดือยเชื้อ <i>E. coli</i> BL21 (DE3) ที่ใช้กลีเซอรอลดิบ ความเข้มข้น 10 กรัมต่อลิตรเป็นแหล่งการรับอน (การทดลองช้ำที่ 1)	119
ง41 โครมาโต้แกรมผลการวิเคราะห์ปริมาณกรดอะมิโนชนิดแอล-ฟินิโละลานีนในน้ำเดือยเชื้อ <i>E. coli</i> BL21 (DE3) ที่ใช้กลีเซอรอลดิบ ความเข้มข้น 10 กรัมต่อลิตรเป็นแหล่งการรับอน (การทดลองช้ำที่ 2)	120
ง42 โครมาโต้แกรมผลการวิเคราะห์ปริมาณกรดอะมิโนชนิดแอล-ฟินิโละลานีนในน้ำเดือยเชื้อ <i>E. coli</i> BL21 (DE3) ที่ใช้กลีเซอรอลดิบ ความเข้มข้น 10 กรัมต่อลิตรเป็นแหล่งการรับอน (การทดลองช้ำที่ 3)	120
ง43 โครมาโต้แกรมผลการวิเคราะห์ปริมาณกรดอะมิโนชนิดแอล-ฟินิโละลานีนในน้ำเดือยเชื้อ <i>E. coli</i> BL21 (DE3) ที่ใช้กลีเซอรอลดิบ ความเข้มข้น 30 กรัมต่อลิตรเป็นแหล่งการรับอน (การทดลองช้ำที่ 1)	121

สารบัญภาพ (ต่อ)

ภาพพนวกที่	หน้า
ง44 โครมาโต้แกรมผลการวิเคราะห์ปริมาณกรดอะมิโนชนิดแอล-ฟินิโละลานีนในน้ำเดี้ยงเชื้อ <i>E. coli</i> BL21 (DE3) ที่ใช้กลีเซอรอลดิบ ความเข้มข้น 30 กรัมต่อลิตรเป็นแหล่งการรับอน (การทดลองช้ำที่ 2)	121
ง45 โครมาโต้แกรมผลการวิเคราะห์ปริมาณกรดอะมิโนชนิดแอล-ฟินิโละลานีนในน้ำเดี้ยงเชื้อ <i>E. coli</i> BL21 (DE3) ที่ใช้กลีเซอรอลดิบ ความเข้มข้น 30 กรัมต่อลิตรเป็นแหล่งการรับอน (การทดลองช้ำที่ 3)	122
ง46 โครมาโต้แกรมผลการวิเคราะห์ปริมาณกรดอะมิโนชนิดแอล-ฟินิโละลานีนในน้ำเดี้ยงเชื้อ <i>E. coli</i> BL21 (DE3) ที่ใช้กลีเซอรอลดิบ ความเข้มข้น 50 กรัมต่อลิตรเป็นแหล่งการรับอน (การทดลองช้ำที่ 1)	122
ง47 โครมาโต้แกรมผลการวิเคราะห์ปริมาณกรดอะมิโนชนิดแอล-ฟินิโละลานีนในน้ำเดี้ยงเชื้อ <i>E. coli</i> BL21 (DE3) ที่ใช้กลีเซอรอลดิบ ความเข้มข้น 50 กรัมต่อลิตรเป็นแหล่งการรับอน (การทดลองช้ำที่ 2)	123
ง48 โครมาโต้แกรมผลการวิเคราะห์ปริมาณกรดอะมิโนชนิดแอล-ฟินิโละลานีนในน้ำเดี้ยงเชื้อ <i>E. coli</i> BL21 (DE3) ที่ใช้กลีเซอรอลดิบ ความเข้มข้น 50 กรัมต่อลิตรเป็นแหล่งการรับอน (การทดลองช้ำที่ 3)	123

ศึกษาความเป็นไปได้ในการผลิตกรดอะมิโนชนิดแอล-ฟินิโลลารานีนจากกลีเซอรอลดิบ ในกระบวนการผลิตไบโอดีเซล

Potential of L-phenylalanine Production from Raw Glycerol of Biodiesel Process

คำนำ

ไบโอดีเซลเป็นพลังงานชีวภาพที่สามารถใช้เป็นเชื้อเพลิงในเครื่องยนต์ดีเซล และระบบทำความร้อนได้ เป็นสารประเทกอัลกิโลสเทอโรของคราดไบมันสาขายาที่ผลิตได้จากการทำปฏิกิริยา ทรานส์อสเทอโรฟิเคนชั่นระหว่างไตรกลีเซอไรด์ในน้ำมันพืชหรือไบมันสัตว์กับแอลกอฮอล์ (Ito *et al.*, 2005) ไบโอดีเซลเป็นพลังงานหมุนเวียนที่สามารถย่อยสลายได้ตามธรรมชาติ มีปริมาณสารพิษ เช่น ซัลเฟอร์ และสารอะโรมาติกในปริมาณน้อย จึงกล่าวได้ว่า ไบโอดีเซลเป็นพลังงานทางเลือกที่มีความเป็นมิตรกับสิ่งแวดล้อม (Dharmadi *et al.*, 2006)

เนื่องจากน้ำมันปีตroleum เป็นทรัพยากรธรรมชาติที่มีอยู่จำกัด และกำลังมีปริมาณลดลงอย่างรวดเร็ว ประกอบกับความตื่นตัวเกี่ยวกับปัญหาสภาวะโลกร้อน โดยเฉพาะอย่างยิ่งในเรื่องการเปลี่ยนแปลงสภาพอากาศของโลกอันเนื่องมาจากก๊าซ ไอเสียที่เกิดจากการเผาไหม้น้ำมันปีตroleum ทำให้ในปัจจุบันมีการผลิตไบโอดีเซลเพื่อใช้เป็นพลังงานทดแทนกันมากขึ้น

ในกระบวนการผลิตไบโอดีเซลด้วยปฏิกิริยาทรานส์อสเทอโรฟิเคนชั่น นอกจากได้ไบโอดีเซลเป็นผลิตภัณฑ์หลักแล้ว ยังเกิดกลีเซอรอลเป็นผลิตภัณฑ์พลอยได้หลักอีกด้วย โดยปริมาณกลีเซอรอลที่เกิดขึ้นคิดเป็น 10 เบอร์เซ็นต์โดยน้ำหนักของไบโอดีเซลที่ทำการผลิต (Celik *et al.*, 2008)

กลีเซอรอลบริสุทธิ์เป็นสารที่สามารถนำไปใช้ประโยชน์ในอุตสาหกรรมต่าง ๆ ได้มาก many เช่น อุตสาหกรรมเครื่องสำอาง อาหารและยา เป็นต้น อย่างไรก็ตามกลีเซอรอลที่เกิดจากการกระบวนการผลิตไบโอดีเซลเป็นกลีเซอรอลดิบที่มีคุณภาพต่ำ เนื่องจากมีสารเคมีชนิดอื่นที่ถูกใช้หรือเกิดขึ้นในกระบวนการผลิตไบโอดีเซล เช่น แอลกอฮอล์ ตัวเร่งปฏิกิริยา และสนู เป็นต้น ปัจจุบันมีการใช้เป็นวัตถุดิบเพื่อผลิตผลิตภัณฑ์ในอุตสาหกรรมต่าง ๆ ดังกล่าวได้โดยตรง (Chitra *et al.*, 2005)

จากการผลิตไบโอดีเซลที่มีปริมาณเพิ่มขึ้นทั่วโลก ทำให้ในปัจจุบันเกิดภาวะกลีเซอรอลดิบล้นตลาด (Yazdani and Gonzalez, 2007) ดังนั้นการหาแนวทางใหม่ ๆ ในการใช้ประโยชน์กลีเซอรอลดิบจึงเป็นทางออกสำคัญที่จะสามารถช่วยแก้ไขปัญหาดังกล่าวได้ นอกจากนี้การเพิ่มน้ำคล้ำให้กับกลีเซอรอลดิบยังช่วยทำให้ต้นทุนในการผลิตไบโอดีเซลลดลงได้อีกด้วย

กลีเซอรอลสามารถใช้เป็นแหล่งคาร์บอนในการเพาะเลี้ยงจุลินทรีย์เพื่อผลิตพลีตภัณฑ์ต่าง ๆ ได้หลากหลาย เช่น 1, 3-โพรเพนไคօอล เอทานอล และ บิวทานอล เป็นต้น (Asad-ur-Rehman et al., 2008) ถึงแม้กลีเซอรอลดิบจากกระบวนการผลิตไบโอดีเซลจะมีปริมาณมาก และมีราคาถูกกว่ากลีเซอรอลบริสุทธิ์ แต่ยังคงมีรายงานการศึกษาการใช้กลีเซอรอลดิบจากกระบวนการผลิตไบโอดีเซลเพื่อเพาะเลี้ยงจุลินทรีย์ในจำนวนไม่มากนัก โดยมีรายงานว่าสิ่งเรื้อรังที่อยู่ในกลีเซอรอลดิบ เช่น สูตร และเกลืออนินทรีย์ มีผลต่อการยับยั้งการเจริญของจุลินทรีย์หลายชนิด (Asad-ur-Rehman et al., 2008; Gonzalez-Pajuelo et al., 2004) ในขณะเดียวกันก็มีรายงานว่า แบคทีเรีย *Clostridium butyricum* บางสายพันธุ์สามารถเจริญได้ในกลีเซอรอลดิบจากกระบวนการผลิตไบโอดีเซล (Gonzalez-Pajuelo et al., 2004; Petitdemange et al., 1995)

Escherichia coli เป็นแบคทีเรียชนิดหนึ่งที่นิยมใช้ในงานทางเทคโนโลยีชีวภาพ เพื่อผลิตพลีตภัณฑ์ต่าง ๆ ทั้งในระดับการทดลองและระดับอุตสาหกรรม (Aon et al., 2008) มีรายงานว่า *E. coli* สามารถใช้กลีเซอรอลเป็นแหล่งคาร์บอนได้ โดยในการใช้กลีเซอรอลภายใต้สภาวะไร้อากาศของจุลินทรีย์ชนิดนี้จะทำให้ได้ผลิตภัณฑ์หลายชนิด เช่น เอทานอล กรดแอลกอฮอล์ กรดอะซิติก และ ไฮโดรเจน เป็นต้น (Dharmadi et al., 2006) นอกจากนี้ยังมีการรายงานการเพาะเลี้ยง *E. coli* BL21 (DE3) ด้วยกลีเซอรอลเพื่อผลิตกรดอะมิโนชนิดแอล-ฟินิโลลานีนอีกด้วย (Khamduang et al., 2009a) อย่างไรก็ตามยังไม่เคยมีงานวิจัยใดที่ทำการศึกษาถึงการใช้กลีเซอรอลดิบจากกระบวนการผลิตไบโอดีเซลเพื่อเป็นแหล่งคาร์บอนในการเพาะเลี้ยงแบคทีเรีย *E. coli* มา ก่อน

กรดอะมิโนชนิดแอล-ฟินิโลลานีนเป็นกรดอะมิโนที่มีความจำเป็นต่อภาวะโภชนาการของมนุษย์ สามารถใช้เป็นสารตั้งต้นในการผลิตแอลสปาร์ตเอมชิ่งเป็นสารให้ความหวานที่ให้ค่าพลังงานต่ำ (Hermann, 2003) จากการเติบโตของตลาดผลิตภัณฑ์อาหารและเครื่องดื่มเพื่อสุขภาพทำให้มีความต้องการใช้กรดอะมิโนชนิดแอล-ฟินิโลลานีนเพื่อผลิตแอลสปาร์ตเอมในปริมาณมากขึ้น ดังนั้นจึงได้มีการศึกษาและการพัฒนาการผลิตกรดอะมิโนชนิดนี้กันอย่างกว้างขวางมากขึ้น (Chaoa et al., 2000)

งานวิจัยนี้มีวัตถุประสงค์ในการศึกษาถึงการปรับปรุงคุณภาพกลีเซอโรลดิบจากกระบวนการผลิตไปโดยใช้กลีเซอโรลที่มีความบริสุทธิ์ขึ้นด้วยกรดซัลฟิวริกเข้มข้น และศึกษาความเป็นไปได้ในการใช้เป็นแหล่งคาร์บอนในการเพาะเลี้ยงแบคทีเรีย *Escherichia coli* BL 21 (DE3) ที่มียีนแอล-ฟินิโลelanin C ไฮโดรเจนสจากร *Acinetobacter lwoffii* เพื่อผลิตกรดอะมิโนชนิดแอล- ฟินิโลelanin C



วัตถุประสงค์และขอบเขตงานวิจัย

วัตถุประสงค์

1. ศึกษาการทำกลีเซอรอลดิบจากการผลิตไบโอดีเซลให้บริสุทธิ์ขึ้นโดยใช้กรดซัลฟิวริกเข้มข้น

2. ศึกษาผลของกลีเซอรอลดิบ กลีเซอรอลดิบที่ผ่านการทำให้บริสุทธิ์ขึ้นด้วยกรด และ กลีเซอรอลเกรดยูเออสพี (99.50 เปอร์เซ็นต์โดยน้ำหนัก) ต่อการเจริญ และการผลิตกรดอะมิโนชนิดแอล-ฟีนิโลลาานีน ของแบคทีเรีย *Escherichia coli* BL21 (DE3) ที่มียีนแอล-ฟีนิโลลาานีนดีไซโรจีเนสจาก *Acinetobacter lwoffii*

ขอบเขตงานวิจัย

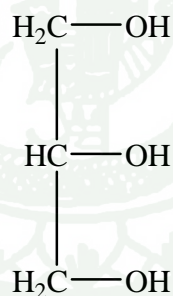
การศึกษาความเป็นไปได้ในการผลิตกรดอะมิโนชนิดแอล-ฟีนิโลลาานีนจากกลีเซอรอลดิบในกระบวนการผลิตไบโอดีเซลสามารถแบ่งออกเป็น 2 ส่วนคือ ส่วนที่หนึ่งจะทำการศึกษาการทำให้กลีเซอรอลดิบจากการผลิตไบโอดีเซลมีความบริสุทธิ์ขึ้นโดยการเติมกรดซัลฟิวริกเข้มข้นเพื่อปรับค่าพีเอชของกลีเซอรอลดิบให้มีค่าลดลงเป็น 6 5 4 3 และ 2 เพื่อลดปริมาณสิ่งเจือปนในกลีเซอรอลดิบ ในส่วนที่สองจะทำการศึกษาผลของการเข้มข้นและชนิดของกลีเซอรอล ต่อการเจริญและการผลิตกรดอะมิโนชนิดแอล-ฟีนิโลลาานีนของแบคทีเรีย *Escherichia coli* BL21(DE3) ที่มียีนแอล-ฟีนิโลลาานีนดีไซโรจีเนสจาก *Acinetobacter lwoffii* โดยเปรียบเทียบระหว่าง กลีเซอรอลดิบ กลีเซอรอลดิบที่ผ่านการทำให้บริสุทธิ์ขึ้นด้วยกรด และ กลีเซอรอลบริสุทธิ์เกรดยูเออสพี ที่ความเข้มข้นของกลีเซอรอลเท่ากับ 5 10 30 และ 50 กรัมต่อลิตรตามลำดับ

การตรวจเอกสาร

กลีเซอรอล

กลีเซอรอล หรือ 1, 2, 3-โพรเพนไตรออล (Glycerol or 1, 2, 3-propanetriol) เป็นของเหลวใส ไม่มีสี มีลักษณะหนืด ไม่มีกลิ่น มีรสหวาน มีสูตรโมเลกุลคือ $\text{CH}_2\text{OHCHOHCH}_2\text{OH}$ และมีสูตรโครงสร้างทางเคมีดังแสดงในภาพที่ 1

กลีเซอรอลถูกค้นพบครั้งแรกในปี ก.ศ. 1779 โดยนักเคมีชาวสวีเดนชื่อ Carl W Scheele จากการทำปฏิกิริยาระหว่างน้ำมันมะกอก กับ เลดออกไซด์ (PbO) คำว่ากลีเซอรอลมีที่มาจากการคำในภาษากรีกว่า “glykys” ซึ่งมีความหมายว่า “หวาน” กลีเซอรีน (Glycerin หรือ Glycerine) หมายถึงสารละลายที่มีกลีเซอรอลเป็นองค์ประกอบส่วนใหญ่ โดยมักพบว่ามีการสลับใช้คำว่ากลีเซอรีน และ กลีเซอรอล แทนกันอยู่บ่อยครั้งในบทความทางวิชาการต่าง ๆ กลีเซอรอลดินที่มีความบริสุทธิ์ประมาณ 70 ถึง 80 เปอร์เซ็นต์มักถูกทำให้มีความบริสุทธิ์เพิ่มขึ้นเป็น 95.5 ถึง 99 เปอร์เซ็นต์ เพื่อจำหน่ายในเชิงพาณิชย์ (Pagliaro and Rossi, 2008)



ภาพที่ 1 สูตรโครงสร้างของกลีเซอรอล

1. สมบัติทางกายภาพของกลีเซอรอล

กลีเซอรอลสามารถละลายได้ดีในน้ำ และ แอลกอฮอล์ ละลายได้เล็กน้อยใน อีเทอร์ (Ether) เอทิลอะซิเตท (Ethyl Acetate) และ ไดออกไซน์ (Dioxane) ไม่สามารถละลายได้ในสารประเภทไฮโดรคาร์บอน (Kirk and Othmer, 1979) โดยคุณสมบัติทางกายภาพของกลีเซอรอลได้แสดงไว้ในตารางที่ 1

ตารางที่ 1 คุณสมบัติทางกายภาพของกลีเซอรอล

คุณสมบัติ	ค่าประจำคุณสมบัติ
มวลโมเลกุล (Molecular weight)	92.09 กรัมต่ำโมล
จุดหลอมเหลว (Melting point)	18.0 องศาเซลเซียส
จุดเดือด (Boiling point) (ที่ความดัน 101.3 กิโล帕斯กาล)	290 องศาเซลเซียส
ความหนาแน่น (Density) (ที่ 20 °ช)	1.261 กรัมต่ำลูกบาศก์มิลลิลิตร
ดัชนีหักเห (Refractive index) n_D^{20}	1.4740
ความหนืด (Dynamic viscosity) (ที่ 20 °ช)	1.410 พาสกาล·วินาที
ความสามารถในการบีบอัด (Compressibility) (ที่ 28.5 °ช)	21×10^{-4} เมกะพาสกาล $^{-1}$
ความตึงผิว (Surface tension) (ที่ 20 °ช)	63.4 มิลลินิวตันต่ำเมตร
ความร้อนจากการเกิด (Heat of formation)	669 กิโลจูลต่ำโมล
ความร้อนจากการเผาไหม้ (Heat of combustion)	1,662 กิโลจูลต่ำโมล
ความร้อนแห้งของการถ่ายเป็นไออกซิเจน (Heat of vaporization) (ที่ 55 °ช)	88.2 กิโลจูลต่ำโมล
(ที่ 195 °ช)	76.1 กิโลจูลต่ำโมล
ความร้อนแห้งของการหลอมเหลว (Heat of fusion) (ที่ 18 °ช)	18.3 กิโลจูลต่ำโมล
ความจุความร้อน (Heat Capacity) (ที่ 26 °ช) (ที่ -80 °ช)	2.41 กิโลจูล กิโลกรัม $^{-1}$ เคลวิน $^{-1}$
(ที่ -108 °ช)	1.91 กิโลจูล กิโลกรัม $^{-1}$ เคลวิน $^{-1}$
สภาพนำความร้อน (Thermal conductivity)	0.91 กิโลจูล กิโลกรัม $^{-1}$ เคลวิน $^{-1}$
ค่าคงที่ของการแพร่ของน้ำในกลีเซอรอล (ที่ 20° ช)	0.29 วัตต์ เมตร $^{-1}$ เคลวิน $^{-1}$
จุดควบไฟ (Flash point)	1.33 $\times 10^{-11}$ ตารางเมตรต่ำวินาที
จุดติดไฟ (Fire point)	177 องศาเซลเซียส
ความดันไออกซิเจน (Vapor pressure) (ที่ 20 °ช) (ที่ 100 °ช)	204 องศาเซลเซียส
(ที่ 175 °ช)	< 0.0001 กิโล帕斯กาล
(ที่ 290 °ช)	0.03 กิโลพาสกาล
	2.00 กิโลพาสกาล
	101.3 กิโลพาสกาล

ที่มา: Jakobson *et al.* (1999)

2. สมบัติทางเคมีของกลีเซอรอล

กลีเซอรอลเป็นสารในกลุ่มแอลกอฮอล์ที่มีการรับอน 3 อะตอน และมีหมู่ไฮดรอกซิล (-OH) 3 หมู่อยู่ในโมเลกุล กลีเซอรอลสามารถทำปฏิกิริยาได้ เช่นเดียวกับแอลกอฮอล์ชนิดอื่น โดยหมู่ไฮดรอกซิลที่อยู่ด้านนอกของโมเลกุลมีความว่องไวในการทำปฏิกิริยามากกว่าหมู่ไฮดรอกซิลที่อยู่ตำแหน่งกลาง โมเลกุล (Jakobson *et al.*, 1999) ปฏิกิริยาออกซิเดชันของกลีเซอรอลทำให้เกิดผลิตภัณฑ์ได้หลายชนิด ขึ้นอยู่กับสภาพภาวะในการทำปฏิกิริยา ในกรณีที่ใช้ตัวออกซิไดส์ที่มีความแรงไม่มาก จะทำให้เกิดการออกซิไดส์หมู่ไฮดรอกซิลเพียงหมู่เดียว ทำให้ได้ผลิตภัณฑ์เป็นกลีเซอรอล-ดีไฮด์ (Glyceroldehyde) และไดไฮดรอกซิอะซีโตน (Dihydroxyacetone) (Kirk and Othmer, 1979)

3. การใช้ประโยชน์กลีเซอรอล

กลีเซอรอลถูกนำไปใช้ประโยชน์ในอุตสาหกรรมต่างๆ อย่างกว้างขวาง ทั้งในรูปแบบของการนำไปใช้เป็นส่วนผสมในผลิตภัณฑ์โดยตรง และการใช้กลีเซอรอลเป็นสารตั้งต้นในการสังเคราะห์สารชนิดอื่น เช่น ไตรไนโตรกลีเซอริน (Trinitroglycerine) และ โพลียูรีเทน (Polyurethanes) เป็นต้น ส่วนใหญ่กลีเซอรอลจะถูกใช้เป็นส่วนผสมในผลิตภัณฑ์ต่างๆ เพื่อช่วยรักษาความชุ่มชื้น และความนุ่มให้กับผลิตภัณฑ์ เนื่องจากกลีเซอรอลมีความสามารถในการดูดซับความชื้นจากสิ่งแวดล้อมได้ดี และสามารถคงอิฐอีกประการหนึ่งที่ทำให้กลีเซอรอลถูกนำไปใช้ในอุตสาหกรรมอย่างกว้างขวางคือ กลีเซอรอลเป็นสารที่มีความปลดล็อก ไม่เป็นพิษกับสิ่งมีชีวิต (Pagliaro and Rossi, 2008) โดยการใช้ประโยชน์กลีเซอรอลในอุตสาหกรรมต่างๆ มีรายละเอียดดังนี้

3.1 อุตสาหกรรมอาหาร เนื่องจากกลีเซอรอลเป็นสารที่ไม่มีพิษ มีรสชาติหวาน และให้พลังงานน้อย จึงถูกนำไปใช้เป็นสารให้ความหวานในอุตสาหกรรมอาหาร และขนมหวาน โดยกลีเซอรอลปริมาณ 1 ช้อนชาให้พลังงานประมาณ 27 แคลอรี่ และให้ความหวานคิดเป็น 60 เปอร์เซ็นต์ของน้ำตาลซูโครัส แต่ไม่มีผลทำให้ระดับน้ำตาลในเลือดของผู้บริโภคสูงขึ้น และไม่ทำให้แบนค์ทีเรียนช่องปากเกิดการก่อตัวเป็นคราบพลาสติก กลีเซอรอลถูกใช้เป็นส่วนผสมในผลิตภัณฑ์อาหารอ่อนเพื่อช่วยลดการสูญเสียน้ำจากผลิตภัณฑ์ ทำให้ผลิตภัณฑ์ไม่เกิดการแห้งหรือแข็งระหว่างการเก็บรักษา (Pagliaro and Rossi, 2008) กลีเซอรอลถูกใช้เป็นตัวทำละลายสารให้ความชื้น และส่วนผสมของน้ำเชื่อม ใช้เป็นส่วนผสมในการผลิตลูก gwad และลูกอม เพื่อช่วยป้องกันไม่ให้

น้ำตาลเกิดการตกผลึก นอกจากนี้ก็ใช้เชอรอลบั้งถูกใช้เป็นสารหล่อลื่นเครื่องจักร และใช้เป็นสารตัวกลางในการแยกเปลี่ยนความร้อนในอุตสาหกรรมอาหารอีกด้วย (Kirk and Othmer, 1979)

3.2 อุตสาหกรรมยา ก็ใช้เชอรอลถูกใช้เป็นส่วนผสมในทำறับยาเพื่อให้ความชุ่มชื้น ความลื่น และความนุ่มนวลกับตัวยา นอกจากนี้ยังช่วยรักษาเนื้อสัมผัสของยาอีกด้วย (Pagliaro and Rossi, 2008)

3.3 อุตสาหกรรมเครื่องสำอาง ก็ใช้เชอรอลถูกใช้เป็นสารให้ความชุ่มชื้น ตัวทำละลาย สารหล่อลื่น ในผลิตภัณฑ์หลายชนิด เช่น ยาสีฟัน ผลิตภัณฑ์บำรุงผิว ครีมโภนหนวด ผลิตภัณฑ์คูแลเส้นผม และสนับเข้มตื้น (Pagliaro and Rossi, 2008)

3.4 อุตสาหกรรมบุหรี่ ก็ใช้เชอรอลถูกใช้เป็นส่วนผสมในสารละลายที่ใช้ฉีดพ่นลงบนใบยาสูบก่อนทำการย่องใบยาสูบให้เป็นชิ้นเล็ก ๆ และทำการบรรจุต่อไป นอกจากนี้ก็ใช้เชอรอลบั้งถูกผสมเข้ากับสารเติมแต่งต่าง ๆ ในปริมาณ 3 เปอร์เซ็นต์โดยน้ำหนักของบุหรี่ เพื่อป้องกันไม่ให้ยาสูบเกิดการลุกติดไฟในระหว่างกระบวนการผลิตบุหรี่ เนื่องจากก็ใช้เชอรอลสามารถช่วยรักษาความชื้นให้กับบุหรี่ได้ (Kirk and Othmer, 1979)

3.5 อุตสาหกรรมบรรจุภัณฑ์ และหีบห่อ ก็ใช้เชอรอลถูกใช้เป็นส่วนผสมในการผลิตกระดาษชนิดพิเศษ เช่น กระดาษกันไฟมัน เป็นต้น (Kirk and Othmer, 1979)

3.6 อุตสาหกรรมการผลิตยูรีเทน ก็ใช้เชอรอลถูกใช้เป็นสารตั้งต้นในการผลิตโพลิยูรีเทน (Kirk and Othmer, 1979)

3.7 การใช้เป็นสารหล่อลื่นในอุตสาหกรรม ก็ใช้เชอรอลมีคุณสมบัติที่ดีในการใช้เป็นสารหล่อลื่น เนื่องจากมีความหนืดสูง และสามารถคงสภาพเป็นของเหลวอยู่ได้ในอุณหภูมิต่ำ ดังนั้น ก็ใช้เชอรอลจึงมักถูกนำมาใช้เป็นสารหล่อลื่นในกรณีที่สารหล่อลื่นประเภทน้ำมัน ไม่มีความเหมาะสมในการใช้งาน ก็ใช้เชอรอลถูกใช้เป็นสารหล่อลื่นในกระบวนการผลิตอาหาร ยา และ

เครื่องสำอาง ที่ผลิตภัณฑ์มีการสัมผัสกับสารหล่อลื่น โดยตรง กลีเซอโรลถูกใช้เป็นสารหล่อลื่นในปั๊มที่มีการสัมผัสกับน้ำมันเบนซิน เนื่องจากน้ำมันเบนซินสามารถละลายสารหล่อลื่นประเภทน้ำมันได้ (Kirk and Othmer, 1979)

ในแต่ละปี กลีเซอโรลที่ถูกนำไปใช้ในอุตสาหกรรมต่าง ๆ มีปริมาณประมาณ 160,000 ตัน โดย 28 เปอร์เซ็นต์ถูกนำไปใช้ในอุตสาหกรรมยา ยาสีฟัน และเครื่องสำอาง 15 เปอร์เซ็นต์ถูกนำไปใช้ในอุตสาหกรรมบุหรี่ 13 เปอร์เซ็นต์ถูกนำไปใช้ในอุตสาหกรรมอาหาร และอีก 11 เปอร์เซ็นต์ถูกนำไปใช้ในอุตสาหกรรมการผลิตยูรีเทน ส่วนที่เหลือถูกนำไปใช้ในอุตสาหกรรมน้ำยาฉักเงา กาแฟ นมิก พลาสติกสังเคราะห์ การผลิตระเบิด และการใช้เบ็ดเตล็ดอื่น ๆ ในอุตสาหกรรม (Pagliaro and Rossi, 2008)

กลีเซอโรลบริสุทธิ์ที่มีขัยทั่วไปในท้องตลาด ส่วนมากเป็นกลีเซอโรลเกรดยูเอสพี (USP Grade) ซึ่งมีคุณสมบัติเป็นไปตามข้อกำหนดของ เดอะ ยูไนเต็ดสเตท พาม่าโคเปีย หรือ ยูเอสพี (The United States Pharmacopeia, USP) ว่ามีความปลอดภัยต่อมนุษย์ สามารถนำมาประยุกต์ใช้เป็นส่วนผสมในอาหาร ยาวยาโรค และเครื่องสำอางได้ โดยมีความบริสุทธิ์ไม่ต่ำกว่า 95 เปอร์เซ็นต์ มีค่าความถ่วงจำเพาะที่ 25 องศาเซลเซียส เท่ากับ 1.249 อย่างไรก็ตามในท้องตลาดยังคงมีกลีเซอโรลบริสุทธิ์ที่มีคุณภาพระดับค่า ฯ ซึ่งมีคุณสมบัติแตกต่างกันไปตามลักษณะงานที่จะนำไปประยุกต์ใช้ของผู้ซื้อ เช่น กลีเซอโรลเกรดโคนาไมต์ เป็นต้น (Kirk and Othmer, 1979)

4. การผลิตกลีเซอโรล

การผลิตกลีเซอโรลสามารถทำได้หลายวิธี ทั้งการผลิตจากไขมันและน้ำมันธรรมชาติ การผลิตด้วยกระบวนการสังเคราะห์ทางเคมี และการผลิตด้วยวิธีอื่น ๆ ที่ไม่มีความสำคัญในเชิงอุตสาหกรรม เช่น การหมักด้วยจุลินทรีย์ และการเติมไฮโดรเจนให้กับสารประเภทไฮドราคาร์บอน เป็นต้น

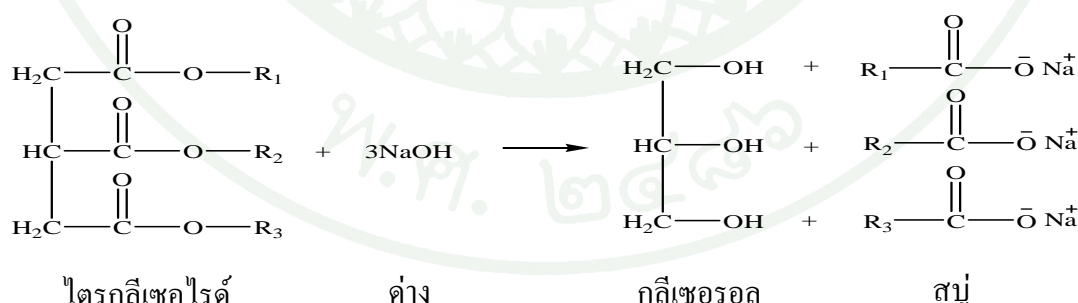
4.1 การผลิตกลีเซอโรลจากไขมันและน้ำมัน โดยทั่วไปกลีเซอโรลที่พบในธรรมชาติจะไม่อยู่รูปของกลีเซอโรโลอิสระ แต่จะพบอยู่ในรูปเอสเตอเรชั่นของกรดไขมัน ซึ่งคือกลีเซอเรียร์ (Glycerides) ในน้ำมันพืชและไขมันสัตว์ ดังนั้นในการผลิตกลีเซอโรลจากไขมันหรือน้ำมันต้องมี

การทำให้ไขมันหรือน้ำมันนั้นเกิดการแตกตัว ซึ่งวิธีที่ใช้ในการทำให้ไขมันเกิดการแตกตัวมีหลายวิธีดังนี้ (Jakobson *et al.*, 1999)

4.1.1 การแตกตัวด้วยความดันสูง (High Pressure Splitting) การแตกตัวของไขมันด้วยวิธีนี้ถูกค้นพบตั้งแต่ปี ก.ศ. 1845 ปัจจุบันมีการดำเนินการดังกล่าวในถังปฏิก্রิยาน์แบบต่อเนื่องโดยในกระบวนการมีการป้อนน้ำ และไขมันเข้าสู่คล้มน์ในทิศทางตรงกันข้าม ภายใต้ความดัน 5 ถึง 6 เมกะพาสคอล อุณหภูมิ 250 ถึง 260 องศาเซลเซียส ทำให้ได้ผลิตภัณฑ์เป็นสารละลายน้ำที่มีความเข้มข้นของกลีเซอรอลเท่ากับ 15 เบอร์เซ็นต์ ซึ่งสารละลายนี้เรียกว่าสweiทวอเทอร์ (Sweet Water) กลีเซอรอลที่ผลิตได้จากการนี้เป็นกลีเซอรอลที่มีปริมาณถ้าค่า คือมีปริมาณเกลืออนินทรีย์น้อยกว่า 0.1 เบอร์เซ็นต์

4.1.2 ปฏิกิริยาทรานส์อสเทอโรฟิเคชั่น (Transesterification) กลีเซอรอลดิบเป็นผลิตภัณฑ์พหลอยได้หลักที่เกิดขึ้นในกระบวนการผลิตเมทิลอสเทอร์ (ใบโอดีเซล) จากน้ำมันพืชหรือไขมันสัตว์ด้วยปฏิกิริยาทรานส์อสเทอโรฟิเคชั่น โดยรายละเอียดของวิธีนี้จะได้กล่าวต่อไปในหัวข้อการผลิตใบโอดีเซลด้วยปฏิกิริยาทรานส์อสเทอโรฟิเคชั่น

4.1.3 ปฏิกิริยาสะพอนนิฟิเกชัน (Saponification) ปฏิกิริยาสะพอนนิฟิเกชัน หรือปฏิกิริยาการผลิตสมุนเป็นปฏิกิริยาระหว่างไตรกลีเซอไรด์ในไขมันหรือน้ำมันกับด่าง ได้ผลิตภัณฑ์เป็นสมุนและกลีเซอรอล ดังแสดงในภาพที่ 2 การผลิตกลีเซอรอลด้วยวิธีนี้ถือเป็นวิธีดั้งเดิมที่สุด



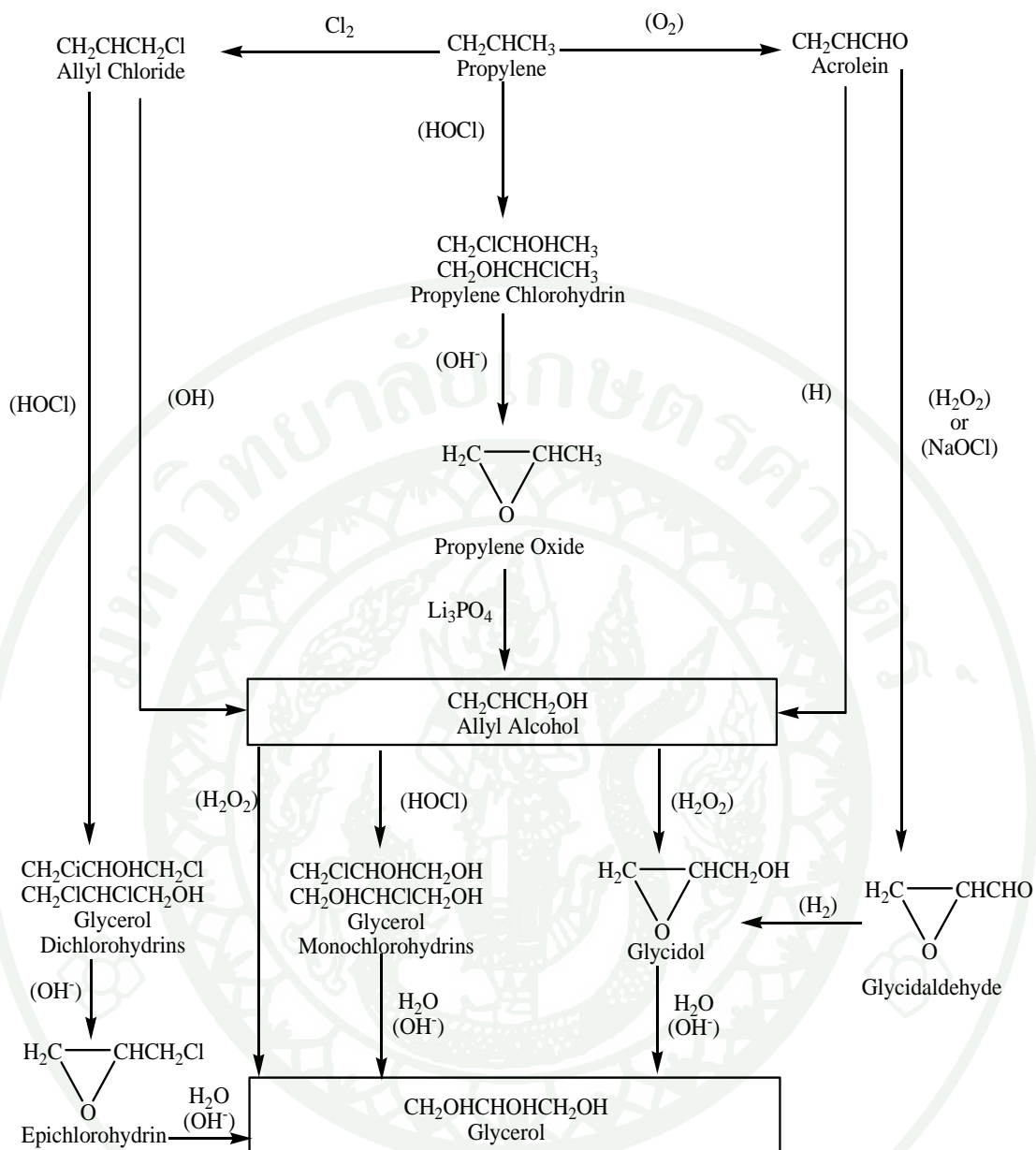
ภาพที่ 2 ปฏิกริยาสะพอนนิพิเคลชั่นระหว่าง ไตรกัลลีเซอ ไรร์ด กับ ด่าง

4.2 การผลิตกัลีเซอรอลด้วยกระบวนการสังเคราะห์ทางเคมี เนื่องจากกัลีเซอรอลเป็นสารตั้งต้นที่ใช้ในการผลิตในโตรกัลีเซอรีน (Nitroglycerine) ซึ่งเป็นวัตถุดับสำคัญในการผลิตระเบิดไดนาไมต์ (Dynamite) และอาวุธระบอิกหลายชนิด ทำให้ในช่วงสงครามโลก มีความต้องการใช้กัลีเซอรอลในปริมาณมากกว่าที่สามารถผลิตได้จากการแตกรดตัวของไขมันและน้ำมัน จึงทำให้มีการคิดค้นวิธีการผลิตกัลีเซอรอลขึ้นใหม่ด้วยการสังเคราะห์ทางเคมีโดยใช้โพรพีเลน (Propylene) ซึ่งเป็นผลิตภัณฑ์จากปิโตรเลียมเป็นสารตั้งต้นในการผลิต (Pagliaro and Rossi, 2008) วิธีการสังเคราะห์กัลีเซอรอลจากโพรพีเลน ได้ถูกพัฒนาขึ้นอย่างมากภายในช่วง ค.ศ. 1945 ถึง 1965 โดยกระบวนการที่ใช้ในการสังเคราะห์กัลีเซอรอลในช่วงแรกเป็นกระบวนการที่ต้องใช้คลอรินในการผลิต โดยทำการแทนที่ไฮโดรเจนในโมเลกุลของโพรพีเลนด้วยคลอไรด์ (Chlorination) ทำให้ได้ผลิตภัณฑ์เป็นอัลลิคลอไรด์ (Allyl Chloride) ซึ่งสามารถเปลี่ยนไปเป็นกัลีเซอรอลได้ด้วยหลากหลายวิธีทางดังแสดงในภาพที่ 3 ต่อมาได้มีการค้นพบว่ากัลีเซอรอลสามารถถูกออกซิไดซ์อย่างจำเพาะเจาะจง ทำให้ได้ผลิตภัณฑ์เป็นอะครอลีน (Acrolein) จากการค้นพบดังกล่าว ได้นำไปสู่การผลิตกัลีเซอรอลจากโพรพีเลน โดยไม่ต้องใช้คลอรินในการกระบวนการผลิต นอกจากนี้ยังมีกระบวนการผลิตกัลีเซอรอลจากโพรพีเลนออกไซด์ (Propylene Oxide) ซึ่งสามารถเปลี่ยนแปลงไปเป็นอัลลิลแอลกอฮอล์ (Allyl Alcohol) ได้โดยใช้ไตรลิทيومฟอสเฟต (Trolithium Phosphate) เป็นตัวเร่งปฏิกิริยา ที่อุณหภูมิ 200 ถึง 250 องศาเซลเซียส ซึ่งอัลลิลแอลกอฮอล์สามารถถูกเปลี่ยนแปลงไปเป็นกัลีเซอรอลได้ ดังแสดงในภาพที่ 3 (Kirk and Othmer, 1979)

4.3 การผลิตกัลีเซอรอลด้วยกระบวนการอื่น ๆ (Jakobson *et al.*, 1999)

4.3.1 การหมัก ในปี ค.ศ. 1858 ได้มีการค้นพบว่ากัลีเซอรอลสามารถเกิดขึ้นในกระบวนการหมักแอลกอฮอล์ อย่างไรก็ตาม การผลิตกัลีเซอรอลด้วยวิธีการนี้มีความสำคัญในทางอุตสาหกรรมน้อยมาก

4.3.2 การเติมไฮโดรเจนให้กับสารประเททไฮโดรคาร์บอน การเติมไฮโดรเจนให้กับสารประเททโพลีแอลกอฮอล์ (Polyalcohols) เช่น เซลลูโลส แป้ง และน้ำตาล ทำให้ได้ผลิตภัณฑ์เป็นสารละลายนอกลีเซอรอล และไกลโคด (Glycols) ปฏิกิริยาดังกล่าวเป็นปฏิกิริยาที่ใช้อุณหภูมิสูง โดยตัวเร่งปฏิกิริยาที่นิยมใช้ได้แก่ นิกเกิล ทองแดง โคนอลต์ โครเมียม และทังสเตน



ภาพที่ 3 ปฏิกิริยาที่ใช้ในการสังเคราะห์กลีเซอรอลด้วยวิธีทางเคมี

ที่มา: Kirk and Othmer (1979)

ในปัจจุบันพบว่ากลีเซอรอลมีแนวโน้มทางการตลาดที่เปลี่ยนแปลงไปจากสมัยก่อนเนื่องจากมีกลีเซอรอลปริมาณมหาศาลเกิดขึ้นเป็นผลิตภัณฑ์พ้อยได้จากการกระบวนการผลิตในโอดีเซล ก่อให้เกิดภาวะกลีเซอรอลล้นตลาด ทำให้ห้างนักวิจัย โรงงานอุตสาหกรรม และอีกหลายฝ่ายที่เกี่ยวข้อง พยายามคิดค้นหาแนวทางใหม่ ๆ ในการใช้กลีเซอรอลเพื่อเป็นวัตถุนิยมในการผลิต

ผลิตภัณฑ์ต่าง ๆ เพื่อทดสอบสารเคมีจากปิโตรเลียมกันมากขึ้น ส่งผลให้งานวิจัยในประเด็นศึกษาดังกล่าวมีความก้าวหน้าขึ้นอย่างมากในช่วงไม่กี่ปีที่ผ่านมา อย่างไรก็ตาม แนวทางการใช้ประโยชน์จากกลีเซอรอลที่ถูกพัฒนาขึ้นยังคงสามารถรองรับปริมาณกลีเซอรอลได้เพียง 0.05 ถึง 1 เปอร์เซ็นต์ของปริมาณกลีเซอรอลทั้งหมดที่มีอยู่ในห้องทดลอง ซึ่งนับว่าเป็นปริมาณที่น้อยมาก ดังนั้นงานวิจัยเกี่ยวกับการหาแนวทางการใช้ประโยชน์จากกลีเซอรอลจึงยังคงเป็นประเด็นศึกษาที่น่าสนใจ และยังคงต้องมีการพัฒนาให้มีความหลากหลาย และมีประสิทธิภาพมากขึ้นต่อไป (Pagliaro and Rossi, 2008)

ไบโอดีเซล

ไบโอดีเซลหมายถึง พลังงานชีวภาพที่สามารถใช้เป็นเชื้อเพลิงในเครื่องยนต์ดีเซล เพื่อทดแทนน้ำมันดีเซลจากปิโตรเลียมได้

ในทางเคมี ไบโอดีเซลหมายถึง สารประเภทโมโนอัลกิลเอสเทอโร (Monoalkyl Ester) ของกรดไขมันสายยาว ที่เกิดจากการทำปฏิกิริยาทรานส์อีสเทอเรติฟิเคชั่น ระหว่างไตรกลีเซอไรด์ในน้ำมันพืชหรือไขมันสัตว์ กับแอลกอฮอล์ (Demirbas, 2008)

เนื่องจากในปัจจุบันน้ำมันปิโตรเลียมซึ่งเป็นทรัพยากรธรรมชาติที่มีอยู่อย่างจำกัด กำลังมีปริมาณลดลงอย่างรวดเร็ว ประกอบกับความตื่นตัวในปัญหาสภาวะโลกร้อน และปัญหาสิ่งแวดล้อมอันเกิดจากการเผาไหม้น้ำมันปิโตรเลียม ทำให้หลายฝ่ายหันมาให้ความสนใจในการศึกษาและพัฒนาเกี่ยวกับแหล่งพลังงานทดแทนกันอย่างกว้างขวางมากขึ้น พลังงานทดแทนจากมวลชีวภาพเป็นอีกหนึ่งทางเลือกที่กำลังได้รับความสนใจอย่างมากในปัจจุบัน สำหรับเครื่องยนต์ดีเซลแล้ว ไบโอดีเซลเป็นพลังงานทางเลือกที่กำลังได้รับความนิยมเป็นอย่างมาก เนื่องจากไบโอดีเซลเป็นพลังงานหมุนเวียนที่สามารถผลิตได้จากวัตถุดิบธรรมชาติที่มีอยู่ในห้องถังมีความเป็นมิตรกับสิ่งแวดล้อมมากกว่าน้ำมันปิโตรเลียม เนื่องจากไบโอดีเซลสามารถถูกย่อยสลายได้ตามธรรมชาติ (Marchetti *et al.*, 2007) มีปริมาณชั้ลเฟอร์และสารอะโรมาติกในปริมาณที่น้อยกว่าน้ำมันดีเซลจากปิโตรเลียม ทำให้ก๊าซไอเสียที่เกิดขึ้นจากการเผาไหม้น้ำมันไบโอดีเซลมีความเป็นพิษต่อสิ่งแวดล้อม และสิ่งมีชีวิตน้อยกว่าก๊าซไอเสียจากการเผาไหม้น้ำมันปิโตรเลียม (Dharmadi *et al.*, 2006) เมื่อมีการใช้ไบโอดีเซลทดแทนน้ำมันดีเซลจากปิโตรเลียม พนว่าสามารถลดปริมาณสุทธิของการปลดปล่อยก๊าซคาร์บอนไดออกไซด์ลงได้มากถึง 78 เปอร์เซ็นต์ ซึ่งนับว่าการใช้ไบโอดีเซลเป็นอีกหนึ่งแนวทางที่สามารถช่วยลดปัญหาสภาวะโลกร้อนได้ (Helwani *et al.*, 2009)

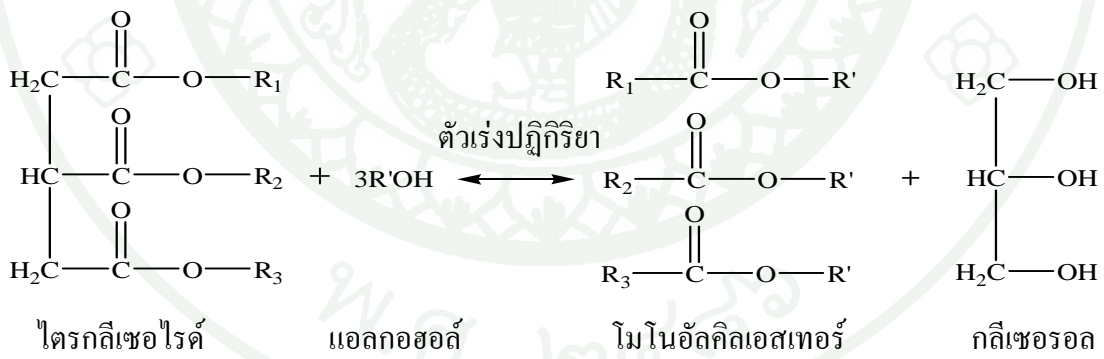
1. การใช้น้ำมันพืชเป็นแหล่งพลังงานในเครื่องยนต์ดีเซล

การใช้น้ำมันพืชเพื่อเป็นแหล่งพลังงานในเครื่องยนต์ดีเซล โดยตรงนี้สามารถทำได้โดยการผสมน้ำมันพืชเข้ากับน้ำมันดีเซลในอัตราส่วนที่เหมาะสม แต่วิธีดังกล่าวเนี้ยไม่เหมาะสมสำหรับการใช้งานในระยะยาวในเครื่องยนต์ดีเซล เนื่องจากน้ำมันพืชมีความหนืดสูง นอกจากนี้กรดไขมันอิสระในน้ำมันพืชยังทำให้เกิดยางเหนียวจากปฏิกิริยาออกซิเดชัน (Oxidation) และโพลิเมอไรเซชัน (Polymerization) ซึ่งปรากฏการณ์ดังกล่าวจะทำให้เครื่องยนต์เกิดความเสียหายได้ดังนั้นก่อนการใช้น้ำมันพืชเป็นแหล่งพลังงานในเครื่องยนต์ดีเซลนั้น น้ำมันพืชจะต้องผ่านกระบวนการในการลดความหนืดเสียก่อนโดยวิธีการที่ใช้ในการลดความหนืดของน้ำมันพืชมีหลายวิธีดังนี้ (Ranganathan *et al.*, 2008)

1.1 กระบวนการแตกสลายด้วยความร้อน หรือ การไฟโรไอลซิส (Thermalcracking or Pyrolysis) เป็นการเปลี่ยนแปลงสารตั้งต้นที่มีโมเลกุลขนาดใหญ่ โดยการให้ความร้อนภายใต้สภาวะที่ไม่มีอากาศหรือออกซิเจน ทำให้พันธะเคมีในโมเลกุลของสารตั้งต้นเกิดการสลายตัวไปเป็นผลิตภัณฑ์ที่มีขนาดโมเลกุลเล็กลง โดยในกระบวนการนี้อาจมีการใช้ตัวเร่งปฏิกิริยาร่วมกับการให้ความร้อน ได้เช่นกัน วัตถุคุณที่สามารถนำมาใช้ในกระบวนการแตกสลายด้วยความร้อน ได้แก่น้ำมันพืช ไขมันสัตว์ กระเทียมธรรมชาติ และเมทิลเอสเทอร์ของกระเทียม มีน้ำมันพืชผ่านกระบวนการแตกสลายด้วยความร้อนแล้ว ผลิตภัณฑ์ที่ได้จะมีความหนืดลดลง ส่งผลให้มีความสามารถในการไหลได้ดีขึ้น แต่ข้อเสียของกระบวนการนี้คือ อุปกรณ์ที่ใช้ในกระบวนการมีราคาค่า昂ข้างสูง (Ma and Hanna, 1999)

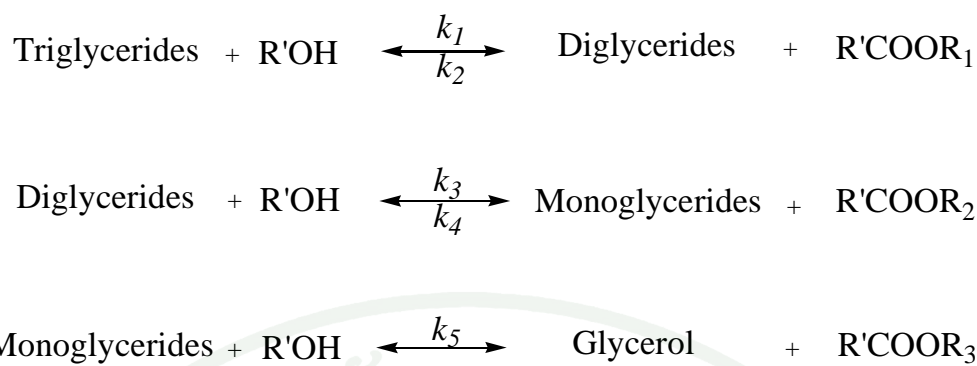
1.2 ไมโครอิมัลชัน (Microemulsion) เป็นอีกกระบวนการหนึ่งที่สามารถใช้ในการลดความหนืดของน้ำมันพืชได้ โดยในกระบวนการนี้มีการใช้แอลกอฮอล์ เช่น เมทานอล เอทานอล หรือโพราฟานอล เป็นสารเติมแต่งเพื่อลดความหนืดของน้ำมันพืช ใช้แอลกอฮอล์โมเลกุลใหญ่เป็นสารลดแรงตึงผิว และใช้อัลกิลไนตรạt (Alkyl Nitrate) ในการเพิ่มค่าซีเทน(Cetane Number) ให้กับน้ำมันโดยสารทดสอบระหว่างแอลกอฮอล์กับน้ำมันพืชจะผสมกันอยู่ในรูปของคอลลอยด์ที่มีกระจายตัวในสภาวะสมดุลโดยอนุภาคในคอลลอยด์นั้นส่วนมากมีขนาดอยู่ในช่วง 1 ถึง 150 นาโนเมตร (Ma and Hanna, 1999) ถึงแม่กระบวนการนี้จะสามารถช่วยลดความหนืด และ เพิ่มค่าซีเทนของน้ำมันพืชได้แต่อย่างไรก็ตาม หากมีการใช้งานในระยะยาวจะทำให้เข้มข้นเกิดการอุดตัน และเกิดการเผาไหม้ที่ไม่สมบูรณ์ขึ้นตามมา (Ranganathan *et al.*, 2008)

1.3 ปฏิกิริยาทรานส์อสเทอเรฟิเคชัน (Ma and Hanna, 1999) เป็นวิธีที่นิยมใช้ในการผลิตไบโอดีเซลมากที่สุด เป็นปฏิกิริยาระหว่าง ไตรกลีเซอไรด์ในน้ำมันพืช หรือ ไขมันสัตว์ กับแอลกอฮอล์ ที่ให้ผลิตภัณฑ์เป็น อัลกิโลสเทอร์ของกรดไขมัน (ไบโอดีเซล) และ กลีเซอรอล ดังแสดงในภาพที่ 4 ปฏิกิริยาทรานส์อสเทอเรฟิเคชันประกอบด้วย 3 ปฏิกิริยาอยู่ที่เกิดต่อเนื่องกันโดยไตรกลีเซอไรด์จะถูกเปลี่ยนเป็น ไอกลีเซอไรด์ โนโนกลีเซอไรด์ และ กลีเซอรอล ตามลำดับ ซึ่งในแต่ละขั้นตอนจะเกิดอัลกิโลสเทอร์ของกรดไขมันขึ้น 1 โมเลกุล ดังแสดงในภาพที่ 5 (Marchetti et al., 2007) ในการทำปฏิกิริยาทรานส์อสเทอเรฟิเคชันมักมีการใช้ตัวเร่งปฏิกิริยาร่วมด้วย เพื่อช่วยเพิ่มอัตราการเกิดปฏิกิริยา และค่าผลได้ (Yield) ในการทำไบโอดีเซลให้สูงขึ้น ในทางทฤษฎีแล้ว อัตราส่วนโดยโมลของแอลกอฮอล์ต่อ ไตรกลีเซอไรด์ที่ต้องใช้ในการทำให้ปฏิกิริยาเกิดขึ้นอย่างสมบูรณ์ คือ 3:1 แต่เนื่องจากปฏิกิริยาทรานส์อสเทอเรฟิเคชันเป็นปฏิกิริยาที่ผันกลับได้ ดังนั้นจึงมักมีการใส่แอลกอฮอล์ในปริมาณที่มากเกินพอก เพื่อให้สมดุลของปฏิกิริยาผันไปสู่ด้านที่ทำให้เกิดผลิตภัณฑ์เป็นไบโอดีเซลมากขึ้น แอลกอฮอล์ที่สามารถใช้ในการทำปฏิกิริยาได้มีหลายชนิด เช่น เมทานอล (Methanol) เอทานอล (Ethanol) โพรพาโนล (Propanol) และ บิวทานอล (Butanol) เป็นต้น แต่ที่นิยมใช้กันมากที่สุดคือ เมทานอล เนื่องจากมีราคาถูก และมีคุณสมบัติทางกายภาพและทางเคมีที่เหมาะสม คือ มีโมเลกุลขนาดเล็ก และมีความเป็นขั้วสูง จึงสามารถเข้าทำปฏิกิริยากับไตรกลีเซอไรด์ได้อย่างรวดเร็ว (Ma and Hanna, 1999)



ภาพที่ 4 ปฏิกิริยาทรานส์อสเทอเรฟิเคชันระหว่าง ไตรกลีเซอไรด์ และ แอลกอฮอล์

ที่มา: Marchetti et al. (2007)



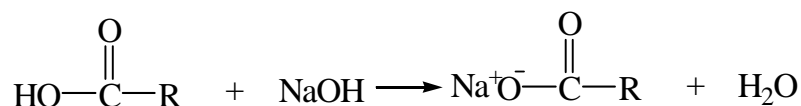
ภาพที่ 5 ขั้นตอนในการเกิดปฏิกิริยาทรานส์อสเทอโรฟิเคนชั่น

ที่มา: Marchetti *et al.* (2007)

2. การผลิตไบโอดีเซลด้วยปฏิกิริยาทรานส์อสเทอโรฟิเคนชั่น

การผลิตไบโอดีเซลด้วยปฏิกิริยาทรานส์อสเทอโรฟิเคนชั่นสามารถทำได้หลายวิธี เช่น การใช้ตัวเร่งปฏิกิริยาประเภทกรด ตัวเร่งปฏิกิริยาประเภทด่าง ตัวเร่งปฏิกิริยาแบบวิชพันธ์ ตัวเร่งปฏิกิริยาทางชีวภาพ และการใช้ເອລກອອຄົ້ນສປາວະວິກຸດຕີ เป็นต้น

2.1 การใช้ตัวเร่งปฏิกิริยาประเภทด่าง (Alkali Catalyst) การใช้ด่างในการเร่งปฏิกิริยาเป็นวิธีดั้งเดิม และเป็นที่นิยมใช้กันอย่างแพร่หลายมากที่สุดในการทำปฏิกิริยาทรานส์อสเทอโรฟิเคนชั่น โดยตัวเร่งประเภทด่างที่นิยมใช้ได้แก่ โซเดียมไฮดรอกไซด์ (NaOH) และ โพแทสเซียมไฮดรอกไซด์ (KOH) การใช้ตัวเร่งปฏิกิริยาประเภทด่างนี้เป็นวิธีที่มีประสิทธิภาพสูง มีบทบาทในการกัดกร่อนน้ำมัน และมีอัตราการเกิดปฏิกิริยาสูง แม้จะทำปฏิกิริยาที่อุณหภูมิเพียง 60 องศาเซลเซียส อย่างไรก็ตาม หากนำมันวัตถุคุณที่ใช้ในการผลิตไบโอดีเซลเป็นน้ำมันที่มีปริมาณกรดไขมันอิสระสูง เมื่อทำการเร่งปฏิกิริยาทรานส์อสเทอโรฟิเคนชั่นด้วยตัวเร่งประเภทด่าง จะเกิดปฏิกิริยาข้างเคียงซึ่งทำให้เกิดสนูปที่เรียกว่า ปฏิกิริยาสะพอนนิฟิเคนชั่น (Ranganathan *et al.*, 2008) ดังแสดงในภาพที่ 6 การเกิดสนูปนี้จะส่งผลให้ตัวเร่งปฏิกิริยานางส่วนถูกใช้ไปในปฏิกิริยาสะพอนนิฟิเคนชั่น ทำให้ประสิทธิภาพของตัวเร่งในการเร่งให้เกิดปฏิกิริยาทรานส์อสเทอโรฟิเคนชั่นมีลดลง และได้ผลิตภัณฑ์เป็นไบโอดีเซลน้อยลง (Demirbas, 2008)



กรด ไนมันอิสระ ตัวเร่งปฏิกิริยา สนับ นำ

ภาพที่ 6 ปฏิกิริยาสะพอนฟิเกชั่นระหว่างกรด ไนมันอิสระ กับตัวเร่งปฏิกิริยาประเภทต่าง

ที่มา: Gerpen (2005)

2.2 การใช้ตัวเร่งประเภทกรด (Acid Catalyst) การใช้กรดในการเร่งปฏิกิริยา ทรานส์อสเทอโรฟิเกชั่นเป็นวิธีดึงเดิมอีกวิธีหนึ่งที่ใช้ในการผลิตไบโอดีเซล โดยกรดที่นิยมใช้เป็น ตัวเร่งปฏิกิริยาคือ กรดซัลฟิริก (Sulfuric Acid) ตัวเร่งประเภทกรดนี้จะทำให้ค่าผลได้ในการ ผลิตไบโอดีเซลสูงมาก แต่มีอัตราในการเกิดปฏิกิริยาค่อนข้างต่ำ โดยส่วนมากมักใช้เวลาเป็นวัน เพื่อให้ปฏิกิริยาเสร็จสิ้น (Marchetti *et al.*, 2007) อย่างไรก็ตามการใช้ตัวเร่งประเภทกรดมี ประโยชน์มากในการผลิตไบโอดีเซลจากน้ำมันวัตถุดินที่มีปริมาณกรดไนมันอิสระสูง เนื่องจากไม่มีปัญหาในเรื่องของการเกิดสนับเมื่อมีนในกรณีของตัวเร่งประเภทต่าง (Gerpen, 2005)

2.3 การใช้ตัวเร่งปฏิกิริยาทางชีวภาพ (Enzyme catalyst) เออนไซม์ไลเพส (Lipase Enzyme) เป็นเออนไซม์ที่สามารถเร่งปฏิกิริยาได้หลายชนิด เช่น ปฏิกิริยาไฮโดรไลซิส (Hydrolysis) และ酼 Koholysis และเอชีดไลซิส (Acidolysis) อย่างไรก็ตาม ได้มีการค้นพบว่า เออนไซม์ไลเพสสามารถใช้ในการเร่งปฏิกิริยาทรานส์อสเทอโรฟิเกชั่น และ อสเทอโรฟิเกชั่นได้ ด้วยเช่นกัน ข้อดีของการใช้เออนไซม์ไลเพสในการเร่งปฏิกิริยาคือ มีความปลอดภัย และ ไม่เป็นพิษ กับสิ่งแวดล้อม อย่างไรก็ตามเออนไซม์ไลเพสยังคงมีราคาที่ค่อนข้างสูง ดังนั้นการใช้เออนไซม์ในการ เร่งปฏิกิริยาจึงยังไม่เป็นที่นิยมมากนักในการผลิตไบโอดีเซล (Marchetti *et al.*, 2007)

2.4 การใช้ตัวเร่งปฏิกิริยาแบบวิชพันธ์ (Heterogeneous or Solid Catalyst) เป็นการผลิต ไบโอดีเซลด้วยกระบวนการทรานส์อสเทอโรฟิเกชั่น โดยตัวเร่งปฏิกิริยาที่ใช้ไม่ละลายเป็นเนื้อ เดียวกัน (Heterogeneous) กับน้ำมันและ酼 Koholysis ตัวเร่งปฏิกิริยาแบบวิชพันธ์ที่ได้ถูกนำมา ศึกษาเพื่อใช้ในการผลิตไบโอดีเซลได้แก่ สารประกอบเชิงช้อนของโลหะ สารในกลุ่มไฮดรอกไซด์ ของโลหะ และ สารในกลุ่มออกไซด์ของโลหะ เช่น แคลเซียมออกไซด์ แมgnesiiumออกไซด์ และ เชอร์โภเนียมออกไซด์ เป็นต้น ตัวเร่งปฏิกิริยาเหล่านี้ไม่ทำให้เกิดสนับในระหว่างการทำปฏิกิริยา

และสามารถแยกออกจากใบโอดีเซลได้ง่าย ทำให้ใบโอดีเซลที่ได้มีการปนเปื้อนของตัวเร่งปฏิกิริยาในปริมาณน้อย ช่วยลดค่าใช้จ่ายในการทำใบโอดีเซลให้บริสุทธิ์ลดการใช้กรดและน้ำในการล้างใบโอดีเซล ทำให้มีความเป็นมิตรต่อสิ่งแวดล้อมมากกว่าการใช้ตัวเร่งปฏิกิริยาที่ผสมเข้าเป็นเนื้อเดียวกันกับสารตั้งต้น อย่างไรก็ตามปัญหาสำคัญของการใช้ตัวเร่งปฏิกิริยาแบบวินิชพันธ์คือ มีอัตราในการเกิดปฏิกิริยาค่อนข้างต่ำ เนื่องจากตัวเร่งปฏิกิริยาไม่ผสมเข้าเป็นเนื้อเดียวกับสารตั้งต้น (Zabeti *et al.*, 2009)

2.5 การใช้แอลกอฮอล์ในสภาวะวิกฤติ แอลกอฮอล์ในสภาวะวิกฤตมีความสามารถลดลายเข้ากับน้ำมันได้ดี ทำให้น้ำมันและแอลกอฮอล์เข้าทำปฏิกิริยารานส์ເອສເທେରີຟຒເກ່ສັນໄດ້ຍ່າງສມບູຽນໃນเวลาอันรวดเร็ว โดยข้อดีของการผลิตใบโอดีเซลตัวบีชິນີ້ເຖິງກັບการผลิตโดยใช้ตัวเร่งปฏิกิริยา คือ ผลิตภัณฑ์ที่ได้มีความบริสุทธิ์มากกว่า ใช้เวลาในการทำปฏิกิริยาน้อยกว่า และมีความเป็นมิตรกับสิ่งแวดล้อมมากกว่า อย่างไรก็ตามการผลิตโดยบีชິນີ້ต้องทำในสภาวะที่มีอุณหภูมิและความดันสูง (Demirbas, 2008)

แม้ว่าปฏิกิริยารานส์ເອສເທେରີຟຒເກ່ສັນຈະสามารถถูกเร่งໄດ້ด้วยตัวเร่งปฏิกิริยาหลายประเภทดังที่ได้กล่าวมาแล้วข้างต้น แต่ในการผลิตใบโอดีเซลในระดับอุตสาหกรรมจะใช้เพียงตัวเร่งประเภทด่างเท่านั้นในการผลิตใบโอดีเซล (Ranganathan *et al.*, 2008)

3. แหล่งของน้ำมันเชื้อกาฟที่ใช้เป็นวัตถุดินในการผลิตใบโอดีเซล

ใบโอดีเซลสามารถผลิตได้จากน้ำมันเชื้อกาฟหลายชนิด ได้แก่

3.1 น้ำมันพืชบริสุทธิ์ เช่น น้ำมันถั่วเหลือง น้ำมันเมล็ด共和 น้ำมันเมล็ดทานตะวัน และน้ำมันจากสาหร่าย เป็นต้น

3.2 น้ำมันพืชที่ผ่านการใช้งานแล้ว

3.3 ไขมันจากสัตว์

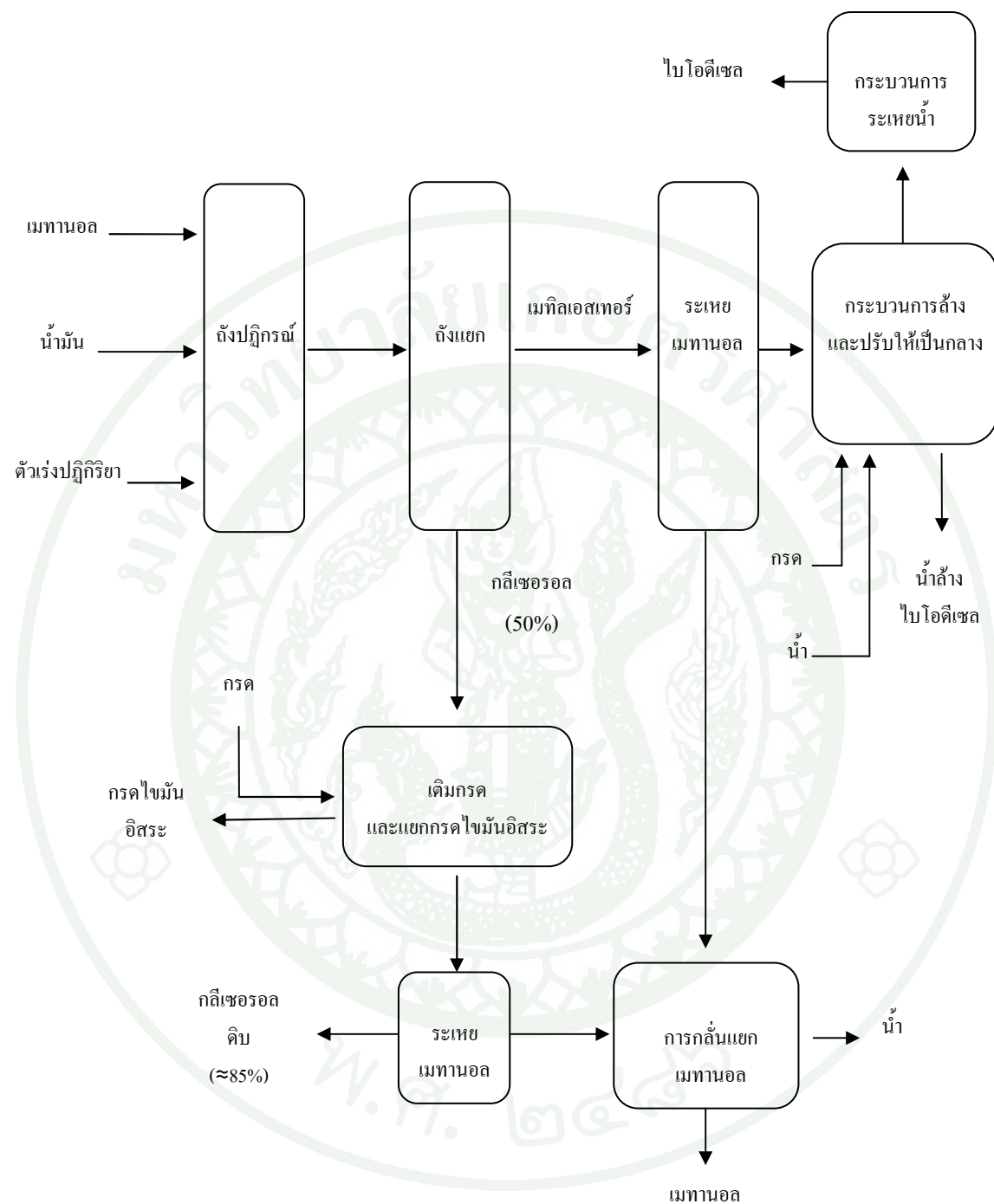
3.4 น้ำมันจากพืชที่ไม่ใช่อาหาร เช่น น้ำมันจากเมล็ดสนุุ่ดำ เป็นต้น

ในแต่ละภูมิภาคของโลกมีความนิยมใช้แหล่งของน้ำมันเชิงพาทที่ใช้เป็นวัตถุดิบในการผลิตไบโอดีเซลแตกต่างกันไป ขึ้นอยู่กับชนิดของพืชน้ำมันที่สามารถเพาะปลูกและให้ผลผลิตได้ดีในภูมิภาคนั้น ๆ ในประเทศไทยสหราชอาณาจักรนิยมใช้น้ำมันถั่วเหลืองเป็นหลัก ขณะที่ประเทศไทยในทวีปยุโรปนิยมใช้น้ำมันจากเมล็ดれพ ส่วนในประเทศไทยเดเชีย อินโดนีเซีย และไทยนิยมใช้น้ำมันปาล์ม เป็นวัตถุดิบหลักในการผลิตไบโอดีเซล (Demirbas, 2008)

กลีเซอรอลจากกระบวนการผลิตไบโอดีเซล

การผลิตไบโอดีเซลในระดับอุตสาหกรรมในปัจจุบันเป็นการผลิตด้วยปฏิกริยากรานส์ເອສເທອຣີເຄັ່ນ ที่ใช้ตัวเร่งปฏิกิริยาในการเร่งปฏิกริยาโดยมีขั้นตอนในการผลิตดังแสดงในภาพที่ 7 เริ่มจากทำการผสมเมทานอล และตัวเร่งปฏิกริยาเข้าด้วยกัน จากนั้นป้อนเข้าสู่ถังปฏิกรณ์พร้อมกับน้ำมันวัตถุดิบ ทำการกวนผสมเพื่อให้เกิดปฏิกริยากรานส์ເອສເທອຣີເຄັ່ນที่อุณหภูมิ 60 องศาเซลเซียส เป็นเวลาประมาณ 1 ชั่วโมง สำหรับโรงงานที่มีขนาดเล็กมักทำการผลิตด้วยระบบการผลิตแบบคงที่ ส่วนโรงงานขนาดใหญ่ที่มีกำลังผลิตสูงมักทำการผลิตด้วยระบบการผลิตแบบต่อเนื่อง โดยใช้ถังปฏิกรณ์ขนาดกว้างและยาว (Continuous Stirred-tank Reactor) หรือถังปฏิกรณ์แบบท่อໄ宦 (Plug Flow Reactor) เมื่อสิ้นสุดขั้นตอนการทำปฏิกริยาแล้ว สารผลิตภัณฑ์ซึ่งเป็นของผสมที่มีองค์ประกอบส่วนใหญ่เป็นเมทิลເອສເທອຣີและกลีเซอรอลจะถูกนำไปพักในถังตะกอน (Settling Tank) หรือนำไปปั่นเหวี่ยง เพื่อทำการแยกชั้นเมทิลເອສເທອຣີและกลีเซอรอลออกจากกัน เมทิลເອສເທອຣີที่แยกได้จากชั้นตอนนี้ยังคงมีเมทานอล สนิม กลีเซอรอล และตัวเร่งปฏิกริยาบางส่วนปนเปื้อนอยู่ ดังนั้นจึงต้องนำไปผ่านกระบวนการทำให้บริสุทธิ์ขึ้นต่อไปโดยทำการระบายน้ำที่หลงเหลืออยู่ออก ทำการปรับสภาพให้เป็นกลางด้วยการเติมกรด และทำการล้างด้วยน้ำ เพื่อกำจัดตัวเร่งปฏิกริยา สนิม เกลือ และกลีเซอรอลที่หลงเหลืออยู่ออก จากนั้นทำการระบายน้ำที่หลงเหลือจากชั้นตอนการล้างออก ทำให้ได้เมทิลເອສເທອຣີที่พร้อมนำไปใช้เป็นไบโอดีเซลต่อไป และเนื่องจากปฏิกริยากรานส์ເອສເທອຣີເຄັ່ນเป็นปฏิกริยาที่ผันกลับได้ ดังนั้นในการผลิตไบโอดีเซล ผู้ผลิตส่วนใหญ่มักใช้อัตราส่วนโดยไม่ลงของแอลกอฮอล์ต่อน้ำมันเท่ากับ 6 ต่อ 1 ซึ่งเป็นปริมาณที่มากเกินกว่าปริมาณที่จำเป็นในทางทฤษฎีถึง 100 เปรอร์เซ็นต์ ทั้งนี้เพื่อให้สมดุลของปฏิกริยาผันไปสู่ด้านที่ทำให้เกิดผลิตภัณฑ์เป็นไบโอดีเซลมากขึ้น โดยแอลกอฮอล์ที่เหลือจากการทำปฏิกริยาส่วนใหญ่จะเข้าไปรวมอยู่ในชั้นกลีเซอรอล นอกจากนี้สนิมที่เกิดขึ้นระหว่างกระบวนการผลิต และตัวเร่งปฏิกริยาส่วนใหญ่ จะเข้าไปรวมอยู่ในชั้นกลีเซอรอลด้วย เช่นกัน ดังนั้นกลีเซอรอลที่เกิดจากการกระบวนการผลิตไบโอดีเซลจึงเป็นกลีเซอรอลที่มีมูลค่าต่ำเนื่องจากมีสิ่งเจือปนผสมอยู่ด้วยจำนวนมาก การนำกลีเซอรอลจากกระบวนการผลิตไบโอดีเซลไป

ใช้ในอุตสาหกรรมเครื่องสำอาง อาหาร และyanน์ สามารถทำได้โดยนำกลีเซอรอลดังกล่าวไปผ่านกระบวนการทำให้บริสุทธิ์ขึ้น แต่ในทางปฏิบัติแล้ว การทำกลีเซอรอลดิบจากการผลิตในโอดีเซลให้เป็นกลีเซอรอล บริสุทธิ์จะสามารถทำได้หรือไม่นั้น ต้องพิจารณาถึงความพร้อมทางด้านอุปกรณ์ต่าง ๆ ที่จำเป็นต่อกระบวนการทำให้กลีเซอรอลบริสุทธิ์ ประกอบกับ ความคุ้มค่าในทางเศรษฐศาสตร์ของการดำเนินงาน ซึ่งขึ้นอยู่กับขนาดการผลิตของผู้ผลิตในโอดีเซลเอง ในกรณีของผู้ผลิตในโอดีเซลรายใหญ่นั้น สามารถทำให้กลีเซอรอลดิบมีความบริสุทธิ์มากขึ้นได้อย่างมีความคุ้มค่าทางเศรษฐศาสตร์ แต่สำหรับกรณีของผู้ผลิตในโอดีเซลขนาดกลางและขนาดเล็ก การทำกลีเซอรอลดิบให้บริสุทธิ์ขึ้นจะมีค่าใช้จ่ายสูงเกินกว่าที่จะทำให้มีความคุ้มค่าทางเศรษฐศาสตร์ได้โดยส่วนใหญ่ของผู้ผลิตในโอดีเซลที่ไม่สามารถทำให้กลีเซอรอลจากกระบวนการผลิตในโอดีเซล บริสุทธิ์ขึ้นได้ จะทำการระเหยเมทานอลออกจากกลีเซอรอลดิบเพื่อนำกลับไปใช้ในกระบวนการผลิตในโอดีเซลต่อไป สำหรับผู้ผลิตในโอดีเซลรายใหญ่ที่มีความพร้อมในการทำให้กลีเซอรอลดิบ มีความบริสุทธิ์ขึ้นได้ จะนำกลีเซอรอลดิบไปผ่านกระบวนการต่าง ๆ ดังแสดงในภาพที่ 7 ในขั้นตอนแรกจะมีการเติมกรดลงในกลีเซอรอลดิบเพื่อให้สนับสนุนการแยกตัวเป็นเกลือและกรด ไขมันอิสระ โดยกรดไขมันอิสระที่เกิดขึ้นจะลอยตัวแยกชั้นออกจากกลีเซอรอล เนื่องจากกรดไขมันอิสระไม่สามารถละลายในกลีเซอรอลได้ เกลือที่เกิดขึ้นบางส่วนยังคงละลายอยู่ในกลีเซอรอล ในขณะที่บางส่วนอาจตกตะกอนออกไปจากกลีเซอรอล ส่วนเมทานอลที่ผสมอยู่กับกลีเซอรอลดิบจะถูกระบายน้ำเพื่อนำกลับไปใช้ในกระบวนการผลิตในโอดีเซลต่อไป จากนั้น กลีเซอรอลจะถูกนำไปผ่านกระบวนการกรองลักษณะให้ภาวะสูญญากาศ (Vacuum Distillation) หรือกระบวนการแยกเปลี่ยนประจุ (Ion Exchange) อีกขั้นหนึ่ง เพื่อให้กลีเซอรอลมีความบริสุทธิ์เป็น 99.5 ถึง 99.7 เปอร์เซ็นต์ ซึ่งเป็นความบริสุทธิ์ที่เพียงพอสำหรับนำไปใช้เป็นส่วนผสมในเครื่องสำอาง อาหาร และyanได้ (Gerpen, 2005)



ภาพที่ 7 กระบวนการผลิตใบໂອົດີເໜລໃນອຸຕສາກຮຽມ

ที่มา: Gerpen (2005)

การใช้ประโยชน์ก่อเรื่องอดิบ

เนื่องจากในปัจจุบันมีก่อเรื่องอดิบเกิดขึ้นจากการผลิตใบโอดีเซลในปริมาณมาก ทำให้มีการศึกษาเกี่ยวกับการใช้ประโยชน์ก่อเรื่องอดิบในแนวทางต่าง ๆ ดังนี้

1. การใช้เป็นชี้เพลิง มีรายงานว่าก่อเรื่องอดิบสามารถนำไปเผาเพื่อให้ความร้อนได้อย่างไรก็ตามวิธีการนี้ไม่เหมาะสมกับโรงงานผลิตใบโอดีเซลขนาดใหญ่เนื่องจากให้ผลประโยชน์ในทางเศรษฐศาสตร์ค่อนข้างต่ำ (Johnson and Taconi, 2007)
2. การใช้เป็นอาหารสัตว์ Lammers *et al.* (2008) ได้ทำการศึกษาการเติมก่อเรื่องอดิบลงในอาหารสำหรับเลี้ยงหมู จากการทดลองพบว่าหมูสามารถย่อยก่อเรื่องอดและนำไปลังงานไปใช้ได้ในสัดส่วนที่เทียบเท่ากับการใช้น้ำมันถั่วเหลืองและข้าวโพดเป็นอาหาร ทำให้สรุปได้ว่า ก่อเรื่องอดสามารถใช้เป็นแหล่งพลังงานในอาหารเลี้ยงหมู ได้อย่างมีประสิทธิภาพ อย่างไรก็ตามควรมีความระมัดระวังในเรื่องของผลกระทบที่อาจเกิดจากถังเชื้อปนที่มีอยู่ในก่อเรื่องอดด้วยเนื่องจากยังมีข้อมูลการศึกษาเกี่ยวกับเรื่องดังกล่าวน้อยมาก
3. การใช้เป็นสารตั้งต้นในการผลิตผลิตภัณฑ์ด้วยวิธีทางเคมี มีการศึกษาว่าก่อเรื่องอดสามารถใช้เป็นสารตั้งต้นในการผลิตสารเคมีได้หลายชนิด เช่น โพรพีลีนไอกลคอล (Propylene Glycol) (Alhanash *et al.*, 2008) และ อัซซิตอล (Acetol) (Chiu *et al.*, 2006) เป็นต้น
4. การใช้เป็นแหล่งคาร์บอนในการเผาเลี้ยงจุลินทรีย์ มีรายงานว่าก่อเรื่องอดสามารถใช้เป็นแหล่งคาร์บอนในการเผาเลี้ยงจุลินทรีย์ เพื่อผลิตผลิตภัณฑ์ต่าง ๆ ได้หลายชนิด โดยได้ทำการสรุปตัวอย่างของงานวิจัยที่ทำการศึกษาเกี่ยวกับเรื่องดังกล่าวไว้ในตารางที่ 2

ตารางที่ 2 งานวิจัยที่ใช้กลีเซอรอลดินในการเพาะเลี้ยงจุลินทรีย์

ผู้ทำการทดลอง	จุลินทรีย์ที่ใช้ในการทดลอง	ผลิตภัณฑ์ที่ได้
Asad-ur-Rhemen <i>et al.</i> , 2008	<i>Clostridium butyricum</i> DSM5431	1,3-โพรเพนไคօօլ
Imandi <i>et al.</i> , 2007	<i>Yarrowia lypolytica</i> NCIM 3589	กรดซิตริก
Chi <i>et al.</i> , 2007	<i>Schizochytrium limacinum</i> SR21	ดีอีชเอ (DHA)
Mu <i>et al.</i> , 2006	<i>Klebsiella pneumoniae</i>	1,3-โพรเพนไคօօล
Ito <i>et al.</i> , 2005	<i>Enterobacter aerogenes</i> HU-101	ไฮโคลเรเจนและเอทานอล
Gonzalez-Pajuelo <i>et al.</i> , 2004	<i>Clostridium butyricum</i> VPI3266	1,3-โพรเพนไคօօล

ปาล์มน้ำมัน

ปาล์มน้ำมันเป็นพืชนำมันสำหรับใช้ในการอุปโภคและบริโภคที่สำคัญ สามารถให้ปริมาณน้ำมันต่อหน่วยพื้นที่สูงมากเมื่อเปรียบเทียบกับพืชนำมันชนิดอื่น สำหรับประเทศไทย ปาล์มน้ำมัน เป็นพืชนำมันที่มีรายงานปริมาณผลผลิตในแต่ละปีสูงที่สุด (คณะกรรมการธุรกิจการพลังงาน สภาผู้แทนราษฎร, 2545)

1. อนุกรมวิธานของปาล์มน้ำมัน

ปาล์มน้ำมันจัดอยู่ในพืชตระกูลปาล์ม ออยู่ในวงศ์ (Family) Palmae ตระกูลย่อย (Sub-family) Coccoineae สกุล (Genus) Elaeis ซึ่งมีอยู่สามชนิด (Species) ได้แก่

Corogo oleifera (American Oil Palm) มีถิ่นกำเนิดทางอเมริกากลาง ปานามา โคลัมเบีย และแคนดูร์เอมเมอร์เชอน

Elaeis odora ปาล์มน้ำมันชนิดนี้ไม่มีรายงานความสำคัญทางเศรษฐกิจ

Elaeis guineensis jacq. (African Oil Palm) หรือ Alfonsia quineensis. H.B.K เป็นปาล์มน้ำมันที่มีความสำคัญทางเศรษฐกิจและนิยมปลูกเพื่อการค้าในปัจจุบัน (ศักดิ์ศิลป์ และคณะ, 2541)

2. ขั้นตอนการสกัดน้ำมันปาล์ม

ทะลายปาล์มน้ำมันประกอบด้วยผลปาล์มน้ำมันจำนวนมากติดอยู่กับก้านทะลาย โดยมีลักษณะดังแสดงในภาพที่ 8 ผลปาล์มน้ำมันประกอบตัวละ 2 ส่วนที่สามารถหีบนำมันได้ คือ เปเลือกนอกของผลปาล์ม (Mesocarp) และ เนื้อของเมล็ดในปาล์ม (Kernel) ดังแสดงในภาพที่ 9 นำมันที่สกัดได้จากเปลือกนอกของผลปาล์มเรียกว่า น้ำมันปาล์มดิบ (Crude Palm Oil) และนำมันที่สกัดได้จากเนื้อของเมล็ดในปาล์ม เรียกว่า นำมันเมล็ดในปาล์ม (Palm Kernel Oil) นำมัน 2 ชนิดนี้มีคุณสมบัติทางเคมีและองค์ประกอบกรดไขมันที่แตกต่างกัน โดยนำมันปาล์มดิบจะมีกรดไขมันไม่อิ่มตัวในปริมาณสูงกว่านำมันเมล็ดในปาล์ม (คณะกรรมการธุรกิจการพัฒนา สภาผู้แทนราษฎร, 2545)



ภาพที่ 8 ลักษณะของผลปาล์มน้ำมันที่ติดอยู่กับทะลาย

ที่มา: ศูนย์วิจัยปาล์มน้ำมันสุราษฎร์ธานี (2552)



ภาพที่ 9 ลักษณะของผลปาล์มน้ำมันผ่าซีก

ที่มา: โครงการพัฒนาระบบฐานข้อมูลด้านการเกษตรและสหกรณ์ของจังหวัด (2552)

หลังจากพัฒนาสายพันธุ์ปาล์มน้ำมันแล้ว จะถูกนำไปใช้ในการตัด แห้ง หรือ เก็บเกี่ยว โดยการตัด แห้ง หรือ เก็บเกี่ยว ออกจากต้นปาล์มน้ำมันแล้ว จะถูกนำไปใช้กระบวนการสกัดหรือหีบห่ำน้ำมันออกมาน้ำมันเพื่อใช้ประโยชน์ต่อไป กระบวนการสกัดน้ำมันเป็นขั้นตอนที่มีความสำคัญมาก เพราะเป็นการอาบน้ำมันออกจากผลปาล์มน้ำมัน และเป็นการทำให้ได้น้ำมันดินที่มีคุณภาพสูงที่สุดเพื่อใช้ในการแปรรูปต่อไป กระบวนการสกัดน้ำมันปาล์มน้ำมันเป็นงานของโรงงานที่เรียกว่าโรงงานสกัดน้ำมันปาล์ม (พรชัย, 2549) โดยโรงงานสกัดน้ำมันปาล์มในประเทศไทยแบ่งออกได้เป็น 2 ประเภท คือ โรงงานขนาดเล็ก ทำการผลิตโดยสกัดน้ำมันจากผลปาล์มด้วยเครื่องสกัดแบบเกลียวอัด ชนิดเดียวกับที่ใช้ผลิตน้ำมันมะพร้าว การสกัดด้วยวิธีนี้จะได้น้ำมันปาล์มและน้ำมันเมล็ดในปาล์มปะปนกัน และโรงงานขนาดใหญ่ เป็นโรงงานสกัดน้ำมันปาล์มแบบมาตรฐาน ทำการผลิตโดยสกัดน้ำมันจากผลปาล์มด้วยเครื่องสกัดแบบเกลียวอัดชนิดเกลียวคู่ ทำให้สามารถแยกน้ำมันปาล์ม และน้ำมันเมล็ดในปาล์มออกจากกันได้ ซึ่งวิธีการสกัดแบบมาตรฐานนี้เป็นวิธีที่นิยมใช้กันโดยทั่วไป (คณะกรรมการธุรกิจการพัฒนา สภาผู้แทนราษฎร, 2545) จึงขอค่าวิธีการสกัดของสายพันธุ์ปาล์มน้ำมันดังต่อไปนี้

พัฒนาสายพันธุ์ปาล์มน้ำมันที่ผลิตได้จากสวนจะถูกส่งเข้าสู่โรงงานสกัดน้ำมัน โดยผ่านกระบวนการต่างๆ ดังนี้

2.1 การอบไอน้ำความดัน เป็นกระบวนการที่นำทะลายสุดของปาล์มน้ำมันเข้าไปอบด้วยความร้อนและความดันไอน้ำ ที่อุณหภูมิประมาณ 100 องศาเซลเซียส ความดันไอน้ำเท่ากับ 2.4 ถึง 3.4 กิโลกรัมต่อตารางเซนติเมตร เป็นเวลา 60 ถึง 70 นาที เพื่อยับยั้งกระบวนการที่จะทำให้เกิดกรดไขมันอิสระ ในผลปาล์มน้ำมัน และทำให้ผลปาล์มน้ำมันหลุดร่วงออกจากทะลายได้ง่ายขึ้น นอกจากนี้ยังทำให้ชั้นเปลือกน้ำมันเพื่อความสะอาดในการหีบน้ำมัน และเป็นการลดปริมาณน้ำในผลปาล์มน้ำมันอีกด้วย (พรชัย, 2549)

2.2 การแยกผลปาล์มน้ำมันออกจากทะลาย ในกระบวนการนี้ทะลายปาล์มน้ำมันจะถูกนำเข้าเครื่องนวด เพื่อแยกผลปาล์มน้ำมันออกจากทะลาย เมื่อเสร็จสิ้นขั้นตอนนี้จะทำให้ได้ผลปาล์มน้ำมันและทะลายเปล่าแยกจากกัน ส่วนของผลปาล์มน้ำมันจะถูกส่งต่อไปยังขั้นตอนการย่อยผล และส่วนของทะลายปาล์มน้ำมันจะถูกนำไปเผาหรือใช้ในการคุณตันปาล์มในส่วนต่อไป (พรชัย, 2549)

2.3 การย่อยผลปาล์มน้ำมัน ผลปาล์มที่แยกออกจากทะลายแล้วจะถูกส่งมาตีบอยเพื่อให้มีความนุ่ม และพร้อมต่อการสกัดน้ำมันออกในขั้นต่อไป (คณะกรรมการธุรกิจการพลังงาน สถาบันเคมีและเคมีอุตสาหกรรม, 2545)

2.4 การสกัดน้ำมันปาล์ม ผลปาล์มที่ผ่านการนีบย่อยแล้ว จะถูกส่งเข้าสู่เครื่องสกัดเกลียวอัดชนิดเกลียวคู่ เพื่อสกัดน้ำมันออกจากเปลือกของผลปาล์ม ในกระบวนการนี้เครื่องสกัดเกลียวอัดจะถูกปรับระยะห่างของเกลียวให้เหมาะสม เพื่อให้สามารถสกัดน้ำมันออกได้มากที่สุด โดยให้กลาของเมล็ดในปาล์มแตกน้อยที่สุด ทั้งนี้เพื่อให้ได้น้ำมันปาล์มที่มีคุณภาพตามมาตรฐาน ในส่วนที่เป็นกาพพืชน้ำมัน ประกอบด้วยเต้านไข และเมล็ดปาล์ม จะถูกเป่าด้วยลมร้อนให้แห้ง และแยกออกจากกันด้วยไซโคลน เมล็ดปาล์มน้ำมันจะถูกส่งเข้าเครื่องกะเทาะเพื่อแยกกลาและเมล็ดในปาล์ม สำหรับเต้านไขและกลาที่ถูกแยกออกจะถูกใช้เป็นเชื้อเพลิงสำหรับหม้อไอน้ำ ส่วนเมล็ดในจะถูกส่งไปยังโรงงานสกัดน้ำมันจากเนื้อในต่อไป (คณะกรรมการธุรกิจการพลังงาน สถาบันเคมีและเคมีอุตสาหกรรม, 2545)

2.5 การกรองน้ำมัน น้ำมันดินที่ได้จากการหีบจะถูกกรองเพื่อแยกกาคน้ำมันออก โดยเครื่องกรองน้ำมันซึ่งเป็นแบบที่มีแผ่นกรองหลายชั้น เมื่อเสร็จสิ้นการกรองจะได้น้ำมันที่สะอาดปราศจากกาคน้ำมัน (พรชัย, 2549)

2.6 การเหวี่ยง เป็นการใช้เครื่องเหวี่ยงความเร็วสูงในการแยกน้ำและสิ่งเจือปนออกจากน้ำมันดิน เนื่องจากน้ำมันที่ได้จากการกรองขังคงมีน้ำและสิ่งเจือปนอื่น ๆ ปนเปื้อนอยู่ การ

ให้บ่งน้ำเสียความเร็วสูง และความร้อนเข้าช่วยในการแยกอาบน้ำและสิ่งเจือปนออกจากน้ำมันดิบได้ (พ.ศ. 2549)

2.7 การสกัดความชื้น น้ำมันดิบที่เข้าเครื่องให้บ่งเรียบร้อยแล้วจะยังคงมีความชื้นอยู่ จึงต้องทำการสกัดความชื้นออกก่อนนำไปบรรจุถังเพื่อส่งต่อไปยังโรงงานแปรรูปต่อไป (พ.ศ. 2549)

น้ำมันที่ได้จากการกระบวนการสกัดนี้เป็นน้ำมันปาล์มดิบที่มีปริมาณกรดไขมันชนิดต่าง ๆ ดังแสดงไว้ในตารางที่ 3 อย่างไรก็ตามปริมาณของกรดไขมันเหล่านี้ไม่ค่อยแน่นอน ขึ้นอยู่กับสายพันธุ์ของปาล์มน้ำมัน สภาพเดินฟ้าอากาศ และภูมิอากาศที่ปลูก

ตารางที่ 3 ปริมาณกรดไขมันชนิดต่าง ๆ ในน้ำมันปาล์มดิบ

ชนิดของกรดไขมัน	ร้อยละ โดยน้ำหนักของกรดไขมัน
กรดไขมันอิมตัว	
กรด Lauric Acid (C12)	เล็กน้อย
กรด Myristic Acid (C12)	2
กรด Palmitic Acid (C16)	43
กรด Stearic Acid (C18)	7
กรด Arachidic Acid (C20)	เล็กน้อย
รวม	52
กรดไขมันไม่อิมตัว	
กรด Oleic Acid (C18:1)	39
กรด Linoleic Acid (C18:2)	9
กรด Linolenic Acid (C18:3)	เล็กน้อย
รวม	48

ที่มา: ศักดิ์ศิลป์ และคณะ (2541)

3. การกลั่นน้ำมันบริสุทธิ์

น้ำมันที่ได้จากโรงงานสกัดน้ำมันปาล์ม จะเป็นผลผลิตอุดมในรูปแบบของน้ำมันดิบ ซึ่งส่วนใหญ่แล้วข้างไม่สามารถนำไปใช้ประโยชน์ได้โดยตรง จึงต้องมีการนำมากลั่นให้บริสุทธิ์ (Refine) หลังจากผ่านกระบวนการกรกลั่นบริสุทธิ์แล้วจะทำให้ได้น้ำมันบริสุทธิ์ (Refine Oil) ซึ่งจะสามารถนำไปประรูปต่าง ๆ ได้ต่อไป

กระบวนการกรกลั่นน้ำมันให้บริสุทธิ์เป็นขั้นตอนการกำจัดสิ่งเจือปนต่าง ๆ ที่ไม่ต้องการออกไปจากน้ำมันดิบ สารต่าง ๆ ที่ถูกสกัดออกไปได้แก่ สารในกลุ่มไฮโดรเลติก คือ สารพาก กลีเซอไรด์ เอนไซม์ ครดไขมันอิสระ สิ่งสกปรก และความชื้น สารในกลุ่มออกซิเดทีฟ คือ สารพากโลหะหนัก เม็ดสี สารโทโคฟิโรอล (Tocopherol) และ สารฟอสฟาไทด์ (Phosphatide) และสารที่เป็นตัวเร่งให้เกิดสารพิษ ได้แก่ กำมะถัน ชาโอลเจน และไนโตรเจน (พรชัย, 2549) โดยกระบวนการกรกลั่นน้ำมันให้บริสุทธิ์มี 2 แบบคือ

3.1 การกลั่นน้ำมันบริสุทธิ์โดยกระบวนการทางกายภาพ เป็นกระบวนการกรกลั่นน้ำมันดิบโดยการกำจัดสารพากฟอสฟาไทด์ และสิ่งเจือปนอื่น ๆ ที่ปนเปื้อนอยู่รอบ โดยมีขั้นตอนที่สำคัญคือ การนำน้ำมันดิบมาผสมกับครดฟอสฟอริก เพื่อให้สิ่งสกปรกเกิดการรวมตัวกันเป็นยางเหนียว (Gum) และแยกออกจากน้ำมันปาล์มดิบ จากนั้นนำเข้าสู่ขั้นตอนการฟอกสี (Bleaching) ตัวยดินฟอกสี เข้าเครื่องกรอง (Filter) เพื่อแยกเอาดินฟอกสีออก แล้วบรรจุลงถังพัก ในขั้นตอนนี้จะทำให้แยกตะกอนดินและสิ่งเจือปนออกไปได้ จากนั้นนำไปทำการกำจัดกลิ่น และครดไขมันอิสระออกโดยใช้วิธีการพ่นไอน้ำที่มีอุณหภูมิประมาณ 240 ถึง 260 องศาเซลเซียส ในสภาพสูญญากาศ เป็นเวลาประมาณ 1 ถึง 2 ชั่วโมง เมื่อสิ่นสุดขั้นตอนนี้จะทำให้ได้น้ำมันที่เรียกว่า “น้ำมัน อาร์บีดี” (RBD) โดยคำว่า อาร์บีดีนี้ย่อมาจาก “Refining Bleaching Deodorising” ซึ่งมีความหมายว่า น้ำมันได้ผ่านการกลั่น ฟอกสี และกำจัดกลิ่นเรียบร้อยแล้ว น้ำมันอาร์บีดีที่ได้จากการกลั่นทางกายภาพเป็นน้ำมันที่มีความบริสุทธิ์ระดับหนึ่ง ซึ่งสามารถนำไปใช้ประโยชน์ได้หลายอย่าง เช่น ทำมาการ์น น้ำมันพืช น้ำมันทodoron ไอศครีม และเนยขาว การกลั่นด้วยวิธีทางกายภาพนี้มีข้อดีคือ มีต้นทุนในการดำเนินการต่ำ มีการสูญเสียน้ำมันในระหว่างกระบวนการกรกลั่นน้อย และไม่ทำให้เกิดน้ำเสียงออกจากโรงงานอีกด้วย

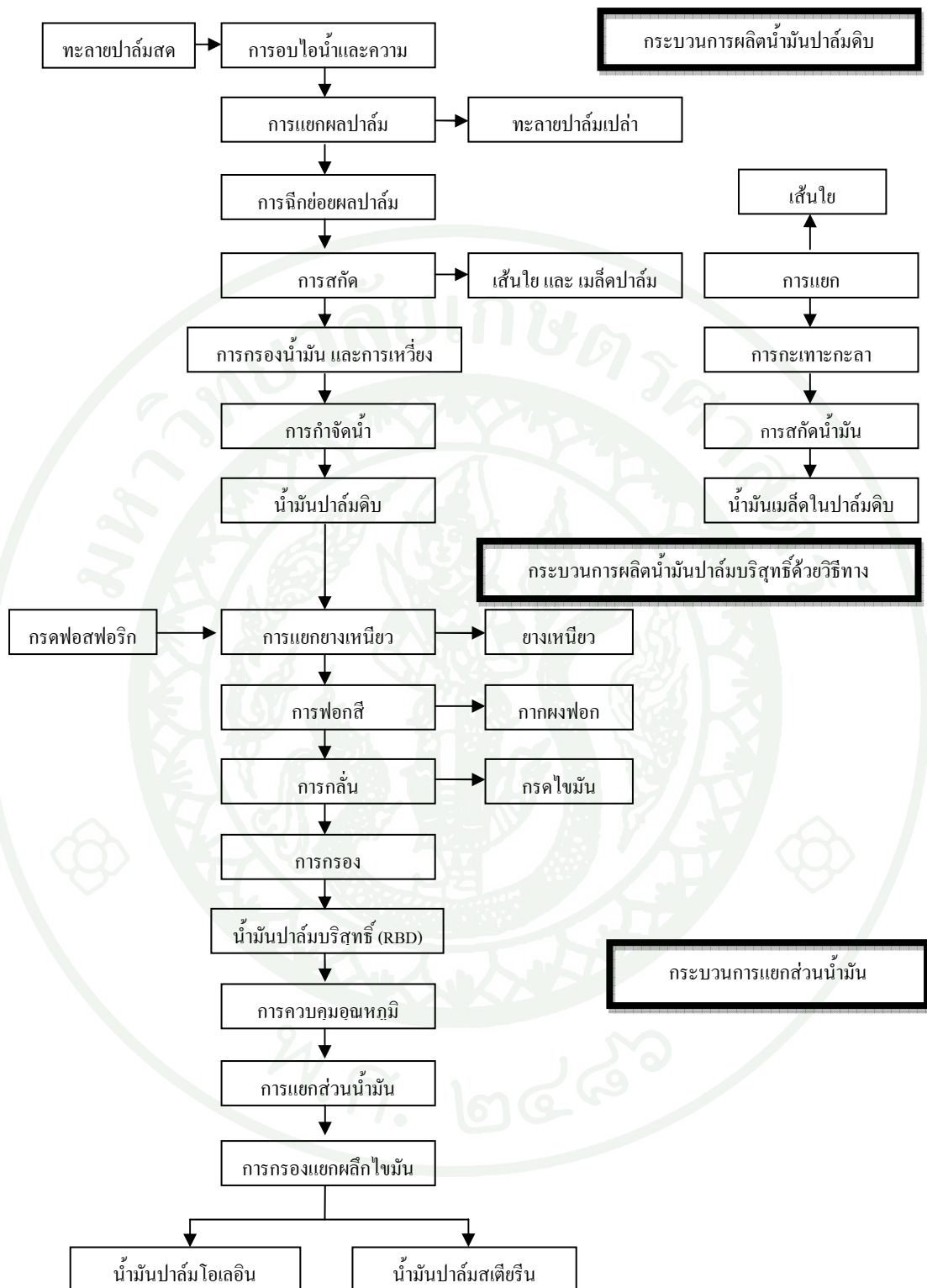
3.2 การกลั่นน้ำมันบริสุทธิ์โดยกระบวนการทางเคมี เป็นกระบวนการการกลั่นโดยใช้สารเคมี มากำปฏิกริยาในเกือบทุกขั้นตอน ดังนั้นจึงมีต้นทุนในการผลิตต่อหน่วยค่อนข้างสูง เริ่มจากการนำน้ำมันดิบมาผ่านกระบวนการแยกสารฟอสฟอร์ไฟฟ์ หรือ ยางเหనียวอกโดยการใช้กรดฟอสฟอริก เช่นเดียวกับกระบวนการทางกายภาพ จากนั้นนำเข้าสู่กระบวนการกำจัดคราบไขมันอิสระ โดยการใช้โซดาไฟ ทำการไล่น้ำหรือความชื้นออก ฟอกสีด้วยดินฟอกสี กรองดินฟอกสีออก กำจัดกลิ่นด้วยไօน้ำ ทำให้ใส (Polishing) และทำการให้เย็นลง จะได้น้ำมันอาร์บีดี เช่นกัน

4. กระบวนการแยกส่วนน้ำมัน

น้ำมันอาร์บีดีที่ผ่านกระบวนการการกลั่นบริสุทธิ์แล้วนั้น จะสามารถนำไปใช้ประโยชน์อย่างกว้างขวาง โดยที่โรงงานกลั่นน้ำมันบริสุทธิ์ จะขายหรือส่งต่อไปยังโรงงานแปรรูปขั้นสุดท้ายเพื่อผลิตให้แก่ผู้บริโภคได้

น้ำมันบริสุทธิ์ที่เป็นน้ำมันปาล์มอาร์บีดี (RBD Palm Oil) เมื่อปล่อยให้เย็นตัวลงที่อุณหภูมิห้อง จะตกผลึกเป็นไขมันปนอยู่กับน้ำมัน ทำให้ไม่เหมาะสมกับการบรรจุขวดเพื่อจำหน่าย เป็นน้ำมันบริโภค ดังนั้นจึงต้องนำไปผ่านกระบวนการแยกน้ำมันเหลวพอกโอลีน (Olein) ออก จากส่วนไขมันสเตียริน (Stearin) ที่เป็นของแข็ง (คณะกรรมการธุรกิจพลังงาน สภาผู้แทนราษฎร, 2545)

ส่วนของน้ำมันเหลวที่แยกได้นั้นเป็นน้ำมันอาร์บีดีของโอลีน เรียกว่า อาร์บีดีปาล์ม โอลีน (RBD Palm Olein) เป็นของเหลวสีเหลืองอ่อนที่อุณหภูมิห้อง สามารถนำไปใช้เป็นน้ำมันสำหรับปรุงอาหาร ใช้ในอุตสาหกรรมขนมเคี้ยว อาหารสำเร็จรับประทานบริโภค และใช้เป็นวัตถุดินในการทำความสะอาด ตลอดจนใช้เป็นน้ำมันทอดกรอบได้ ในขณะที่ส่วนของไขมันแข็งที่แยกได้ เรียกว่า น้ำมันบริสุทธิ์อาร์บีดีปาล์มสเตียริน (RBD Palm Stearin) เป็นของแข็งสีขาวที่อุณหภูมิห้อง แต่เมื่อถูกความร้อนจะเปลี่ยนเป็นสีเหลืองอ่อน น้ำมันอาร์บีดีสเตียรินสามารถนำไปใช้ประโยชน์ในการทำความสะอาด และใช้ในอุตสาหกรรมทำสนับ และเทียนໄจได้ (พรชัย, 2549) โดยแผนผังแสดงขั้นตอนในการสกัดน้ำมันปาล์มดิน กระบวนการผลิตน้ำมันปาล์มบริสุทธิ์ด้วยวิธีทางกายภาพ และกระบวนการแยกส่วนน้ำมันของน้ำมันปาล์มโดยสรุป ได้แสดงไว้ในภาพที่ 10



ภาพที่ 10 แผนภาพแสดงกระบวนการผลิตน้ำมันปาล์ม

ที่มา: คณะกรรมการพัฒนาฯ สถาบันวิทยาลัยเกษตรศาสตร์

5. ผลิตภัณฑ์ต่อเนื่องน้ำมันปาล์ม

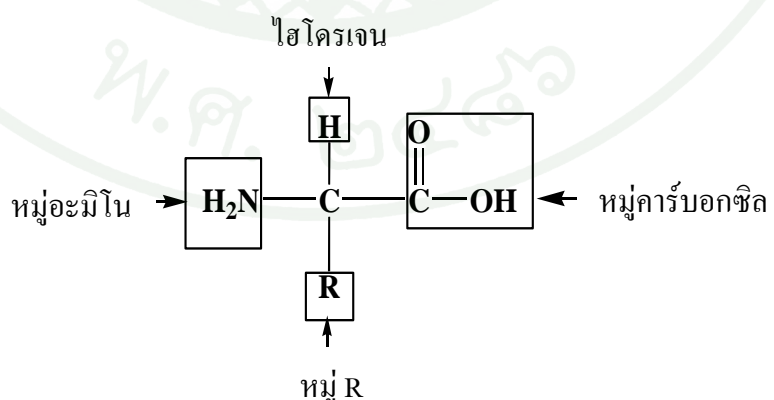
น้ำมันปาล์มสามารถนำไปใช้ประโยชน์ได้หลายอย่างเช่น ใช้เป็นน้ำมันปรงอาหาร น้ำมันสำหรับทอคในอุตสาหกรรมอาหาร ใช้ในผลิตมาการีน เนยขาว น้ำมันปาล์มเติมไฮโดรเจน นมข้นหวาน ไอศครีม ครีมเทียม นมเทียม สมู๊ฟ และใช้ในอุตสาหกรรมโอลิโอดีเมก็อกด อาหารสัตว์ ตลอดจนใช้ในการผลิตใบโอดิเซล เพื่อใช้เป็นพลังงานทดแทน (ศักดิ์ศิลป์ และคณะ, 2541)

กรดอะมิโน

กรดอะมิโนเป็นสารอินทรีย์ที่มีโมเลกุลประกอบด้วยคาร์บอนอะตอมคลัง (C) ล้อมรอบด้วยหมู่ฟังก์ชัน 4 หมู่ ได้แก่ ไฮโดรเจน (-H) หมู่อะมิโน (-NH₂) หมู่คาร์บอโคซิล (-COOH) และแขนงข้าง (-R) ดังแสดงในภาพที่ 11 กรดอะมิโนที่พบในธรรมชาติส่วนใหญ่มักอยู่ในรูปที่เป็นองค์ประกอบของโปรตีน ซึ่งเป็นผลลัพธ์ของการดัดแปลงกรดอะมิโนที่เรียกว่าเป็นสายยาวด้วยพันธะ peptide (Peptide Bond) อย่างไรก็ตาม มีกรดอะมิโนบางส่วนที่ถูกพบในรูปของอะมิโนอิสระ (Ajinomoto Co., Inc., 2003)

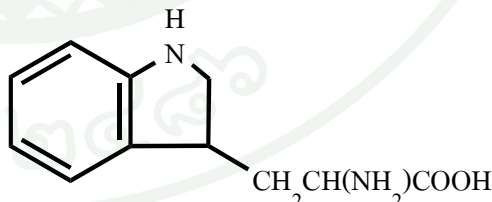
1. ชนิดของกรดอะมิโน

กรดอะมิโนที่เป็นองค์ประกอบของโปรตีนที่ถูกค้นพบในธรรมชาติมีทั้งหมด 20 ชนิด แต่ละชนิดมีหมู่แขนงข้าง และมีสูตรโมเลกุลที่แตกต่างกันไปดังแสดงในตารางที่ 4



ภาพที่ 11 โครงสร้างของกรดอะมิโน

ตารางที่ 4 รายชื่อ และสูตร โมเลกุล ของกรดอะมิโนชนิดต่าง ๆ

ชนิดของกรดอะมิโน	สูตร โมเลกุล
ไกลซีน (Glycine)	$\text{H}_2\text{NCH}_2\text{COOH}$
อะลานีน (Alanine)	$\text{CH}_3\text{CH}(\text{NH}_2)\text{COOH}$
เซอรีน (Serine)	$\text{CH}_2\text{OHCH}(\text{NH}_2)\text{COOH}$
วาลีน (Valine)	$\text{CH}_3\text{CH}(\text{CH}_3)\text{CH}(\text{NH}_2)\text{COOH}$
ทรีโธนีน (Threonine)	$\text{CH}_3\text{CH}(\text{OH})\text{CH}(\text{NH}_2)\text{COOH}$
ซิสเตอีน (Cysteine)	$\text{HSCH}_2\text{CH}(\text{NH}_2)\text{COOH}$
ลิวซีน (Leucine)	$\text{CH}_3\text{CH}(\text{CH}_3)\text{CH}_2\text{CH}(\text{NH}_2)\text{COOH}$
ไอโซลิวซีน (Isoleucine)	$\text{CH}_3\text{CH}_2\text{CH}(\text{CH}_3)\text{CH}(\text{NH}_2)\text{COOH}$
เมทไธโอนีน (Methionine)	$\text{CH}_3\text{SCH}_2\text{CH}_2\text{CH}(\text{NH}_2)\text{COON}$
ฟีนิลอะลานีน (Phenylalanine)	$\text{C}_6\text{H}_5\text{CH}_2\text{CH}(\text{NH}_2)\text{COOH}$
ไทโรซีน (Tyrosine)	$\text{HOOC}_6\text{H}_4\text{CH}_2\text{CH}(\text{NH}_2)\text{COOH}$
ทริปโตเฟน (Tryptophan)	 $\text{CH}_2\text{CH}(\text{NH}_2)\text{COOH}$
กรดอะสปาร์ติก (Aspartic acid)	$\text{HOOCCH}_2\text{CH}(\text{NH}_2)\text{COOH}$
กรดกลูตามิก (Glutamic acid)	$\text{HOOCCH}_2\text{CH}_2\text{CH}(\text{NH}_2)\text{COOH}$
แอสฟาราจีน (Asparagine)	$\text{H}_2\text{NCOCH}_2\text{CH}(\text{NH}_2)\text{COOH}$

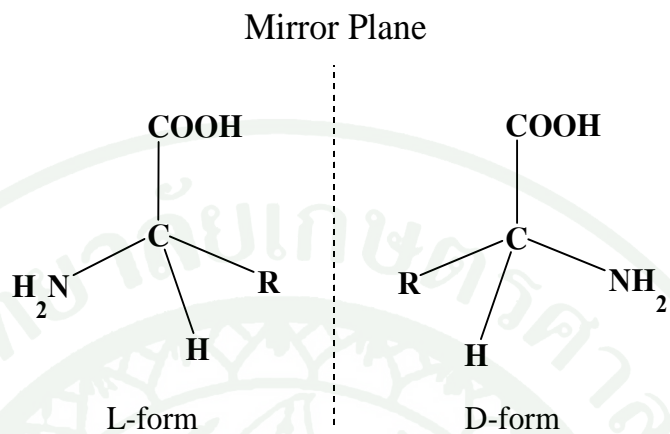
ตารางที่ 4 (ต่อ)

ชนิดของกรดอะมิโน	สูตรโมเลกุล
กลูตามีน (Glutamine)	$\text{H}_2\text{NCO}(\text{CH}_2)_2\text{CH}(\text{NH}_2)\text{COOH}$
ไลซีน (Lysine)	$\text{H}_2\text{N}(\text{CH}_2)_4\text{CH}(\text{NH}_2)\text{COOH}$
อาร์จีนีน (Arginine)	$\begin{array}{c} \text{NH} \\ \\ \text{CNHCH}_2\text{CH}_2\text{CH}_2\text{CH}(\text{NH}_2)\text{COOH} \\ \\ \text{NH}_2 \end{array}$
โพร์ลีน (Proline)	$\begin{array}{c} \text{H} \\ \\ \text{N} \\ \\ \text{H}_2\text{C} \\ \\ \text{H}_2\text{C} - \text{CH}_2 \\ \\ \text{CH}_2 \end{array}$
ไฮสทีดีน (Histidine)	$\begin{array}{c} \text{H} \\ \\ \text{N} \\ \\ \text{HC} \\ \\ \text{CCH}_2\text{CH}(\text{NH}_2)\text{COOH} \end{array}$

ที่มา : Kirk and Othmer (1979)

เมื่อพิจารณาการเรียงตัวในสามมิติของหมู่ฟังก์ชันทั้ง 4 หมู่ที่อยู่ล้อมรอบการ์บอนอะตอม กลาง จะทำให้สามารถแบ่งกรดอะมิโนได้เป็น 2 ชนิดคือ กรดอะมิโนในรูปแบบแอล (L-form Amino Acid) และกรดอะมิโนในรูปแบบดี (D-form Amino Acid) ดังแสดงในภาพที่ 12 กรดอะมิโนทั้งชนิดดี และชนิดแอล มีคุณสมบัติทางเคมีพิเศษส์เหมือนกันทุกประการ ยกเว้นคุณสมบัติในการหักเหระนาบของแสงโพลาร์ไรซ์ โดยกรดอะมิโนทั้งสองชนิดจะหักเหระนาบของแสง

โพลาร์ไบรช์ไปในทิศทางตรงกันข้าม พังนีกรดอะมิโนที่ถูกสังเคราะห์ขึ้น และใช้ในร่างกายของสั่งเม็ดซีวิตเกือบพังนีกรดอะมิโนในรูปแบบแอล (Ajinomoto Co., Inc., 2003)



ภาพที่ 12 การเรียงตัวในสามมิติของกรดอะมิโน

ที่มา: Ajinomoto Co., Inc. (2003)

กรดอะมิโนเป็นสารอาหารที่มีความสำคัญอย่างมาก ต่อการเจริญเติบโต การทำงานของระบบสืบพันธุ์ และ การซ่อมแซมเนื้อเยื่อส่วนที่สึกหรองของสิ่งมีชีวิตชนิดต่าง ๆ ทำให้สิ่งมีชีวิตทุกชนิดมีความต้องการกรดอะมิโนในปริมาณที่เพียงพอทั้งในเชิงปริมาณและเชิงคุณภาพ โดยกรดอะมิโนที่ร่างกายได้รับอาจมาจากกระบวนการย่อยสลายโปรตีนในระบบทางเดินอาหาร หรือ การรับประทานกรดอะมิโนเข้าไปโดยตรง สิ่งมีชีวิตชนิดต่าง ๆ มีความจำเป็นที่จะต้องได้รับกรดอะมิโนในปริมาณที่เหมาะสมแตกต่างกันไป ขึ้นกับชนิด และลักษณะทางกายภาพ เช่น อายุ และลักษณะกิจกรรมของสิ่งมีชีวิตนั้น ๆ หากมีการได้รับกรดอะมิโนในปริมาณที่มากหรือน้อยเกินไป จะส่งผลให้ร่างกายเกิดการเสียสมดุลและเกิดความผิดปกติขึ้น ได้ร่างกายของมนุษย์สามารถสังเคราะห์กรดอะมิโนบางชนิดขึ้น ได้เองจากกระบวนการเมtabolism ของน้ำตาล ในมัน และกรดอะมิโนชนิดอื่น ดังนั้ngrดอะมิโนที่ร่างกายสามารถสังเคราะห์ขึ้น ได้เองนี้จึงจัดเป็นกรดอะมิโนชนิดที่ไม่มีความจำเป็นต่อภาวะโภชนาการ (Non Essential Amino Acid) ในขณะที่กรดอะมิโนบางชนิด ร่างกายของเราไม่สามารถสังเคราะห์ขึ้น ได้เลย หรือสังเคราะห์ได้ในปริมาณที่น้อยมาก จึงทำให้กรดอะมิโนเหล่านี้ถูกจัดเป็นกรดอะมิโนชนิดที่มีความจำเป็นต่อภาวะโภชนาการ (Essential Amino Acid) ซึ่งมนุษย์ต้องรับกรดอะมิโนกลุ่มดังกล่าวเพื่อร่างกายผ่านทางการบริโภค กรดอะมิโนที่มีความจำเป็นต่อภาวะโภชนาการของมนุษย์มีอยู่ด้วยกัน 8 ชนิด ได้แก่ ทริปโตฟেน

ฟินิโลล่าานีน ไอลซิน ทรีโอนีน วาลีน เมทไธโอนีน ลิวซีน และ ไอโซลิวซีน (Kirk and Othmer, 1979) โดยปริมาณที่เหมาะสมที่เด็กและผู้ใหญ่ควรได้รับในแต่ละวัน ได้แสดงไว้ในตารางที่ 5

ตารางที่ 5 ปริมาณกรดอะมิโนจำเป็นที่ผู้ใหญ่ และ เด็กควรได้รับในแต่ละวัน

ชนิดของอะมิโนจำเป็น	ปริมาณที่ต้องการต่อวัน (มิลลิกรัม ต่อน้ำหนักตัว 1 กิโลกรัม)	
	ผู้ใหญ่	เด็ก
ทริปโตเฟน	7.2	30
ฟินิโลล่าานีน	31	196
ไอลซิน	23	170
ทรีโอนีน	14	87
วาลีน	23	161
เมทไธโอนีน	31	85
ลิวซีน	31	425
ไอโซลิวซีน	20	90

ที่มา: Kirk and Othmer (1979)

2. ประโยชน์ของกรดอะมิโน

กรดอะมิโนถูกค้นพบครั้งแรกในปี ค.ศ. 1806 โดยกรดอะมิโนชนิดแรกที่ถูกค้นพบคือ แอลฟาราจีน ที่พบอยู่ในสารสกัดจากหน่อไม้ฝรั่ง จากนั้นได้มีการค้นพบกรดอะมิโนชนิดต่าง ๆ เพิ่มขึ้นอย่างต่อเนื่อง จนกระทั่งปี ค.ศ. 1935 ได้มีการค้นพบกรดอะมิโนชนิด ทรีโอนีน เป็นชนิดสุดท้าย (Ajinomoto Co., Inc., 2003)

เนื่องจากการดูแลรักษาสุขภาพที่ดี ต้องการสารอาหารที่มีคุณสมบัติที่หลากหลาย ทั้งในเรื่องของรสชาติ คุณค่าทางโภชนาการ การออกฤทธิ์ทางยา และคุณสมบัติทางเคมี จึงทำให้มีการนำกรดอะมิโนไปใช้ประโยชน์ในด้านต่าง ๆ อย่างกว้างขวาง เช่น ใช้เป็นสารปรุงแต่งรสอาหาร ใช้เป็นส่วนผสมในยา รักษาโรค เครื่องสำอาง อาหารสัตว์ และ สารเคมีที่ใช้ในการเกษตร เป็นต้น (Ikeda, 2003)

ในอุตสาหกรรมอาหารมีการนำกรดอะมิโนไปใช้ประโยชน์ในด้านต่าง ๆ อย่างมาก many เช่น การใช้โมโนโซเดียมกลูตามาทเป็นผงชูรส การใช้อะลานีน และ ไกลซีนเป็นสารให้ความหวาน ในน้ำผลไม้ การใช้ซิสเทอินปรับปรุงคุณภาพในการอบของขนมปัง การใช้ทริปโตเฟน และอิสทิดีน เป็นสารป้องกันการทึบในนมผง และเนื่องจากในรัฐพีซซี่เป็นอาหารหลักของมนุษย์และสัตว์ โดยทั่วไปมีกรดอะมิโนจำเป็นบางชนิด เช่น ไลซีน ทริโอนีน และทริปโตเฟน ในปริมาณต่ำ ทำให้ในปัจจุบันมีการเติมกรดอะมิโนจำเป็นลงไปในอาหารมนุษย์ และ อาหารสัตว์กันอย่างกว้างขวาง มีการเติมไลซีนลงในขนมปังและผลิตภัณฑ์อาหารที่ทำจากรัฐพีชชนิดต่าง ๆ ในบางประเทศมีการเติมเมทไธโอนีนในผลิตภัณฑ์ที่ทำจากถั่วเหลือง เนื่องจากในถั่วเหลืองมีปริมาณเมทไธโอนีนต่ำ สำหรับอาหารสัตว์โดยทั่วไปจะมีการเติมไลซีนและทริโอนีนในปริมาณ 3.8 และ 1.8 กิโลกรัมต่อตัน ตามลำดับ

ในทางการแพทย์ มีการใช้กรดอะมิโนชนิดต่าง ๆ เป็นส่วนผสมในอาหารแบบชง (Infusion) สำหรับคนไข้ในระยะพักฟื้น และใช้เป็นยารักษาโรคบางชนิด เช่น โรคตับ และ โรคแพลพูพอง เป็นต้น

นอกจากนี้ยังมีการใช้กรดอะมิโนเป็นวัตถุดินในการผลิตสารชนิดต่าง ๆ เช่น การผลิตโพลีอะลานีนไฟเบอร์ (Polyalanine Fiber) และ ไลซีนไอโซไซยาเนทเรซิน (Lysine Isocyanate Resin) การใช้ไกลซีนเป็นวัตถุดินเริ่มต้นในการผลิตไกลโฟเลท (Glyphosate) และการใช้ทริโอนีนเป็นวัตถุดินเริ่มต้นในการผลิตแอซทริโอนาม (Azthreonam) เพื่อใช้เป็นสารกำจัดวัชพืช (สม.ใจ, 2544)

3. การผลิตกรดอะมิโน

การผลิตกรดอะมิโนมีขั้นตอนรังสรรคภายในที่มีการค้นพบว่ากรดกลูตามิกเป็นสารที่ทำให้เกิดรสชาติในสาหร่ายทะเล โดย Ikeda ในปี ค.ศ. 1908 ต่อมาในปี ค.ศ. 1909 บริษัท อายโนะ โนะ โต๊ะ จำกัด ได้เริ่มทำการผลิตโมโนโซเดียมกลูตามาท โดยการใช้กรดย่อยสลายโปรตีนที่ได้จากข้าวสาลี (กลูเตน) และ โปรตีนจากถั่วเหลือง (สม.ใจ, 2544)

เนื่องจากความต้องการกรดอะมิโนในท้องตลาดมีเพิ่มสูงขึ้นอย่างต่อเนื่อง สร่งผลให้องค์กรต่าง ๆ ทั่วบริษัทเอกชนและสถาบันการศึกษา ได้หันมาให้ความสนใจเกี่ยวกับการศึกษาวิจัยและพัฒนากระบวนการผลิตกรดอะมิโนกันมากขึ้น ซึ่งผลจากการศึกษาพัฒนาดังกล่าวทำให้สามารถ

ผลิตกรดอะมิโนชนิดต่าง ๆ ได้ด้วยวิธีที่หลากหลาย และมีประสิทธิภาพมากขึ้น (Ikeda, 2003) ในปัจจุบันวิธีที่ใช้ในการผลิตกรดอะมิโนมีอยู่ทั้งหมด 4 วิธีดังนี้

3.1 การสักด้วยกรดอะมิโนที่ได้จากการไฮโดรไลซิลโพรติน (Extraction Method) เมื่อโพรตีนถูกไฮโดรไลซิสด้วยกรดอนินทรีย์ เช่น กรดไฮโดรคลอริก ทำให้ได้ผลิตภัณฑ์เป็นสารผสมของกรดอะมิโนรูปแบบแอลหลาหยนิดอยู่ร่วมกัน กระบวนการสักด้วยทำให้สามารถแยกกรดอะมิโนแต่ละชนิดออกจากกันและนำไปทำให้บริสุทธิ์ขึ้นต่อไป โดยอาศัยคุณสมบัติที่แตกต่างต่างกันของกรดอะมิโนแต่ละชนิด การผลิตกรดอะมิโนด้วยวิธีการสักดันนี้นิยมใช้กันอย่างกว้างขวางในยุคเริ่มต้นของการผลิตกรดอะมิโน แต่ในปัจจุบันการผลิตด้วยวิธีนี้ได้ถูกแทนที่โดยกระบวนการผลิตอื่น ๆ ที่ถูกพัฒนาขึ้นมาใหม่ เช่น กระบวนการหมัก เป็นต้น อย่างไรก็ตามการผลิตด้วยวิธีนี้ยังคงมีความเหมาะสมสำหรับใช้ในการผลิตกรดอะมิโนที่สามารถผลิตได้จากด้วยวิธีอื่น และเมื่อโพรตีนที่ใช้เป็นวัตถุดิบในการไฮโดรไลซิสมีราคาไม่แพง และมีกรดอะมิโนชนิดที่ต้องการเป็นองค์ประกอบอยู่ในปริมาณมาก

3.2 การสังเคราะห์โดยใช้อ่อน ไซม์ (Enzymatic Method) การผลิตกรดอะมิโนด้วยวิธีนี้เป็นการเปลี่ยนแปลงสารตั้งต้นที่มีโครงสร้างไกลด์เคียงกับกรดอะมิโนที่ต้องการ ไปเป็นกรดอะมิโนชนิดที่ต้องการ โดยอาศัยการทำปฏิกิริยาของเอนไซม์ ข้อดีของการผลิตกรดอะมิโนด้วยวิธีนี้คือ ทำให้ได้ผลิตภัณฑ์ที่มีความบริสุทธิ์สูง และมีผลิตภัณฑ์ข้างเคียงอื่น ๆ เกิดขึ้นในปริมาณที่น้อยมาก จึงกล่าวได้ว่าการผลิตกรดอะมิโนด้วยวิธีนี้เป็นวิธีที่มีประสิทธิภาพในการผลิตสูงมาก อย่างไรก็ตาม ข้อจำกัดของการผลิตด้วยวิธีนี้คือ ต้องใช้วัตถุดิบเริ่มต้นที่มีความจำเพาะสูง ดังนั้นต้นทุนในการผลิตด้วยวิธีนี้จึงขึ้นอยู่กับราคางานสารตั้งต้นเป็นสำคัญ

3.3 การสังเคราะห์ทางเคมี (Chemical Synthesis) การผลิตกรดอะมิโนด้วยวิธีการสังเคราะห์ทางเคมีนี้เหมาะสมสำหรับการผลิตกรดอะมิโนในปริมาณมาก วัตถุดิบที่ใช้ในกระบวนการผลิตมีราคาถูก และใช้เวลาในการทำปฏิกิริยาไม่นาน แต่มีข้อเสียคือ ผลิตภัณฑ์ที่ได้จากการผลิตด้วยวิธีนี้เป็นผลิตภัณฑ์ที่ผสมระหว่างกรดอะมิโนในรูปแบบแอล และรูปแบบดี ดังนั้นจึงต้องมีการอาศัยเทคนิคออพติกัลเรโซลูชัน (Optical Resolution) ในการแยกเอากรดอะมิโนรูปแบบแอลออก

มา ซึ่งในขั้นตอนดังกล่าวมีค่าใช้จ่ายที่สูงมาก ดังนั้นมีการผลิตกรดอะมิโนด้วยกระบวนการหมักและการสังเคราะห์ด้วยเอนไซม์เกิดขึ้น การผลิตกรดอะมิโนด้วยการสังเคราะห์ทางเคมีจึงมีความสำคัญลดน้อยลง ไปเรื่อยๆ

3.4 กระบวนการหมัก (Fermentation Method) ในการผลิตกรดอะมิโนด้วยกระบวนการหมักนี้จะมีการใช้กากน้ำตาลจากกระบวนการผลิตน้ำตาลทราย หรือ น้ำตาลกลูโคสที่ได้จากการไชโตรไอลซิสແປง เป็นแหล่งการบ่อนในการเพาะเลี้ยงจุลินทรีย์เพื่อผลิตกรดอะมิโนโดยกรดอะมิโนที่ผลิตได้ เกิดจากการทำงานของเอนไซม์ในจุลินทรีย์อย่างต่อเนื่อง ในการเปลี่ยนแปลงแหล่งการบ่อน เช่น น้ำตาลกลูโคส ไปเป็นกรดอะมิโน กระบวนการหมักเป็นกระบวนการในการผลิตกรดอะมิโนที่มีข้อดีมากที่สุดเมื่อเปรียบเทียบกับการผลิตด้วยวิธีอื่นๆ กล่าวคือ กรดอะมิโนที่ได้จากการหมักทั้งหมดจะเป็นกรดอะมิโนในรูปแบบแอล ไขขันะที่การผลิตด้วยการสังเคราะห์ทางเคมีจะให้ผลิตภัณฑ์เป็นกรดอะมิโนทั้งชนิดคี และชนิดแอลผสมกันอยู่ และเมื่อเปรียบเทียบกับการผลิตด้วยกระบวนการการสกัด พบร่วมกับกรดอะมิโนที่ได้จากการหมักสามารถนำไปทำให้บริสุทธิ์ได้ง่ายกว่า (Ajinomoto Co., Inc., 2003)

4. การผลิตกรดอะมิโนด้วยกระบวนการหมัก

การผลิตกรดอะมิโนด้วยกระบวนการหมักถูกพัฒนาขึ้นครั้งแรกเพื่อผลิตกรดอะมิโนชนิดแอล-กลูตามิก (L-glutamic) โดย Kinoshita และคณะ ในช่วงปลายทศวรรษที่ 1950 จุลินทรีย์ที่ใช้ในกระบวนการผลิตเป็นแบคทีเรียนกุลุ่มโครโนร์ม (Coryneform Bacteria) โดยทำการเพาะเลี้ยงจุลินทรีย์ดังกล่าวในอาหารที่มีส่วนประกอบหลักคือ น้ำตาลกลูโคส และในโตรเจนที่มาจากการอนินทรีย์ และเนื้องจากความก้าวหน้าในด้านการพัฒนาสายพันธุ์ของจุลินทรีย์ ทำให้สามารถผลิตกรดอะมิโนได้อีกหลายชนิดด้วยกระบวนการหมัก ปัจจัยสำคัญที่สุดในกระบวนการหมักคือ จุลินทรีย์ โดยจุลินทรีย์ที่ใช้ต้องมีความสามารถในการผลิตกรดอะมิโนชนิดที่ต้องการได้ในปริมาณมาก ในปัจจุบันองค์ความรู้ทางด้านพันธุ์วิศวกรรมมีความก้าวหน้าไปมาก ทำให้สามารถปรับปรุงสายพันธุ์จุลินทรีย์โดยการตัดต่อชีนเป็นจำนวนมากที่มีความจำเป็นต่อการผลิตกรดอะมิโนชนิดต่างๆ เช่น สุ่จุลินทรีย์ เพื่อให้มีการแสดงออกของยีนเป้าหมายในระดับสูง ซึ่งจะทำให้ได้ผลผลิตเป็นกรดอะมิโนชนิดที่ต้องการในปริมาณมาก โดยจุลินทรีย์ที่นิยมใช้เป็นเซลล์เจ้าบ้านในการผลิตกรดอะมิโนได้แก่ *Escherichia coli* และ *Bacillus subtilis* (Ajinomoto Co., Inc., 2003)

4.1 ปัจจัยที่มีผลต่อการผลิตกรดอะมิโนด้วยกระบวนการหมัก

4.1.1 สายพันธุ์ของจุลินทรีย์ การผลิตกรดอะมิโนแต่ละชนิดต้องเลือกใช้สายพันธุ์ของจุลินทรีย์ที่เหมาะสม ซึ่งให้ผลผลิตกรดอะมิโนชนิดที่ต้องการ ได้สูง และเนื่องจากจุลินทรีย์ที่ใช้ในการผลิตกรดอะมิโนส่วนใหญ่เป็นจุลินทรีย์ที่ผ่านการดัดแปลงพันธุกรรม ดังนั้นจึงต้องเลือกใช้สายพันธุ์ที่มีความคงตัวดีด้วย โดยจุลินทรีย์ที่สามารถผลิตกรดอะมิโนได้ มีทั้งแบคทีเรีย ยีสต์ รา และแอคติโนมัยสีฟ แต่ที่นิยมใช้ในการผลิตกรดอะมิโนในระดับอุตสาหกรรมมากที่สุด ได้แก่ แบคทีเรีย เนื่องจากสามารถผลิต และปลดปล่อยกรดอะมิโนออกมาน้ำอาหารเลี้ยงเชื้อได้ดีกว่า จุลินทรีย์ชนิดอื่น ๆ กรดอะมิโนที่พบว่ามีการผลิตได้ปริมาณสูงกว่ากรดอะมิโนชนิดอื่น ๆ โดยแบคทีเรียที่แยกได้จากการธรรมชาติ ได้แก่ กรดกลูตามิก อะลาニน และวาลีน โดยแบคทีเรียที่แยกได้จากการธรรมชาติที่ประสบความสำเร็จในการนำมาผลิตกรดอะมิโนในระดับอุตสาหกรรมแล้ว ได้แก่ *Corynebacterium glutamicum* และ *Brevibacterium flavum* ซึ่งใช้ในการผลิตกรดกลูตามิก และ *Pseudomonas* N0. 483 ซึ่งใช้ในการผลิตอะลาニน อย่างไรก็ตามการคัดเลือกแบคทีเรียจากการธรรมชาติ เพื่อผลิตกรดอะมิโนชนิดอื่น ๆ พบว่าสามารถผลิตกรดอะมิโนได้ปริมาณน้อย เนื่องจากมีกลไกการควบคุมแบบข้อนกลับ (Feedback Control) ดังนั้นการผลิตกรดอะมิโนชนิดอื่น ๆ ในระดับ อุตสาหกรรมส่วนใหญ่จึงนิยมใช้จุลินทรีย์ที่ได้จากการปรับปรุงสายพันธุ์ของแบคทีเรียที่สร้างกรดกลูตามิกได้สูง หรือใช้ *Escherichia coli* และ *Serratia marcescens* ที่ผ่านการดัดแปลงพันธุกรรม

4.1.2 ส่วนประกอบของอาหารเลี้ยงเชื้อ

แหล่งการรับอน โดยทั่วไปจะใช้กลูโคส หรือซูโครส ความเข้มข้นร้อยละ 10 ถึง 20 โดยในอุตสาหกรรมนิยมใช้ในรูปของากน้ำตาล หรือ แป้งໄโอโคราไอลชิส การใช้ากน้ำตาล ตามปกติจะเหมาะสมสำหรับการผลิตกรดอะมิโนทั่ว ๆ ไป เนื่องจากมีวิตามินที่จำเป็นต่อการเจริญ ของจุลินทรีย์ และการผลิตกรดอะมิโนอยู่ด้วย แต่ไม่เหมาะสมสำหรับการผลิตกรดกลูตามิก ซึ่ง ต้องการใบโอดินปริมาณจำกัด เพราะในากน้ำตาลมีใบโอดินสูง (ากน้ำตาลอ้อย และากน้ำตาล บีทมีใบโอดิน 0.4-1.2 และ 0.02-0.08 มิลลิกรัมต่อกรัม ตามลำดับ) อย่างไรก็ตามในปัจจุบัน พบว่าสามารถใช้ากน้ำตาลเป็นวัตถุดินเริ่มต้นในการผลิตกรดกลูตามิกได้ แต่ต้องมีการเติม เพนนิซิลลิน หรืออนุพันธุ์ของกรดไขมัน เช่น ทวีน 60 (Tween 60) ลงไว้ในอาหารเลี้ยงเชื้อด้วย

แหล่งในโตรเจน โดยทั่วไปนิยมใช้เก๊าแอมโมเนีย และ เกลือแอมโมเนีย เช่น แอมโมเนียมคลอไรด์ (NH_4Cl) และ แอมโมเนียมซัลเฟต ($(\text{NH}_4)_2\text{SO}_4$) หรือ ใช้ญี่รี่เป็นแหล่งในโตรเจน ในการปฏิที่จุลินทรีสามารถมาควบคู่กับญี่รี่ได้และอาจมีการเติมสารประกอบอินทรีเชิงซ้อนเป็นแหล่งในโตรเจนด้วย เช่น สารสกัดเยื่อตับ สารสกัดเนื้อ และเปปโตน เป็นต้น

แร่ธาตุ โดยทั่วไปนิยมเติม KH_2PO_4 K_2HPO_4 MgSO_4 FeSO_4 และ MnSO_4 ลงในอาหารเลี้ยงเชื้อ นอกจากนี้อาจมีการเติมแร่ธาตุชนิดอื่น ๆ อีก เช่น KCl MgCl_2 MnCl_2 CaCl_2 H_3BO_3 CuSO_4 NaH_2PO_4 และ CoCl_2 เป็นต้น

วิตามิน อาหารเลี้ยงเชื้อที่ใช้ในการผลิตกรดอะมิโนอาจมีการเติมวิตามินบางชนิด เช่น ๆ ในโอดิน ไทด์มีน นิโคตินาไมค์ แคลเซียมแพนโทบีนท์ ไรโบฟลาวิน และวิตามินบี 12 แต่วิตามินที่สำคัญมากที่สุดคือ ในโอดิน โดยเฉพาะอย่างยิ่งในการผลิตกรดกลูตามิก ซึ่งตามปกติต้องจำกัดความเข้มข้นไม่ให้เกิน 5% ในโปรแกรมต่อต้าน เนื่องจากมีผลต่อการสังเคราะห์ฟอสฟอลิปิดของเยื่อหุ้มเซลล์ ซึ่งมีผลต่อการผลิตกรด กลูตามิก

กรดอะมิโน เนื่องจากจุลินทรีที่ใช้ในการผลิตกรดอะมิโนส่วนใหญ่เป็นออกไซโตรป ซึ่งต้องการกรดอะมิโนบางอย่าง ดังนั้นจึงต้องเติมกรดอะมิโนที่จำเป็นต่อการเจริญของออกไซโตรปลงไปในอาหารเลี้ยงเชื้อในปริมาณที่เพียงพอต่อการเจริญ แต่ไม่มากพอดีจะทำให้เกิดการขับยั่งแบนข้อนกลับได้

4.1.3 สภาพแวดล้อมในการหมัก

อุณหภูมิ โดยทั่วไปจะควบคุมอุณหภูมิให้อยู่ในช่วง 28-38 องศาเซลเซียส อย่างไรก็ตามอุณหภูมิที่เหมาะสมสำหรับผลิตกรดอะมิโนอาจแตกต่างกันไปบ้างตามชนิดของจุลินทรี และกรดอะมิโนที่ต้องการผลิต เช่น การผลิตกรดกลูตามิกจาก *C. glutamicum* จะควบคุมอุณหภูมิให้อยู่ในช่วง 32-38 องศาเซลเซียส และการผลิตไอลซีนจาก *B. flavum* จะควบคุมอุณหภูมิให้อยู่ในช่วง 28-33 องศาเซลเซียส เป็นต้น

สภาพความเป็นกรดด่าง โดยทั่วไปจะควบคุมค่าพีเอชให้อยู่ในช่วง 6.8-8.0 เช่น การผลิตกรดกลูตามิกจะควบคุมค่าพีเอช ให้อยู่ในช่วง 7-8 (เชื้อจะผลิตกรดกลูตามิกได้ดีที่สุดที่พีเอช 7.8) และการผลิตไอลซีนจะควบคุมค่าพีเอช ให้อยู่ในช่วง 6.8-7.5 เป็นต้น

การให้อาหาร การสังเคราะห์กรดอะมิโนเป็นกระบวนการที่ต้องการออกซิเจน ดังนั้นการให้อาหารจึงเป็นปัจจัยหนึ่งที่มีความสำคัญมาก การผลิตกรดอะมิโนแต่ละชนิดจะต้องการออกซิเจนปริมาณแตกต่างกัน ในปี ก.ศ. 1980 Hirose และ Shibai รายงานว่าความเข้มข้นของออกซิเจนที่ละลายน้ำในอาหารเหลวจะมีผลต่อการผลิตกรดอะมิโนชนิดต่าง ๆ (สมใจ, 2544)

5. วัตถุคิดที่ใช้ในการผลิตกรดอะมิโนด้วยกระบวนการหมัก

วัตถุคิดที่ใช้เป็นแหล่งคาร์บอนในการเพาะเลี้ยงจุลินทรีย์นับเป็นปัจจัยสำคัญอีกประการหนึ่งในการผลิตกรดอะมิโนด้วยกระบวนการหมัก เนื่องจากราคาของวัตถุคิดที่ใช้เป็นแหล่งคาร์บอนถือเป็นต้นทุนส่วนใหญ่ในกระบวนการหมัก ดังนั้นการเลือกใช้วัตถุคิดที่เหมาะสมจะมีความสำคัญอย่างยิ่ง แหล่งการรับอนที่นิยมใช้ในการผลิตกรดอะมิโนด้วยกระบวนการหมักที่ใช้กันโดยทั่วไปคือ กาหนัดาจากกระบวนการผลิตน้ำตาลทราย และน้ำตาลที่ได้จากการไฮโดรไลซิส แป้งข้าวโพดหรือแป้งมันสำปะหลัง ในแต่ละประเทศจะนิยมใช้แหล่งการรับอนที่แตกต่างกันไป ขึ้นอยู่กับชนิดของพืชท้องถิ่นที่มีมากในประเทศนั้น ๆ เช่นในประเทศไทยรู้จักการนิยมใช้น้ำตาลที่ได้จากการไฮโดรไลซิสแป้งข้าวโพด ประเทศไทยและประเทศในอาเซียนได้รับความนิยมใช้น้ำตาลที่ได้จากการไฮโดรไลซิสแป้งมันสำปะหลัง และเนื่องจากราคาของน้ำตาลและแป้งมีความผันผวนมาก ทำให้ส่งผลกระทบโดยตรงต่อต้นทุนในการผลิตกรดอะมิโนเป็นอย่างมาก ดังนั้นการแสวงหาแหล่งการรับอนชนิดใหม่ที่มีปริมาณมาก และมีราคาถูก จึงมีความจำเป็นอย่างยิ่งต่อการลดต้นทุนและเพิ่มความคุ้มค่าทางเศรษฐศาสตร์ ให้กับกระบวนการผลิตกรดอะมิโนด้วยกระบวนการหมัก (Ikeda, 2003)

6. กระบวนการผลิตกรดอะมิโน

การผลิตกรดอะมิโนด้วยกระบวนการหมักส่วนใหญ่นิยมใช้วิธีการหมักแบบกะ โดยการเพาะเลี้ยงจุลินทรีย์ในอาหารเหลวที่มีส่วนประกอบที่เหมาะสมตามชนิดของจุลินทรีย์ที่ใช้ในการผลิต และชนิดของกรดอะมิโนที่ต้องการผลิต ในสภาวะที่มีการให้อาหารและการกวนผสมอย่างเพียงพอ การฆ่าเชื้อในอาหารเลี้ยงเชื้อนิยมใช้วิธีการสเตอโรไลส์แบบต่อเนื่อง อัตราการให้อาหารที่เหมาะสมจะขึ้นอยู่กับสายพันธุ์ของจุลินทรีย์ สับสเตรท และชนิดของกรดอะมิโนที่ต้องการผลิต ในระหว่างกระบวนการหมักจะมีความร้อนเกิดขึ้นสูงมาก เนื่องจากจุลินทรีย์มีการเจริญและย่อยสลายน้ำตาลออย่างรวดเร็ว ดังนั้นจึงต้องมีระบบทำความเย็น ควบคุมอุณหภูมิให้อยู่ในช่วง 28 ถึง 38

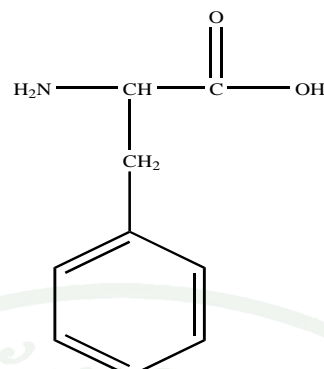
องค์เซลเซียส การควบคุมค่าพีเอชให้อยู่ในช่วง 6.8 ถึง 8.0 นิยมใช้แก๊สแอมโมเนียมีซึ่งสามารถใช้เป็นแหล่งในโตรเจนได้ด้วย ระยะเวลาในการหมักโดยทั่วไปประมาณ 2 ถึง 4 วัน

ในการผลิตกรดอะมิโนบางชนิด เช่น กรดกลูตامิก จำเป็นต้องมีการควบคุมสภาพแวดล้อมในการหมักอย่างเคร่งครัด โดยเฉพาะอัตราการให้อาหาร อุณหภูมิ ความเป็นกรดค้าง และปริมาณสารกำจัดฟองที่ใช้ ดังนั้นจึงได้มีการพัฒนาระบบควบคุมแบบอัตโนมัติขึ้น และในบางแห่งมีการใช้ระบบคอมพิวเตอร์ช่วยในการควบคุมด้วย

การเก็บเกี่ยวผลผลิตหลังจากกระบวนการหมักสิ้นสุดลง ทำได้โดยการปั่นเหลวเพื่อแยกเซลล์ออกจากอาหารเลี้ยงเชื้อ นำส่วนอาหารเหลวที่ได้ไปปรับค่าพีเอชให้เป็นกรด เพื่อให้กรดอะมิโนตกตะกอนที่ “ไอโซอิเล็กทริกพ้อยท์” (Isoelectric Point) ซึ่งจะแตกต่างกันไปตามชนิดของกรดอะมิโน หลังจากนั้นจึงนำไปทำให้บริสุทธิ์โดยใช้วิธีโรมานาโ拓рафีแบบแลกเปลี่ยนประจุ (Ion-exchange Chromatography) หรือโดยการสกัดด้วยตัวทำละลายอินทรีย์ที่เหมาะสม (สมใจ, 2544)

กรดอะมิโนชนิดแอล-ฟินิโลลาเนน

กรดอะมิโนชนิดแอล-ฟินิโลลาเนน เป็นกรดอะมิโนที่มีหมู่แทนงช้าเป็นสารประเภทอะโรมาติก มีโครงสร้างโมเลกุลดังแสดงในภาพที่ 13 มีลักษณะเป็นผลึกสีขาว ไม่มีกลิ่น มีรสขมเล็กน้อย จัดเป็นกรดอะมิโนที่มีความจำเป็นต่อภาวะโภชนาการของมนุษย์ ในปัจจุบันนิยมทำการผลิตด้วยกระบวนการหมัก อย่างไรก็ตามกรดอะมิโนชนิดนี้สามารถผลิตได้ด้วยกระบวนการสังเคราะห์ทางเคมีโดยใช้เบนซอลเดไฮด์ (Benzaldehyde) เป็นสารตั้งต้น แอล-ฟินิโลลาเนนถูกนำไปใช้เป็นส่วนผสมในผลิตภัณฑ์อาหารหลายชนิด เช่น อาหารเสริมสำหรับนักกีฬา อาหารแบบชงสำหรับผู้ป่วยในระยะพักฟื้น อาหารและเครื่องดื่มเพื่อสุขภาพ เป็นต้น (Ajinomoto Co., Inc., 2003) นอกจากนี้ แอล-ฟินิโลลาเนนยังเป็นสารตั้งต้นสำหรับที่ใช้ในการผลิตแอล-ฟินิโลลาเนน (Aspartame) ซึ่งเป็นสารให้ความหวานที่มีแคลอรี่ต่ำ (Low-calorific Sweetener) จากการขยายตัวของตลาดอาหารและเครื่องดื่มที่มีแคลอรี่ต่ำ ทำให้มีความต้องการใช้แอล-ฟินิโลลาเนนในการผลิตแอล-ฟินิโลลาเนน ปริมาณมากถึง 14,000 ตัน ทำให้หลายฝ่ายหันมาให้ความสนใจในการพัฒนาการผลิตกรดอะมิโนชนิดนี้กันมากขึ้น (Hermann, 2003)

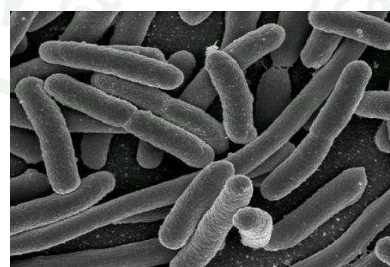


ภาพที่ 13 สูตรโครงสร้างของกรดอะมิโนชนิดแอล-ฟีนิโลลามานีน

แบคทีเรีย *Escherichia coli*

Escherichia coli เป็นแบคทีเรียแกรมลบ ถูกจัดอยู่ในวงศ์ Enterobacteriaceae มีรูปร่างเป็นแท่ง มีลักษณะดังแสดงในภาพที่ 14 ถูกค้นพบครั้งแรกในปี ค.ศ. 1885 โดยนักแบคทีเรียวิทยาและกุ玆มาрапเพทบ์ชาวเยอรมันนีชื่อ Theodor Escherich

E. coli เป็นแบคทีเรียประจำถิ่นในระบบทางเดินอาหารของคนและสัตว์เลือดอุ่น เป็นแบคทีเรียที่สามารถตรวจพบได้มากที่สุดในอุจจาระ จึงได้ถูกนำมาใช้เป็นตัวชี้สุขากิบालสำหรับบ่งชี้ถึงการปนเปื้อนของอุจจาระในสิ่งแวดล้อม อาหาร เครื่องดื่ม เครื่องสำอาง และเวชภัณฑ์ต่าง ๆ *E. coli* มีทั้งสายพันธุ์ที่ก่อโรคและไม่ก่อโรค สำหรับสายพันธุ์ที่เป็นเชื้อประจำถิ่นในระบบทางเดินอาหารของคนและสัตว์เลือดอุ่นเป็นสายพันธุ์ที่ไม่ก่อโรค ในขณะที่บางสายพันธุ์สามารถทำให้เกิดการติดเชื้อในระบบทางเดินอาหาร ทางเดินปัสสาวะ ระบบเลือด และระบบประสาทส่วนกลาง ได้



ภาพที่ 14 แบคทีเรีย *Escherichia coli*

ที่มา: Crowe (2009)

แบคทีเรียชนิดนี้สามารถเจริญได้รวดเร็ว มีระบบพันธุกรรมที่ไม่ซับซ้อนและสามารถดัดแปลงพันธุกรรมได้ง่าย ดังนั้น *E. coli* จึงนับเป็นแบคทีเรียชนิดหนึ่งที่ถูกใช้เป็นต้นแบบในการศึกษาของเซลล์ procaryotic (Prokaryotic Cell) และถูกนำไปใช้ในงานทางเทคโนโลยีชีวภาพอย่างกว้างขวาง (Lederberg, 1992)

Escherichia coli BL21 (DE3)

E. coli B เป็น *E. coli* สายพันธุ์ที่ไม่ก่อโรค ถูกดัดชื่อขึ้นโดย Delbruck และ Luria ในปี ค.ศ. 1942 สำหรับประวัติความเป็นมาของ *E. coli* สายพันธุ์ B นี้ได้มีการกล่าวถึงและรวบรวมไว้น้อยมาก อย่างไรก็ตาม *E. coli* B ถือเป็นจุลินทรีย์ที่ถูกนำมาใช้ในการศึกษาวิจัยมากที่สุดสายพันธุ์หนึ่ง โดยเฉพาะอย่างยิ่งสายพันธุ์ BL21 ได้ถูกนำมาใช้ในการผลิตโปรตีน เอกทานอล และสารชีวโมเลกุลอื่น ๆ อย่างกว้างขวาง เนื่องจาก *E. coli* สายพันธุ์นี้มีคุณสมบัติที่เหมาะสมในการนำมาประยุกต์ใช้ในงานทางเทคโนโลยีชีวภาพหลายประการ ได้แก่ เพาะเลี้ยงได้ง่าย สามารถเจริญได้รวดเร็ว สามารถทำการตัดต่อพันธุกรรมได้ง่าย ให้ค่าผลได้ในการผลิตโปรตีนสูง สามารถทำการเพาะเลี้ยงได้ในภาวะที่มีปริมาณเซลล์เข้มข้นสูง โดยมีการผลิตอะซิเตทในปริมาณต่ำ

E. coli BL21 (DE3) เป็นสายพันธุ์ที่ถูกพัฒนามาจาก *E. coli* B โดยใช้เทคโนโลยีทางพันธุ์ชีวกรรมในการตัดต่อยีน T7 RNA Polymerase จากแบคเทอโรฟาย (Bactereophage) เข้าสู่จีโนมของ *E. coli* B เพื่อใช้ในการควบคุมการแสดงออกของยีนเป้าหมาย (Lee, 2009)

เอนไซม์ แอล-ฟินิโลลาเนน ดีไฮโดรเจนส์

เอนไซม์ฟินิโลลาเนนดีไฮโดรเจนส์ถูกค้นพบครั้งแรกในแบคทีเรียกลุ่ม *Brevibacterium* sp. และถูกพบต่อมาในแบคทีเรียสายพันธุ์ต่าง ๆ อิกไหลายสายพันธุ์ได้แก่ *Bacillus*, *Sporosarcina*, *Nocardia*, *Thermoactinomyces* และ *Rhodococcus* sp. ฟินิโลลาเนนดีไฮโดรเจนส์ (EC 1.4.1.20) เป็นเอนไซม์ในกลุ่มออกซิโอดีดักเทส (Oxidoreductase) ที่ทำหน้าที่ในการเร่งปฏิกิริยาการกำจัดเอาหมู่ของมิโนอออกจากรดอะมิโนชนิดแอล-ฟินิโลลาเนน ทำให้ได้ผลิตภัณฑ์เป็นแอมโมเนียฟินิลไพรูเวต และ NADH โดยมีไฟฟ์ดีนิวคลีโอไทด์ (NAD^+) เป็นโคเอนไซม์ ซึ่งปฏิกิริยานี้เป็นปฏิกิริยาที่ผันกลับได้ (Brunhuber et al., 1994) ดังแสดงในภาพที่ 15



ภาพที่ 15 ปฏิกิริยาการกำจัดเอาหมู่ของมิโนออกจากการคัดழอมมิโนชนิดแอล-ฟีนิลอะลานีน

ที่มา: Sitthai (2004)

ปัจจุบันได้มีการนำเออนไซม์ฟีนิลอะลานีนดีไอโอดีเจนส์ไปใช้ประโยชน์ในการอุดตสาหกรรมเพื่อผลิตกรดழอมมิโนชนิดแอล-ฟีนิลอะลานีน ซึ่งเป็นกรดழอมมิโนที่มีความจำเป็นต่อภาวะโภชนาการของมนุษย์ นอกจากนี้ยังมีการนำเออนไซม์ฟีนิลอะลานีนดีไอโอดีเจนส์ไปใช้ในทางการแพทย์เพื่อตรวจวัดระดับของฟีนิลอะลานีน และฟีนิลไพรูเวต ในเลือดเพื่อใช้ประกอบการวินิจฉัยโรคนีโอนาทัลไชเปอร์ฟีนิลคีโตนีเมีย และโรคฟีนิลคีโตนยูเรีย อิกด้วย (Ohshima and Soda, 1989)

งานวิจัยที่เกี่ยวข้อง

ฐานิศร์ (2545) ได้ศึกษาการเพาะเลี้ยง *E. coli* JM109 ที่มียีนแอล-ฟีนิลอะลานีนดีไอโอดีเจนจาก *Bacillus badius* BC1 เพื่อผลิตกรดழอมมิโนชนิดแอล-ฟีนิลอะลานีนในระดับขาว เขียว โดยทำการทดลองเลี้ยงเชื้อในอาหารที่มีแหล่งคาร์บอนต่างชนิดกันและเปรียบเทียบปริมาณกรดழอมมิโนที่ผลิตได้ พบว่า *E. coli* JM109 สามารถผลิตกรดழอมมิโนชนิดแอล-ฟีนิลอะลานีนได้มากที่สุดเมื่อใช้อาหารเดี่ยงเชื้อที่ประกอบด้วย กลีเซอรอล (เกรดอาหาร) 2 เปอร์เซ็นต์ แอมโมเนียมซัลเฟต 4 เปอร์เซ็นต์ โปแตสเซียมฟอสฟ์ 0.1 เปอร์เซ็นต์ แมกนีเซียมคลอไรด์ 0.1 เปอร์เซ็นต์ เฟอร์สซัลเฟต 0.0002 เปอร์เซ็นต์ ไ thaamin ไอโอดีคลอไรด์ 0.01 เปอร์เซ็นต์ แมลงกานีสซัลเฟต 0.0002 เปอร์เซ็นต์ แอมพิซิลิน 0.01 เปอร์เซ็นต์ และ IPTG 0.1 มิลลิโตร์ ที่มีค่า pH เอกเท่ากับ 7.4 ที่ 30 องศาเซลเซียส เป็นเวลา 36 ชั่วโมง โดยในอาหารเดี่ยงเชื้อ 200 มิลลิลิตร มีปริมาณแอล-ฟีนิลอะลานีนในน้ำเดี่ยงเชื้อร่วม 608.27 มิลลิกรัม

มุรา (2545) ได้ทำการศึกษา *E. coli* JM109 ที่มียีนแอด-อะลานีนดีไฮโดรเจนจาก *Aeromonas hydrophila* เพื่อผลิตกรดอะมิโนชนิดแอด-อะลานีนในระดับขวดเบย์ โดยทำการทดลองเดี่ยงเชื้อในอาหารที่มีแหล่งการบอนต่างชนิดกัน และเปรียบเทียบปริมาณกรดอะมิโนที่ผลิตได้พบว่า *E. coli* JM109 สามารถผลิตกรดอะมิโนชนิดแอด-อะลานีนได้มากที่สุดเมื่อใช้อาหารเดี่ยงเชื้อที่ประกอบด้วย กลีเซอรอล (เกรดอาหาร) 1 เปอร์เซ็นต์ แอมโมเนียมซัลเฟต 3 เปอร์เซ็นต์ โภಡเตสเซียมฟอสฟे�ส 0.1 เปอร์เซ็นต์ แมgnีเซียมคลอไรด์ 0.1 เปอร์เซ็นต์ เฟอรัสซัลเฟต 0.0002 เปอร์เซ็นต์ ไ tha อเมินไฮโดรคลอไรด์ 0.01 เปอร์เซ็นต์ แมงกานีสซัลเฟต 0.0002 เปอร์เซ็นต์ แอมพิชิลิน 0.01 เปอร์เซ็นต์ และ IPTG 0.1 มิลลิโมลาร์ ที่มีค่า pH ออกเท่ากับ 7.8 ที่ 30 องศาเซลเซียส เป็นเวลา 36 ชั่วโมง

Asad-ur-Rehman *et al.* (2008) ใช้กรดฟอสฟอริก (Phosphoric Acid) ในการปรับปรุงคุณภาพของกลีเซอรอลดิบที่เกิดจากการบวนการผลิต ไปออดิเซลจากน้ำมันเมล็ดดอกทานตะวัน ได้เป็นกลีเซอรอลดิบที่ผ่านการปรับปรุงคุณภาพเกรดต่าง ๆ โดยแต่ละเกรดจะมีค่า pH ออกต่างกันไปดังนี้ เกรด A (พีเอช 4) เกรด B (พีเอช 5) เกรด C (พีเอช 6) และ เกรด D (พีเอช 7) โดยพบว่า กลีเซอรอลเกรดที่มีค่า pH ต่ำจะมีความบริสุทธิ์ของกลีเซอรอลมากกว่ากลีเซอรอลเกรดที่มีค่า pH ต่ำ สูง และเมื่อทำการศึกษาถึงผลของกลีเซอรอลเกรดต่าง ๆ ที่มีต่อการขับยั้งการเจริญเติบโตของจุลินทรีย์ *Clostridium butyricum* DSM 5431 ที่ความเข้มข้นต่าง ๆ พนว่าที่ความเข้มข้นเท่ากับ 20 กรัมกลีเซอรอลต่อลิตร กลีเซอรอลเกรด A เกรด B และ กลีเซอรอลบริสุทธิ์ จะมีผลในการขับยั้งการเจริญเติบโตของจุลินทรีย์ ใกล้เคียงกัน โดยมีค่าเปอร์เซ็นต์การขับยั้งการเจริญเติบโตของจุลินทรีย์อยู่ในช่วง 18.5 ถึง 20.5 เปอร์เซ็นต์ แต่เมื่อความเข้มข้นของกลีเซอรอลเพิ่มขึ้นเป็น 40 ถึง 100 กรัม กลีเซอรอลต่อลิตร พนว่า กลีเซอรอลดิบทุกเกรดจะมีผลในการขับยั้งการเจริญเติบโตของจุลินทรีย์ เพิ่มมากขึ้นอย่างเห็นได้ชัด โดยมีค่าเปอร์เซ็นต์การขับยั้งการเจริญเติบโตของจุลินทรีย์ตั้งแต่ 85.25 ถึง 112.5 เปอร์เซ็นต์ และเมื่อนำกลีเซอรอลเกรด A ไปทำการระบด้วย n-Hexanol 2 ครั้ง จะทำให้ได้กลีเซอรอลเกรด A-2 ที่มีผลในการขับยั้งการเจริญเติบโตของจุลินทรีย์ลดลงเป็น 32 เปอร์เซ็นต์ ที่ความเข้มข้นเท่ากับ 40 กรัมกลีเซอรอลต่อลิตร จากนั้นได้ทำการศึกษาการผลิต 1,3-โพเรน ไดօօลจากกลีเซอรอลเกรด A เกรด A-2 และ กลีเซอรอลบริสุทธิ์ ด้วย *Clostridium butyricum* DSM 5431 ในระบบการหมักแบบกระถางใต้สภาวะไร้อากาศ ที่ความเข้มข้นเริ่มต้นของกลีเซอรอลเท่ากับ 20 และ 50 กรัม กลีเซอรอลต่อลิตรจากผลการศึกษาพบว่า ที่ความเข้มข้นเดียวกัน กลีเซอรอลเกรด A-2 และ กลีเซอรอล บริสุทธิ์ จะให้ผลผลิต 1,3-โพเรน ไดօօล ได้ใกล้เคียงกันและมากกว่ากลีเซอรอลเกรด A แต่เมื่อเปรียบเทียบการผลิต 1,3-โพเรน ไดօօลของกลีเซอรอลเกรดเดียวกัน ที่ความเข้มข้นของกลีเซอรอลเท่ากับ 20 และ 50 กรัมกลีเซอรอลต่อลิตร จะพบว่าที่ความ

เข้มข้น 50 กรัมกลีเซอรอลต่อลิตรจะสามารถเปลี่ยนไปเป็น 1,3-โพรเพนไดออกอลไดคิวท์ที่ความเข้มข้น 20 กรัมกลีเซอรอลต่อลิตร เช่น เมื่อความเข้มข้นของกลีเซอรอลเกรด A-2 เพิ่มขึ้นจาก 20 เป็น 50 กรัมกลีเซอรอลต่อลิตร จะทำให้ค่าความสามารถในการผลิต (Productivity) ของ 1,3-โพรเพนไดออกอล เพิ่มขึ้นจาก 1.33 เป็น 1.85 กรัมต่อชั่วโมงเป็นต้น

Zhang et al. (2007) ได้ทำการศึกษาเพื่อคัดแยกจุลินทรีย์ที่มีความสามารถในการผลิต 1,3-โพรเพน ได้ออลจากกลีเซอรอล ได้ โดยทำการคัดแยกจุลินทรีย์จากตัวอย่างดินที่เก็บจากสถานที่ต่าง ๆ ในมณฑลชิงเจียง ประเทศจีน จากผลการศึกษาพบว่า สามารถคัดแยกจุลินทรีย์ที่สามารถเจริญได้ในอาหารที่มีกลีเซอรอลเป็นแหล่งคาร์บอน ภายใต้สภาวะ ไร์อัตราทึ่งหมวด 39 สายพันธุ์ แต่มีเพียง 5 สายพันธุ์เท่านั้นที่สามารถผลิต 1,3-โพรเพน ได้ออล ได้ โดยจุลินทรีย์สายพันธุ์ XJ-Li สามารถผลิต 1,3-โพรเพน ได้ออล ได้ในปริมาณสูงที่สุด และหลังจากได้ทำการบ่งชี้นิดของจุลินทรีย์สายพันธุ์ XJ-Li ด้วยลักษณะทางสัณฐานวิทยา การทดสอบคุณสมบัติทางชีวเคมี ประกอบกับลำดับของสารพันธุกรรมใน 16SrDNA แล้วพบว่า จุลินทรีย์สายพันธุ์ดังกล่าวเป็นผู้ผลิต 1,3-โพรเพน ได้ออล คือ อุณหภูมิ 40 องศาเซลเซียส pH 8.0 ความเข้มข้นของแอมโมเนียมซัลไฟต์ ($(\text{NH}_4)_2\text{SO}_4$) เท่ากับ 6.0 กรัมต่อลิตร และความเข้มข้นของกลีเซอรอลเท่ากับ 20 กรัมต่อลิตร โดยในการหมักแบบกะ (Batch Fermentation) จะได้ความเข้มข้นของ 1,3-โพรเพน ได้ออล เท่ากับ 12.2 กรัมต่อลิตร และมีค่าผลได้ (Yield) ของ 1,3-โพรเพน ได้ออล เท่ากับ 0.75 ไมลต่อไมลิกลีเซอรอล และในการหมักแบบกึ่งกะ (Fed Batch Fermentation) จะได้ความเข้มข้นของ 1,3-โพรเพน ได้ออล เท่ากับ 38.1 กรัมต่อลิตร และมีค่าผลได้ของ 1,3-โพรเพน ได้ออล เท่ากับ 0.70 ไมลต่อไมลิกลีเซอรอล

Mu *et al.* (2006) ได้ทำการศึกษาการผลิต 1,3-โพรเพนไคอลอเดวย์แบคทีเรีย *Klebsiella pneumoniae* ภายใต้สภาวะไร้อากาศ จากการกลีเซอรอลบริสุทธิ์ กลีเซอรอลดินบีท์เกิดจากการกระบวนการผลิตในโอดีเซลจากน้ำมันถั่วเหลืองที่ใช้เบสในการเร่งปฏิกิริยา และใช้ออนไซซ์ไมเพลสในการเร่งปฏิกิริยา จากผลการศึกษาในกระบวนการหมักแบบกึ่งกะ พบร่วมกับความเข้มข้นของ 1,3-โพรเพนไคอลอเดย์ที่ได้จากการกลีเซอรอลดินบีท์จากการผลิตในโอดีเซลโดยใช้ตัวเร่งประเภทด่างและใช้ออนไซซ์ไมเพลสในการเร่งปฏิกิริยามีค่าเท่ากับ 51.3 และ 53 กรัมต่อลิตร ตามลำดับ โดยค่าความสามารถในการผลิตของ 1,3-โพรเพนไคอลอเดย์ที่ได้จากการกลีเซอรอลจากกระบวนการผลิตในโอดีเซลทั้ง 2 ชนิด เท่ากับ 1.7 กรัมต่อลิตรต่อชั่วโมง ซึ่งมีค่าใกล้เคียงกับค่าความสามารถในการผลิตที่ได้จากการกลีเซอรอลบริสุทธิ์อย่างมาก โดยกลีเซอรอลบริสุทธิ์จะทำให้ได้ความเข้มข้นของ 1,3-โพรเพนไคอลอเดย์เท่ากับ 61.9 กรัมต่อลิตร และมีค่าการผลิตเท่ากับ 2.0 กรัมต่อลิตรต่อชั่วโมง ซึ่งจากการ

การศึกษาสามารถสรุปได้ว่ากลีเซอโรลดิบจากกระบวนการผลิตไบโอดีเซลสามารถใช้เป็นสารตั้งต้นในการผลิต 1,3-โพรเพน ได้ออลได้

Ito *et al.* (2005) ได้ศึกษาการผลิต ไฮโดรเจน (H_2) และ เอทานอล (Ethanol) จากกลีเซอโรล ที่เหลือทึ้งจากการผลิตไบโอดีเซล โดยใช้แบคทีเรีย *Enterobacter aerogenes* HU-101 โดยทำการเจือจางกลีเซอโรลที่เหลือทึ้งจากการผลิตไบโอดีเซลด้วยอาหารสังเคราะห์ (Synthetic Medium) เพื่อเพิ่มอัตราการใช้กลีเซอโรลของแบคทีเรีย นอกจากนี้ยังพบว่าการเติมสารสกัดเยลล์ (Yeast Extract) และทริปโทน (Tryptone) ลงในอาหารสังเคราะห์ที่ใช้ในการเจือจางกลีเซอโรลดังกล่าว สามารถช่วยเพิ่มการผลิต ไฮโดรเจน และ เอทานอล ให้มากขึ้นได้ โดยค่าผลได้ของ ไฮโดรเจน และ เอทานอล ที่ได้จะลดลงเมื่อความเข้มข้นของกลีเซอโรลเพิ่มขึ้นทั้งในกรณีของ กลีเซอโรลที่เหลือทึ้งจากการผลิตไบโอดีเซล และ กลีเซอโรลบริสุทธิ์ จากนั้นเมื่อเปรียบเทียบการผลิต ไฮโดรเจนและเอทานอลจากกลีเซอโรลที่เหลือทึ้งจากการผลิตไบโอดีเซลกับกลีเซอโรล บริสุทธิ์ ที่ความเข้มข้นเดียวกันพบว่า อัตราการผลิต ไฮโดรเจน และ เอทานอลจากกลีเซอโรลที่เหลือทึ้งจากการผลิตไบโอดีเซลจะมีค่าต่ำกว่าในกรณีของ กลีเซอโรลบริสุทธิ์มาก ทั้งนี้เนื่องจากกลีเซอโรลที่เหลือทึ้งจากการผลิตไบโอดีเซลมีเกลือเป็นองค์ประกอบอยู่สูง และเมื่อเดี้ยงแบคทีเรียในระบบแบบต่อเนื่อง (Continuous Culture) ในถังปฏิกิริณ์แบบแพคเบด (Packed-bed Reactor) ที่ความเข้มข้นกลีเซอโรลเท่ากับ 110 มิลลิโมลาร์ โดยไม่ใช้วัสดุในการตรึงเซลล์ (Support Material) พบว่าเมื่อใช้กลีเซอโรลบริสุทธิ์จะมีอัตราการสร้าง ไฮโดรเจนสูงสุดเท่ากับ 80 มิลลิโมลาร์ต่อชั่วโมง และมีค่าผลได้เอทานอล เท่ากับ 0.8 ขณะที่ในกรณีที่ใช้กลีเซอโรลที่เหลือทึ้งจากการผลิตไบโอดีเซล จะมีอัตราการสร้าง ไฮโดรเจนเพียง 30 มิลลิโมลาร์ต่อชั่วโมง แต่เมื่อมีการใช้วัสดุในการตรึงเซลล์ที่ทำจากเซรามิกในการเดี้ยงแบบต่อเนื่อง พบว่าอัตราการสร้าง ไฮโดรเจนจาก กลีเซอโรลที่เหลือทึ้งจากการผลิตไบโอดีเซลจะมีค่าสูงขึ้นเป็น 63 มิลลิโมลาร์ต่อชั่วโมง และมีค่าผลได้เอทานอล เท่ากับ 0.85

Gonzalez-Pajuelo *et al.* (2004) ได้ทำการศึกษาอิทธิพลของกลีเซอโรลเกรดต่าง ๆ ในการยับยั้งการเจริญเติบโตของจุลินทรีย์ *Clostridium butyricum* VPI 3266 โดยทำการศึกษาเปรียบเทียบระหว่างกลีเซอโรลเกรดการค้าที่มีปริมาณกลีเซอโรล 87 เปอร์เซ็นต์โดยมวลต่อปริมาตร กับ กลีเซอโรลจากการกระบวนการผลิตไบโอดีเซลที่มีปริมาณกลีเซอโรล 92 และ 65 เปอร์เซ็นต์โดยมวลต่อปริมาตรตามลำดับ จากผลการศึกษาพบว่า ที่ความเข้มข้นเดียวกัน กลีเซอโรลจากการผลิตไบโอดีเซลที่มีปริมาณกลีเซอโรล 92 เปอร์เซ็นต์โดยมวลต่อปริมาตรมีผลในการยับยั้งการเจริญเติบโตของ *Clostridium butyricum* VPI 3266 ไม่ต่างกับกลีเซอโรลเกรดการค้า โดยที่ความ

เข้มข้นของกลีเซอรอลเท่ากับ 20 กรัมต่อลิตร จะไม่มีผลในการยับยั้งการเจริญเติบโตของจุลินทรีย์เลย แต่เมื่อความเข้มข้นของกลีเซอรอลเพิ่มขึ้นจะทำให้มีผลการยับยั้งการเจริญของจุลินทรีย์เพิ่มมากขึ้นเช่นกัน โดยที่ความเข้มข้นของกลีเซอรอลเท่ากับ 100 กรัมต่อลิตร กลีเซอรอลทั้งสองเกรด ดังกล่าวจะมีผลในการยับยั้งการเจริญเติบโตของจุลินทรีย์คิดเป็น 62 เปอร์เซ็นต์ ในขณะที่กลีเซอรอลจากกระบวนการผลิตไปโดยเฉลี่ยที่มีปริมาณกลีเซอรอลคิดเป็น 65 เปอร์เซ็นต์โดยมวลต่อปริมาตร จะมีผลในการยับยั้งการเจริญเติบโตของจุลินทรีย์มากกว่ากลีเซอรอลอีกสองเกรดอย่างเห็นได้ชัด เช่นที่ความเข้มข้นของกลีเซอรอลเท่ากับ 100 กรัมต่อลิตร จะมีผลในการยับยั้งการเจริญเติบโตของเชื้อคิดเป็น 86 เปอร์เซ็นต์ นอกจากนี้ยังได้ทำการศึกษาการผลิต 1,3-โพรเพนไดออกอลจาก กลีเซอรอลทั้ง 3 ชนิด ด้วย *Clostridium butyricum* VPI 3266 ภายใต้สภาวะไร้อากาศในอาหารสังเคราะห์ทั้งในระบบการเลี้ยงแบบกะ และแบบต่อเนื่อง จากผลการศึกษาพบว่าในการเลี้ยงแบบกะ กลีเซอรอลทั้ง 3 ชนิดจะมีค่าผลได้ในการผลิต 1,3-โพรเพนไดออกอลอยู่ในช่วงใกล้เคียงกันคือ 0.51 ถึง 0.58 โมลต่อโมล กลีเซอรอล และในการเลี้ยงแบบต่อเนื่อง กลีเซอรอลทั้ง 3 ชนิดให้ค่าผลได้ในการผลิต 1,3-โพรเพนไดออกอลอยู่ในช่วงใกล้เคียงกันคือ 0.57-0.62 โมลต่อโมลกลีเซอรอล

Ooi *et al.* (2001) ได้ทำการปรับปรุงคุณภาพกลีเซอรอลที่เหลือทิ้งจากโรงงานผลิต เมทิลเอสเทอร์ จากน้ำมันปาล์ม ด้วยวิธีทางเคมี (การเติมกรดซัลฟิวริก) และภายใน (การแยกชั้นการระเหยน้ำออก) หลังจากทำการปรับปรุงคุณภาพกลีเซอรอลที่เหลือทิ้งแล้วจะทำให้สามารถแยกผลิตภัณฑ์ได้เป็นสามส่วน โดยแต่ละส่วนจะมีเปอร์เซ็นต์โดยน้ำหนักดังนี้ กลีเซอรอลคิด 33.9 เปอร์เซ็นต์ กรดไขมัน 10.5 เปอร์เซ็นต์ และเกลือ 65.2 เปอร์เซ็นต์ และส่วนประกอบในกลีเซอรอลคิด ประกอบด้วย กลีเซอรอล 51.4 เปอร์เซ็นต์ เถ้า 13.8 เปอร์เซ็นต์ น้ำ 8.9 เปอร์เซ็นต์ และสารอินทรีย์อื่น ๆ ที่ไม่ใช่กลีเซอรอล (Matter Organic Non-glycerol) 25.9 เปอร์เซ็นต์ นอกจากนี้ยังพบว่ากลีเซอรอลคิดที่ผ่านกระบวนการปรับปรุงคุณภาพที่มีค่าพิเศษคือ จะทำให้กลีเซอรอลที่ได้มีความบริสุทธิ์มากขึ้น

อุปกรณ์และวิธีการ

อุปกรณ์

1. จุลินทรีย์ที่ใช้ในการทดลอง

แบคทีเรีย *Escherichia coli* BL21 (DE3) ที่มียีนแอล-ฟินิโละลาเนินดีไซโตรจีนจาก *Acinetobacter lwoffii* เป็นแบคทีเรียที่ผ่านการปรับปรุงสายพันธุ์โดยกลุ่มวิจัยภาควิชาชีวเคมี คณะวิทยาศาสตร์ จุฬาลงกรณ์มหาวิทยาลัย ที่ได้ทำการโคลนยีนฟินิโละลาเนินดีไซโตรจีน จาก *A. lwoffii* เข้าสู่ *E. coli* BL21(DE3) โดยใช้ Expression Vector (pET-17b) ซึ่งยีนฟินิโละลาเนินดีไซโตรจีนเป็นยีนที่เข้ารหัสให้เอนไซม์ฟินิโละลาเนินดีไซโตรจีนที่เร่งปฏิกิริยาการสังเคราะห์กรดอะมิโนชนิดแอล-ฟินิโละลาเนิน

2. กลีเซอรอลดิบจากการกระบวนการผลิตใบโอดีเซล

กลีเซอรอลจากการกระบวนการผลิตใบดีเซล “กลีเซอรอลดิบ” ได้รับความอนุเคราะห์จากบริษัทนำมันพืชปุ่มจำกัด เป็นกลีเซอรอลที่เกิดจากการกระบวนการผลิตใบโอดีเซลด้วยปฏิกิริยากรานส์เอสเทอโรฟิเคลชั่นระหว่างน้ำมันปาล์ม RBD กับเมทานอล โดยใช้โซเดียมไฮดรอกไซด์เป็นตัวเร่งปฏิกิริยา ในกระบวนการผลิตใบโอดีเซลมีการระเหยเมทานอลออกจากกลีเซอรอลดิบเพื่อนำกลับไปใช้ในการกระบวนการผลิตใบโอดีเซลอีกรั้ง กลีเซอรอลดิบที่ได้มีลักษณะเป็นของกึ่งแข็ง มีค่าพีออยเท่ากับ 12

3. อุปกรณ์และเครื่องมือที่ใช้ในการทดลองและวิเคราะห์

- 3.1 เครื่องสเปกโตโฟโตเมตร Anthekie Advanced, Secomam, France
- 3.2 เครื่องเบย่า (Shaking Incubator): SI2, China
- 3.3 เครื่องปั่นหวีง (Centrifuge): PLC-012, Gemmy, Taiwan
- 3.4 เครื่องชั่งแบบละเอียด (ทศนิยม 4 ตำแหน่ง): BL2105, Sartorius, Germany
- 3.5 เครื่องชั่งแบบหนา (ทศนิยม 2 ตำแหน่ง): PM6100, Mettler Toledo, Switzerland
- 3.6 เครื่องนึ่งม่าเซ็อ: TAI CHANG medical instrument factory, Thailad
- 3.7 ตู้อบลมร้อน: 500, Memmert, Germany

- 3.8 เครื่องวัดพีเอช: 420A, Orion, U.S.A.
- 3.9 หลอดทดลอง
- 3.10 เครื่อง High Performance Liquid Chromatography (HPLC): Thremo, U.S.A.
- 3.11 คอลัมน์ HPLC: ACE, C18, U.K.
- 3.12 Syringe Filter: นาโนรูพรุน 0.2 μm, Whatman, U.S.A.
- 3.13 Eppendorff ขนาด 1.5 mL
- 3.14 เครื่องผสม (Vortex Mixer): KMC-1300V, VISION, Korea
- 3.15 ชุดกรอง Mobile Phase: Supelco, U.S.A.
- 3.16 เตาไฟฟ้า: H51, TL
- 3.17 โถดูดความชื้น
- 3.18 นาฬิกาจับเวลา: HS20, Casio, Japan
- 3.19 ออโต้ปีปีต: Boeco, Germany
- 3.20 ถ้วยเก้า
- 3.21 เตาเผาอุณหภูมิสูง
- 3.22 ตะเกียงและก้อนหินอ่อน
- 3.23 ฟลาสก์
- 3.24 แท่งแก้ว
- 3.25 ลวดเปียเชือ
- 3.26 เพลทเปียเชือ
- 3.27 สำลี และกระดาษฟรอยด์
- 3.28 ขวดปรับปริมาตร
- 3.29 ปีปีตแก้ว
- 3.30 กระบอกตัว
- 3.31 ช้อนตักสาร
- 3.32 ปั๊มสูญญากาศ
- 3.33 ขวด Vial
- 3.34 อ่างควบคุมอุณหภูมิ
- 3.35 กรวยแยก
- 3.36 บิวเรต
- 3.37 ตู้เปียเชือ

4. สารเคมีที่ใช้ในการทดลอง

- 4.1 กรดซัลฟิวริก (เกรดAR, Merck, Germany)
- 4.2 2-โพรพานอล (เกรดAR, J.T Baker, USA)
- 4.3 เอทานอล (เกรดAR, Merck, Germany)
- 4.4 อะซิคลิอะซีโตก (เกรดAR, Fluka, Switzerland)
- 4.5 กรดไฮโดรคลอริก (เกรดAR, J.T Baker, USA)
- 4.6 โซเดียมเพอร์ไอกอเดต (เกรดAR, Fluka, Switzerland)
- 4.7 โซเดียมไฮดรอกไซด์ (เกรดAR, Ajax finechem, Australia)
- 4.8 ฟินอฟทาลีน (เกรดAR, Ajax finechem, Australia)
- 4.9 กรดแอเซติก (เกรดAR, Merck, Germany)
- 4.10 แอมโมเนียมอะซิเตต (เกรดAR, Ajax Finechem, Australia)
- 4.11 ไบรอนfineอลบลู (เกรดAR, Ajax Finechem, Australia)
- 4.12 กลีเซอรอล (เกรด USP ความบริสุทธิ์ 99.5 เปอร์เซ็นต์โดยน้ำหนัก)
- 4.13 แมกนีเซียมคลอไรด์ (เกรดการค้า)
- 4.14 แอมโมเนียมซัลเฟต (เกรดการค้า)
- 4.15 โพแทสเซียมไนโตรเจนฟอสเฟต (เกรดการค้า)
- 4.16 ไดโพแทสเซียมไนโตรเจนฟอสเฟต (เกรดการค้า)
- 4.17 สารสกัดยีสต์ (Biomark Laboratory, India)
- 4.18 ไ tha มีนิไนโตรคลอไรด์ (เกรดการค้า)
- 4.19 เฟอร์สซัลเฟต (เกรดการค้า)
- 4.20 แมงกานีสซัลเฟต (เกรดการค้า)
- 4.21 แคลเซียมคลอไรด์ (เกรดการค้า)
- 4.22 ซิงค์ซัลเฟต (เกรดการค้า)
- 4.23 แดปซิลคลอไรด์ (Supelco, U.S.A.)
- 4.24 อะซิโตก (ยี่ห้อ Merck เกรด HPLC)
- 4.25 โซเดียมไฮดรอกไซด์ (ยี่ห้อ Merck เกรด AR)
- 4.26 อะซิโตกไนโตร (เกรด HPLC, Merck, Germany)
- 4.27 แอมพิชิลิน (เกรด AR, Sigma, U.S.A.)
- 4.28 ทริปโตก (Biomark Laboratory, India)
- 4.29 โซเดียมคลอไรด์ (เกรด AR, Univar, Australia)

4.30 โซเดียมซัลเฟต (เกรด AR, Univar, Australia)

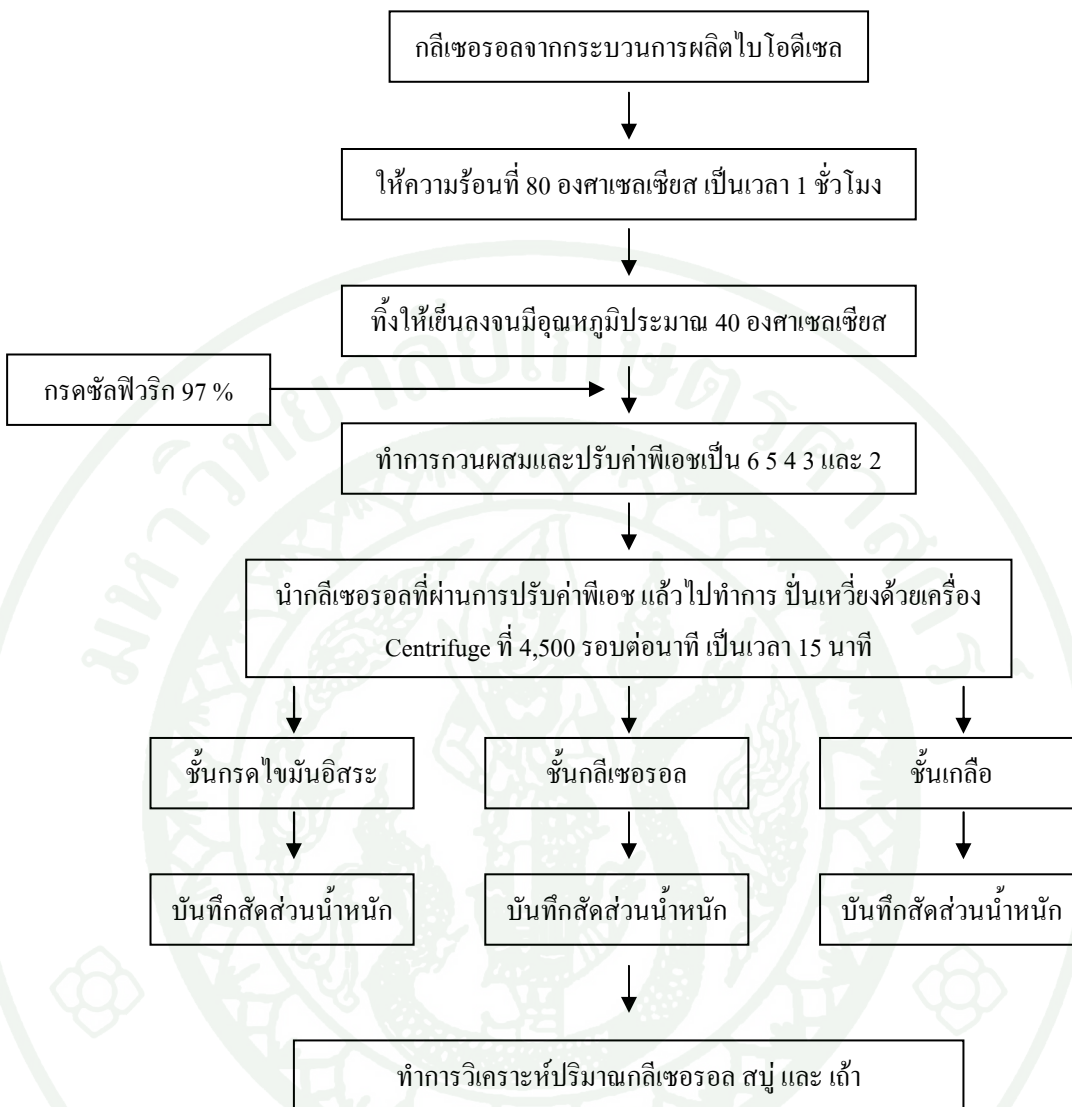
วิธีการ

1. การปรับปรุงคุณภาพของกลีเซอรอลดินจากกระบวนการผลิตใบโอดีเซลด้วยกรดซัลฟิวริกเข้มข้น

ให้ความร้อนกับกลีเซอรอลดินที่อุณหภูมิ 80 องศาเซลเซียส เป็นเวลาประมาณ 1 ชั่วโมง เพื่อระเหยเมทานอลที่หลงเหลืออยู่ในกลีเซอรอลดินออก จากนั้นทิ้งให้กลีเซอรอลดินที่ผ่านการให้ความร้อนดังกล่าวเย็นลง จนมีอุณหภูมิประมาณ 40 องศาเซลเซียส ทำการเติมกรดซัลฟิวริกเข้มข้น 97 เปอร์เซ็นต์โดยน้ำหนักต่อปริมาตรลงในกลีเซอรอลดิน เพื่อทำการปรับพีอีของกลีเซอรอลดินให้มีค่าลดลงจาก 12 เป็น 6 5 4 3 และ 2 ตามลำดับ นำกลีเซอรอลที่ผ่านการปรับค่าพีอีเป็นพีอีต่าง ๆ แล้วดังกล่าวไปทำการปั่น夷ี่งที่ความเร็ว 4,500 รอบต่อนาที เป็นเวลา 15 นาที เพื่อแยกชั้นกลีเซอรอล ออกจากชั้นของกรดในมันอิสระ และชั้นของเกลือซัลเฟตที่เกิดขึ้น ทำการบันทึกสัดส่วนโดยน้ำหนักของสารในแต่ละชั้นที่แยกได้ นำชั้นกลีเซอรอลที่แยกได้ไปทำการวิเคราะห์หาองค์ประกอบ และใช้เป็นแหล่งการรับอนในการเพาะเลี้ยงแบคทีเรียต่อไป โดยขั้นตอนในการทำการทดลองได้แสดงไว้ในภาพที่ 16

2. การเตรียมต้นเชื้อ *Escherichia coli* BL21 (DE3) เพื่อใช้ในการทดลอง

ทำการถ่ายโโคโลนีเดี่ยวของ *E. coli* BL21 (DE3) ลงในอาหารเลี้ยงเชื้อ LB (พีอี 7.4) ปริมาตร 5 มิลลิลิตร ที่บรรจุอยู่ในหลอดทดลองฝาเกลียว นำไปบ่มที่ 37 องศาเซลเซียส อัตราการเจ่า 200 รอบต่อนาที เป็นเวลา 24 ชั่วโมง จากนั้นทำการถ่ายน้ำเลี้ยงเชื้อดังกล่าวปริมาตร 50 ไมโครลิตร ลงในอาหารเลี้ยงเชื้อ LB (พีอี 7.4) ปริมาตร 50 มิลลิลิตร ที่บรรจุอยู่ในฟลาสก์ขนาด 250 มิลลิลิตร ทำการบ่มที่ 37 องศาเซลเซียส อัตราการเจ่า 200 รอบต่อนาที เป็นเวลา 24 ชั่วโมง ใช้น้ำเลี้ยงเชื้อที่ได้จากขั้นตอนนี้เป็นต้นเชื้อในการทดลองต่อไป โดยอาหาร LB ประกอบด้วย ยีสต์ สกัด 5 กรัมต่อลิตร NaCl 10 กรัมต่อลิตร และทริปโตน 10 กรัมต่อลิตร



ภาพที่ 16 ขั้นตอนการเติมกรดเพื่อปรับปรุงคุณภาพกลีเซอรอลดิน

3. การเพาะเลี้ยง *Escherichia coli* BL21 (DE3) โดยใช้กลีเซอรอลเป็นแหล่งคาร์บอน

อาหารที่ใช้ในการเพาะเลี้ยงแบคทีเรีย *E. coli* BL21 (DE3) ในการทดลองนี้ ประกอบด้วย $(\text{NH}_4)_2\text{SO}_4$ 50 กรัมต่อลิตร MgCl_2 0.81 กรัมต่อลิตร KH_2PO_4 2.43 กรัมต่อลิตร K_2HPO_4 2.43 กรัมต่อลิตร ชีสต์สกัด 0.85 กรัมต่อลิตร Thiamine-HCl 0.085 กรัมต่อลิตร FeSO_4 0.002 กรัมต่อลิตร MnSO_4 0.002 กรัมต่อลิตร CaCl_2 0.05 กรัมต่อลิตร ZnSO_4 0.01 กรัมต่อลิตร และ แอมพิชิลิน 0.05 กรัมต่อลิตร (Khamduang *et al.*, 2009a) โดยใช้กลีเซอรอลดินจากกระบวนการผลิตใบโอดีเซล กลีเซอรอลบริสุทธิ์เกรดญอสพี (ความบริสุทธิ์ 99.5 เปอร์เซ็นต์โดยน้ำหนัก) และกลีเซอรอลดินที่

ผ่านการทำให้บริสุทธิ์ขึ้นด้วยกรรมวิธีเป็นแหล่งคาร์บอนในอาหารเลี้ยงเชื้อ ที่ความเข้มข้น 5 10 30 และ 50 กรัมต่อลิตร โดยทำการปรับค่าพีเอชของอาหารเลี้ยงเชื้อให้เป็น 7.4 ด้วยสารละลายนาโนไฮเดรตเตอร์ NaOH เข้มข้น 3 มोลาร์ ในการเตรียมอาหารเลี้ยงเชื้อนี้ Thiamine-HCl และพิซิลิน และ MgCl₂ จะถูกเตรียมแยกจากส่วนประกอบอื่น ๆ โดยส่วนประกอบทั้งหมดจะถูกนำมาผสมรวมกันในภายหลัง Thiamine-HCl จะถูกกำจัดเชื้อโดยใช้วิธีการกรองผ่าน Filter ที่มีขนาดของรูพรุนเท่ากับ 2 ไมโครเมตร (National Scientific, USA) ส่วน MgCl₂ และองค์ประกอบอื่น ๆ จะถูกผ่าเชื้อด้วยการนึ่งที่ 121 องศาเซลเซียส เป็นเวลา 15 นาที การเพาะเลี้ยง *E. coli* BL21 (DE3) จะทำในฟลาสก์ขนาด 250 มิลลิลิตร ที่มีอาหารเลี้ยงเชื้อออยู่ 50 มิลลิลิตร ทำการบ่มที่ 37 องศาเซลเซียส อัตราการเร炎热่ำ 200 รอบต่อนาที และใช้ปริมาณต้นเชื้อในการทดลองเป็น 5 เปอร์เซ็นต์โดยปริมาตรของอาหารเลี้ยงเชื้อ ทำการเก็บตัวอย่างของน้ำเสียงเชื้อหลังจากทำการเพาะเลี้ยงไปเป็นเวลา 36 ชั่วโมง เพื่อนำไปวิเคราะห์หน้าหนักเซลล์แห้งของแบคทีเรีย และปริมาณกรดอะมิโนชนิดแอล-ฟินิโล alanine ที่แบคทีเรียผลิตขึ้น

4. การวิเคราะห์ตัวแปรต่าง ๆ

4.1 การวิเคราะห์ปริมาณกลีเซอรอล

ทำการวิเคราะห์ปริมาณกลีเซอรอลด้วยวิธีของ Bondoli and Bella (2005) โดยใช้การวัดค่าการดูดกลืนแสงของสารอนุพันธ์ของกลีเซอรอล ที่ความยาวคลื่น 410 นาโนเมตร ด้วยเครื่องสเปกโตรโฟโตมิเตอร์ สารอนุพันธ์ดังกล่าวคือ 3, 5-ไดอะซิติล-1, 4-ไดไฮดรอรูติดีน (3, 5-diacetyl-1, 4-dihydrolutidine) ที่เกิดจากการทำปฏิกิริยาระหว่าง กลีเซอรอล โซเดียมเพอร์โซเดท และอะซิติโลอะซิโนน ซึ่งมีคุณสมบัติในการดูดกลืนแสงที่ความยาวคลื่น 410 นาโนเมตรได้ดี ขึ้นตอนในการวิเคราะห์ การทำการฟอกมาตรฐาน และการคำนวณหาปริมาณกลีเซอรอล ได้แสดงไว้ในภาคผนวก ก

4.2 การวิเคราะห์หาปริมาณสบู่

ชั้นน้ำหนักกลีเซอรอลตัวอย่างปริมาณ 1 กรัม ใส่ขวดรูปทรงพู่ เติมน้ำกลั่นปริมาตร 10 มิลลิลิตรหยดฟินอล์ฟากลีนเข้มข้น 0.1 เปอร์เซ็นต์ ปริมาณ 2 หยด หากสารละลายนี้เป็นสีชมพูแสดงว่า กลีเซอรอลตัวอย่างยังมีตัวเร่งปฏิกิริยาประเกทค้างหลงเหลืออยู่ ให้เติมสารละลายน้ำไดรคลอริกเข้มข้น 0.1 มोลาร์ลงไปในสารละลายนี้เพื่อสะเทินตัวเร่งปฏิกิริยาที่เหลืออยู่

ดังกล่าว เมื่อตัวเร่งปฏิกิริยาถูกสะเทินหมดสารละลายจะเปลี่ยนจากสีชมพูเป็นสารละลายใส จากนั้นหยดโนรโนมีฟินอลบลูความเข้มข้น 0.04 เปอร์เซ็นต์ ปริมาณ 3 ถึง 4 หยด (ได้สารละลายสีน้ำเงิน) ทำการไห้เทรตด้วยกรดไฮโดรคลอริกความเข้มข้น 0.1 โมลาร์ ไห้เทรตจนสารละลายเปลี่ยนจากสีน้ำเงินเป็นสีเหลือง ณ จุดนี้ถือเป็นจุดยุติ (Courtesy of CCCC Biofuels Program, 2010) บันทึกปริมาตรกรดไฮโดรคลอริกที่ใช้ในการไห้เทรตให้สารละลายเปลี่ยนจากสีน้ำเงินเป็นสีเหลือง เพื่อนำไปคำนวณหาปริมาณสูง โดยวิธีการคำนวณได้แสดงไว้ในภาคผนวก ค

4.3 การวิเคราะห์ปริมาณถ้า

ทำการวิเคราะห์ปริมาณถ้าตามมาตรฐาน ISO 2098-1972 นำถั่วยถ้าไปปอกที่อุณหภูมิ 105 องศาเซลเซียส เป็นเวลา 24 ชั่วโมง ตั้งทิ้งไว้ให้เย็นในโถดูดความชื้น ทำการซั่งและจดบันทึก นำหนักของถั่วยถ้าเปล่า ชั่งตัวอย่างก้อนเชอรอลให้ได้หนักแน่นอนได้ลงในถั่วยถ้า จากนั้นให้ความร้อนแก่ก้อนเชอรอลในถั่วยถ้าด้วยตะเกียงบุนเสนจนกวันที่เกิดขึ้นจากหายไป นำไปเผาต่อในเตาเผาที่อุณหภูมิ 750 องศาเซลเซียส เป็นเวลา 10 นาที นำออกจากเตาเผา ตั้งทิ้งให้เย็นในโถดูดความชื้น ทำการซั่งและจดบันทึกนำหนัก นำหนักที่ชั่งได้ครั้งหลังไปลบด้วยนำหนักของถั่วยถ้าเปล่า ค่าที่ได้คือนำหนักของถ้าในก้อนเชอรอลตัวอย่าง

4.4 การวิเคราะห์หนักเซลล์แห้ง

นำหลอดเหวี่ยงพลาสติกไปปอกที่อุณหภูมิ 105 องศาเซลเซียส เป็นเวลา 24 ชั่วโมง ตั้งทิ้งไว้ให้เย็นในโถดูดความชื้น ทำการซั่งและจดบันทึกนำหนักของหลอดเหวี่ยงพลาสติกเปล่า ดูดตัวอย่างนำ้เลี้ยงเชือที่ต้องการวิเคราะห์หนักเซลล์แห้งปริมาณ 10 มิลลิลิตรใส่ลงในหลอดเหวี่ยงพลาสติก นำไปทำการปั่นเหวี่ยงที่ 4,000 รอบต่อนาที เป็นเวลา 10 นาที รินนำ้ส่วนในออกจากนั้นนำหลอดเหวี่ยงพลาสติกที่มีการตะกอนของเซลล์อยู่ไปปอกแห้งที่ 105 องศาเซลเซียส เป็นเวลา 48 ชั่วโมง ตั้งทิ้งไว้ให้เย็นในโถดูดความชื้น ทำการซั่งและบันทึกนำหนัก นำหนักที่ชั่งได้ครั้งหลังไปลบด้วยนำหนักของหลอดเหวี่ยงพลาสติกเปล่า ค่าที่ได้คือนำหนักเซลล์แห้งในนำ้เลี้ยงเชือปริมาณ 10 มิลลิลิตร

4.5 การวิเคราะห์ปริมาณกรดอะมิโนชนิด แอล-ฟีนิลอะลานีนในน้ำเลี้ยงเชื้อ

นำส่วนไขของตัวอย่างน้ำเลี้ยงเชื้อไปทำปฏิกิริยากับ แคปซิลคลอไրด์ (Dabsyl-Cl) เพื่อให้กรดอะมิโนเปลี่ยนแปลงไปอยู่ในรูปสารอนุพันธ์ของกรดอะมิโน กับแคปซิลคลอไรด์ โดยประยุกต์จากวิธีของ Khamduang *et al.* (2009a) ซึ่งขั้นตอนในการทำสารอนุพันธ์ของกรดอะมิโน ได้แสดงไว้ในภาคผนวก ฯ จากนั้นทำการตรวจวิเคราะห์หาปริมาณด้วยเครื่องโคมไฟตอกราฟิ ของเหลวแบบสมรรถนะสูง (High Performance Liquid Chromatography, HPLC) โดยใช้คอลัมน์ ACE C18 (150×4.6 มิลลิเมตร, 5 ไมโครเมตร) เดินระบบโดยใช้สารวัสดุภัณฑ์เคลื่อนที่ (Mobile Phase) 2 ชนิด ได้แก่ ชนิดเอ (Mobile Phase A) เป็นสารละลายโซเดียมไฮโดรเจนฟอสเฟต ความเข้มข้น 10 มิลลิโมลาร์ ที่มีค่าพีเอชเท่ากับ 6.55 และ ชนิดบี (Mobile Phase B) เป็นสารละลายของอะซิโตไนไตร กับ 2 -โพรพานอล ในอัตราส่วน 75 ต่อ 25 เปอร์เซ็นต์โดยปริมาตร อัตราส่วนของสารวัสดุภัณฑ์เคลื่อนที่ชนิดเอ ต่อชนิดบี ที่ใช้ในการวิเคราะห์เท่ากับ 50 ต่อ 50 เปอร์เซ็นต์โดยปริมาตร ทำการตรวจวัดปริมาณสารที่ผ่านออกจากการคอลัมน์ด้วยเครื่องตรวจวัดแบบยูวี (UV Detector) ที่ความยาวคลื่น 436 นาโนเมตร นำพื้นที่ไดกราฟจากโคมไฟตอกราฟิที่ได้ไปเทียบกับกราฟมาตรฐานของการวิเคราะห์ปริมาณกรดอะมิโนชนิดแอล-ฟีนิลอะลานีน ในภาคผนวก ฯ และทำการคำนวณหาความเข้มข้นของกรดอะมิโนชนิดแอล-ฟีนิลอะลานีนตามวิธีที่แสดงในภาคผนวก ฯ

ผลและวิจารณ์

งานวิจัยนี้ได้ทำการศึกษาถึงความเป็นไปได้ในการนำกลีเซอรอลดิบจากกระบวนการผลิตไบโอดีเซลมาใช้เป็นแหล่งคาร์บอนในการเพาะเลี้ยงแบคทีเรีย *Escherichia coli* BL 21 (DE3) ที่มียีนแอล-ฟินิโลลาเนนดีไฮดรอเจนเจนจาก *Acinetobacter lwoffii* เพื่อผลิตกรดอะมิโนชนิดแอล-ฟินิโลลาเนน จากการรวบรวมข้อมูลงานวิจัยที่ได้ทำการศึกษาการใช้กลีเซอรอลดิบจากกระบวนการผลิตไบโอดีเซลเป็นแหล่งคาร์บอนในการเพาะเลี้ยงจุลินทรีย์ โดยเปรียบเทียบกับการใช้กลีเซอรอลที่มีความบริสุทธิ์สูงกว่า พนบว่าจุลินทรีย์ที่ใช้ในการทดลองส่วนใหญ่สามารถเจริญได้ดีในกลีเซอรอลที่มีความบริสุทธิ์สูงกว่า ในขณะที่กลีเซอรอลดิบจากการกระบวนการผลิตไบโอดีเซลที่มีความบริสุทธิ์ต่ำมีผลในการขับยั้งการเจริญของจุลินทรีย์มากกว่า (Asad-ur-Rehman *et al.*, 2008; Gonzalea-Pajuelo *et al.*, 2004) ดังนั้นงานวิจัยนี้จึงได้ศึกษาถึงการปรับปรุงคุณภาพกลีเซอรอลดิบจากการกระบวนการผลิตไบโอดีเซลให้มีความบริสุทธิ์ขึ้น ก่อนนำมาใช้ในการเพาะเลี้ยงแบคทีเรียต่อไป โดยสันนิษฐานว่ากลีเซอรอลที่มีความบริสุทธิ์เพิ่มขึ้นจะสามารถนำไปใช้เป็นแหล่งคาร์บอนในการเพาะเลี้ยง *E. coli* BL 21 (DE3) ได้ดีกว่ากลีเซอรอลที่มีความบริสุทธิ์ต่ำ

สำหรับวิธีการเพิ่มความบริสุทธิ์ให้กับกลีเซอรอลดิบจากการกระบวนการผลิตไบโอดีเซลที่ใช้ในการศึกษารั้งนี้ คือการเติมกรดเพื่อปรับค่าพีเอชของกลีเซอรอลดิบให้มีค่าลดลง ซึ่งวิธีดังกล่าวเป็นวิธีที่สามารถทำให้กลีเซอรอลดิบบริสุทธิ์ขึ้น ได้ในเบื้องต้น โดยทำให้สนับประจุโซเดียมในกลีเซอรอลดิบ ซึ่งเป็นปัจจัยสำคัญที่อาจมีผลในการขับยั้งการเจริญของจุลินทรีย์ที่ใช้ในการทดลอง มีปริมาณลดลง ได้ นอกจากนี้วิธีดังกล่าวยังเป็นวิธีที่ทำได้ง่าย ไม่ซับซ้อน และมีค่าใช้จ่ายในการดำเนินการไม่สูงมากนัก ซึ่งจะทำให้ผลการวิจัยนี้มีความเป็นไปได้ในการนำไปปฏิบัติจริง และสามารถดำเนินการโดยมีความคุ้มค่าทางเศรษฐศาสตร์ได้ กรดที่เลือกใช้ในการศึกษารั้งนี้คือกรดซัลฟิวริก ซึ่งเป็นกรดแก๊สที่นิยมใช้กันอย่างแพร่หลายในอุตสาหกรรม โดยทั่วไป และมีราคาไม่สูงมากนัก นอกจากนี้ยังมีรายงานการใช้กรดดังกล่าวในการทำให้กลีเซอรอลดิบบริสุทธิ์ขึ้นด้วย (Ooi *et al.*, 2001)

1. การปรับปรุงคุณภาพกลีเซอรอลดิบให้มีความบริสุทธิ์ขึ้นด้วยกรดซัลฟิวริกเข้มข้น

กลีเซอรอลดิบจากการกระบวนการผลิตไบโอดีเซลที่ใช้ในการศึกษารั้งนี้ได้รับความอนุเคราะห์จากบริษัทnam птическое птическое จำกัด ซึ่งบริษัทดังกล่าวดำเนินการผลิตไบโอดีเซลโดยใช้

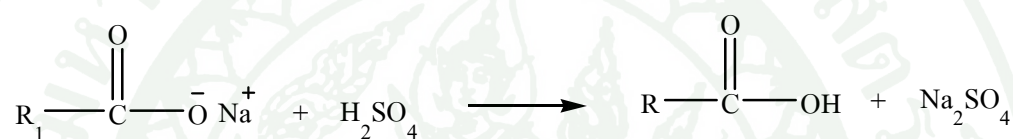
น้ำมันปาล์มาร์บีดิ ทำปฏิกริยากับเมทานอล และใช้โซเดียมไฮดรอกไซด์เป็นตัวเร่งปฏิกริยา ในกระบวนการผลิตมีการระเหยเมทานอลออกจากกลีเซอรอลดินเพื่อนำกลับไปใช้ในกระบวนการผลิตใบโอดิเซลต่อไป ทำให้กลีเซอรอลดินที่ได้มีปริมาณเมทานอลเหลืออยู่เพียงเล็กน้อย (ประมาณ 1 เปอร์เซ็นต์โดยน้ำหนัก) มีลักษณะเป็นของกึ่งแข็ง มีสีน้ำตาลดำ (ดังแสดงในภาพที่ 17) และมีค่าพื้อเชเท่ากับ 12

1.1 การเติมกรดซัลฟิวริกเข้มข้นเพื่อทำการปรับค่าพื้อเชของกลีเซอรอลดิน และ การแยกชั้นกลีเซอรอลออกจาก ชั้นกรดไขมันอิสระ และชั้นเกลือ

ก่อนทำการปรับปรุงคุณภาพกลีเซอรอลดินจากการผลิตใบโอดิเซลให้มีความบริสุทธิ์ขึ้นด้วยการเติมกรดซัลฟิวริกเข้มข้น กลีเซอรอลดินได้ถูกนำไปให้ความร้อนที่ 80 องศาเซลเซียสเป็นเวลาประมาณ 1 ชั่วโมง เพื่อระเหยเมทานอลที่หลงเหลืออยู่ในกลีเซอรอลดินออก นอกจากนี้ความร้อนที่ให้กับกลีเซอรอลดินดังกล่าวยังทำให้กลีเซอรอลดินซึ่งมีลักษณะเป็นของกึ่งแข็ง เกิดการหลอมละลายเป็นของเหลว ทำให้สามารถถอนพัสมรถดที่เติมลงไปให้เข้าเป็นเนื้อเดียวกับกลีเซอรอลดินได้ดีขึ้นอีกด้วย เมื่อเติมกรดซัลฟิวริกเข้มข้นลงในกลีเซอรอลดินเพื่อทำการปรับค่าพื้อเชให้มีค่าลดลงจาก 12 เป็น 6.5-4.3 และ 2 แล้ว พนวากลีเซอรอลดินเกิดการเปลี่ยนแปลงโดยมีลักษณะปรากฏของกลีเซอรอลแต่ละพื้นที่เป็นชั้นๆ แสดงในตารางที่ 6 กล่าวคือเมื่อตั้งกลีเซอรอลที่ผ่านการปรับค่าพื้อเชด้วยกรดซัลฟิวริกทิ้งไว้ จะสังเกตเห็นกลีเซอรอลดังกล่าวเกิดการแยกชั้นออกเป็น 3 ชั้น ได้แก่ ชั้นบนเป็นชั้นของกรดไขมันอิสระ มีลักษณะเป็นของแข็ง สีเหลืองนวล และมีกลิ่นฉุนเฉพาะตัว ชั้นกลางเป็นชั้นของกลีเซอรอล เป็นของเหลวใส สีน้ำตาล ก่อนข้างหนึด มีลักษณะคล้ายน้ำผึ้ง และชั้นล่างเป็นชั้นของเกลือซัลเฟต มีลักษณะเป็นของแข็ง เป็นทรงกระบอก มีสีเหลืองอ่อน การแยกชั้นออกเป็น 3 ชั้น ของกลีเซอรอลดินหลังการเติมกรดซัลฟิวริกเข้มข้นนี้ เกิดจากกรดซัลฟิวริกที่เติมลงไปได้เข้าทำปฏิกริยากับสนูปในกลีเซอรอลดิน ทำให้สนูปเกิดการแตกตัวเป็นกรดไขมันอิสระ และเกลือซัลเฟต ดังแสดงในภาพที่ 18 โดยกรดไขมันอิสระที่เกิดขึ้นสามารถละลายในกลีเซอรอล ได้ต่ำ จึงเกิดการลอยตัวแยกชั้นออกจากชั้นกลีเซอรอล ในขณะเดียวกันเกลือที่เกิดขึ้นบางส่วนก็เกิดการตกผลึกออกจากชั้นกลีเซอรอล เช่นกัน (Gerpen, 2005)



ภาพที่ 17 กลีเซอรอลดิบจากการผลิตใบโอดีเซล



ภาพที่ 18 ปฏิกิริยาระหว่างสบู่ในกลีเซอรอลดิบและกรดซัลฟิวริก

ตารางที่ 6 ลักษณะของกลีเซอรอลที่ผ่านการปรับค่าพีเอชด้วยกรดซัลฟิวริกเข้มข้น

พีเอชของกลีเซอรอล

ลักษณะของกลีเซอรอลหลังปรับพีเอช

พีเอช 6



พีเอช 5



ตารางที่ 6 (ต่อ)

พีอุชของกลีเซอรอล	ลักษณะของกลีเซอรอลหลังปรับพีอุช
พีอุช 4	
พีอุช 3	
พีอุช 2	

เพื่อให้สามารถแยกชั้นกลีเซอรอล ออกจากชั้นกรด ไขมันอิสระ และชั้นเกลือที่เกิดขึ้นได้อย่างสมบูรณ์มากขึ้น จึงได้นำกลีเซอรอลที่ผ่านการปรับค่าพีอุชด้วยการเติมกรดแล้วดังกล่าว ไปทำการปั่นเหวี่ยงที่ความเร็ว 4,500 รอบต่อนาที เป็นเวลา 15 นาที และจดบันทึกสัดส่วน โดยน้ำหนักของแต่ละชั้นที่สามารถแยกได้จากกลีเซอรอลพีอุชต่าง ๆ โดยมีผลดังแสดงในตารางที่ 7 จากข้อมูลในตารางที่ 7 แสดงให้เห็นว่า เมื่อกลีเซอรอลมีค่าพีอุชต่ำลง ทำให้เปอร์เซ็นต์โดยน้ำหนักของชั้นเกลือที่แยกได้มีค่าเพิ่มสูงขึ้น โดยสัดส่วนของชั้นเกลือที่แยกได้จากการปรับพีอุช 6 มีค่าเท่ากับ 6.7 เปอร์เซ็นต์โดยน้ำหนัก เมื่อกลีเซอรอลมีค่าพีอุชลดลงเป็น 5.4.3 และ 2 ทำให้สัดส่วนของชั้นเกลือที่แยกได้มีค่าเพิ่มขึ้นเป็น 7.1 7.4 8.2 และ 8.4 เปอร์เซ็นต์โดยน้ำหนัก ตามลำดับ ทั้งนี้เพราะกลีเซอรอลที่มีค่าพีอุชต่ำลง สนับในกลีเซอรอลดีบจึงถูกเปลี่ยนแปลงไปเป็นกรด ไขมันอิสระและเกลือโซเดียมซัลเฟตในปริมาณที่มากขึ้นด้วย ดังนั้นเมื่อค่าพีอุชต่ำลง จึงมีปริมาณเกลือโซเดียมซัลเฟตคงผลกออกจากการแยกชั้นกลีเซอรอลมากขึ้นตามลำดับ จากเหตุผลดังกล่าวทำให้สามารถคาดการณ์ได้ว่า

สัดส่วนของชั้นกรด ไขมันอิสระที่แยกได้ค่ารวมปرمิมาณมากขึ้นเมื่อกลีเซอรอลมีค่าพีอีอชต่ำลงเข่นกันอย่างไรก็ตามผลที่ได้จากการทดลองกลับเป็นไปในทางตรงกันข้าม กล่าวคือเมื่อค่าพีอีอชของกลีเซอรอลต่ำลง เปอร์เซ็นต์โดยน้ำหนักของชั้นกรด ไขมันอิสระที่แยกได้กลับมีค่าน้อยลง โดยสัดส่วนของชั้นกรด ไขมันที่แยกได้จากกลีเซอรอลพีอีอช 6 มีค่าเท่ากับ 24.7 เปอร์เซ็นต์โดยน้ำหนักเมื่อกลีเซอรอลมีค่า พีอีอชลดลงเป็น 5.4.3 และ 2 แล้ว ทำให้สัดส่วนของชั้นกรด ไขมันอิสระที่แยกได้มีค่าลดลงเป็น 22.2 19.0 13.0 และ 12.6 เปอร์เซ็นต์โดยน้ำหนัก ตามลำดับ ทั้งนี้ เพราะชั้นกรด ไขมันอิสระที่แยกได้จากการปั่นเหวี่ยงนั้น ไม่ได้เป็นชั้นที่มีแค่กรด ไขมันอิสระเป็นองค์ประกอบเพียงอย่างเดียว แต่ยังมีกลีเซอรอลผสมอยู่ในชั้นดังกล่าวด้วยบางส่วน เนื่องจากชั้นของกรด ไขมันอิสระมีลักษณะคล้ายฟองน้ำ จึงทำให้กลีเซอรอลสามารถแทรกเข้าไปอยู่ในชั้นของกรด ไขมันอิสระได้ จากการสังเกตลักษณะของชั้นกลีเซอรอลที่แยกได้พบว่ากลีเซอรอลที่มีค่าพีอีอชสูงจะมีความหนืดมากกว่ากลีเซอรอลที่มีค่าพีอีอชต่ำ ซึ่งความหนืดดังกล่าวทำให้การแยกชั้นกลีเซอรอลออกจากชั้นกรด ไขมันอิสระอย่างสมบูรณ์เป็นไปได้ยาก ความสมบูรณ์ในการแยกชั้นกลีเซอรอลและชั้นกรด ไขมันอิสระออกจากกันจึงถือเป็นปัจจัยสำคัญที่มีผลอย่างมากต่อสัดส่วนของชั้นกลีเซอรอล และชั้นกรด ไขมันที่แยกได้ ในการผิบของกลีเซอรอลที่มีค่าพีอีอชสูง เมื่อถูกปั่นเหวี่ยง กลีเซอรอลซึ่งมีความหนืดมากจะสามารถแยกออกจากชั้นกรด ไขมันอิสระได้ไม่ดี ทำให้ชั้นกรด ไขมันอิสระที่แยกได้ยังคงมีกลีเซอรอลผสมอยู่มาก เปอร์เซ็นต์โดยน้ำหนักของชั้นกรด ไขมันอิสระที่แยกได้จึงมีค่ามาก ในขณะที่เปอร์เซ็นต์โดยน้ำหนักของชั้นกลีเซอรอลที่แยกได้มีค่าน้อย ในกรณีของกลีเซอรอลที่มีค่าพีอีอชต่ำลง เมื่อถูกปั่นเหวี่ยง กลีเซอรอลซึ่งมีความหนืดน้อยลง จะสามารถแยกชั้นออกจากกรดชั้น ไขมันได้ดีขึ้น ทำให้ชั้นกรด ไขมันที่แยกได้มีกลีเซอรอลผสมอยู่น้อยลง เปอร์เซ็นต์โดยน้ำหนักของชั้นกรด ไขมันอิสระที่แยกได้จึงมีค่าลดลง ในขณะที่เปอร์เซ็นต์โดยน้ำหนักของชั้นกลีเซอรอลที่แยกได้มีค่าเพิ่มขึ้น โดยสัดส่วนของชั้นกลีเซอรอลที่แยกได้จากกลีเซอรอลพีอีอช 6 มีค่าเท่ากับ 68.5 เปอร์เซ็นต์โดยน้ำหนัก เมื่อค่าพีอีอชของกลีเซอรอลลดลงเป็น 5.4.3 และ 2 ทำให้สัดส่วนของชั้นกลีเซอรอลที่แยกได้มีค่าเพิ่มขึ้นเป็น 70.7 73.6 78.8 และ 79.0 เปอร์เซ็นต์โดยน้ำหนัก ตามลำดับ ดังแสดงในตารางที่ 7

ตารางที่ 7 เปอร์เซ็นต์โดยน้ำหนักของชั้นกรดไขมันอิสระ ชั้นกลีเซอโรล และชั้นเกลือ ที่แยกได้หลังการปั่นเหวี่ยงกลีเซอโรลคิดที่ผ่านการปรับพีเอชด้วยกรดซัลฟิวริก

พีเอชของ กลีเซอโรล	เปอร์เซ็นต์โดยน้ำหนักของชั้นต่าง ๆ ที่แยกได้หลังการปั่นเหวี่ยง		
	ชั้นกรดไขมันอิสระ	ชั้นกลีเซอโรล	ชั้นเกลือ
2	12.6±0.2	79.0±0.2	8.4±0.1
3	13.0±0.5	78.8±0.5	8.2±0.3
4	19.0±1.1	73.6±1.1	7.4±0.2
5	22.2±0.5	70.7±0.5	7.1±0.1
6	24.7±1.5	68.5±1.7	6.8±0.3

กรดไขมันอิสระที่อยู่ในรูปสบู่มีความสามารถในการละลายในกลีเซอโรลได้ดี เมื่อกรดไขมันอิสระซึ่งเป็นสารไฮโดรคาร์บอนสายยาวที่มีความหนืดสูงในรูปของสบู่ลงไปละลายอยู่ในชั้นของกลีเซอโรลมากขึ้น ทำให้กลีเซอโรลมีความหนืดมากขึ้นตามมา จึงกล่าวได้ว่าความหนืดของกลีเซอโรลเป็นสิ่งที่สามารถบ่งชี้ถึงปริมาณสบู่ที่ละลายอยู่ในกลีเซอโรลนั้น ๆ ได้ (Thompson and He, 2006) ดังนั้นจากผลการทดลองที่ได้ทำให้สามารถตั้งสมมติฐานได้ว่าปริมาณสบู่ที่เหลืออยู่ในชั้นกลีเซอโรลความมีปริมาณลดลงเมื่อกลีเซอโรลมีค่าพีเอชต่ำลง

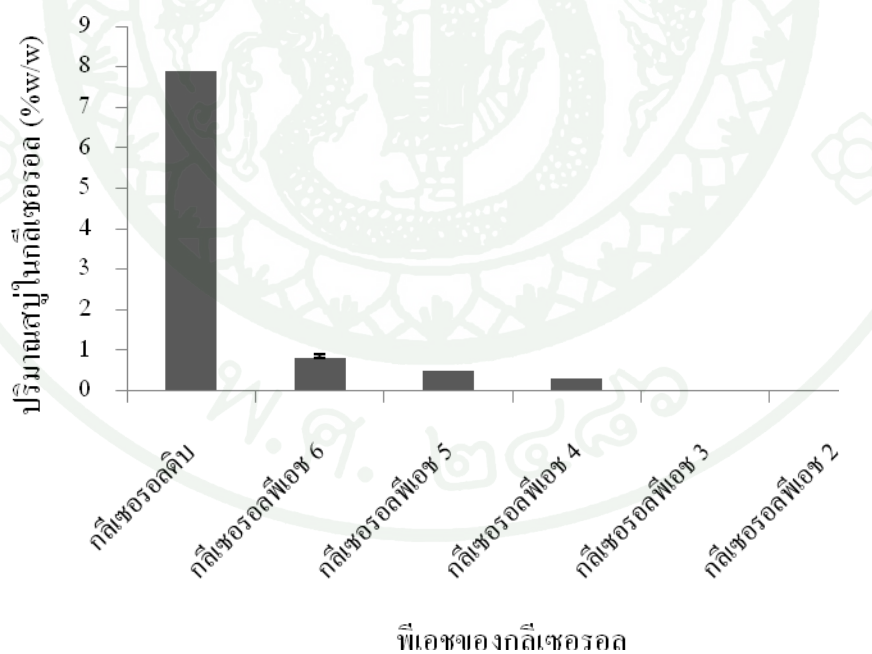
1.2 การวิเคราะห์องค์ประกอบของชั้นกลีเซอโรลที่ผ่านการทำให้บริสุทธิ์ขึ้นด้วยกรด

กลีเซอโรลคิด และกลีเซอโรลคิดที่ผ่านการทำให้บริสุทธิ์ขึ้นด้วยการเติมกรดได้ถูกนำมาทำการวิเคราะห์ทางค์ประกอบ โดยทำการวิเคราะห์ความบริสุทธิ์ของกลีเซอโรลแต่ละชนิด และตรวจวัดปริมาณสิ่งเจือปนที่อาจมีผลในการขับขึ้นการเจริญของ *E. coli* BL21 (DE3) เช่น ปริมาณสบู่ และ เล้า จากการวิเคราะห์องค์ประกอบของชั้นกลีเซอโรล ได้ผลดังนี้

1.2.1 ปริมาณสบู่ในชั้นกลีเซอโรล สบู่ที่มีอยู่ในกลีเซอโรลคิดเป็นสบู่ที่เกิดขึ้นในระหว่างกระบวนการผลิตในโอดิเซล โดยเกิดจากการทำปฏิกิริยาสะพอนนิฟิเคชั่นระหว่างตัวเร่งปฏิกิริยาประเภทค่างซึ่งในที่นี้คือโซเดียมไฮดรอกไซด์ กับกรดไขมันอิสระในน้ำมันที่ใช้เป็นวัตถุคิดในการผลิตในโอดิเซล (Gerpen, 2005) โดยสบู่ที่เกิดขึ้นในกระบวนการผลิตในโอดิเซลกว่า 95 เปอร์เซ็นต์ จะละลายเข้าไปผสมอยู่ในชั้นกลีเซอโรลคิด เนื่องจากสบู่เป็นสารที่มีความเป็นขั้วสูง เช่นเดียวกับกลีเซอโรล จากการศึกษาของ Asad-ur-Rehman *et al.* (2008) พบว่าสบู่ในกลีเซอโรล

ดินเป็นปัจจัยหลักที่มีผลในการขับยั่งการเจริญของ *Clostridium butyricum* DSM 5431 เช่นเดียวกับ Chi et al. (2007) ที่รายงานว่ากลีเซอโรลดินที่ยังคงมีสบู่อยู่ในปริมาณมากมีผลในการขับยั่งการเจริญของ *Schizochytrium limacinum*

เมื่อทำการวิเคราะห์ปริมาณสบู่ที่มีอยู่ในกลีเซอโรลดินและกลีเซอโรลที่ผ่านการปรับค่าพีอ่อนด้วยการเติมกรดพบร่วมกับกลีเซอโรลดินที่ใช้ในการทดลองนี้มีปริมาณสบู่อยู่เท่ากับ 7.90 เปอร์เซ็นต์โดยน้ำหนัก เมื่อทำการปรับค่าพีอ่อนของกลีเซอโรลดินให้มีค่าลดลงด้วยการเติมกรดซัลฟิวริกเข้มข้นพบว่า ปริมาณสบู่ที่หลงเหลือในชั้นกลีเซอโรลมีปริมาณลดลง เมื่อกลีเซอโรล มีค่าพีอ่อนต่ำลงดังแสดงในภาพที่ 19 โดยกลีเซอโรลที่ผ่านการปรับค่าพีอ่อนเป็น 6, 5 และ 4 มีปริมาณสบู่เหลืออยู่ในชั้นกลีเซอโรลเท่ากับ 0.8, 0.5 และ 0.3 เปอร์เซ็นต์โดยน้ำหนัก ตามลำดับ และพบว่าไม่มีสบู่หลงเหลืออยู่เลยในกลีเซอโรลที่ผ่านการผ่านการปรับค่าพีอ่อนเป็น 2 และ 3 การลดลงของปริมาณสบู่ในกลีเซอโรลที่ผ่านการปรับค่าพีอ่อนดังกล่าวเกิดจาก กรดซัลฟิวริกที่เติมลงไปได้เข้าทำปฏิกิริยากับสบู่ในกลีเซอโรลดิน ทำให้สบู่เกิดการแตกตัวเป็นกรดไขมันอิสระ และเกลือซัลเฟต ดังที่ได้กล่าวไว้แล้วในส่วนของผลการทดลองตอนที่ 1.1 เมื่อเติมกรดลงไปในกลีเซอโรลดินมากขึ้น สบู่จึงเกิดการแตกตัวมากขึ้น ดังนั้นกลีเซอโรลที่มีค่าพีอ่อนต่ำจึงมีปริมาณสบู่ลดลง



ภาพที่ 19 ปริมาณสบู่ในกลีเซอโรลดิน และกลีเซอโรลที่ผ่านการปรับค่าพีอ่อนด้วยกรดซัลฟิวริก

ผลการทดลองดังกล่าวมีแนวโน้มที่สอดคล้องกับการศึกษาของ Asad-ur-Rehman *et al.* (2008) ที่ได้ทำการปรับปรุงคุณภาพกลีเซอรอลดินจากการผลิตใบโอดีเซลที่ใช้น้ำมันเม็ดดอกทานตะวันเป็นวัตถุดิน โดยใช้กรดฟอสฟอริกเข้มข้น 85 เปอร์เซ็นต์โดยน้ำหนักต่อปริมาตร ในการปรับค่าพิเชชของกลีเซอรอลดินให้มีค่าลดลงจาก 12.5 เป็น 7 6 5 และ 4 ตามลำดับ จากผลการทดลองพบว่าเมื่อกลีเซอรอลดินที่มีปริมาณสนับสนุนอยู่เท่ากับ 13 เปอร์เซ็นต์โดยน้ำหนัก ผ่านการปรับค่าพิเชชให้ลดลงเป็น 7 6 และ 5 แล้วทำให้ชั้นกลีเซอรอลที่แยกได้มีปริมาณสนับสนุนลดลงเป็น 9.3 3.8 และ 1.0 เปอร์เซ็นต์ตามลำดับ และไม่พบว่ามีปริมาณสนับสนุนหลงเหลืออยู่ในกลีเซอรอลที่ผ่านการปรับค่าพิเชชเป็น 4

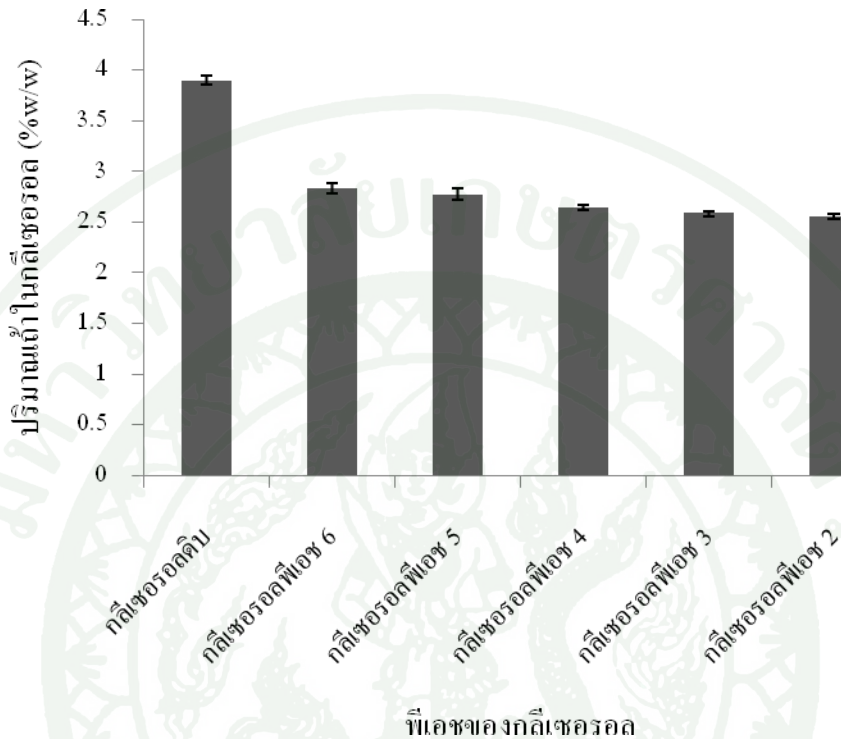
ผลการวิเคราะห์ปริมาณสนับสนุนที่ได้จากการทดลองในส่วนนี้มีความสอดคล้องกับสมมุติฐานที่ตั้งไว้ผลการทดลองตอนที่ 1.1 ว่ากลีเซอรอลที่มีค่าพิเชษสูงซึ่งมีความหนืดมากมีปริมาณสนับสนุนหลงเหลืออยู่ในชั้นกลีเซอรอลมากกว่ากลีเซอรอลที่มีค่าพิเชษต่ำซึ่งมีความหนืดน้อยกว่า

1.2.2 ปริมาณถ้าในชั้นกลีเซอรอล

ปริมาณถ้าที่วิเคราะห์ได้ เป็นค่าที่บ่งชี้ถึงปริมาณโซเดียมที่มีอยู่ในกลีเซอรอลตัวอย่าง โดยโซเดียมส่วนใหญ่ที่มีอยู่ในกลีเซอรอลดินมาจากสนับสนุนซึ่งเป็นเกลือโซเดียมของกรดไขมัน อิสระ Gonzalea-Pajuelo *et al.* (2004) รายงานว่าเกลือโซเดียมในกลีเซอรอลดินมีผลในการยับยั้งการเจริญของ *Clostridium butyricum* VPI3266 โดยทำให้แบคทีเรียชนิดดังกล่าวมีการแบ่งตัวที่ผิดปกติไป

จากการวิเคราะห์พบว่าปริมาณถ้าที่มีอยู่ในกลีเซอรอลดินมีค่าเท่ากับ 3.9 เปอร์เซ็นต์โดยน้ำหนัก โดยปริมาณถ้าในกลีเซอรอลที่ผ่านการปรับค่าพิเชษด้วยกรดเพิ่มน้ำยลลง เมื่อกลีเซอรอลมีค่าพิเชษต่ำลง ดังแสดงในภาพที่ 20 โดยกลีเซอรอลพิเชษ 6 5 4 3 และ 2 มีปริมาณถ้าอยู่เท่ากับ 2.83 2.77 2.65 2.59 และ 2.55 เปอร์เซ็นต์โดยน้ำหนัก ตามลำดับ ผลจากการวิเคราะห์ปริมาณถ้าในชั้นกลีเซอรอลที่ได้นี้ มีความสอดคล้องกับผลของปริมาณชั้นเกลือที่แยกได้จากการปั่นเหวี่ยงกลีเซอรอลที่ผ่านการปรับค่าพิเชษด้วยกรดในการทดลองตอนที่ 1.1 ซึ่งจากการทดลองดังกล่าวพบว่าเมื่อกลีเซอรอลมีค่าพิเชษต่ำลง ทำให้เปอร์เซ็นต์โดยน้ำหนักของชั้นเกลือที่แยกได้มีค่าเพิ่มขึ้น การตกลงกของเกลือออกจากชั้นกลีเซอรอลนั้น เกิดจากการที่โซเดียมอ่อนจากสนับสนุนตัวกับประจุชัลเฟตจากกรดชัลฟิวเริกที่เติมลงไป ทำให้ได้ผลิตภัณฑ์เป็นเกลือโซเดียมชัลเฟต ซึ่งเกลือที่เกิดขึ้นดังกล่าวบางส่วนได้ตกผลึกออกไปจากกลีเซอรอล เมื่อเกลือตกผลึกออกไปจากชั้น

กลีเซอรอลมากขึ้น ทำให้ปริมาณโซเดียมที่มีในชั้นกลีเซอรอลมีปริมาณลดลง และเมื่อปริมาณโซเดียมลดลง ทำให้ปริมาณถ้าที่วิเคราะห์ได้มีค่าลดลงตามไปด้วยเช่นกัน

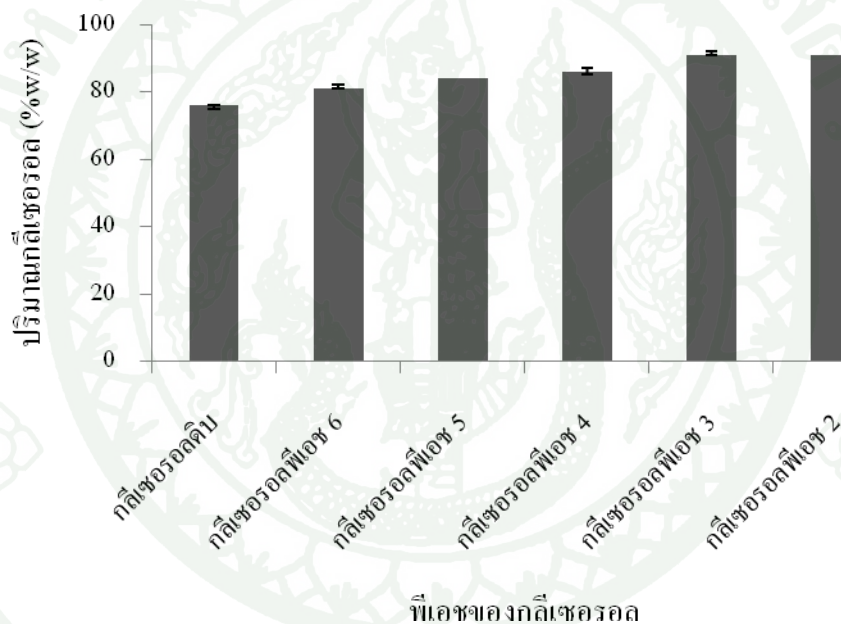


ภาพที่ 20 ปริมาณถ้าในกลีเซอรอลดิบและกลีเซอรอลที่ผ่านการปรับค่าพีอชด้วยกรดซัลฟิวริก

ผลการทดลองข้างต้นมีแนวโน้มสอดคล้องกับผลการวิจัยของ Ooi *et al.* (2001) ที่ได้ศึกษาการปรับปรุงคุณภาพกลีเซอรอลดิบจากก้นหอกลั่น ซึ่งเป็นของเหลวทึ้งจากการบวนการกลั่นบริสุทธิ์กลีเซอรอล ของโรงงานผลิตใบโอดีเซลที่ใช้น้ำมันปาล์มเมล็ดในการเป็นวัตถุดิบในการผลิต โดยใช้กรดซัลฟิวริกเข้มข้น 6 เบอร์เซ็นต์โดยมวลต่อปริมาตร ในการปรับค่าพีอชของกลีเซอรอลดิบให้มีค่าลดลงจาก 12.8 มาอยู่ในช่วงพีอช 5 ถึง 7 และช่วงพีอช 1 ถึง 2 จากผลการทดลองพบว่า กลีเซอรอลดิบจากก้นหอกลั่นมีปริมาณถ้าเท่ากับ 58.7 เบอร์เซ็นต์โดยน้ำหนัก เมื่อทำการปรับค่าพีอชของกลีเซอรอลดิบให้ลดลงมาอยู่ในช่วงพีอช 5 ถึง 7 และช่วงพีอช 1 ถึง 2 แล้วพบว่ากลีเซอรอลทึ้งสองช่วงพีอชดังกล่าวมีปริมาณถ้าลดลงเป็น 17.6 และ 7.4 เบอร์เซ็นต์โดยน้ำหนักตามลำดับ โดยคณะผู้วิจัยได้อธิบายเหตุผลเกี่ยวกับปรากฏการณ์ดังกล่าวว่า ที่พีอชสูง ๆ จะทำให้เกลือโซเดียมสามารถละลายในกลีเซอรอลได้ปริมาณมากกว่าที่พีอชต่ำ ๆ ดังนั้นมีอ กลีเซอรอลมีค่าพีอชต่ำลงจึงทำให้มีปริมาณถ้าในกลีเซอรอลลดลง

1.2.3 ความบริสุทธิ์ของกลีเซอรอล

เนื่องจากงานวิจัยนี้มีวัตถุประสงค์ในการนำกลีเซอรอลจากการผลิตไปโอดิเซลมาใช้เป็นแหล่งการบันน่อนในการเผาเลี้ยงจุลินทรีย์ ดังนั้นความบริสุทธิ์ของกลีเซอรอลจึงถือเป็นปัจจัยสำคัญอีกประการหนึ่งที่ต้องทำการวิเคราะห์ในการทดลองนี้ เมื่อกลีเซอรอลมีความบริสุทธิ์สูงขึ้น จะทำให้ปริมาณเนื้อกลีเซอรอลต่อ 1 หน่วยน้ำหนักของกลีเซอรอลตัวอย่างที่นำไปใช้ผสมในอาหารเลี้ยงเชื้อมีค่าเพิ่มขึ้น จากข้อมูลงานวิจัยส่วนใหญ่ได้ชี้ให้เห็นว่ากลีเซอรอลที่มีความบริสุทธิ์สูงขึ้นจะสามารถใช้เป็นแหล่งการบันน่อนในการเผาเลี้ยงจุลินทรีย์ได้มากกว่ากลีเซอรอลที่มีความบริสุทธิ์ต่ำ



ภาพที่ 21 ปริมาณกลีเซอรอลในกลีเซอรอลดิบและกลีเซอรอลที่ผ่านการปรับค่าพีเอชด้วยกรดซัลฟิวริก

จากการวิเคราะห์พบว่ากลีเซอรอลดิบจากการผลิตไปโอดิเซลที่ใช้ในการทดลองความบริสุทธิ์เท่ากับ 76 เปอร์เซ็นต์โดยน้ำหนัก เมื่อเติมกรดเพื่อปรับค่าพีเอชของกลีเซอรอลให้ต่ำลง ทำให้กลีเซอรอลที่ได้มีความบริสุทธิ์เพิ่มขึ้น ดังแสดงในภาพที่ 21 โดยกลีเซอรอลพีอช 6 5 4 และ 3 มีความบริสุทธิ์เท่ากับ 81 84 86 และ 91 เปอร์เซ็นต์โดยน้ำหนักตามลำดับ และเมื่อทำการปรับค่าพีเอชของกลีเซอรอลให้ลดลงเป็น 2 แล้วพบว่ากลีเซอรอลขังคงมีความบริสุทธิ์เท่ากับ 91 เปอร์เซ็นต์โดยน้ำหนัก เช่นเดียวกับกลีเซอรอลพีอช 3 จึงกล่าวได้ว่าการทำ

ให้กลีเซอรอลดิบมีความบริสุทธิ์ขึ้นด้วยวิธีการเติมกรดซัลฟิวริกเข้มข้นนี้สามารถทำให้กลีเซอรอลดิบตัวอย่างที่ใช้ในการศึกษามีความบริสุทธิ์สูงสุดได้เท่ากับ 91 เปอร์เซ็นต์โดยน้ำหนัก ซึ่งมีค่าเพิ่มขึ้นคิดเป็น 20 เปอร์เซ็นต์เมื่อเปรียบเทียบกับค่าความบริสุทธิ์เริ่มต้นของกลีเซอรอลดิบ การเพิ่มขึ้นของความบริสุทธิ์ของกลีเซอรอลดังการเติมกรดเพื่อปรับค่าพีเอชนี้ เกิดจากการที่เติมลงไปช่วยทำให้ปริมาณสิ่งเจือปนต่าง ๆ ในกลีเซอรอลดิบเข่น สนู' และเกลือโซเดียม มีปริมาณลดลง ดังนั้นกลีเซอรอลที่มีค่าพีเอชต่ำลงจะมีความบริสุทธิ์เพิ่มมากขึ้นตามลำดับ อย่างไรก็ตามการทำให้กลีเซอรอลดิบมีความบริสุทธิ์ขึ้นด้วยวิธีนี้สามารถช่วยทำให้กลีเซอรอลดิบมีความบริสุทธิ์ขึ้นได้ในเบื้องต้นเท่านั้น ดังจะเห็นได้จากผลการทดลองว่าเมื่อปรับค่าพีเอชของกลีเซอรอลให้มีค่าต่ำลงไปกว่าพีเอช 3 ก็ไม่มีผลทำให้กลีเซอรอลมีความบริสุทธิ์เพิ่มขึ้นอีกแต่อย่างใด

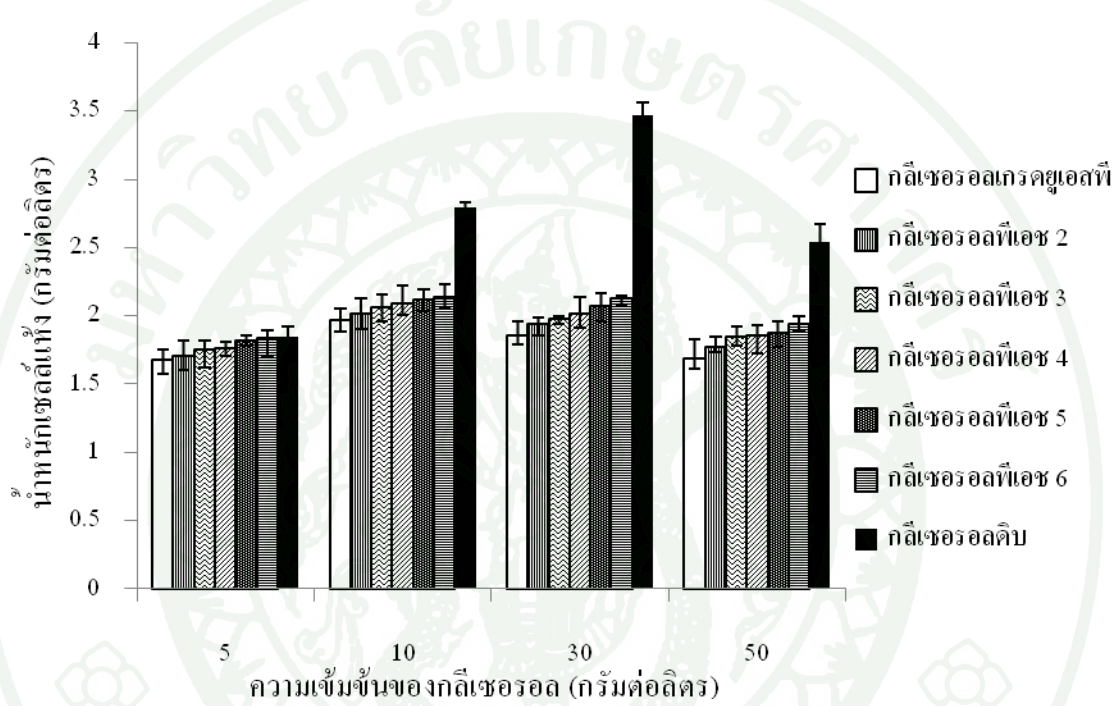
2. การเพาะเลี้ยง *Escherichia coli* BL21 (DE3) โดยใช้กลีเซอรอลเป็นแหล่งคาร์บอน

2.1 ผลของกลีเซอรอลต่อการเจริญของ *Escherichia coli* BL21 (DE3)

ในการทดลองนี้ได้ศึกษาการใช้กลีเซอรอลดิบจากกระบวนการผลิต ไปโอลีเซล กลีเซอรอลดิบที่ผ่านการทำให้บริสุทธิ์ขึ้นด้วยกรด และกลีเซอรอลบริสุทธิ์เกรดยูเอสพี ที่ความเข้มข้น 5 10 30 และ 50 กรัมต่อลิตร เพื่อเป็นแหล่งคาร์บอนในการเพาะเลี้ยงแบคทีเรีย *E. coli* BL21 (DE3) โดยวัดน้ำหนักเซลล์แห้งของแบคทีเรียในชั่วโมงที่ 36 ได้ผลดังแสดงในภาพที่ 22 จากผลการทดลองที่ได้ เมื่อพิจารณาเฉพาะในกรณีที่ใช้กลีเซอรอล บริสุทธิ์เกรดยูเอสพีเป็นแหล่งคาร์บอนในอาหารเลี้ยงเชื้อที่ความเข้มข้นต่าง ๆ พนว่า ที่ความเข้มข้นของกลีเซอรอลเท่ากับ 5 กรัมต่อลิตรทำให้ได้น้ำหนักเซลล์แห้งเท่ากับ 1.68 กรัมต่อลิตร โดยน้ำหนักเซลล์แห้งที่ได้สูงสุดมีค่าเท่ากับ 1.97 กรัมต่อลิตร ที่ความเข้มข้นของกลีเซอรอลเท่ากับ 10 กรัมต่อลิตร เมื่อความเข้มข้นของกลีเซอรอลเพิ่มเป็น 30 และ 50 กรัมต่อลิตร ทำให้น้ำหนักเซลล์แห้งที่ได้มีลดลงเป็น 1.86 และ 1.69 กรัมต่อลิตร ตามลำดับ ผลการทดลองดังกล่าวมีความสอดคล้องกับรายงานวิจัยที่ใช้กลีเซอรอลบริสุทธิ์เป็นแหล่งคาร์บอนในการเพาะเลี้ยงจุลินทรีย์ทั้งในกรณีการหมักแบบใช้อากาศ และไม่ใช้อากาศ (Khamduang *et al.*, 2009b; Zhang *et al.*, 2007)

Khamduang *et al.* (2009b) ได้ทำการพัฒนาสูตรอาหารสำหรับการเพาะเลี้ยง *E. coli* BL21 (DE3) โดยใช้โปรแกรมทางสถิติในการออกแบบสูตรอาหารและหาระดับความเข้มข้นของสารอาหารต่าง ๆ ที่เหมาะสมกับการเจริญของ *E. coli* BL21 (DE3) ภายใต้สภาวะการหมักแบบใช้อากาศในการศึกษาได้ทำการแบ่งระดับความเข้มข้นของกลีเซอรอลในอาหารเลี้ยงเชื้อออกรเป็น 3

ระดับคือ 10 55 และ 100 กรัมต่อลิตร หลังจากทำการเพาะเลี้ยงแบคทีเรียในอาหารสูตรต่าง ๆ ที่ 37 องศาเซลเซียส อัตราการเจริญ 200 รอบต่อนาที เป็นเวลา 32 ชั่วโมง พนวันนักเชลล์แห้งของ แบคทีเรียที่ได้มีแนวโน้มลดลงเมื่อความเข้มข้นของกลีเซอรอลในอาหารลดลง เชื้อมีค่าเพิ่มขึ้น โดยระดับความเข้มข้นของกลีเซอรอลในอาหารลดลง เชื้อที่เหมาะสมสำหรับการเจริญของ *E. coli* BL21 (DE3) มากที่สุดคือ 10 กรัมต่อลิตร



ภาพที่ 22 น้ำหนักเซลล์แห้งของ *Escherichia coli* BL21 (DE3) ที่ได้จากการเพาะเลี้ยงในอาหารที่มีกลีเซอรอลชนิดต่าง ๆ ที่ความเข้มข้นต่าง ๆ เป็นแหล่งคาร์บอน ในชั่วโมงที่ 36

นอกจากนี้ยังพบว่ามีรายงานการทดลองเกี่ยวกับผลของการเพาะเลี้ยงของกลีเซอรอลต่อการยับยั้งการเจริญของจุลินทรีย์ไว้ในกรณีการหมักแบบไม่ใช้อากาศด้วยเช่นกัน โดย Zhang et al. (2007) ได้ทำการเพาะเลี้ยง *Klebsiella pneumoniae* XJ-Li ที่คัดแยกได้จากดินในมณฑลซินเจียง ประเทศจีน โดยใช้กลีเซอรอลเป็นแหล่งคาร์บอน เพื่อผลิต 1, 3-โพรเพน ไดօล ด้วยกระบวนการหมักภายใต้ภาวะไร้อากาศ เมื่อทำการเพาะเลี้ยงจุลินทรีย์ดังกล่าวในอาหารลดลง เชื้อที่มีกลีเซอรอลความเข้มข้น 10 20 30 40 และ 50 กรัมต่อลิตร พนวัน ที่ความเข้มข้นของกลีเซอรอลเท่ากับ 20 กรัมต่อลิตร ทำให้จุลินทรีย์เจริญได้ดีที่สุด โดยวัดค่าการกระเจิงแสงที่ความยาวคลื่น 650 นาโนเมตร ได้เท่ากับ 1.356 เมื่อกลีเซอรอลมีความเข้มข้นเพิ่มขึ้นทำให้จุลินทรีย์สามารถเจริญได้น้อยลง โดยค่า

การกระเจิงแสงที่วัดได้มีค่าลดลงเป็น 1.325 0.931 และ 0.762 เมื่อความเข้มข้นของกลีเซอรอลในอาหารเลี้ยงเชื้อมีค่าเพิ่มขึ้นเป็น 30 40 และ 50 กรัมต่อลิตร ตามลำดับ จากผลการทดลองดังกล่าว ทางคณะผู้วิจัยได้อธิบายเหตุผลที่จุลินทรีย์สามารถเจริญได้น้อยลงเมื่อความเข้มข้นของกลีเซอรอลเพิ่มขึ้นมากกว่า 20 กรัมต่อลิตร เนื่องจากเมื่อกลีเซอรอลมีความเข้มข้นสูงขึ้นจะส่งผลให้เกิดการขับยั่งการทำงานของเอนไซม์กลีเซอรอลดีไฮดรაทีส (Glycerol Dehydratase) ซึ่งเป็นเอนไซม์ที่มีความสำคัญในกระบวนการย่อยสลายและเปลี่ยนแปลงกลีเซอรอลไปเป็น 1, 3- โพรเพน ไดօດ กายได้สภาวะไร้อากาศ จึงทำให้แบคทีเรียดังกล่าวเจริญได้น้อยลงในอาหารที่มีกลีเซอรอลเข้มข้นมากขึ้น

สำหรับการย่อยสลายกลีเซอรอลกายได้สภาวะที่มีอากาศ ของ *E. coli* และจุลินทรีย์อิกหลาชนิด ดำเนินไปตามวิถีเมتابолิกที่เรียกว่า วิถีกลีเซอรอลไคนส (Glycerol Kinase Pathway) ซึ่งในกระบวนการดังกล่าวมีเอนไซม์ 2 ชนิดที่มีความสำคัญต่อการนำกลีเซอรอลไปใช้ประโยชน์คือ เอนไซม์กลีเซอรอลไคนส (Glycerol Kinase) และเอนไซม์กลีเซอรอล 3 ฟอสเฟตดีไฮโดรเจนส (Glycerol-3-Phosphate Dehydrogenase; G3PDH) (Lin, 1976) จากการศึกษาของ Pasteris and Strasser de Sadd (2005) ซึ่งได้ทำการศึกษาถึงวิถีเมتابолิกในการย่อยสลายกลีเซอรอลกายได้สภาวะที่มีอากาศของ *Pediococcus pentosaceus* ซึ่งเป็นแบคทีเรียที่แยกได้จากผลิตภัณฑ์ไวน์ จากการศึกษาพบว่า จุลินทรีย์ชนิดนี้ทำการย่อยสลายกลีเซอรอลผ่านวิถีกลีเซอรอลไคนสเข่นกัน โดยเมื่อทำการเพาะเลี้ยง *P. pentosaceus* ในอาหารที่มีกลีเซอรอลเข้มข้น 5.7 มิลลิโมลาร์ ทำให้เอนไซม์กลีเซอรอลไคนส และ เอนไซม์กลีเซอรอล 3 ฟอสเฟตดีไฮโดรเจนส มีค่ากิจกรรมเพิ่มขึ้นจากในกรณีที่เพาะเลี้ยงในอาหารที่มีกลูโคสเข้มข้น 5.5 มิลลิโมลาร์ ถึง 9 และ 9.6 เท่า ตามลำดับ จากผลการทดลองดังกล่าวแสดงให้เห็นว่า เอนไซม์กลีเซอรอลไคนส และ เอนไซม์กลีเซอรอล 3 ฟอสเฟตดีไฮโดรเจนส เป็นเอนไซม์ที่มีความสำคัญอย่างมากในการย่อยสลายกลีเซอรอลของจุลินทรีย์กายได้สภาวะที่มีอากาศผ่านวิถีกลีเซอรอลไคนส และเมื่อทำการเพาะเลี้ยง *P. pentosaceus* ในอาหารเลี้ยงเชื้อที่มีกลีเซอรอลความเข้มข้นต่าง ๆ และทำการวัดค่ากิจกรรมของเอนไซม์ทั้งสองชนิด ดังกล่าว พบว่าเอนไซม์ทั้งสองชนิดมีค่ากิจกรรมลดลงในอาหารที่มีความเข้มข้นของกลีเซอรอลเพิ่มขึ้น จากผลการทดลองดังกล่าวซึ่งให้เห็นว่าเอนไซม์กลีเซอรอลไคนส และ เอนไซม์กลีเซอรอล 3 ฟอสเฟตดีไฮโดรเจนส จะถูกยับยั้งการทำงานเมื่อความเข้มข้นของกลีเซอรอลมีค่าสูงเกินไป

จากข้อมูลพื้นฐานเกี่ยวกับวิถีเมtabolism ของกลีเซอรอลใน *E. coli* ประกอบกับผลการทดลองของ Pasteris and Strasser de Sadd (2005) ว่าเอนไซม์กลีเซอรอลไ胤ส และ เอนไซม์กลีเซอรอล 3 ฟอสเฟตดีไฮโดรเจนส มีค่ากิจกรรมลดลงเมื่อกรดกลีเซอรอลมีความเข้มข้นสูงขึ้น ทำให้สามารถสันนิษฐานได้ว่าการที่ *E. coli* BL21 (DE3) เจริญได้น้อยลงเมื่อความเข้มข้นของกลีเซอรอล

มากขึ้นเกิดจากกลีเซอรอลที่มีความเข้มข้นสูงมีผลยับยั้งการทำงานของเอนไซม์กลีเซอรอลไคเนส และ เอ็นไซม์กลีเซอรอล 3 ฟอสเฟตดีไฮโดรเจนส์

จากการที่ 22 เมื่อพิจารณา *n* หน้าหักเซลล์แห้งของ *E. coli* BL21 (DE3) ที่ได้จากการเพาะเลี้ยงในอาหารที่ใช้กลีเซอรอลที่ผ่านการทำให้บริสุทธิ์ขึ้นด้วยการเดิมกรด (พีเอชต่ำ ๆ) เป็นแหล่งคาร์บอน พบร่วมน้ำหน้าหักเซลล์แห้งที่ได้มีค่าและแนวโน้มใกล้เคียงกับที่ได้จากการณ์ที่ใช้กลีเซอรอลบริสุทธิ์เกรดยูเอสพีเป็นแหล่งคาร์บอน กล่าวคือไนน้ำหน้าหักเซลล์แห้งสูงที่สุดที่ความเข้มข้นของกลีเซอรอลเท่ากับ 10 กรัมต่อลิตร โดยมีค่าอยู่ในช่วง 2.01 ถึง 2.13 กรัมต่อลิตร และเมื่อความเข้มข้นของกลีเซอรอลเพิ่มขึ้นเป็น 30 และ 50 กรัมต่อลิตร จะทำให้น้ำหน้าหักเซลล์แห้งที่ได้มีค่าลดลงมาอยู่ในช่วง 1.94 ถึง 2.12 และ 1.77 ถึง 1.94 ตามลำดับ

เมื่อพิจารณาในกรณีที่ใช้กลีเซอรอลดิบจากการผลิตใบโอดีเซลเป็นแหล่งคาร์บอนพบว่าที่ความเข้มข้นของกลีเซอรอลดิบท่ากับ 5 และ 10 กรัมต่อลิตรทำให้ได้น้ำหน้าหักเซลล์แห้งของ *E. coli* BL21 (DE3) เท่ากับ 1.85 และ 2.79 กรัมต่อลิตร ตามลำดับ ที่ความเข้มข้นของกลีเซอรอลดิบท่ากับ 30 กรัมต่อลิตร ทำให้ได้น้ำหน้าหักเซลล์แห้งสูงที่สุดเท่ากับ 3.47 กรัมต่อลิตร และเมื่อความเข้มข้นของกลีเซอรอลดิบที่เพิ่มขึ้นเป็น 50 กรัมต่อลิตร ทำให้น้ำหน้าหักเซลล์แห้งที่ได้มีค่าลดลงเป็น 2.54 กรัมต่อลิตร

และเมื่อเปรียบเทียบ *n* หน้าหักเซลล์แห้งของ *E. coli* BL21 (DE3) ที่ได้จากการเพาะเลี้ยงในอาหารที่ใช้กลีเซอรอลชนิดต่าง ๆ เป็นแหล่งคาร์บอนที่ความเข้มข้นเดียวกัน พบว่า *n* หน้าหักเซลล์แห้งของแบคทีเรียที่ได้จากการที่ใช้กลีเซอรอลดิบเป็นแหล่งคาร์บอนมีค่าสูงกว่าที่ได้จากการเพาะเลี้ยงเชื้อที่มีกลีเซอรอลดิบเข้มข้น 5 10 30 และ 50 กรัมต่อลิตร มีค่ามากกว่าน้ำหน้าหักเซลล์แห้งที่ได้จากการเพาะเลี้ยงเชื้อที่มีกลีเซอรอลบริสุทธิ์ที่ความเข้มข้นเดียวกันเท่ากับ 10 41 87 และ 50 เปอร์เซ็นต์ตามลำดับ

ผลการทดลองดังกล่าวมีแนวโน้มที่แตกต่างไปจากงานวิจัยอื่น ๆ ที่ได้ทำการศึกษาเกี่ยวกับการใช้กลีเซอรอลดิบจากการผลิตใบโอดีเซลเป็นแหล่งคาร์บอนในการเพาะเลี้ยงจุลินทรีย์ เนื่องจากงานวิจัยส่วนใหญ่รายงานว่ากลีเซอรอลดิบมีผลในการยับยั้งการเจริญของจุลินทรีย์มากกว่ากลีเซอรอลที่มีความบริสุทธิ์สูงกว่า

จากการศึกษาของ Gonzalez-Pajuelo *et al.* (2004) ที่ได้ทำการศึกษาถึงอิทธิพลของ กลีเซอรอลชนิดต่าง ๆ ต่อการเจริญของ *Clostridium butyricum* VPI 3266 โดยทำการเพาะเลี้ยง จุลินทรีย์ดังกล่าวในอาหารเลี้ยงเชื้อที่มีกลีเซอรอลชนิดต่าง ๆ ได้แก่ กลีเซอรอลเกรดการค้าที่มี ความบริสุทธิ์ 87 เปอร์เซ็นต์โดยมวลต่อปริมาตร กลีเซอรอลจากกระบวนการผลิต ใบโอดิเซลจาก น้ำมันเมล็ดれพ ที่มีความบริสุทธิ์ 65 เปอร์เซ็นต์โดยมวลต่อปริมาตร และกลีเซอรอลจาก กระบวนการผลิต ใบโอดิเซลที่มีความบริสุทธิ์สูงเท่ากับ 92 เปอร์เซ็นต์โดยมวลต่อปริมาตร ที่ความ เข้มข้น 20 40 65 และ 100 กรัมต่อลิตร ตามลำดับ จากผลการทดลองพบว่ากลีเซอรอลเกรดการค้า และกลีเซอรอลจากกระบวนการผลิต ใบโอดิเซลที่มีความบริสุทธิ์ 92 เปอร์เซ็นต์ มีค่าเปอร์เซ็นต์การ ขับยึงการเจริญของ *C. butyricum* VPI 3266 เท่ากันที่ทุกความเข้มข้น คือที่ความเข้มข้นของ กลีเซอรอลทั้งสองชนิดนี้เท่ากับ 20 40 65 และ 100 กรัมต่อลิตร กลีเซอรอลทั้งสองชนิดดังกล่าวมี ผลในการขับยึงการเจริญของจุลินทรีย์เท่ากับ 0 21 41 และ 62 เปอร์เซ็นต์ตามลำดับ ในขณะที่ กลีเซอรอลดินจากกระบวนการผลิต ใบโอดิเซลที่มีความบริสุทธิ์ 65 เปอร์เซ็นต์ มีค่าเปอร์เซ็นต์การ ขับยึงการเจริญของจุลินทรีย์สูงกว่ากลีเซอรอลอีกสองชนิดอย่างเห็นได้ชัด โดยที่ความเข้มข้นของ กลีเซอรอลชนิดดังกล่าวเท่ากับ 100 กรัมต่อลิตร มีค่าเปอร์เซ็นต์การขับยึงการเจริญของจุลินทรีย์สูง ถึง 80 เปอร์เซ็นต์ จากปรากฏการณ์ดังกล่าว ผู้วิจัยได้ให้เหตุผลว่าสิ่งเจือปนที่มีอยู่ในกลีเซอรอลดิน โดยเฉพาะอย่างยิ่ง เกลือโซเดียม มีผลในการขับยึงการแบ่งตัวของเซลล์จุลินทรีย์ ทำให้จุลินทรีย์ เจริญได้น้อยลง

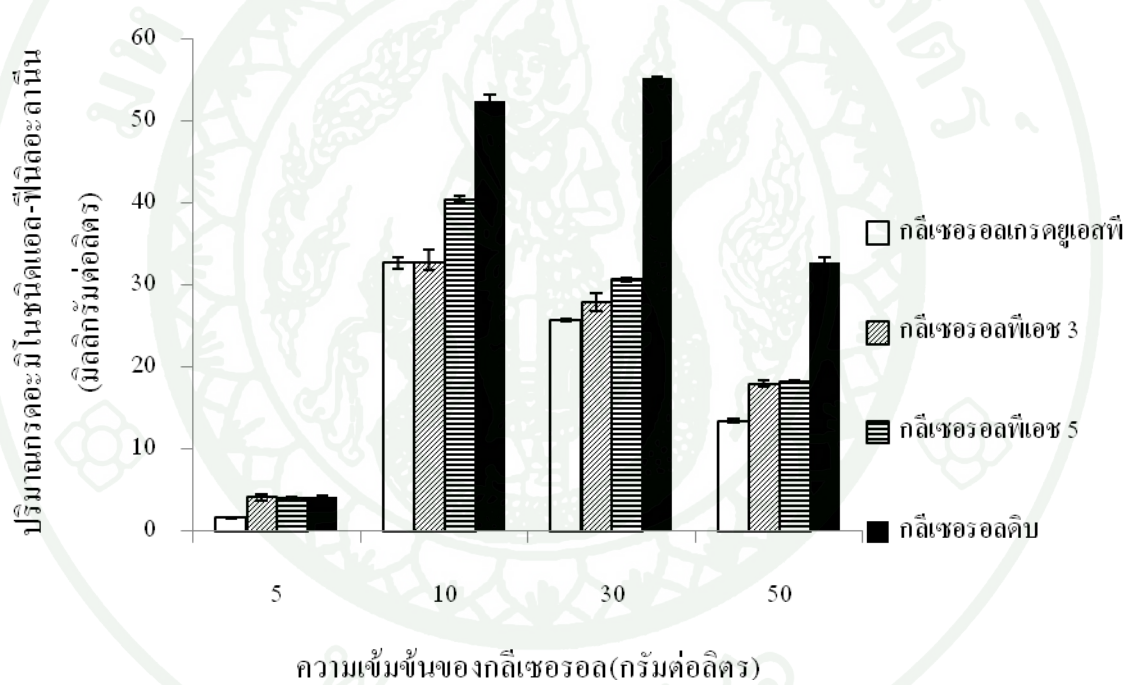
จากการศึกษาของ Asad-ur-Rehman *et al.* (2008) ได้ทำการเพาะเลี้ยง *C. butyricum* DSM 5431 ในอาหารเลี้ยงเชื้อที่มีกลีเซอรอลชนิดต่าง ๆ เป็นแหล่งคาร์บอน โดยกลีเซอรอลที่ใช้ใน การศึกษาได้แก่ กลีเซอรอลบริสุทธิ์ และกลีเซอรอลดินที่ผ่านการเติมกรดฟอสฟอสركิเข้มข้นเพื่อ ปรับค่าพีเอชเป็น 7.6.5 และ 4 ตามลำดับ เมื่อทำการเพาะเลี้ยงแบบที่เรียดังกล่าวในอาหารเลี้ยงเชื้อที่ มี กลีเซอรอลชนิดต่าง ๆ เข้มข้นเท่ากับ 20 กรัมต่อลิตรพบว่า กลีเซอรอลบริสุทธิ์ กลีเซอรอลพีเอช 4 และกลีเซอรอลพีเอช 5 มีค่าการขับยึงการเจริญของจุลินทรีย์ที่ใกล้เคียงกันอยู่ในช่วง 18.5-20.5 เปอร์เซ็นต์ ทั้งนี้เนื่องจากกลีเซอรอลพีเอช 4 และกลีเซอรอลพีเอช 5 มีปริมาณสนับสนุนหลังเหลืออยู่ใน ปริมาณน้อยโดยมีค่าเท่ากับ 0 และ 1 เปอร์เซ็นต์โดยน้ำหนักตามลำดับ อย่างไรก็ตาม เมื่อทำการ เพาะเลี้ยงจุลินทรีย์ในอาหารที่ใช้กลีเซอรอลพีเอช 6 และ 7 ซึ่งมีปริมาณสนับสนุนอยู่ในปริมาณมากเท่ากับ 3.8 และ 9.3 เปอร์เซ็นต์โดยน้ำหนัก ตามลำดับ พบว่ากลีเซอรอลทั้ง 2 ชนิดดังกล่าวให้ค่าการขับยึง การเจริญของจุลินทรีย์เพิ่มมากขึ้นอย่างเห็นได้ชัดโดยมีค่าเท่ากับ 62 และ 105 เปอร์เซ็นต์ตามลำดับ โดยผู้วิจัยได้อธิบายถึงสาเหตุของเปอร์เซ็นต์การขับยึงที่เพิ่มขึ้นในกรณีของกลีเซอรอลสองชนิด ดังกล่าวว่ามาจากสูญในกลีเซอรอลดินมีผลในการทำลายเซลล์ของแบคทีเรีย

อย่างไรก็ตามจากผลการทดลองของงานวิจัยนี้ชี้ให้เห็นว่า *E. coli* BL21 (DE3) สามารถใช้กลีเซอโรลดินเป็นแหล่งคาร์บอนในการเจริญได้อย่างมีประสิทธิภาพ โดยนอกจากรกลีเซอโรลดินจะไม่ส่งผลในการขับยั้งการเจริญของจุลินทรีย์ชนิดนี้แล้ว ยังกลับเอื้อประโยชน์ต่อการเจริญของจุลินทรีย์ชนิดนี้อีกด้วย ดังนั้นจึงกล่าวได้ว่าสิ่งเจือปนบางอย่างในกลีเซอโรลดิน เช่น สนู๊ และเกลือโซเดียม อาจมีผลดีต่อการเจริญของจุลินทรีย์ชนิดนี้ ซึ่งข้อสมมติฐานดังกล่าวได้ถูกสนับสนุนโดยงานวิจัยของ Chi et al. (2007) ซึ่งได้ศึกษาถึงความเป็นไปได้ในการใช้กลีเซอโรลดินจากกระบวนการผลิตไบโอดีเซลเพื่อเป็นแหล่งคาร์บอนในการเพาะเลี้ยง *Schizochytrium limacinum* เพื่อผลิตคีโอเชอ (DHA) ซึ่งเป็นกรดไขมันในกลุ่มໂໂມກ้า 3 โดยผู้วิจัยได้ทำการพิสูจน์ว่า สนู๊ซึ่งมีอยู่มาก (ผู้วิจัยไม่ได้รายงานปริมาณเป็นตัวเลขแน่นชัด) ในกลีเซอโรลดิน เป็นปัจจัยที่ส่งผลในการทำลายเซลล์ของจุลินทรีย์ ขณะผู้วิจัยจึงได้นำกลีเซอโรลดินดังกล่าวไปทำการปรับปรุงคุณภาพด้วยการเติมกรดไฮโดรคลอริก เพื่อปรับค่าพีเอชเป็น 6.5 เพื่อลดปริมาณสนู๊ในกลีเซอโรลดิน จากนั้นจึงได้นำกลีเซอโรลดินที่แยกได้หลังจากการเติมกรดไปใช้เป็นแหล่งคาร์บอนในการเพาะเลี้ยง *S. limacinum* ที่ความเข้มข้น 90 กรัมต่อลิตร โดยเปรียบเทียบกับการใช้กลีเซอโรลบริสุทธิ์ และกลูโคสที่ความเข้มข้นเดียวกัน ผลการทดลองพบว่า จุลินทรีย์ดังกล่าวสามารถเจริญได้ดีที่สุดในอาหารที่ใช้กลีเซอโรลดินที่ผ่านการทำให้บริสุทธิ์ขึ้นด้วยการเติมกรดเป็นแหล่งคาร์บอน โดยเมื่อทำการเพาะเลี้ยงไปเป็นเวลา 5 วัน นำหนักเซลล์แห้งของจุลินทรีย์ที่ได้จากการที่ใช้กลีเซอโรลบริสุทธิ์และกลูโคสที่ความเข้มข้นเดียวกัน 18 กรัมต่อลิตร ในขณะที่นำหนักเซลล์แห้งของจุลินทรีย์ที่ได้จากการที่ใช้กลีเซอโรลบริสุทธิ์เป็นแหล่งคาร์บอนมีค่าเท่ากับ 12 และ 13 กรัมตามลำดับ เนื่องจากผลการทดลองออกมารูปแบบดังกล่าว ขณะผู้วิจัยจึงได้ทำการศึกษาต่อไปเพื่อหาปัจจัยที่ทำให้จุลินทรีย์เจริญได้ดีในกลีเซอโรลดินที่ผ่านการทำให้บริสุทธิ์ขึ้นดังกล่าว จากการตรวจสอบพบว่าสนู๊ที่หลงเหลืออยู่เล็กน้อย (น้อยกว่า 5 เปอร์เซ็นต์) ในกลีเซอโรลดินที่ผ่านการทำกรด เป็นปริมาณที่เหมาะสม และส่งผลดีต่อการเจริญของจุลินทรีย์ อย่างไรก็ตามผู้วิจัยไม่ได้กล่าวถึงรายละเอียด และขั้นตอนในการพิสูจน์ดังกล่าวแต่อย่างใด

2.2 อิทธิพลของกลีเซอโรลต่อการผลิตกรดอะมิโนชนิดแอล-ฟินิโลลาโนนของ *Escherichia coli* BL21 (DE3)

นำน้ำเลี้ยงเชื้อของ *E. coli* BL21 (DE3) ที่เพาะเลี้ยงในอาหารที่มีกลีเซอโรลดินกลีเซอโรลที่ผ่านการทำให้บริสุทธิ์ขึ้นด้วยกรด (พีเอช 3 และ 5) และกลีเซอโรลบริสุทธิ์เกรดยูเอสพี เป็นแหล่งคาร์บอนที่ความเข้มข้นต่าง ๆ มาทำการวิเคราะห์หาปริมาณกรดอะมิโนชนิดแอล-ฟินิล

อะลานีน ด้วยเครื่องโคมไฟของเหลวแบบสมรรถนะสูงตามวิธีในภาคผนวก ข จากผลที่แสดงในภาพที่ 23 แสดงให้เห็นว่าปริมาณกรดอะมิโนที่ได้มีแนวโน้มเป็นไปในทางเดียวกับผลของน้ำหนักเซลล์แห้ง คือ ที่ความเข้มข้นของกลีเซอรอลดิบเท่ากับ 30 กรัมต่อลิตร ให้ปริมาณกรดอะมิโนสูงสุดที่ความเข้มข้นของกลีเซอรอลเท่ากับ 10 กรัมต่อลิตร โดยมีค่าอยู่ในช่วง 32.7 ถึง 40.4 มิลลิกรัมต่อลิตร จึงกล่าวได้ว่า *E. coli* BL21 (DE3) สามารถใช้กลีเซอรอลดิบเป็นแหล่งคาร์บอนในการผลิตกรดอะมิโนชนิด แอล-ฟินิโลอะลานีน ได้ดีที่สุด โดยที่ความเข้มข้นของกลีเซอรอลดิบเท่ากับ 30 กรัมต่อลิตรเป็นความเข้มข้นที่ทำให้มีปริมาณสารอาหารต่าง ๆ ในระดับที่ทำให้ชุลินทรีย์สามารถเจริญ และการผลิตกรดอะมิโนชนิดแอล-ฟินิโลอะลานีนได้ดีที่สุด

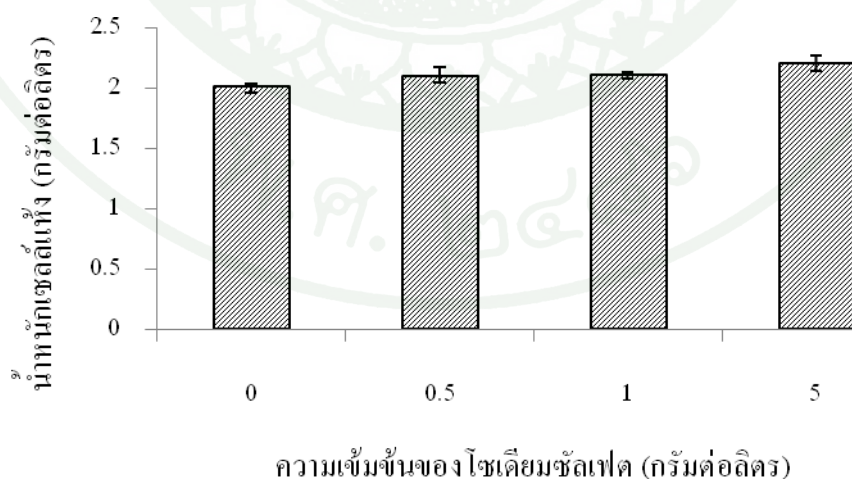


ภาพที่ 23 ปริมาณกรดอะมิโนชนิดแอล-ฟินิโลอะลานีน ที่ได้จากการเพาะเลี้ยง *Escherichia coli* BL21 (DE3) ในอาหารที่มีกลีเซอรอลชนิดต่าง ๆ ที่ความเข้มข้นต่าง ๆ เป็นแหล่งคาร์บอน ในชั่วโมงที่ 36

2.3 อิทธิพลของสิ่งเจือปนในกลีเซอรอลดินต่อการเจริญของ *Escherichia coli* BL21 (DE3)

จากผลการทดลองที่ได้มีแนวโน้มไปในทางตรงกันข้ามกับข้อสมมุติฐานที่ตั้งไว้ในตอนแรก กล่าวคือ *E. coli* BL21 (DE3) สามารถใช้กลีเซอรอลดินจากการผลิตไบโอดiesel เป็นแหล่งคาร์บอนในการเจริญ และการผลิตกรดอะมิโนชนิดแอล-ฟินิโล alanine ได้ดีที่สุดเมื่อเปรียบเทียบกับกลีเซอรอลชนิดอื่นที่มีความบริสุทธิ์สูงกว่า จากผลการทดลองที่ได้ดังกล่าว ทำให้สามารถตั้งข้อสันนิษฐานในเบื้องต้นได้ว่า สารบางอย่างที่เจือปนอยู่ในกลีเซอรอลดินเป็นปัจจัยที่ส่งผลดีต่อการเจริญของจุลินทรีย์ชนิดนี้ ดังนั้นเพื่อเป็นการยืนยันความถูกต้องของข้อสันนิษฐานดังกล่าว ผู้วิจัยจึงได้ทำการทดลองเพิ่มเติมขึ้นอีกดังนี้

เนื่องจากเข้าช่วงถือเป็นตัวแทนของปริมาณเกลือโซเดียมที่มีอยู่ในกลีเซอรอลดิน มีปริมาณมากถึง 3.9 เปอร์เซ็นต์โดยน้ำหนักของกลีเซอรอลดิน ดังนั้นเกลือโซเดียมจึงอาจเป็นปัจจัยหนึ่งที่ทำให้ *E. coli* BL21 (DE3) เจริญได้ดีในกลีเซอรอลดิน เพื่อศึกษาถึงผลของเกลือโซเดียมต่อการเจริญของ *E. coli* BL21 (DE3) ผู้วิจัยจึงได้ทำการเพาะเลี้ยงแบคทีเรียในอาหารเลี้ยงเชื้อที่มีกลีเซอรอลบริสุทธิ์เพิ่มขึ้น 10 กรัมต่อลิตร ที่มีปริมาณเกลือโซเดียมซัลเฟตเพิ่มขึ้น 0.5 1 และ 5 กรัมต่อลิตร ตามลำดับ จากผลการทดลองในภาพที่ 24 พบว่า น้ำหนักเซลล์แห้งที่ได้จากการที่มีเกลือโซเดียมซัลเฟตปริมาณต่าง ๆ มีค่าไม่แตกต่างกัน ดังนั้นจึงกล่าวได้ว่า เกลือโซเดียมในกลีเซอรอลดิน ไม่มีผลต่อการเจริญของ *E. coli* BL21 (DE3)

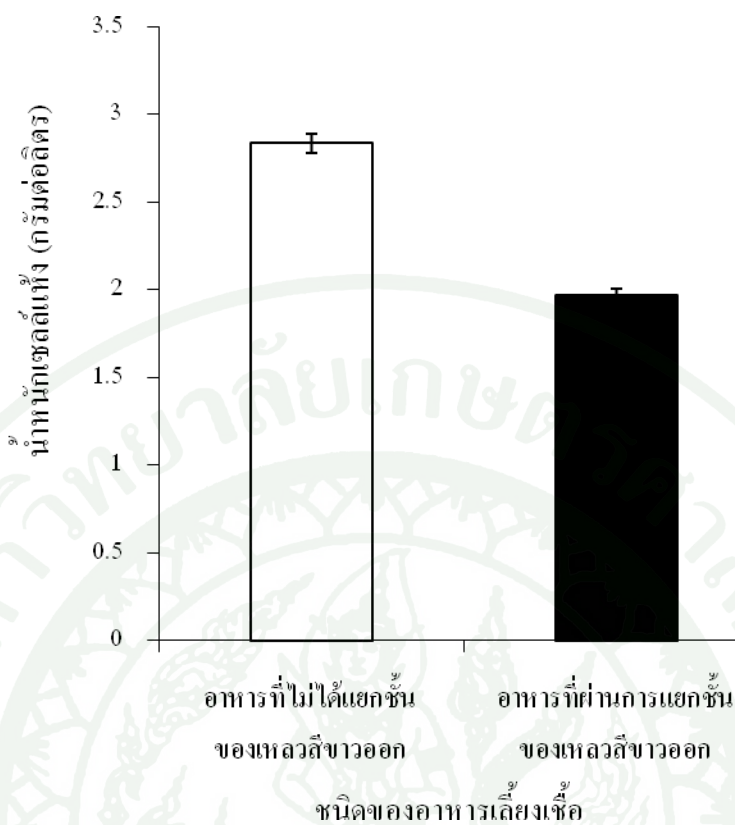


ภาพที่ 24 น้ำหนักเซลล์แห้งของ *Escherichia coli* BL21 (DE3) ที่ได้จากเพาะเลี้ยงในอาหารที่มีโซเดียมซัลไฟต์ความเข้มข้นต่าง ๆ

ในขั้นตอนการเตรียมอาหารเลี้ยงเชื้อที่ใช้กลีเซอรอลดิบเป็นแหล่งคาร์บอน เมื่อทำการทดสอบกลีเซอรอลดิบเข้ากับสารอาหารอื่น ๆ ในน้ำกลัน สามารถสังเกตได้ว่า จะปรากฏชั้นของเหลวมีลักษณะสีขาวขุ่นคลอยแยกตัวขึ้นสู่ด้านบนของอาหารเลี้ยงเชื้อ ดังแสดงในภาพที่ 25 เมื่อทำการเตรียมอาหารเลี้ยงเชื้อโดยผสมกลีเซอรอลดิบในปริมาณเดียวกับที่ใช้ในอาหารเลี้ยงเชื้อที่มีความเข้มข้นของกลีเซอรอลดิบท่ากับ 10 กรัมต่อลิตร เข้ากับสารอาหารชนิดอื่นในน้ำกลัน ตั้งพักไว้ในกรวยแยกเป็นเวลาประมาณ 30 นาที เพื่อให้เกิดการแยกชั้น ไขเนฟะล่าวนใส่ด้านล่างไปใช้ในการเพาะเลี้ยงจุลินทรีย์โดยเบรี่ยนเทียนกับอาหารที่ใช้กลีเซอรอลดิบที่ความเข้มข้น 10 กรัมต่อลิตรเป็นแหล่งคาร์บอนที่ไม่ได้ทำการแยกชั้นของเหลวสีขาวออกไป จากผลการทดลองในภาพที่ 26 พบว่า น้ำหนักเซลล์แห้งของจุลินทรีย์ที่ได้จากอาหารที่ถูกแยกชั้นของเหลวสีขาวออก มีค่าลดลงจากร凡ีที่ไม่ได้แยกชั้นของเหลวสีขาวออกถึง 30.6 เปอร์เซ็นต์ ผลการทดลองดังกล่าวชี้ให้เห็นว่าชั้นของเหลวสีขาวดังกล่าวเป็นสารในกลุ่มกรดไขมันซึ่ง *E. coli* BL21 (DE3) โดยคาดว่าชั้นของเหลวสีขาวดังกล่าวเพื่อเป็นแหล่งคาร์บอนในการเจริญและการผลิตกรดอะมิโนชนิดแอล-ฟินิโละลานีนได้อย่างมีประสิทธิภาพ



ภาพที่ 25 ลักษณะของอาหารเลี้ยงเชื้อเมื่อทำการผสมกลีเซอรอลดิบเข้ากับสารอาหารอื่น ๆ ในน้ำกลัน



ภาพที่ 26 น้ำหนักเซลล์แห้งของ *Escherichia coli* BL21 (DE3) ที่ได้จากเพาะเลี้ยงในอาหารที่ทำ การแยกชั้นของเหลวสีขาวออกเปรียบเทียบ กับอาหารที่ไม่ได้แยกชั้นของเหลวสีขาวออก

สรุปและข้อเสนอแนะ

สรุป

งานวิจัยนี้ได้ทำการปรับปรุงคุณภาพของกลีเซอโรลิตินให้มีความบริสุทธิ์ขึ้นด้วยการใช้กรดซัลฟิวริกเข้มข้น และนำไปใช้เป็นแหล่งคาร์บอนในการเพาะเลี้ยง *Escherichia coli* BL21 (DE3) เพื่อผลิตกรดอะมิโนชนิด แอล-ฟินิโละลานีน เพื่อเป็นการหาแนวทางการใช้ประโยชน์จากกลีเซอโรลิตินจากการกระบวนการผลิตไบโอดีเซล โดยกลีเซอโรลิตินที่ใช้ในการศึกษาเป็นกลีเซอโรลิตินจากการกระบวนการผลิตไบโอดีเซลที่ใช้น้ำมันปาล์มอาร์บิดีเป็นวัตถุคิบ และใช้โซเดียมไฮดรอกไซด์เป็นตัวเร่งปฏิกิริยา

1. การปรับปรุงคุณภาพกลีเซอโรลิตินให้มีความบริสุทธิ์ขึ้นด้วยกรดซัลฟิวริกเข้มข้น

เมื่อทำการเติมกรดซัลฟิวริกเข้มข้นลงในกลีเซอโรลิตินจากการกระบวนการผลิตไบโอดีเซล ทำให้กลีเซอโรลเกิดการแยกชั้นเป็น 3 ชั้น โดยชั้นบนเป็นกรดไบมันอิสระ ชั้นกลางเป็นกลีเซอโรล และชั้นล่างเป็นเกลือซัลเฟต ชั้นกลีเซอโรลที่แยกได้จะมีความบริสุทธิ์เพิ่มขึ้นเมื่อพิเชชของกลีเซอโรลิตินมีค่าลดลง โดยกลีเซอโรลิตินที่ผ่านการปรับปรุงค่าพิเชชเป็น 3 จะมีความบริสุทธิ์เพิ่มขึ้นเป็น 91 เปอร์เซ็นต์โดยน้ำหนัก มีปริมาณถ้า 2.59 เปอร์เซ็นต์โดยน้ำหนัก และไม่พบว่ามีสนับเปลืออยู่ในกลีเซอโรลนี้

2. การเพาะเลี้ยง *Escherichia coli* BL21 (DE3) โดยใช้กลีเซอโรลเป็นแหล่งคาร์บอน

เมื่อศึกษาใช้กลีเซอโรลิติน เป็นแหล่งคาร์บอนในอาหารเตี้ยงแบคทีเรีย *E. coli* BL21 (DE3) เปรียบเทียบกับ กลีเซอโรลที่ผ่านการทำให้บริสุทธิ์ขึ้นด้วยกรด และ กลีเซอโรลบริสุทธิ์เกรดยูเอสพี (บริสุทธิ์ 99.5 เปอร์เซ็นต์โดยน้ำหนัก) พบว่า *E. coli* BL21 (DE3) สามารถเจริญในกลีเซอโรลิตินได้ดีที่สุด โดยน้ำหนักเซลล์แห้งสูงสุดที่ได้มีค่าเท่ากับ 3.47 กรัมต่อลิตร จากอาหารที่มีกลีเซอโรลิตินเข้มข้น 30 กรัมต่อลิตร นอกจากนี้ปริมาณกรดอะมิโนชนิดแอล-ฟินิโละลานีนที่ได้จากอาหารดังกล่าวอาหารดังกล่าวมีปริมาณปริมาณมากที่สุดเท่ากับ 55.2 มิลลิกรัมต่อลิตร ซึ่งผลการทดลองดังกล่าวมีแนวโน้มที่แตกต่างไปจากงานวิจัยอื่น ๆ ที่มักพบว่ากลีเซอโรลิตินมีผลในการขับยั่งการเจริญของจุลินทรีย์มากกว่ากลีเซอโรลที่มีความบริสุทธิ์สูงกว่า จึงกล่าวได้ว่าได้รับผลกระทบ

กลีเซอรอลดิบจากกระบวนการผลิตไบโอดีเซลจะไม่มีผลในการยับยั้งการเจริญของ *E. coli* BL21 (DE3) แล้วขังอี๊อประโยชน์ต่อการเจริญของจุลินทรีย์ชนิดนี้ได้ดีอีกด้วย โดยที่ความเข้มข้นของกลีเซอรอลดิบเท่ากับ 30 กรัมต่อลิตรเป็นความเข้มข้นที่ทำให้มีปริมาณสารอาหารต่าง ๆ ในระดับที่ทำให้จุลินทรีย์สามารถเจริญ และการผลิตกรดอะมิโนชนิดแอล-ฟีนิโลลาเนนได้ดีที่สุด

ข้อเสนอแนะ

- จากการทดลองพบว่ากลีเซอรอลดิบมีผลต่อการเจริญ และการผลิตกรดอะมิโนชนิดแอล-ฟีนิโลลาเนนของ *E. coli* BL21 (DE3) อย่างไรก็ตามปริมาณกรดอะมิโนที่ผลิตได้ยังคงมีค่าค่อนข้างต่ำ จึงควรนำข้อมูลพื้นฐานที่ได้จากการทดลองนี้ไปทำการพัฒนาการเพาะเลี้ยงจุลินทรีย์ดังกล่าวด้วยให้สามารถผลิตกรดอะมิโนชนิดแอล-ฟีนิโลลาเนนจากกลีเซอรอลดิบได้มากขึ้น
- E. coli* BL21 (DE3) เป็นจุลินทรีย์ที่สามารถนำไปประยุกต์ใช้ในงานทางเทคโนโลยีชีวภาพได้หลากหลายด้านนี้จึงควรมีการศึกษาความเป็นไปได้ในการใช้ *E. coli* BL21 (DE3) ในการเปลี่ยนแปลงกลีเซอรอลดิบจากกระบวนการผลิตไบโอดีเซลไปเป็นผลิตภัณฑ์ชนิดอื่นที่มีความหลายหลายมากขึ้น
- จากการทดลองชี้ให้เห็นว่าชั้นของเหลวสีขาวที่เกิดขึ้นในอาหารเลี้ยงเชื้อในกรณีที่ใช้กลีเซอรอลดิบเป็นแหล่งคาร์บอนนี้เป็นสารที่ส่งผลต่อการเจริญของ *E. coli* BL21 (DE3) ทำให้มีความน่าสนใจอย่างยิ่งในการศึกษาต่อไปเพื่อบ่งชี้ว่าสารดังกล่าวเป็นสารประเภทใด

เอกสารและสิ่งอ้างอิง

คณะกรรมการชิการพลังงาน สถาบันเทคโนโลยีไทย-ญี่ปุ่น 2545. พลังงานทดแทนอุตสาหกรรมและไปโอดีเซล.
สำนักพิมพ์แปลน พรีวินดี, กรุงเทพฯ.

โครงการพัฒนาระบบฐานข้อมูลด้านการเกษตรและสหกรณ์ของจังหวัด. 2552. เทคโนโลยีและภูมิปัญญาชาวบ้าน. แหล่งที่มา: http://www.moac-info.net/modules/news/news_view.php?News_id=66706&action=edit, 15 ธันวาคม 2552.

ฐานนิค. สมรรถวิทยา. 2545. การหาภาวะที่เหมาะสมในการเลี้ยง *Escherichia coli* JM109 ที่มีเย็นแอล-ฟินิโลลาเนินดีไฮโดรเจนสจาก *Bacillus badius BC1* เพื่อการผลิตแอล-ฟินิโลลาเนิน. โครงการปริญญาตรี ภาควิชาชีวเคมี คณะวิทยาศาสตร์, จุฬาลงกรณ์มหาวิทยาลัย.

พรชัย เหลืองอาภพงศ์. 2549. คัมภีร์ปาล์มน้ำมัน พืชเศรษฐกิจเพื่อบริโภคและอุปโภค. มติชน, กรุงเทพฯ.

มยุรา ทองช่วง. 2545. ภาวะที่เหมาะสมในการเลี้ยง *Escherichia coli* JM109 ที่มีเย็นแอล-อะลาเนินดีไฮโดรเจนสจาก *Aeromonas hydrophila* เพื่อการผลิตแอล-อะลาเนิน. โครงการปริญญาตรี ภาควิชาชีวเคมี คณะวิทยาศาสตร์, จุฬาลงกรณ์มหาวิทยาลัย.

ศักดิ์ศิลป์ โชคสกุล, วินากรณ์ กุญชรัตน์ และ กิจารักษ์ วงศ์กุດลดา. 2541. เอกสารวิชาการเรื่อง ปาล์มน้ำมัน. กองส่งเสริมพัฒนา กรมส่งเสริมการเกษตร, กรุงเทพฯ.

ศูนย์วิจัยปาล์มน้ำมันสุรายุธยา. 2552. รู้จักปาล์มน้ำมัน. แหล่งที่มา: <http://it.doa.go.th/palm/linkTechnical/oilpalm.html>, 15 ธันวาคม 2552.

สมใจ ศิริโภค. 2544. ชีววิทยาอุตสาหกรรม. ศูนย์สื่อสิ่งเรียนกรุงเทพฯ, กรุงเทพฯ.

Ajinomoto Co., Inc. 2003. **Ajinomoto's Amino Acid Handbook.** Ajinomoto Co.,Inc. Amino Acid Department, Tokyo.

Alhanash, A., E.F. Kozhevnikova and I.V. Kozhevnikov. 2008. Hydrogenolysis of glycerol to propanediol over Ru: Polyoxometalate bifunctional catalyst. **Cat. Lett.** 120: 307-311.

Aon, J.C., R.J. Caimi, A.H. Taylor, Q. Lu and F. Oluboyede. 2008. Suppressing posttranslational gluconylation of heterologous proteins by metabolic engineering of *Escherichia coli*. **Appl. Environ. Microbiol.** 74: 950-958.

Asad-ur-Rehman, R.G.S. Wijesekara, N. Nomura, S. Sato and M. Matsumura. 2008. Pre-treatment and utilization of raw glycerol from sunflower oil biodiesel for growth and 1, 3-propanediol production by *Clostridium butyricum*. **J. Chem. Technol. Biotechnol.** 83: 1072-1080.

Bondioli, P. and L.D. Bella. 2005. An alternative spectrophotometric method for the determination of free glycerol in biodiesel. **Eur. J. Lipid. Sci. Technol.** 107: 153-157.

Brunhuber, N.M.W., Banerjee A., Jacobs W.R. and S.B. John. 1994. Cloning, sequencing, and expression of *Rhodococcus* L-phenylalanine dehydrogenase. **J. Bio. Chem.** 269: 16203-16211.

Celik, E., N. Ozbay, N. Oktar and P. Calik. 2008. Use of biodiesel byproduct crude glycerol as the carbon source for fermentation processes by recombinant *Pichia pastoris*. **Ind. Eng. Chem. Res.** 47: 2985-2990.

Chaoa, Y.P., T.E. Lob and N.S. Luoa. 2000. Selective production of L-aspartic acid and L-phenylalanine by coupling reactions of aspartase and aminotransferase in *Escherichia coli*. **Enz. Microb. Technol.** 27: 19-25.

- Chi, Z., D. Pyle, Z. Wen, C. Frear and S. Chen. 2007. A laboratory study of producing docosahexaenoic acid from biodiesel-waste glycerol by microalgal fermentation. **Process. Biochem.** 42: 1537-1545.
- Chitra, P., P. Venkatachalam and A. Sampathrajan. 2005. Characterisation and purification of crude glycerol recovered from transesterification of *Jatropha curcus* oil. **Madras Agric J.** 92: 241-243.
- Chiu, C. M.A. Dasari, G.J. Suppes, and W.R. Sutterlin. 2006. Dehydration of glycerol to acetol via catalytic reactive distillation. **AIChE Journal.** 52: 3543- 3548.
- Courtesy of CCCC BioFuels Program. 2010. **Residual catalyst and soap titration.** Available Source: www.collectivebiodiesel.org/Presentations_files/Biodiesel%20101.pdf, February 17, 2010.
- Crowe, A. 2009. ***E. coli*: A permanent resident of our beaches.** Available Source: <http://lakehuron.ca/index.php?page=e-coli>, December 15, 2009.
- Demirbas, A. 2008. **Biodiesel: a realistic fuel alternative for diesel engines.** Springer-Verlag, London.
- Dharmadi, Y., A. Murarka, and R. Gonzalez. 2006. Anaerobic fermentation of glycerol by *Escherichia coli*: A new platform for metabolic engineering. **Biotech. Bioeng.** 94: 821-829.
- Gerpen, J.V. 2005. Biodiesel processing and production. **Fuel. Process. Technol.** 86: 1097-1107.

- Gonzalez-Pajuelo, M., J.C. Andrade and I. Vasconcelos. 2004. Production of 1,3-propanediol by *Clostridium butyricum* VPI 3266 using a synthetic medium and raw glycerol. **J. Ind. Microbiol. Biotechnol.** 31: 442-446.
- Helwani, Z., M.R. Othman, N. Aziz, W.J.N. Fernando and J. Kim. 2009. Technologies for production of biodiesel focusing on green catalytic techniques: A review. **Fuel Process. Technol.** 90: 1502–1514.
- Hermann, T. 2003. Industrial production of amino acids by coryneform bacteria. **J. Biotechnol.** 104: 155-172.
- Ikeda, M. 2003. Amino acid production processes. **Adv. Biochem. Eng. Biotechnol.** 79: 1-35.
- Imandi, S.B., V.V.R. Bandaru, S.R. Somalanka, H.R. Garapati. 2007. Optimization of medium constituents for the production of citric acid from by product glycerol using Doehlert experimental design. **Enz. Microb. Technol.** 40: 1367–1372.
- Ito, T., Y. Nakashimada, K. Senba, T. Matsui and N. Nishio. 2005. Hydrogen and ethanol production from glycerol-containing wastes discharged after biodiesel manufacturing process. **J Biosci. Bioeng.** 100:260-265.
- Jakobson, G., F.W. Kathagen and M. Klatt. 1999. **Industrial organic chemicals: starting material and intermediates.** Weiley-VCH, Weinheim.
- Johnson D.T. and K.A. Taconi. 2007. The glycerin glut: Options for the value-added conversion of crude glycerol resulting from biodiesel production. **Environ. Progress.** 26: 338-348.
- Khamduang, M., K. Packdibamrung, J. Chutmanop, Y. Chisti and P. Srinophakun. 2009a. Production of L-phenylalanine from glycerol by a recombinant *Escherichia coli*. **J. Ind. Microbiol. Biotechnol.** 36: 1267-1274.

- Khamduang, M., K. Packdibamrung, J. Chutmanop and P. Srinophakun. 2009b. Optimization of medium composition for L-phenylalanine production from glycerol using response surface methodology. **Natur. Sci.** 43: 727-734.
- Kirk, R.E. and D.F. Othmer. 1979. **Encyclopedia of chemical technology**. Wiley, New York.
- Lammers, P.J., B.J. Kerr, T.E. Weber, W.A. Dozier, M.T. Kidd, K. Bregendahl and M.S. Honeyman. 2008. Digestible and metabolizable energy of crude glycerol for growing pigs. **J. Animal. Sci.** 86: 602-608.
- Lederberg, J. 1992. **Encyclopedia of microbiology**. Academic Press, San Diego.
- Lee, S.Y. 2009. **Systems Biology and Biotechnology of *Escherichia coli***. Springer Science and Business Media, Daejeon.
- Lin, E.C.C. 1976. Glycerol dissimilation and its regulation in bacteria. **Ann. Rev. Microbiol.** 30: 535-578.
- Ma, F. and M.A. Hanna. 1999. Biodiesel production: A review. **Bioresour. Technol.** 70: 1–15.
- Marchetti, J.M., V.U. Miguel and A.F. Errazu. 2007. Possible methods for biodiesel production. **Renew. Sust. Energ. Rev.** 11: 1300–1311.
- Mu, Y., H. Teng, D.J. Zhang, W. Wang and Z.L. Xiu. 2006. Microbial production of 1, 3-propanediol by *Klebsiella pneumoniae* using crude glycerol from biodiesel preparations. **Biotechnol. Lett.** 28: 1755–1759.
- Ohshima, T. and K. Soda. 1989. Thermostable amino acid dehydrogenases: Applications and gene cloning Trends. **Biotechnol.** 7: 210-214.

- Ooi, T.L., K.C. Yong, K. Dzulkefly, W.M.Z. Wanyunus and A.H. Hazimah. 2001. Crude glycerine recovery from glycerol residue waste from a palm kernel oil methyl ester plant. **J. Oil. Palm. Res.** 13: 16-22.
- Pagliaro, M. and M. Rossi. 2008. **The Future of Glycerol: New Uses of a Versatile Raw Material.** RSC Publishing, Cambridge.
- Pasteris, S.E. and A.M. Strasser de Saad. 2005. Aerobic glycerol catabolism by *Pediococcus pentosaceus* isolated from wine. **Food. Microb.** 22: 399–407.
- Petitdemange, E., C. Durr, S. Abbad Andaloussi and G. Raval. 1995. Fermentation of raw glycerol to 1, 3-propanediol by new strains of *Clostridium butyricum*. **J. Ind. Microbiol.** 15: 498-502.
- Ranganathan, S.V., S.L. Narasimhan and K. Muthukumar. 2008. An overview of enzymatic production of biodiesel. **Bioresour. Technol.** 99: 3975–3981.
- Sitthai P. 2004. **Cloning and expression of phenylalanine dehydrogenase gene from *Acinetobacter lwoffii* and the possibility for amino acid production.** Master Thesis, Faculty of Science, Chulalongkorn University.
- Thompson, J.C. and B.B. He. 2006. Charcaterization of crude glycerol from biodiesel production from multiple feedstocks. **Appl. Eng. Agric.** 22: 261-265.
- Yazdani, S.S. and R. Gonzalez. 2007. Anaerobic fermentation of glycerol: A path to economic viability for the biofuels Industry. **Curr. Opin. Biotechnol.** 18: 213-219.
- Zabeti, M., W.M.A.W. Daud and M. K. Aroua. 2009. Activity of solid catalysts for biodiesel production: A review. **Fuel. Process. Technol.** 90: 770–777.

Zhang, G.L., B.B. Ma, X.L. Xu, C. Li and L. Wang. 2007. Fast conversion of glycerol to 1,3-propanediol by a new strain of *Klebsiella pneumoniae*. **Biochem. Eng J.** 37: 256-260.







ภาคผนวก ก

การวิเคราะห์หาปริมาณกลีเซอรอล

สารเคมีที่ใช้ในการวิเคราะห์

1. สารละลายน้ำยากรดอะซิติก (Acetic Acid Stock Solution) เตรียมโดย ชั่งน้ำหนักกรดอะซิติก เข้มข้น 9.6 กรัม ทำการปรับปริมาตรเป็น 100 มิลลิลิตรด้วยน้ำกลั่น
2. สารละลายนามิเนียมอะซิเตท (Ammonium Acetate Stock Solution) เตรียมโดย ชั่งสารแอมโมเนียมอะซิเตท 30.8 กรัม ทำการปรับปริมาตรเป็น 100 มิลลิลิตรด้วยน้ำกลั่น
3. สารละลายอะซิลอะซิโตัน (Acetylacetone Solution) เตรียมโดย คูดอะซิติลอะซิโตัน ปริมาตร 200 ไมโครลิตร มาพสมกับสารละลายน้ำยากรดอะซิติก และสารละลายนามิเนียมอะซิเตท อายุ่ละ 5 มิลลิลิตร
4. สารละลายโซเดียมเพอร์วิโอเดท (Sodium Periodate Solution) เตรียมโดย ทำการละลายสารโซเดียมเพอร์วิโอเดท 21 มิลลิกรัม ในสารละลายน้ำยากรดอะซิติก 5 มิลลิลิตร จากนั้นเติมสารละลายนามิเนียมอะซิเตทลงไป 5 มิลลิลิตร
5. สารละลายเอทานอล 50 เปอร์เซ็นต์

ขั้นตอนในการวิเคราะห์ปริมาณกลีเซอรอล

1. ทำการเจือจากลีเซอรอลด้วยสารละลายเอทานอล 50 เปอร์เซ็นต์ จากนั้นคุณสารละลายน้ำยาดังกล่าวปริมาตร 1 มิลลิลิตร ใส่ลงในหลอดทดลอง
2. เติมสารละลายเอทานอล 50 เปอร์เซ็นต์ ปริมาตร 1 มิลลิลิตร
3. เติมสารละลายโซเดียมเพอร์วิโอเดทปริมาตร 1.2 มิลลิลิตร

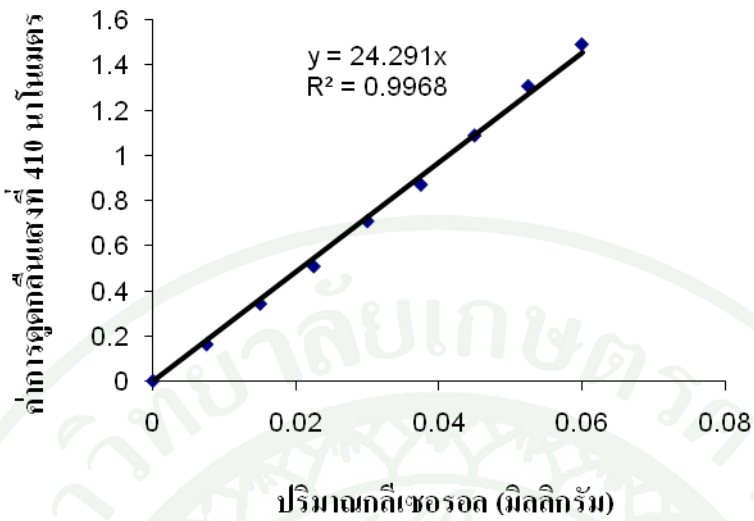
4. ทำการขยายพสมที่อุณหภูมิห้อง เป็นเวลา 30 วินาที
 5. เติมสารละลายน้ำอะซิติลอะซิโตกนปริมาตร 1.2 มิลลิลิตร
 5. ให้ความร้อนที่ 70 องศาเซลเซียสในอ่างควบคุมอุณหภูมิ เป็นเวลา 1 นาที
 6. นำไปแช่ในน้ำที่มีอุณหภูมิประมาณ 20 ถึง 25 องศาเซลเซียส ทันที
 7. ทำการวัดค่าการดูดกลืนแสงด้วยเครื่องสเปกโตร โฟโต้มิเตอร์ ที่ความยาวคลื่น 410 นาโนเมตร
 8. นำค่าการดูดกลืนแสงที่วัดได้ไปเทียบกับกราฟมาตรฐาน (ภาพผนวกที่ ก1) เพื่อคำนวณหาปริมาณกลีเซอรอล
- ขั้นตอนการเตรียมกราฟมาตรฐานที่ใช้ในการวิเคราะห์ปริมาณกลีเซอรอล**
1. เตรียมสารละลายน้ำอะตอรูจาน โดยละลายน้ำอะตอรูจาน โดยละลายน้ำอะตอรูจานบริสุทธิ์ 0.003 กรัม ในสารละลายน้ำ ethanol 50 เปลอร์เซ็นต์ ปริมาตร 100 มิลลิลิตร
 2. ใส่สารละลายน้ำอะตอรูจาน และสารละลายน้ำ ethanol 50 เปลอร์เซ็นต์ ลงในหลอดทดลองตามอัตราส่วนที่แสดงในตารางภาคผนวกที่ ก1
 3. ทำการวิเคราะห์เช่นเดียวกับสารวิเคราะห์ตัวอย่างดังแต่ขั้นตอนที่ 3 ถึง ขั้นตอนที่ 7
 4. นำปริมาณกลีเซอรอล และค่าการดูดกลืนแสงที่วัดได้ดังแสดงในตารางภาคผนวกที่ ก2 ไปวัดกราฟมาตรฐาน โดยให้แกน x คือปริมาณของกลีเซอรอล และ แกน y คือ ค่าการดูดกลืนแสงที่ 410 นาโนเมตร

ตารางผนวกที่ ก1 ปริมาณสารที่ใช้ในการเตรียมกราฟมาตรฐานในการวิเคราะห์ปริมาณกลีเซอรอล

หลอดที่	ปริมาณสารละลายน้ำมันมาตรฐาน (มิลลิลิตร)	ปริมาณสารละลายน้ำมันมาตรฐานที่ 50 เปอร์เซ็นต์ (มิลลิลิตร)	ปริมาณกลีเซอรอล (มิลลิกรัม)
1	0.00	2.00	0.0000
2	0.25	1.75	0.0075
3	0.50	1.50	0.0150
4	0.75	1.25	0.0225
5	1.00	1.00	0.0300
6	1.25	0.75	0.0375
7	1.50	0.50	0.0450
8	1.75	0.25	0.0525
9	2.00	0.00	0.0600

ตารางผนวกที่ ก2 ค่าการคูดกลีนแสงของสารละลายกลีเซอรอลมาตรฐานที่ใช้ในการเตรียมกราฟมาตรฐานในการวิเคราะห์กลีเซอรอล

ปริมาณกลีเซอรอล (มิลลิกรัม)	ค่าการคูดกลีนแสงที่ 410 นาโนเมตร
0.0000	0
0.0075	0.162
0.0150	0.342
0.0225	0.508
0.0300	0.708
0.0375	0.870
0.0450	1.088
0.0525	1.307
0.0600	1.492



ภาพผนวกที่ ก1 グラฟมาตรฐานในการวิเคราะห์ปริมาณกลีเซอรอล

การคำนวณหาปริมาณกลีเซอรอล

นำค่าการดูดซึมแสงที่ความยาวคลื่น 410 (Abs_{410}) ของตัวอย่างแทนค่าลงในสูตรคำนวณด้านล่าง

$$\text{ปริมาณกลีเซอรอล (เบอร์เซ็นต์โดยน้ำหนัก)} = \frac{Abs_{410} \times \text{จำนวนเท่าในการเลือจางตัวอย่าง} \times 100}{24.291 \times \text{น้ำหนักตัวอย่าง}}$$



ภาคผนวก ฯ

การวิเคราะห์ปริมาณกรดอะมิโนชนิดแอล-ฟินิโลลาเน็น

การเตรียมสารอนุพันธ์ของกรดอะมิโนชนิดแอล-ฟินิโลลาเน็น

1. สารเคมีที่ใช้ในการวิเคราะห์

ก) สารละลายน้ำเดียวไฮโดรเจนคาร์บอนเดียมเข้มข้น 1.5 มิลลิตร ทำการปรับค่าพีเอชเป็น

9

ข) สารละลายน้ำเดบซิลคลอไรด์ 0.0218 กรัม ในอะซิโตน 10 มิลลิลิตร

ค) สารละลายน้ำออกซิเจนเข้มข้น 70 เปอร์เซ็นต์

2. การเตรียมสารอนุพันธ์เพื่อใช้ในการวิเคราะห์

ก) นำลีดยิงเชือด้าอย่างที่ต้องการวิเคราะห์หาความเข้มของกรดอะมิโนชนิดแอล-ฟินิโลลาเน็น มาทำการปั่นให้ว่องที่ความเร็ว 4,000 รอบต่อนาที เป็นเวลา 10 นาที ทำการเก็บส่วนไสของน้ำลีดยิงเชือด้าอย่างไว้ใช้ในการทำอนุพันธ์ของกรดอะมิโนต่อไป

ข) เติมสารละลายน้ำเดียวไฮโดรเจนคาร์บอนเดียมเข้มข้น 1.5 มิลลิตร ปริมาตร 100 ไมโครลิตร และสารละลายน้ำเดบซิลคลอไรด์ในอะซิโตน ปริมาตร 200 ไมโครลิตร ลงในอุปกรณ์ Eppendorff และทำการเขย่าผสมให้เข้ากัน

ค) เติมส่วนไสของน้ำลีดยิงเชือด้าอย่างที่ต้องการวิเคราะห์ปริมาตร 200 ไมโครลิตรลงไป และทำการผสมให้เข้ากันด้วยเครื่องผสมวอร์เท็กซ์

ง) นำไปให้ความร้อนในอ่างความคุมอุณหภูมิที่ 70 องศาเซลเซียส เป็นเวลา 10 นาที (จากขั้นตอนนี้ได้สารละลายน้ำสีเข้ม)

จ) นำไปอบจนแห้งที่อุณหภูมิ 50 องศาเซลเซียสเป็นเวลา 12 ชั่วโมง (จากขั้นตอนนี้ได้ผลึกสีส้ม)

ก) เติมสารละลายยาทานอล 70 เปอร์เซ็นต์ ปริมาตร 0.5 มิลลิลิตร แล้วทำการผสมด้วยเครื่องผสม เพื่อละลายผลึกของสารตัวอย่าง

ช) กรองผ่านแผ่นกรองที่มีขนาดรูพรุนเท่ากับ 0.2 ไมโครเมตร บรรจุลงขวด Vial เพื่อทำการนีคิวเคราะห์ด้วยเทคนิคโคมาราโทกราฟของเหลวแบบสมรรถนะสูงต่อไป

ขั้นตอนการเตรียมภาพมาตรฐานสำหรับการวิเคราะห์หาปริมาณกรดอะมิโนชนิดแอล-ฟินิโลลานีนโดยใช้เทคนิคโคมาราโทกราฟของเหลวแบบสมรรถนะสูง

ก) ทำการเตรียมสารละลามาตรฐานของกรดอะมิโนชนิด แอล-ฟินิโลลานีน ที่ความเข้มข้น 0.025 0.050 0.075 และ 0.100 กรัมต่อลิตร

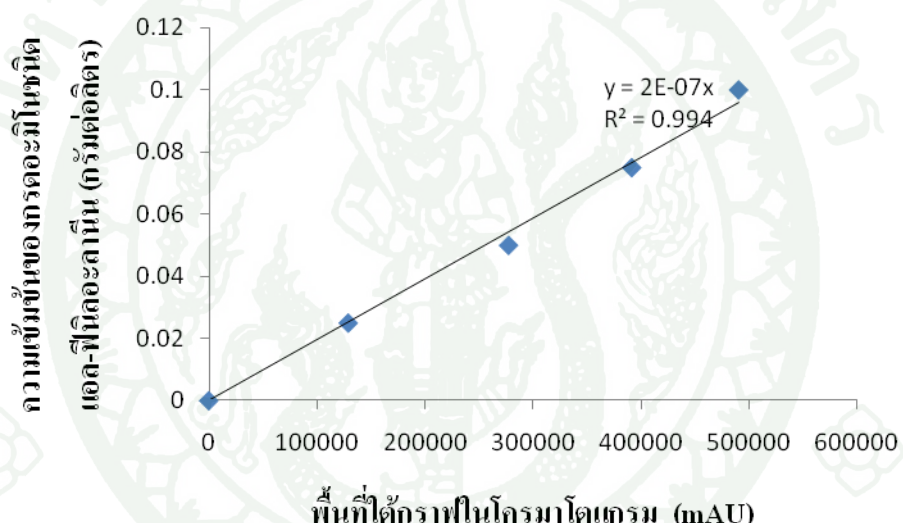
ข) นำสารละลามาตรฐานของกรดอะมิโนชนิด แอล-ฟินิโลลานีนที่ความเข้มข้นต่างๆ ไปผ่านกระบวนการเตรียมสารอนุพันธ์ของกรดอะมิโนเข่นเดียวกับที่ทำกับน้ำเดียงเชื้อตัวอย่าง

ค) นำสารอนุพันธ์ของกรดอะมิโนชนิดแอล-ฟินิโลลานีน แต่ละความเข้มข้นที่เตรียมได้ไปทำการนีคิวเคราะห์ด้วยเครื่องโคมาราโทกราฟของเหลวแบบสมรรถนะสูง

ง) จดบันทึกค่าพื้นที่ใต้กราฟของสารละลามาตรฐานแต่ละความเข้มข้น และนำไปพิสูจน์ภาพมาตรฐานสัมพันธ์กับความเข้มข้น

ตารางผนวกที่ ข1 ค่าพื้นที่ได้กราฟของสารละลายน้ำมาระดับมาตรฐานกรดอะมิโนชนิดแอล-ฟีนิโลลาเนินที่ได้จากการวิเคราะห์ด้วยเครื่องโคมาราโtopicgraph ของเหลวแบบสมรรถนะสูง

ความเข้มข้นของกรดอะมิโนชนิด แอล-ฟีนิโลลาเนิน (กรัมต่อลิตร)	พื้นที่ได้กราฟในโคอมาราtopicgraph (mAU)
0.025	129,191
0.050	277,845
0.075	391,927
0.100	490,939



ภาพผนวกที่ ข1 กราฟมาตรฐานในการวิเคราะห์ปริมาณกรดอะมิโนชนิดแอล-ฟีนิโลลาเนินด้วยเครื่องโคอมาราtopicgraph ของเหลวแบบสมรรถนะสูง

วิธีการคำนวณหาปริมาณกรดอะมิโนชนิดแอล-ฟีนิโลลาเนิน

นำค่าพื้นที่ได้กราฟที่ได้จากการวิเคราะห์ตัวอย่างมาแทนในสูตรด้านล่าง

$$\text{ปริมาณกรดอะมิโนชนิดแอล-ฟีนิโลลาเนิน (มิลลิกรัมต่อลิตร)} = \frac{\text{พื้นที่ได้กราฟ}}{2 \times 10^{-4}}$$



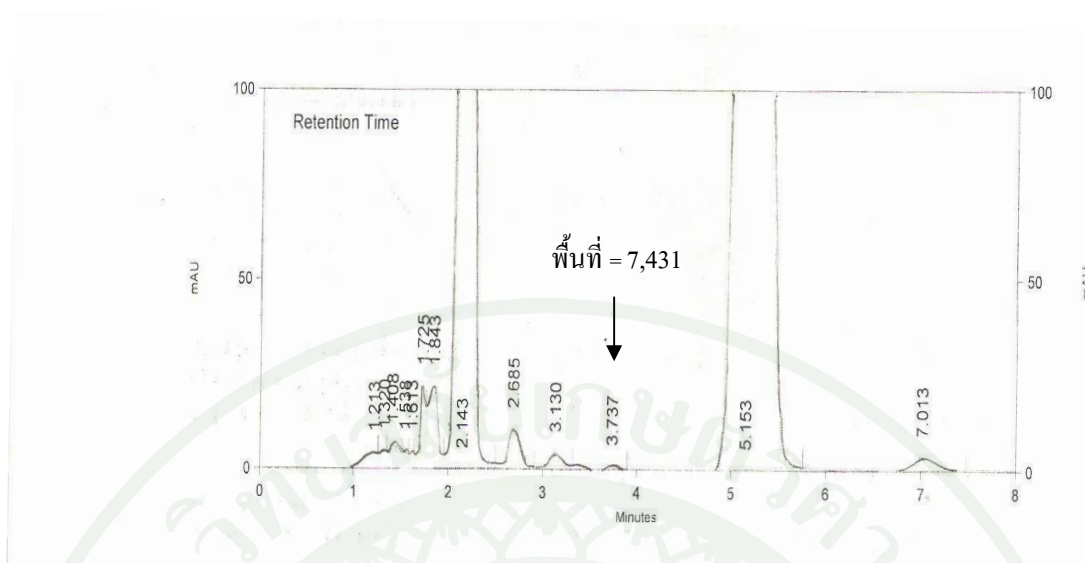
ภาคผนวก ค

การคำนวณปริมาณสูง

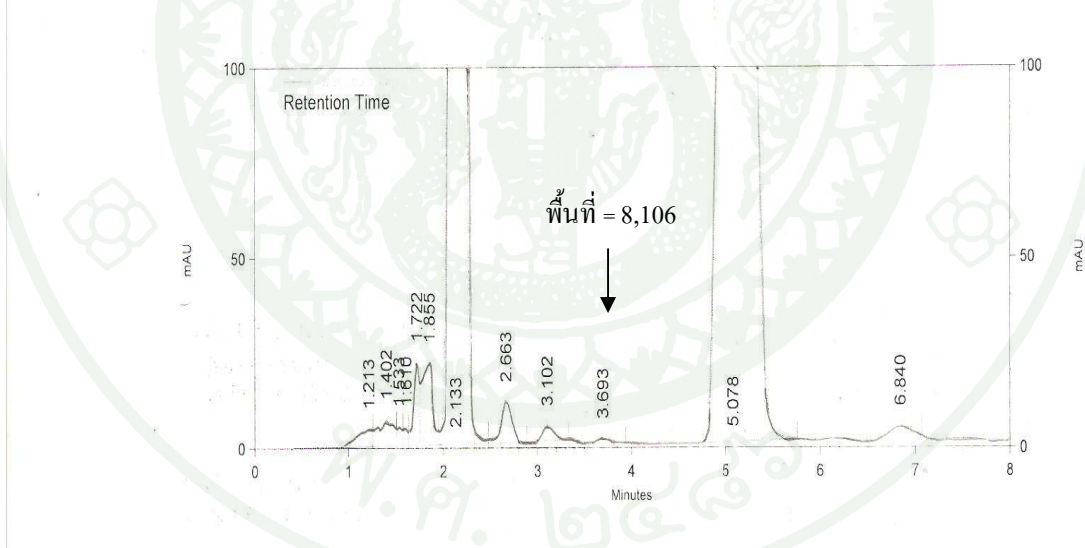
นำปริมาตรของกรดไฮโดรคลอริกที่ใช้ในการไทยเกรตแทนลงในสูตร

$$\text{เปลอร์เซ็นต์สูงโดยน้ำหนัก} = \frac{\text{ปริมาณกรดไฮโดรคลอริกที่ใช้(มิลลิลิตร)} \times 30.44}{\text{น้ำหนักกลีเซอโรล(กรัม)}}$$

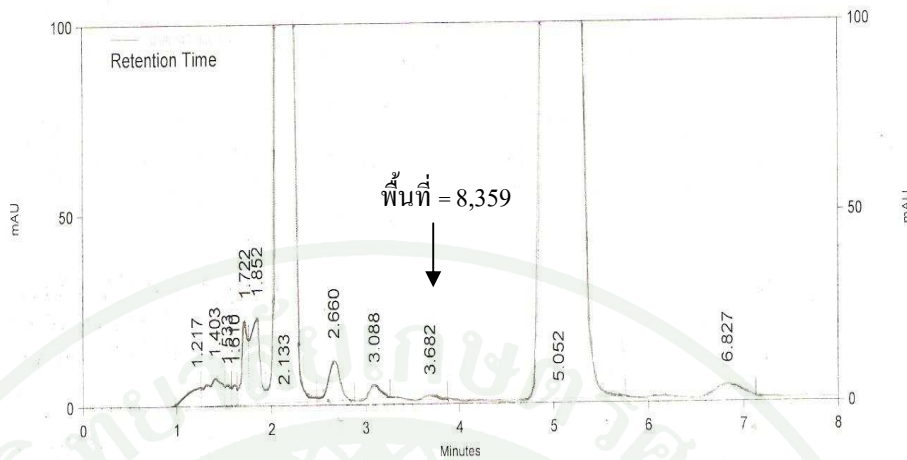




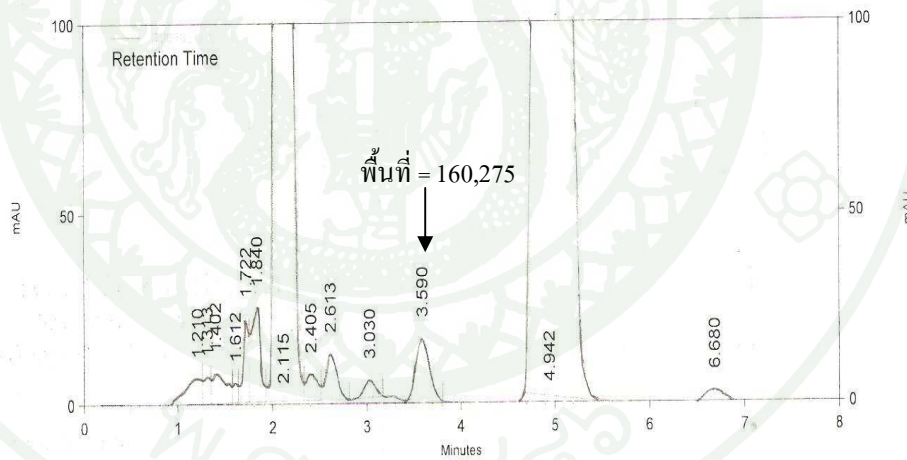
ภาพพนวกที่ จ1 โคมามิโตแกรมผลการวิเคราะห์ปริมาณกรดอะมิโนชนิดแอล-ฟีนิลอะลานีนในน้ำเลี้ยงเชื้อ *E. coli* BL21 (DE3) ที่ใช้กลีเซอรอลบิส్థុបីเกรดមេដឹក ความเข้มข้น 5 กรัมต่อลิตร เป็นแหล่งคาร์บอน(การทดลองชำที่ 1)



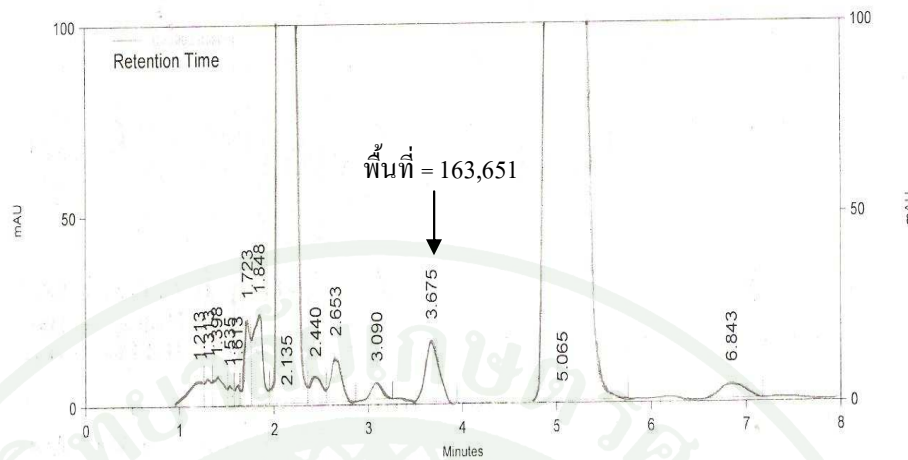
ภาพพนวกที่ จ2 โคมามิโตแกรมผลการวิเคราะห์ปริมาณกรดอะมิโนชนิดแอล-ฟีนิลอะลานีนในน้ำเลี้ยงเชื้อ *E. coli* BL21 (DE3) ที่ใช้กลិเซអូលបីស្តុបីเกรដមេដឹក ការម៉ែងតែងតាំងរបស់ខ្លួន (ការទាញុកចាប់ទី 2)



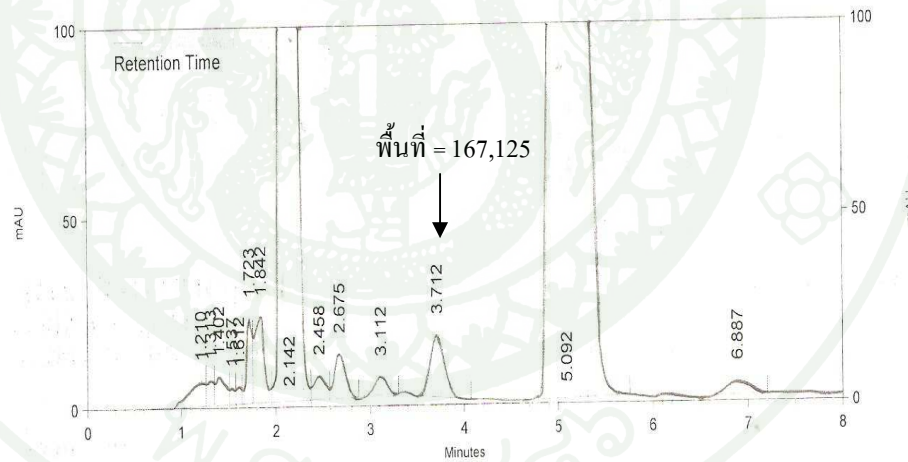
ภาพผนวกที่ 43 โปรแกรมติดตามผลการวิเคราะห์ปริมาณกรดอะมิโนชนิดแอล-ฟินิโละลานีนในนำเดียงเชื้อ *E. coli* BL21 (DE3) ที่ใช้กีเลเซอร์ลดบริสุทธิ์เกรดภูมอสฟี ความเข้มข้น 5 กรัมต่อลิตรเป็นแหล่งการรับอน (การทดลองช้ำที่ 3)



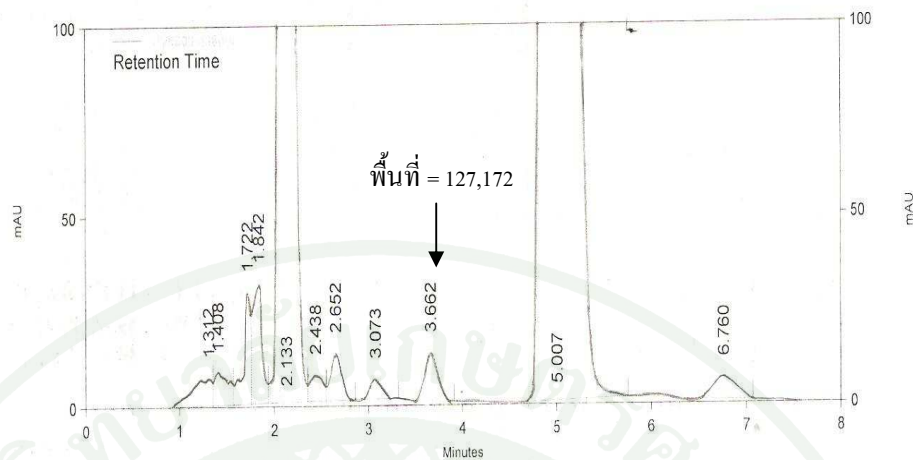
ภาพผนวกที่ 44 โปรแกรมติดตามผลการวิเคราะห์ปริมาณกรดอะมิโนชนิดแอล-ฟินิโละลานีนในนำเดียงเชื้อ *E. coli* BL21 (DE3) ที่ใช้กีเลเซอร์ลดบริสุทธิ์เกรดภูมอสฟี ความเข้มข้น 10 กรัมต่อลิตรเป็นแหล่งการรับอน (การทดลองช้ำที่ 1)



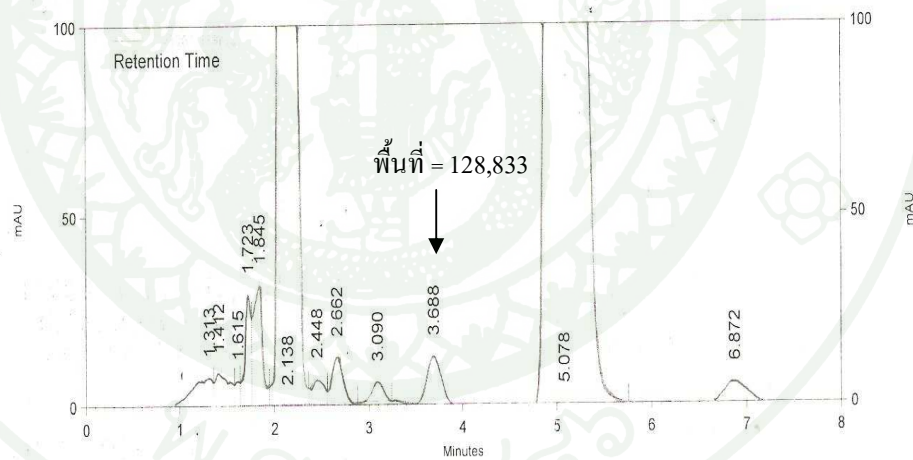
ภาพผนวกที่ 45 โปรแกรมトイแกรมผลการวิเคราะห์ปริมาณกรดอะมิโนชนิดแอด-ฟินิโละลานีนในนำเดียงเชื้อ *E. coli* BL21 (DE3) ที่ใช้กลีเซอรอลบิส్థីเกรดម៉ូអសី ความเข้มข้น 10 กรัมต่อลิตรเป็นแหล่งคาร์บอน (การทดลองช้ำที่ 2)



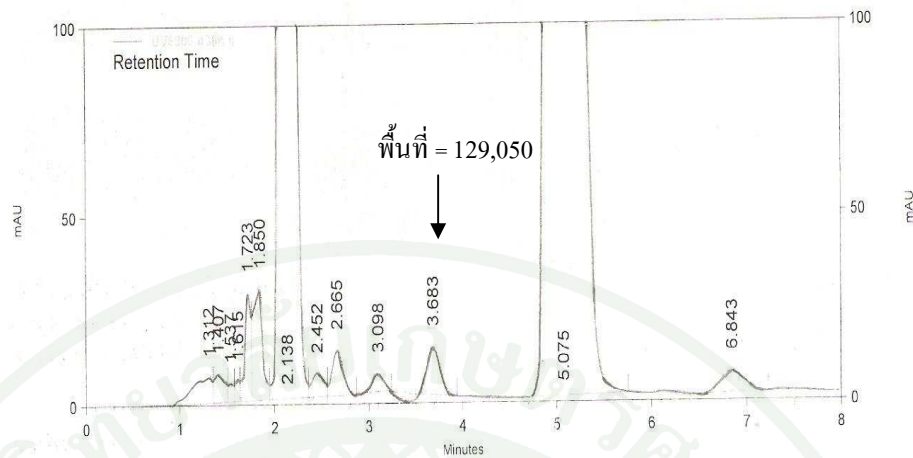
ภาพผนวกที่ 46 โปรแกรมトイแกรมผลการวิเคราะห์ปริมาณกรดอะมิโนชนิดแอด-ฟินิโละลานีนในนำเดียงเชื้อ *E. coli* BL21 (DE3) ที่ใช้กลីเซអូលបិស్థីเกรដម៉ូអសី ความเข้มข้น 10 กรัมต่อลิตรเป็นแหล่งคาร์บอน (การทดลองช้ำที่ 3)



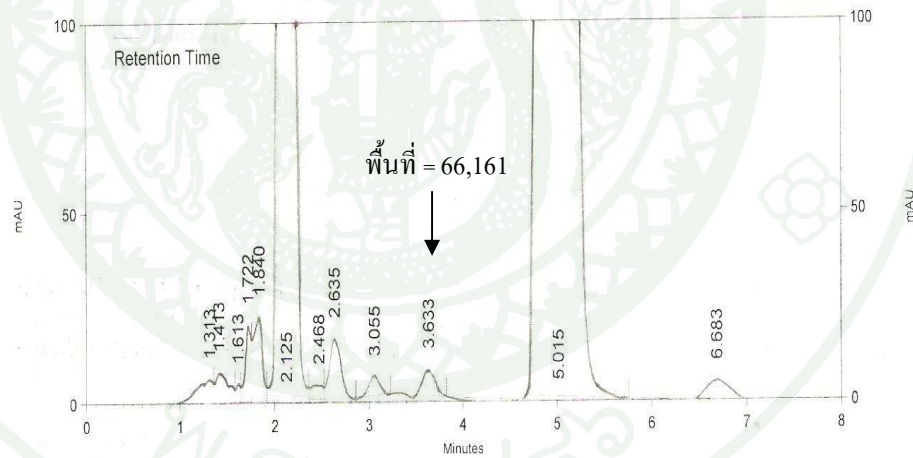
ภาพผนวกที่ ๔๗ โปรแกรมติดตามผลการวิเคราะห์ปริมาณกรดอะมิโนชนิดแอล-ฟินิโละลานีนในนำเดียงเชื้อ *E. coli* BL21 (DE3) ที่ใช้กลีเซอรอลบิส్థុបីក្រដូយអេសិធន ความเข้มข้น 30 กรัมต่อลิตรเป็นแหล่งการรับอน(การทดลองชำที่ 1)



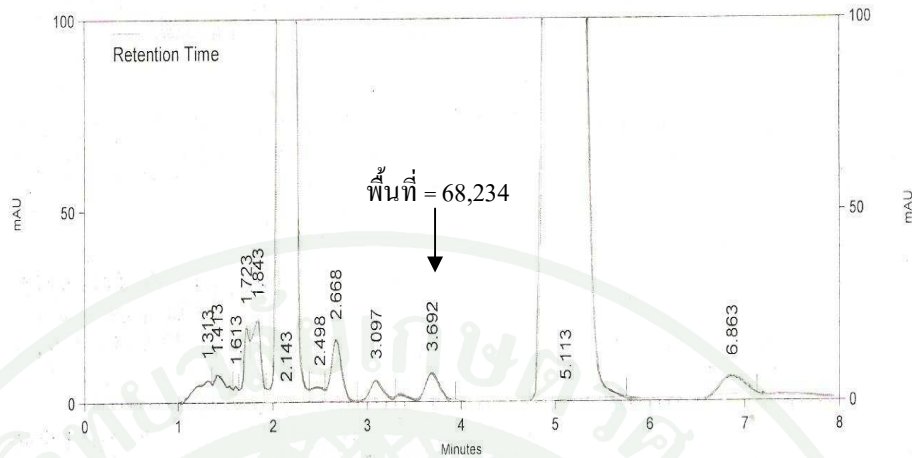
ภาพผนวกที่ ๔๘ โปรแกรมติดตามผลการวิเคราะห์ปริมาณกรดอะมิโนชนิดแอล-ฟินิโละลานีนในนำเดียงเชื้อ *E. coli* BL21 (DE3) ที่ใช้กลีเซอรอลบิส్థុបីក្រដូយអេសិធន ความเข้มข้น 30 กรัมต่อลิตรเป็นแหล่งการรับอน(การทดลองชำที่ 2)



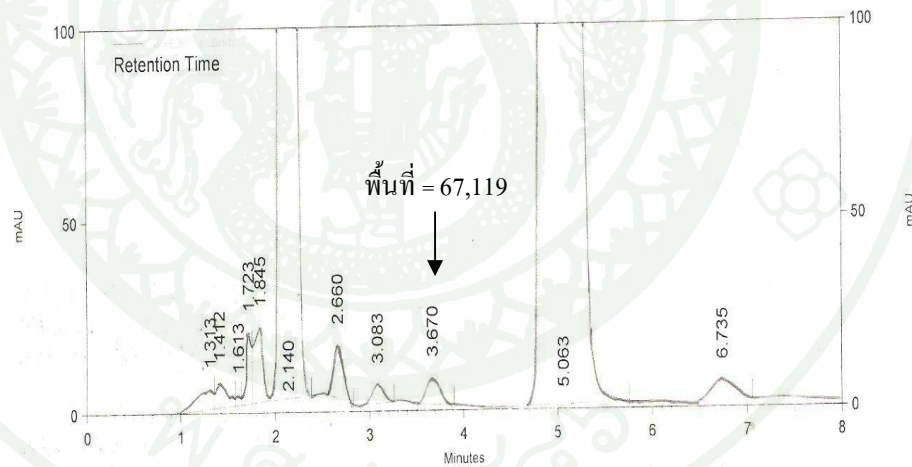
ภาพผนวกที่ 99 โคมาราโต้แกรมผลการวิเคราะห์ปริมาณกรดอะมิโนชนิดแอล-ฟินิโละลานีนในน้ำเลี้ยงเชื้อ *E. coli* BL21 (DE3) ที่ใช้กลีเซอรอลบริสุทธิ์เกรดภูมิอสฟี ความเข้มข้น 30 กรัมต่อลิตรเป็นแหล่งคาร์บอน(การทดลองช้ำที่ 3)



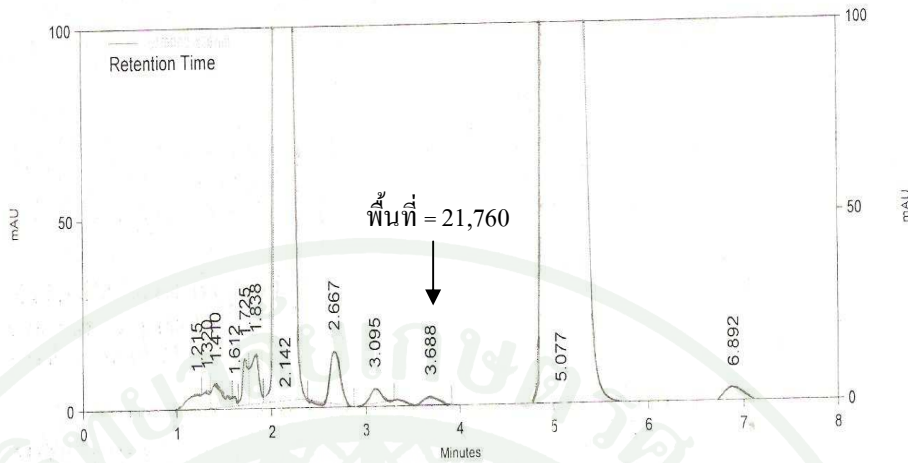
ภาพผนวกที่ 100 โคมาราโต้แกรมผลการวิเคราะห์ปริมาณกรดอะมิโนชนิดแอล-ฟินิโละลานีนในน้ำเลี้ยงเชื้อ *E. coli* BL21 (DE3) ที่ใช้กลีเซอรอลบริสุทธิ์เกรดภูมิอสฟี ความเข้มข้น 50 กรัมต่อลิตรเป็นแหล่งคาร์บอน(การทดลองช้ำที่ 1)



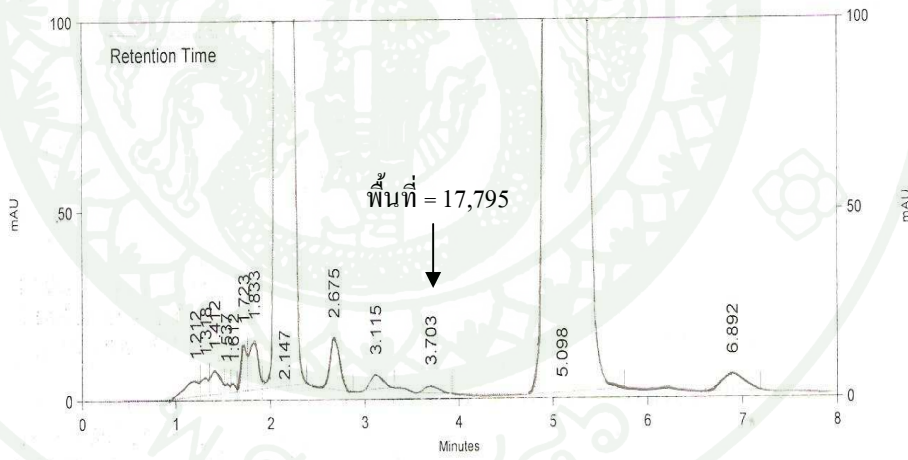
ภาพผนวกที่ ง11 โคมามาโต้แกรมผลการวิเคราะห์ปริมาณกรดอะมิโนชนิดแอล-ฟีนิโละลานินในน้ำเลี้ยงเชื้อ *E. coli* BL21 (DE3) ที่ใช้กลีเซอรอลบิส్తుథీเกรดมูเอสพี ความเข้มข้น 50 กรัมต่อลิตรเป็นแหล่งการรับอน (การทดลองชุดที่ 2)



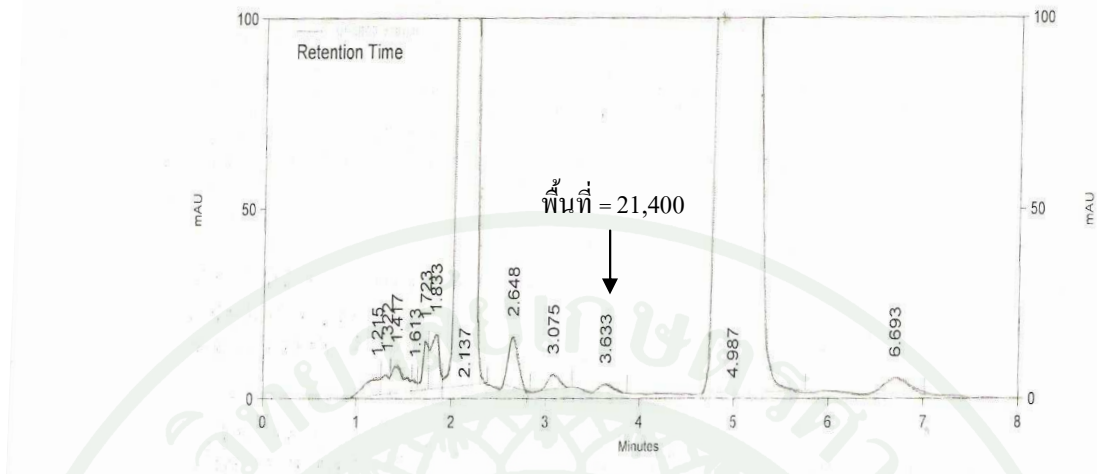
ภาพผนวกที่ ง12 โคมามาโต้แกรมผลการวิเคราะห์ปริมาณกรดอะมิโนชนิดแอล-ฟีนิโละลานินในน้ำเลี้ยงเชื้อ *E. coli* BL21 (DE3) ที่ใช้กลีเซอรอลบิส్తుథీเกรดมูเอสพี ความเข้มข้น 50 กรัมต่อลิตรเป็นแหล่งการรับอน (การทดลองชุดที่ 3)



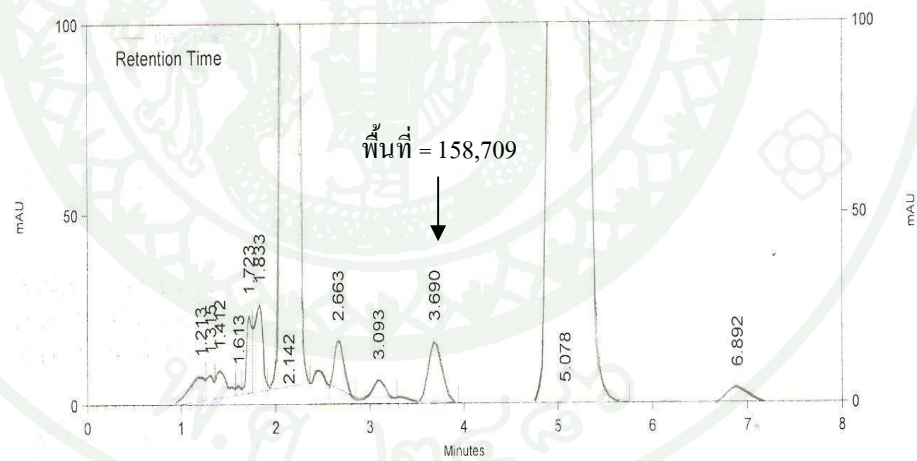
ภาพผนวกที่ 13 โศร์ม่าโต้แกรมผลการวิเคราะห์ปริมาณกรดอะมิโนชนิดแออล-ฟีนิโละลาโนนในน้ำเลี้ยงเชื้อ *E. coli* BL21 (DE3) ที่ใช้กลีเซอรอลดิบที่ผ่านการปรับค่าพีเอชเป็น 3 ความเข้มข้น 5 กรัมต่อลิตรเป็นแหล่งคาร์บอน (การทดลองชำนาญที่ 1)



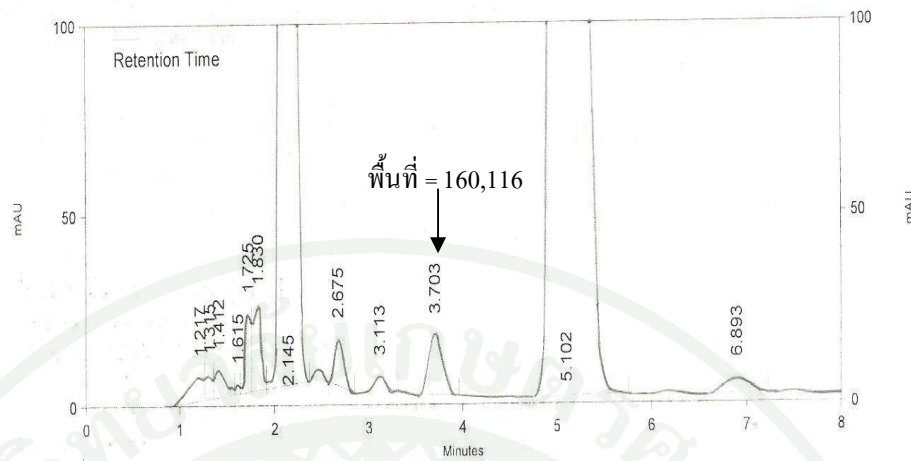
ภาพผนวกที่ 14 โศร์ม่าโต้แกรมผลการวิเคราะห์ปริมาณกรดอะมิโนชนิดแออล-ฟีนิโละลาโนนในน้ำเลี้ยงเชื้อ *E. coli* BL21 (DE3) ที่ใช้กลีเซอรอลดิบที่ผ่านการปรับค่าพีเอชเป็น 3 ความเข้มข้น 5 กรัมต่อลิตรเป็นแหล่งคาร์บอน (การทดลองชำนาญที่ 2)



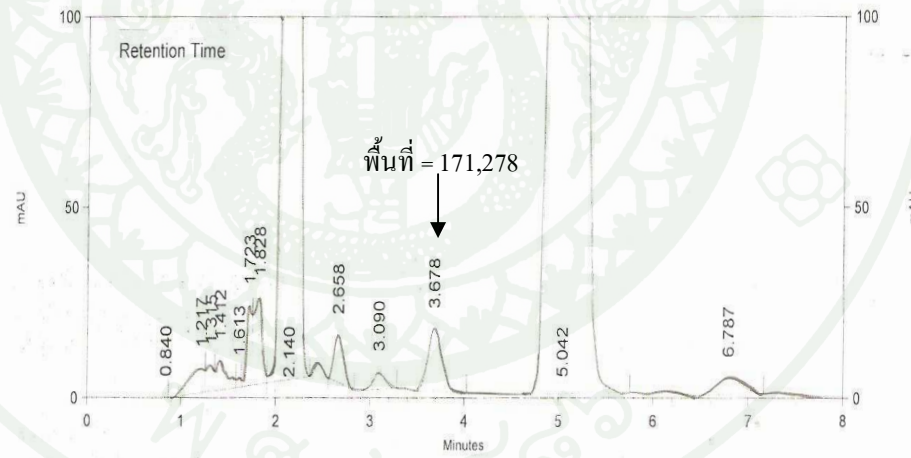
ภาพผนวกที่ 15 โปรแกรมติดตามผลการวิเคราะห์ปริมาณกรดอะมิโนชนิดแอล-ฟีนิลอะลานีนในน้ำเลี้ยงเชื้อ *E. coli* BL21 (DE3) ที่ใช้กลีเซอรอลดิบที่ผ่านการปรับค่าพีเอชเป็น 3 ความเข้มข้น 5 กรัมต่อลิตรเป็นแหล่งคาร์บอน (การทดลองชุดที่ 3)



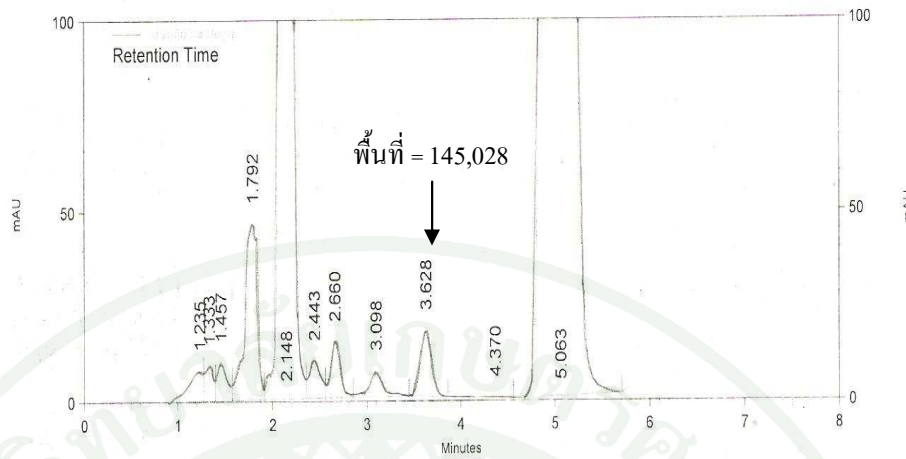
ภาพผนวกที่ 16 โปรแกรมติดตามผลการวิเคราะห์ปริมาณกรดอะมิโนชนิดแอล-ฟีนิลอะลานีนในน้ำเลี้ยงเชื้อ *E. coli* BL21 (DE3) ที่ใช้กลีเซอรอลดิบที่ผ่านการปรับค่าพีเอชเป็น 3 ความเข้มข้น 10 กรัมต่อลิตรเป็นแหล่งคาร์บอน (การทดลองชุดที่ 1)



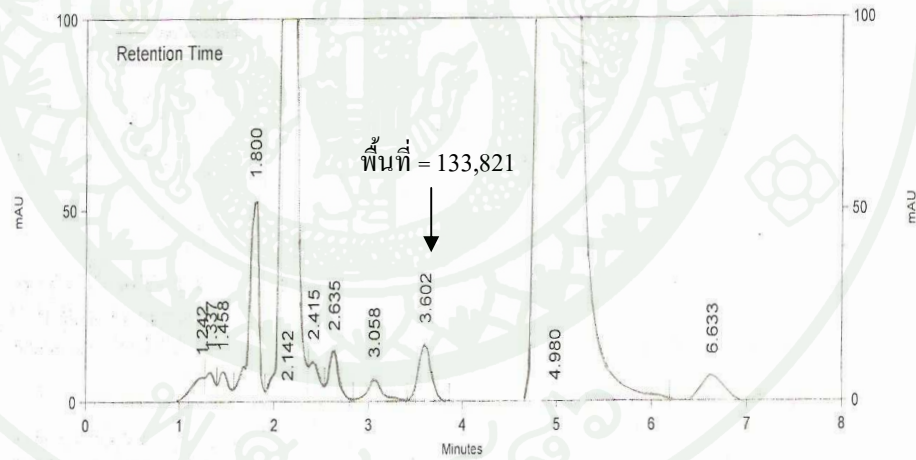
ภาพผนวกที่ 17 โปรแกรมトイแกรมผลการวิเคราะห์ปริมาณกรดอะมิโนชนิดแออล-ฟินิโลลาโนในน้ำเลือดเชื้อ *E. coli* BL21 (DE3) ที่ใช้กลีเซอรอลดิบที่ผ่านการปรับค่าพีเอชเป็น 3 ความเข้มข้น 10 กรัมต่อลิตรเป็นแหล่งคาร์บอน (การทดลองซ้ำที่ 2)



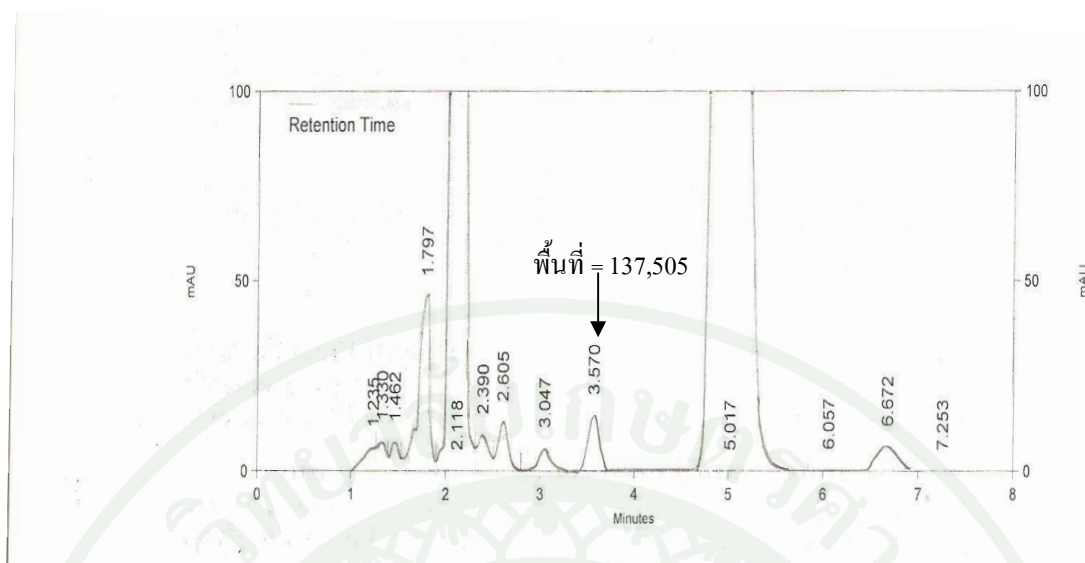
ภาพผนวกที่ 18 โปรแกรมトイแกรมผลการวิเคราะห์ปริมาณกรดอะมิโนชนิดแออล-ฟินิโลลาโนในน้ำเลือดเชื้อ *E. coli* BL21 (DE3) ที่ใช้กลีเซอรอลดิบที่ผ่านการปรับค่าพีเอชเป็น 3 ความเข้มข้น 10 กรัมต่อลิตรเป็นแหล่งคาร์บอน (การทดลองซ้ำที่ 3)



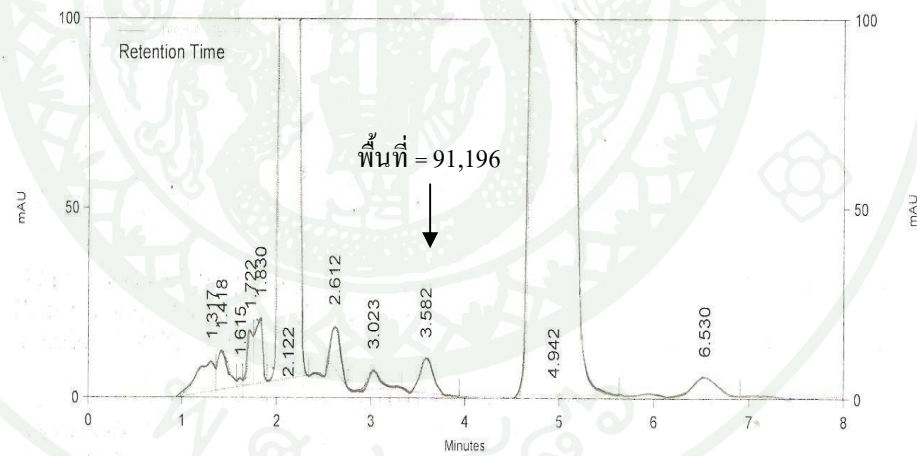
ภาพผนวกที่ 19 โปรแกรมติดตามผลการวิเคราะห์ปริมาณกรดอะมิโนชนิดแอล-ฟีนิลอะลานินในน้ำเลี้ยงเชื้อ *E. coli* BL21 (DE3) ที่ใช้กลีเซอรอลดิบที่ผ่านการปรับค่าพีเอชเป็น 3 ความเข้มข้น 30 กรัมต่อลิตรเป็นแหล่งคาร์บอน (การทดลองชุดที่ 1)



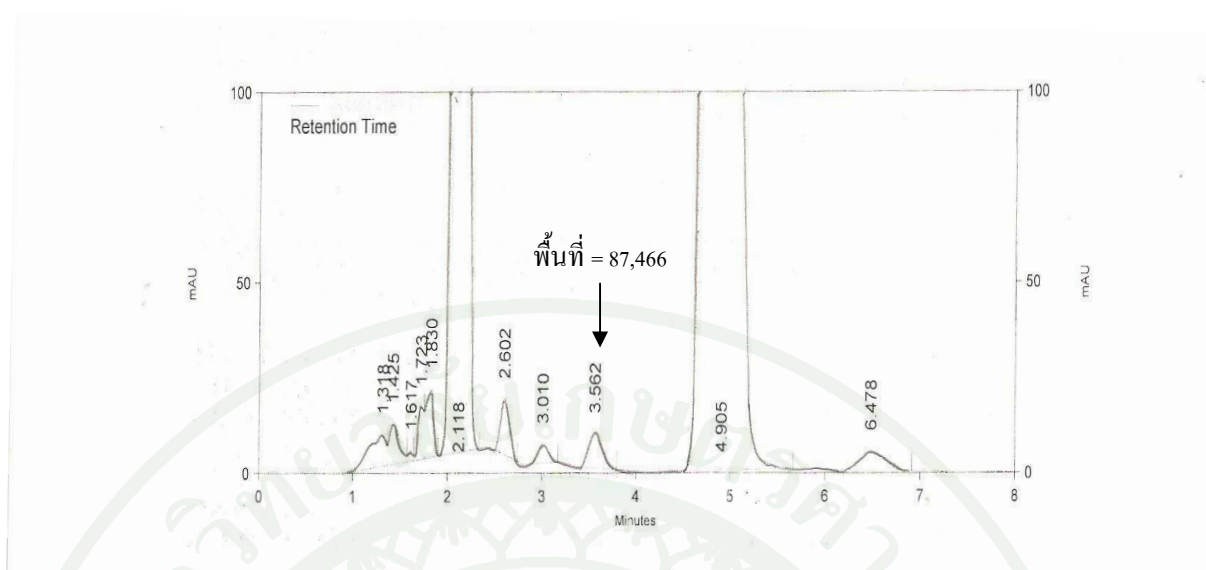
ภาพผนวกที่ 20 โปรแกรมติดตามผลการวิเคราะห์ปริมาณกรดอะมิโนชนิดแอล-ฟีนิลอะลานินในน้ำเลี้ยงเชื้อ *E. coli* BL21 (DE3) ที่ใช้กลีเซอรอลดิบที่ผ่านการปรับค่าพีเอชเป็น 3 ความเข้มข้น 30 กรัมต่อลิตรเป็นแหล่งคาร์บอน (การทดลองชุดที่ 2)



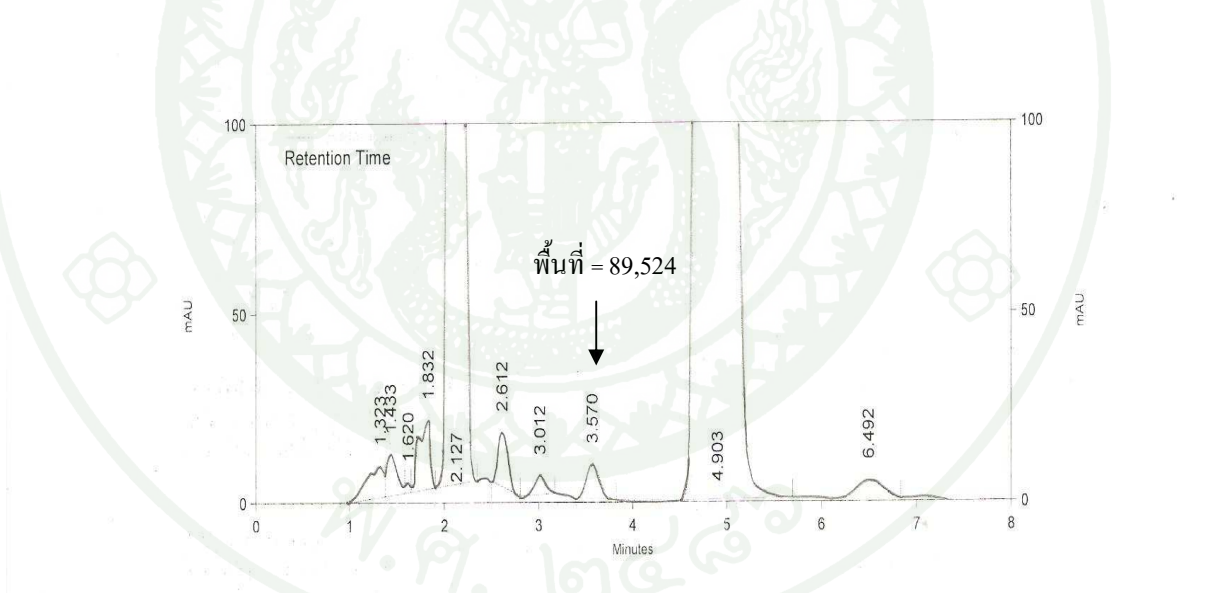
ภาพผนวกที่ 121 โคมามาโต้แกรมผลการวิเคราะห์ปริมาณกรดอะมิโนชนิดแออล-ฟีนิโลลาโนนในน้ำเลี้ยงเชื้อ *E. coli* BL21 (DE3) ที่ใช้กลีเซอรอลดิบที่ผ่านการปรับค่าพีเอชเป็น 3 ความเข้มข้น 30 กรัมต่อลิตรเป็นแหล่งคาร์บอน (การทดลองชำที่ 3)



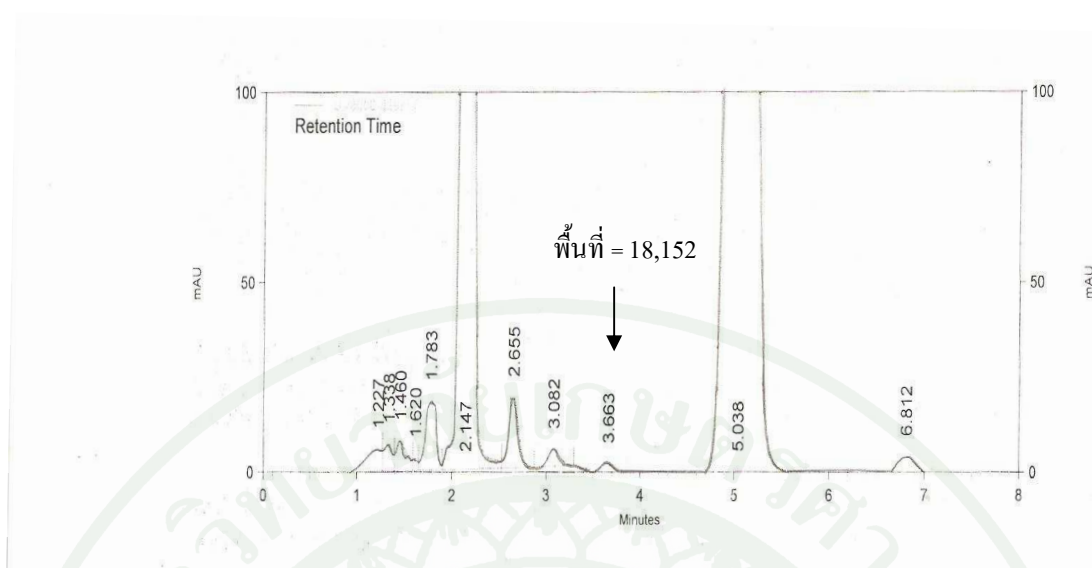
ภาพผนวกที่ 122 โคมามาโต้แกรมผลการวิเคราะห์ปริมาณกรดอะมิโนชนิดแออล-ฟีนิโลลาโนนในน้ำเลี้ยงเชื้อ *E. coli* BL21 (DE3) ที่ใช้กลีเซอรอลดิบที่ผ่านการปรับค่าพีเอชเป็น 3 ความเข้มข้น 50 กรัมต่อลิตรเป็นแหล่งคาร์บอน (การทดลองชำที่ 1)



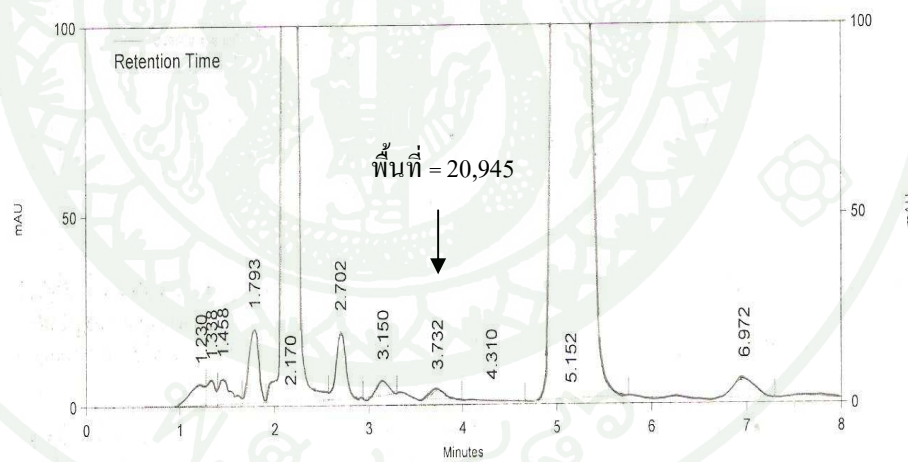
ภาพผนวกที่ 123 โคม่าโตแกรมผลการวิเคราะห์ปริมาณกรดอะมิโนชนิดแออล-ฟีนิโละลานีนในน้ำเลี้ยงเชื้อ *E. coli* BL21 (DE3) ที่ใช้กลีเซอรอลดิบที่ผ่านการปรับค่าพีเอชเป็น 3 ความเข้มข้น 50 กรัมต่อลิตรเป็นแหล่งคาร์บอน (การทดลองชำที่ 2)



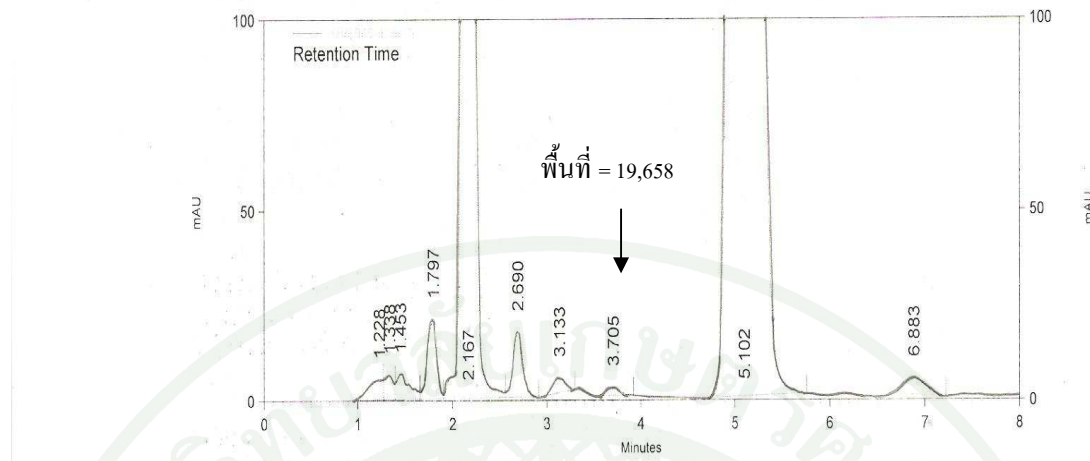
ภาพผนวกที่ 124 โคม่าโตแกรมผลการวิเคราะห์ปริมาณกรดอะมิโนชนิดแออล-ฟีนิโละลานีนในน้ำเลี้ยงเชื้อ *E. coli* BL21 (DE3) ที่ใช้กลีเซอรอลดิบที่ผ่านการปรับค่าพีเอชเป็น 3 ความเข้มข้น 50 กรัมต่อลิตรเป็นแหล่งคาร์บอน (การทดลองชำที่ 3)



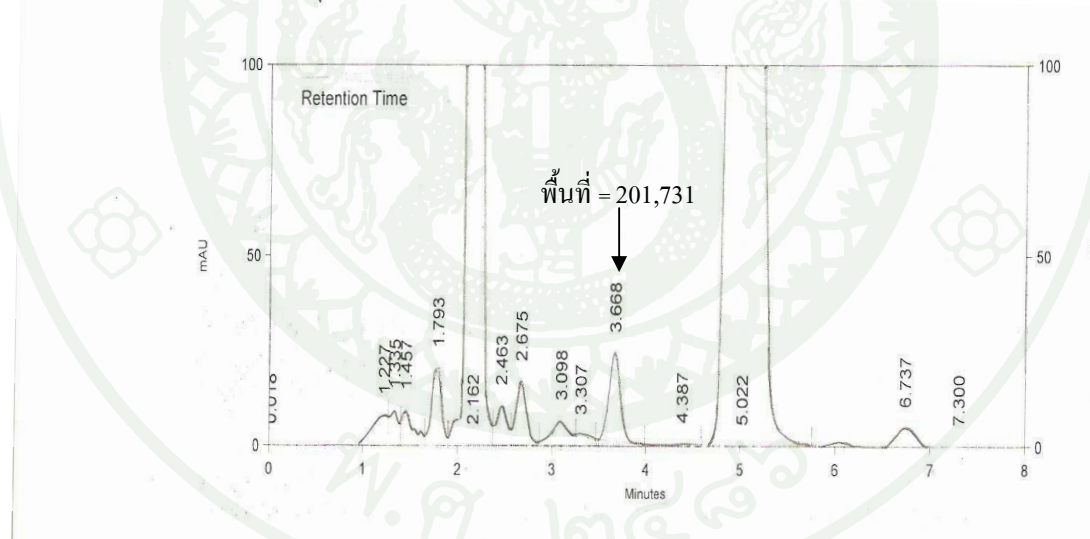
ภาพผนวกที่ 125 โปรแกรมโตแกรมผลการวิเคราะห์ปริมาณกรดอะมิโนชนิดแออล-ฟีนิโลลาโนนในน้ำเลี้ยงเชื้อ *E. coli* BL21 (DE3) ที่ใช้กลีเซอรอลดิบที่ผ่านการปรับค่าพีเอชเป็น 5 ความเข้มข้น 5 กรัมต่อลิตรเป็นแหล่งคาร์บอน (การทดลองชำที่ 1)



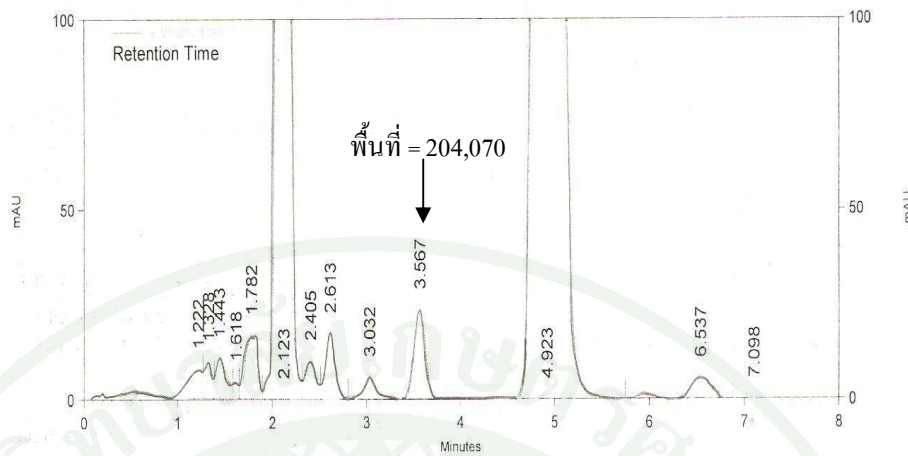
ภาพผนวกที่ 126 โปรแกรมโตแกรมผลการวิเคราะห์ปริมาณกรดอะมิโนชนิดแออล-ฟีนิโลลาโนนในน้ำเลี้ยงเชื้อ *E. coli* BL21 (DE3) ที่ใช้กลีเซอรอลดิบที่ผ่านการปรับค่าพีเอชเป็น 5 ความเข้มข้น 5 กรัมต่อลิตรเป็นแหล่งคาร์บอน (การทดลองชำที่ 2)



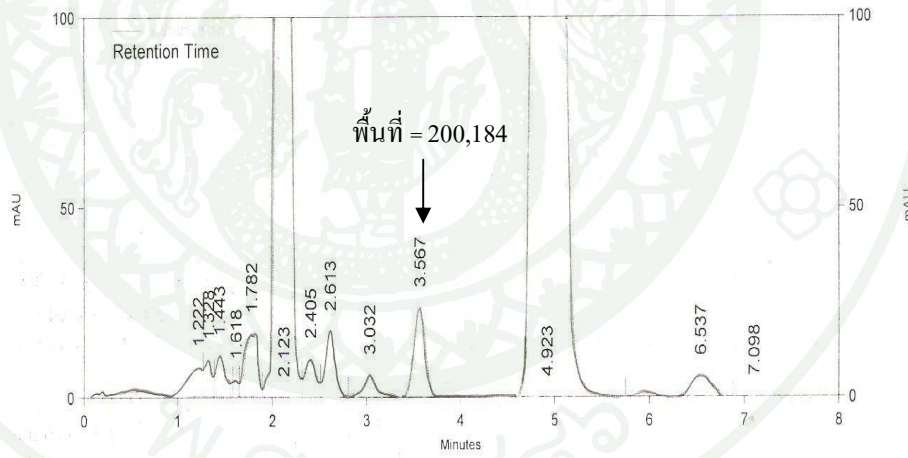
ภาพผนวกที่ 127 โครโนໂടິແກຣມພລກາຮົວເຄະຫຼາດທີ່ປ່ຽນມາດອະນຸມືໂນຊນິດແອລ-ຝິນໂລະລານີນໃນນ້ຳເລີບເຂົ້ອ *E. coli* BL21 (DE3) ທີ່ໃຊ້ກັ່ງເຊື່ອຮອດດົບທີ່ຜ່ານການປ່ຽນຄ່າພື້ນເອົ້າເປັນ 5 ຄວາມເຂັ້ມເຂົ້ນ 5 ກຣັມຕ່ອລິຕົຮເປັນແຫລ່ງກາຮົບອນ (ກາຣທົດລອງໜ້າທີ່ 3)



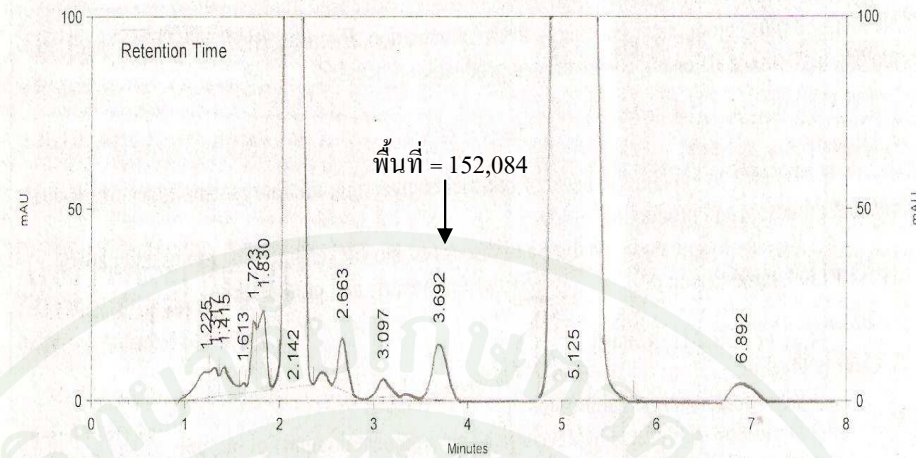
ภาพผนวกที่ 128 ໂຄຣນາໂടິແກຣມພລກາຮົວເຄະຫຼາດທີ່ປ່ຽນມາດອະນຸມືໂນຊນິດແອລ-ຝິນໂລະລານີນໃນນ້ຳເລີບເຂົ້ອ *E. coli* BL21 (DE3) ທີ່ໃຊ້ກັ່ງເຊື່ອຮອດດົບທີ່ຜ່ານການປ່ຽນຄ່າພື້ນເອົ້າເປັນ 5 ຄວາມເຂັ້ມເຂົ້ນ 10 ກຣັມຕ່ອລິຕົຮເປັນແຫລ່ງກາຮົບອນ (ກາຣທົດລອງໜ້າທີ່ 1)



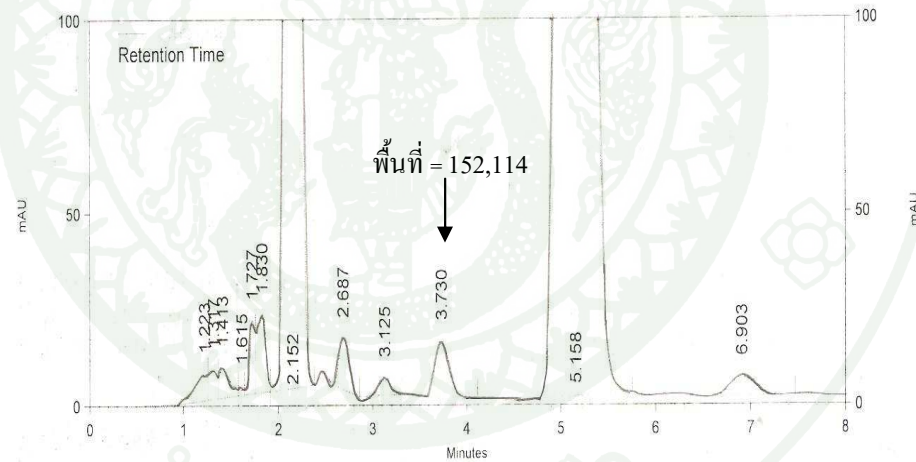
ภาพผนวกที่ ง29 โคม่าโต้แกรมผลการวิเคราะห์ปริมาณกรดอะมิโนชนิดแอล-ฟีนิลอะลานีนในน้ำเลี้ยงเชื้อ *E. coli* BL21 (DE3) ที่ใช้กลีเซอรอลดิบที่ผ่านการปรับค่าพีเอชเป็น 5 ความเข้มข้น 10 กรัมต่อลิตรเป็นแหล่งคาร์บอน (การทดลองซ้ำที่ 2)



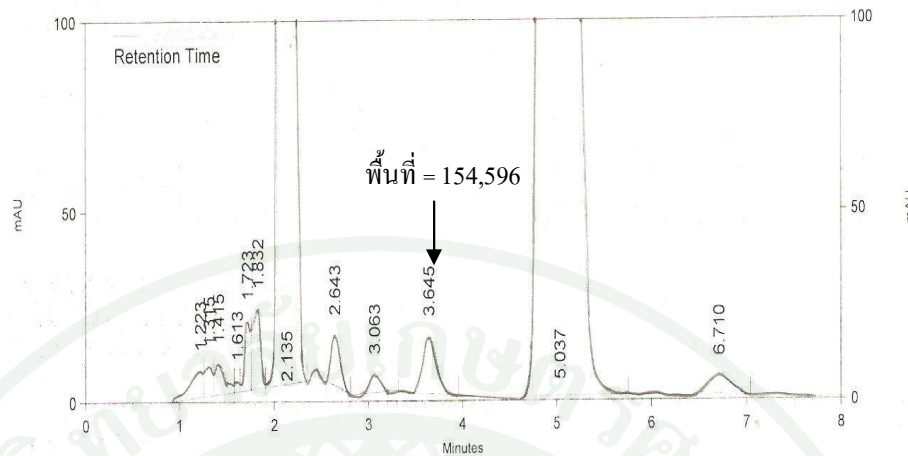
ภาพผนวกที่ ง30 โคม่าโต้แกรมผลการวิเคราะห์ปริมาณกรดอะมิโนชนิดแอล-ฟีนิลอะลานีนในน้ำเลี้ยงเชื้อ *E. coli* BL21 (DE3) ที่ใช้กลีเซอรอลดิบที่ผ่านการปรับค่าพีเอชเป็น 5 ความเข้มข้น 10 กรัมต่อลิตรเป็นแหล่งคาร์บอน (การทดลองซ้ำที่ 3)



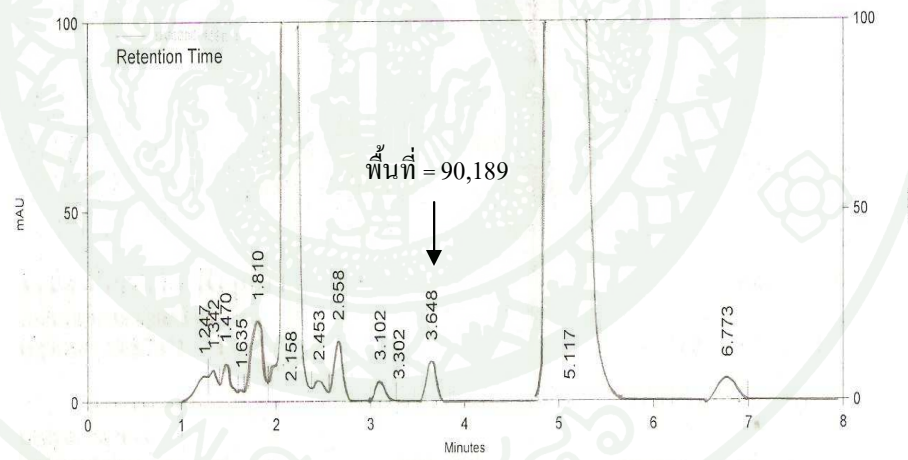
ภาพพนวกที่ 31 โกรมาโทแกรมผลการวิเคราะห์ปริมาณกรดอะมิโนชนิดแอล-ฟีนิลอะลานีนในน้ำเลี้ยงเชื้อ *E. coli* BL21 (DE3) ที่ใช้กลีเซอรอลดิบที่ผ่านการปรับค่าพีเอชเป็น 5 ความเข้มข้น 30 กรัมต่อลิตรเป็นแหล่งคาร์บอน (การทดลองชำนาญ 1)



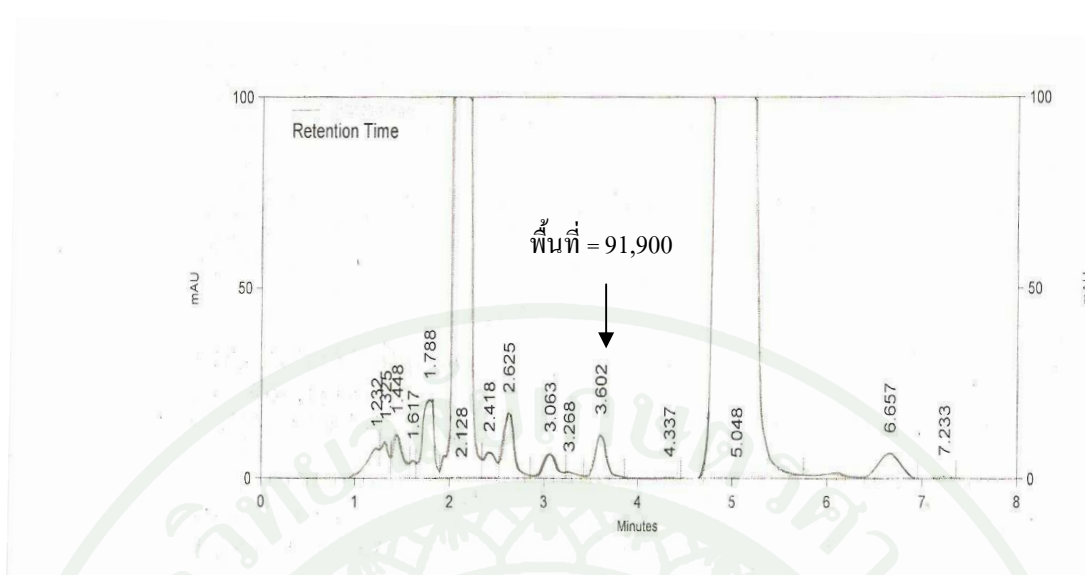
ภาพพนวกที่ 32 โกรมาโทแกรมผลการวิเคราะห์ปริมาณกรดอะมิโนชนิดแอล-ฟีนิลอะลานีนในน้ำเลี้ยงเชื้อ *E. coli* BL21 (DE3) ที่ใช้กลีเซอรอลดิบที่ผ่านการปรับค่าพีเอชเป็น 5 ความเข้มข้น 30 กรัมต่อลิตรเป็นแหล่งคาร์บอน (การทดลองชำนาญ 2)



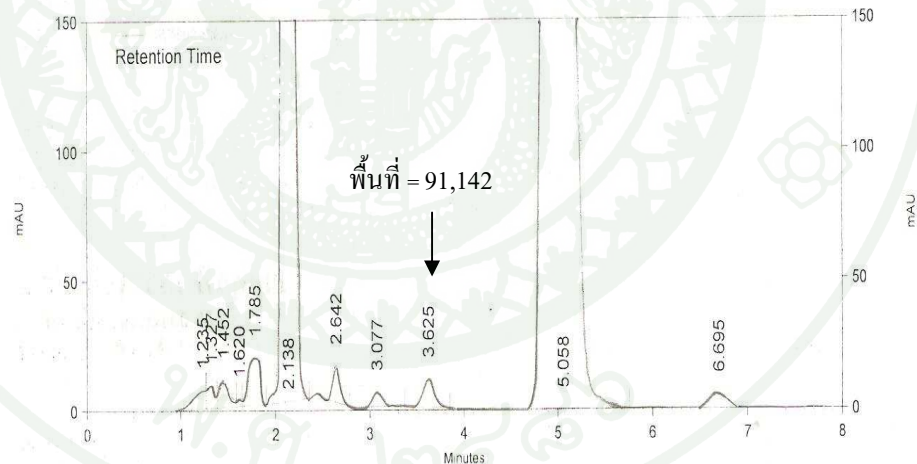
ภาพผนวกที่ 33 โคตรามาโต้แกรมผลการวิเคราะห์ปริมาณกรดอะมิโนชนิดแอล-ฟีนิลอะลานีนในน้ำเลี้ยงเชื้อ *E. coli* BL21 (DE3) ที่ใช้กลีเซอรอลดิบที่ผ่านการปรับค่าพีเอชเป็น 5 ความเข้มข้น 30 กรัมต่อลิตรเป็นแหล่งการรับอน (การทดลองชุดที่ 3)



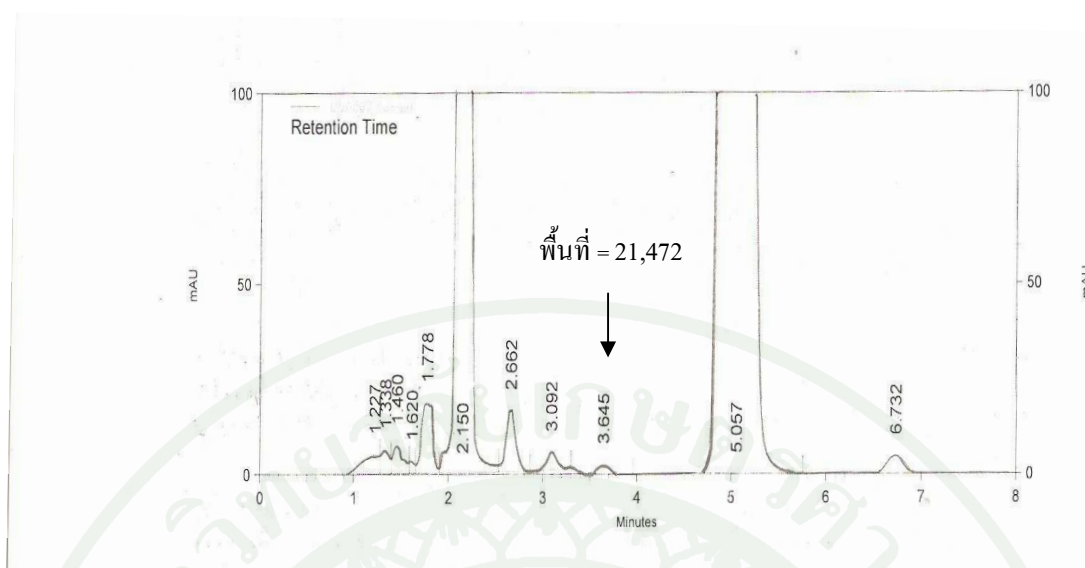
ภาพผนวกที่ 34 โคตรามาโต้แกรมผลการวิเคราะห์ปริมาณกรดอะมิโนชนิดแอล-ฟีนิลอะลานีนในน้ำเลี้ยงเชื้อ *E. coli* BL21 (DE3) ที่ใช้กลีเซอรอลดิบที่ผ่านการปรับค่าพีเอชเป็น 5 ความเข้มข้น 50 กรัมต่อลิตรเป็นแหล่งการรับอน (การทดลองชุดที่ 1)



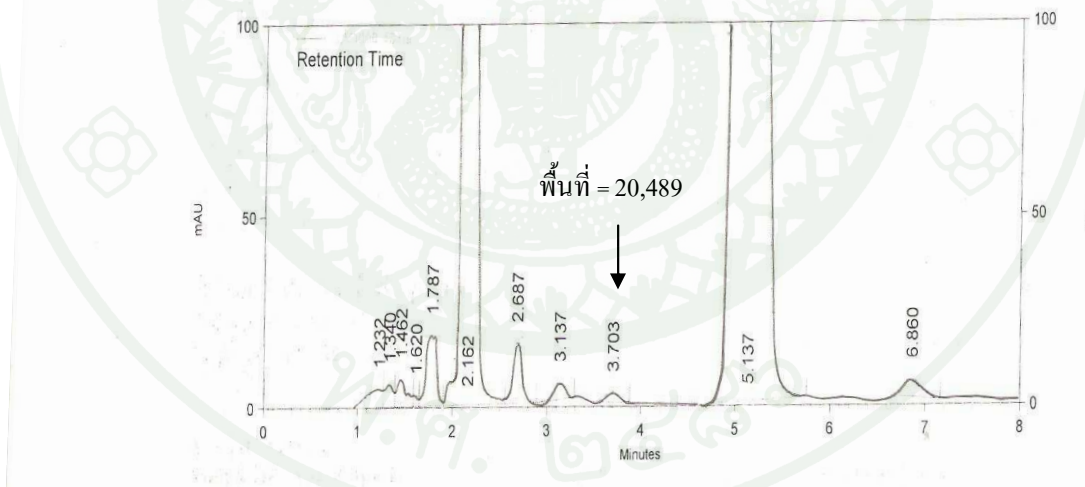
ภาพผนวกที่ ๑๓๕ โคม่าโต้แกรมผลการวิเคราะห์ปริมาณกรดอะมิโนชนิดแออล-ฟีนิโละลานีนในน้ำเลี้ยงเชื้อ *E. coli* BL21 (DE3) ที่ใช้กลีเซอรอลดิบที่ผ่านการปรับค่าพีเอชเป็น 5 ความเข้มข้น 50 กรัมต่อลิตรเป็นแหล่งคาร์บอน (การทดลองชำที่ 2)



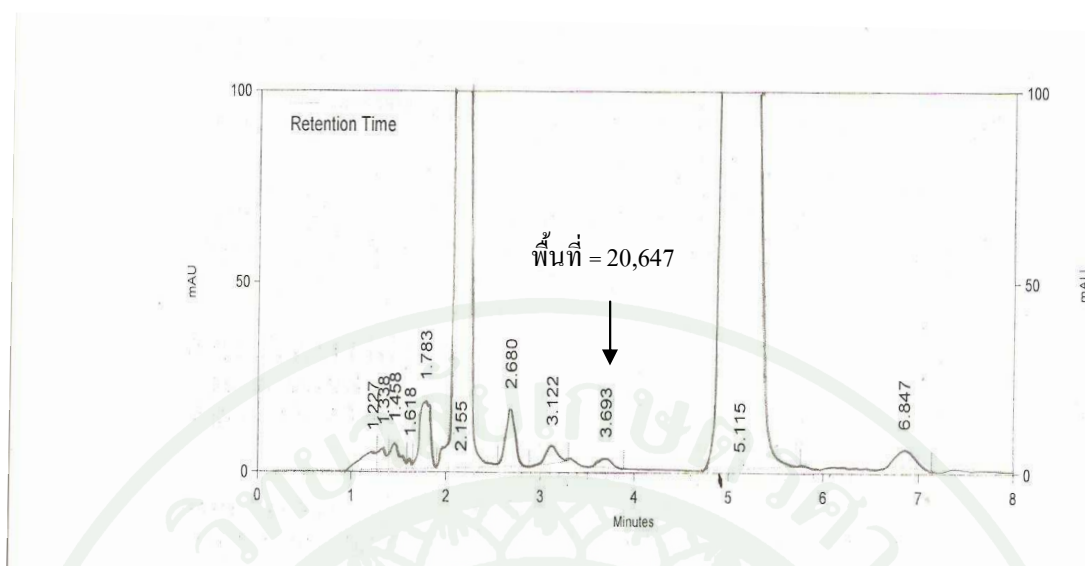
ภาพผนวกที่ ๑๓๖ โคอม่าโต้แกรมผลการวิเคราะห์ปริมาณกรดอะมิโนชนิดแออล-ฟีนิโละลานีนในน้ำเลี้ยงเชื้อ *E. coli* BL21 (DE3) ที่ใช้กลีเซอรอลดิบที่ผ่านการปรับค่าพีเอชเป็น 5 ความเข้มข้น 50 กรัมต่อลิตรเป็นแหล่งคาร์บอน (การทดลองชำที่ 3)



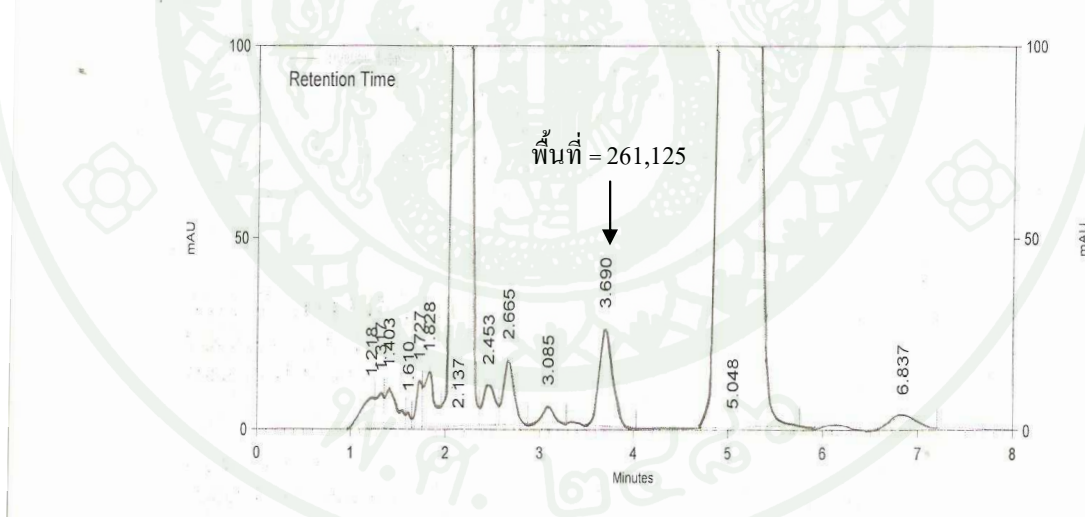
ภาพผนวกที่ 37 โคม่าโตแกรมผลการวิเคราะห์ปริมาณกรดอะมิโนชนิดแออล-ฟีนิโละลานีนในน้ำเลี้ยงเชื้อ *E. coli* BL21 (DE3) ที่ใช้กลีเซอรอลดิน ความเข้มข้น 5 กรัมต่อลิตร เป็นแหล่งการรับอน (การทดลองชำที่ 1)



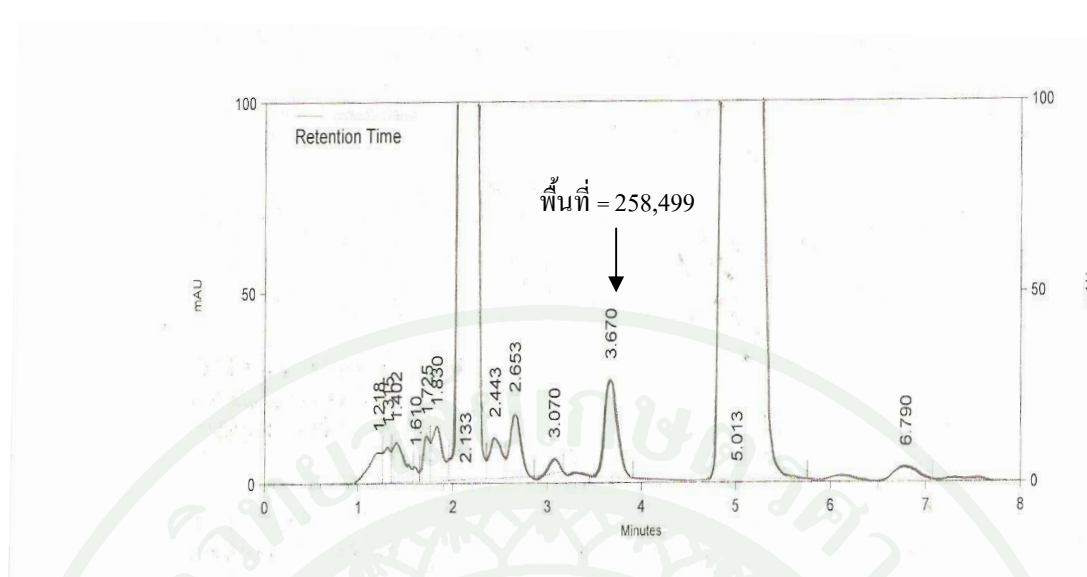
ภาพผนวกที่ 38 โคม่าโตแกรมผลการวิเคราะห์ปริมาณกรดอะมิโนชนิดแออล-ฟีนิโละลานีนในน้ำเลี้ยงเชื้อ *E. coli* BL21 (DE3) ที่ใช้กลีเซอรอลดิน ความเข้มข้น 5 กรัมต่อลิตร เป็นแหล่งการรับอน (การทดลองชำที่ 2)



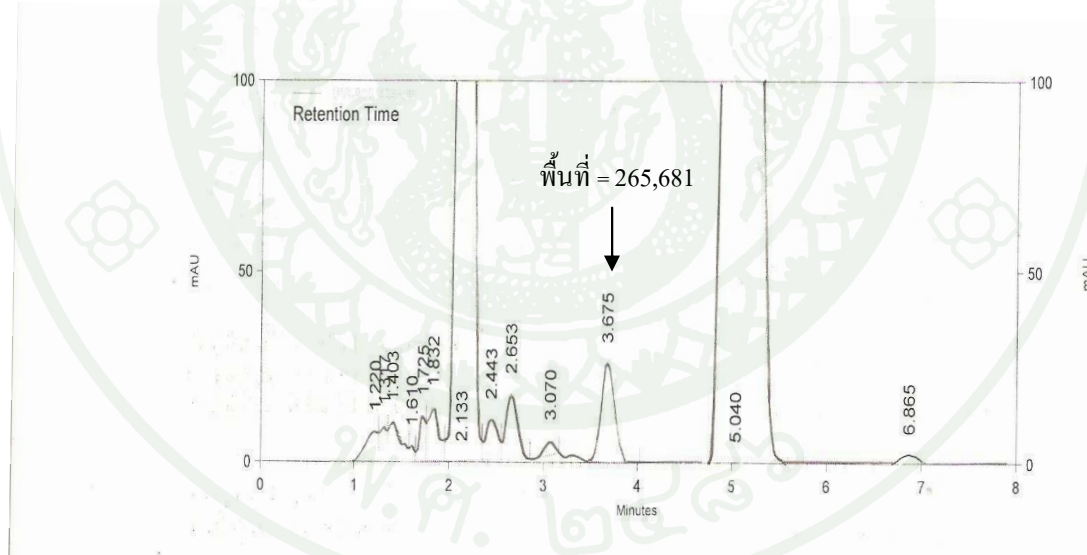
ภาพผนวกที่ 439 โคม่าโต้แกรมผลการวิเคราะห์ปริมาณกรดอะมิโนชนิดแออล-ฟินิโละลาโนนในน้ำเลี้ยงเชื้อ *E. coli* BL21 (DE3) ที่ใช้กลีเซอรอลดิบ ความเข้มข้น 5 กรัมต่อลิตร เป็นแหล่งการรับอน (การทดลองชำที่ 3)



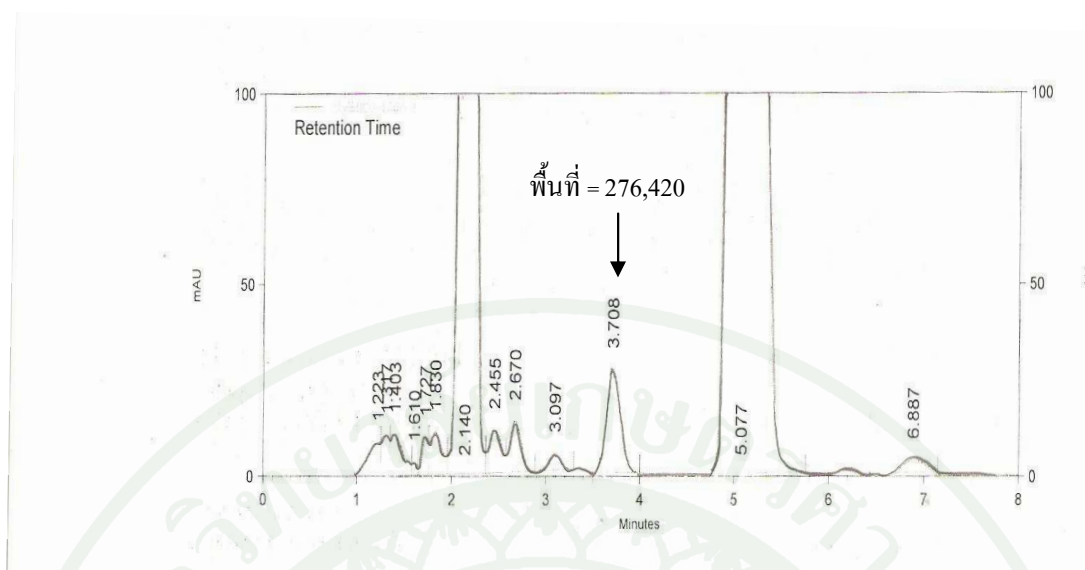
ภาพผนวกที่ 440 โคม่าโต้แกรมผลการวิเคราะห์ปริมาณกรดอะมิโนชนิดแออล-ฟินิโละลาโนนในน้ำเลี้ยงเชื้อ *E. coli* BL21 (DE3) ที่ใช้กลีเซอรอลดิบ ความเข้มข้น 10 กรัมต่อลิตร เป็นแหล่งการรับอน (การทดลองชำที่ 1)



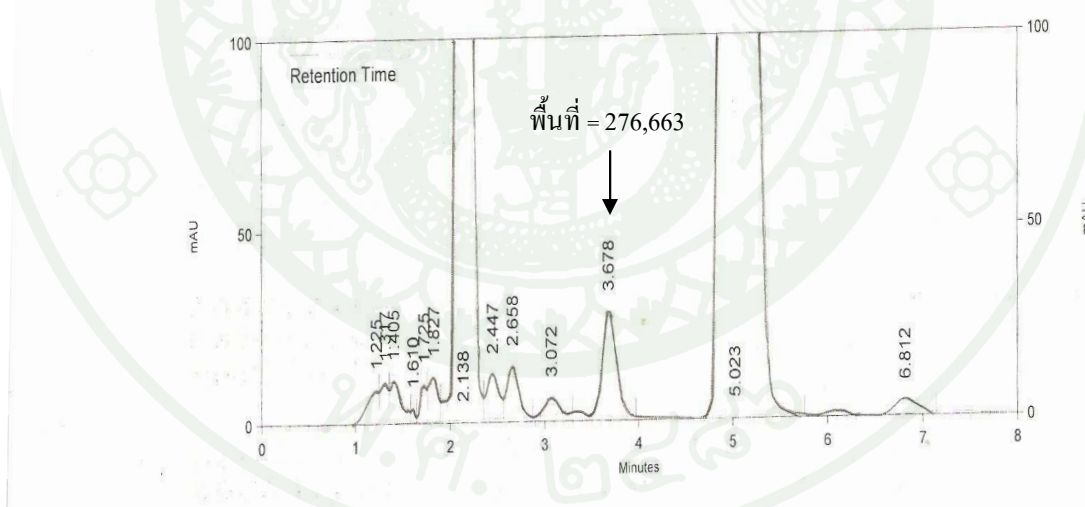
ภาพพนวกที่ 41 โกรมาโทแกรมผลการวิเคราะห์ปริมาณกรดอะมิโนชนิดแออล-ฟีนิโละลานินในน้ำเลี้ยงเชื้อ *E. coli* BL21 (DE3) ที่ใช้กลีเซอรอลดิบ ความเข้มข้น 10 กรัมต่อลิตรเป็นแหล่งคาร์บอน (การทดลองชำที่ 2)



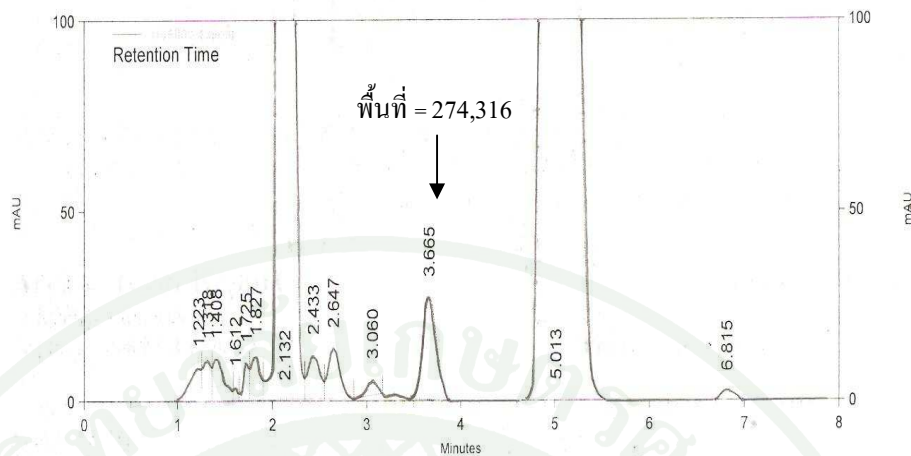
ภาพพนวกที่ 42 โกรมาโทแกรมผลการวิเคราะห์ปริมาณกรดอะมิโนชนิดแออล-ฟีนิโละลานินในน้ำเลี้ยงเชื้อ *E. coli* BL21 (DE3) ที่ใช้กลีเซอรอลดิบ ความเข้มข้น 10 กรัมต่อลิตรเป็นแหล่งคาร์บอน (การทดลองชำที่ 3)



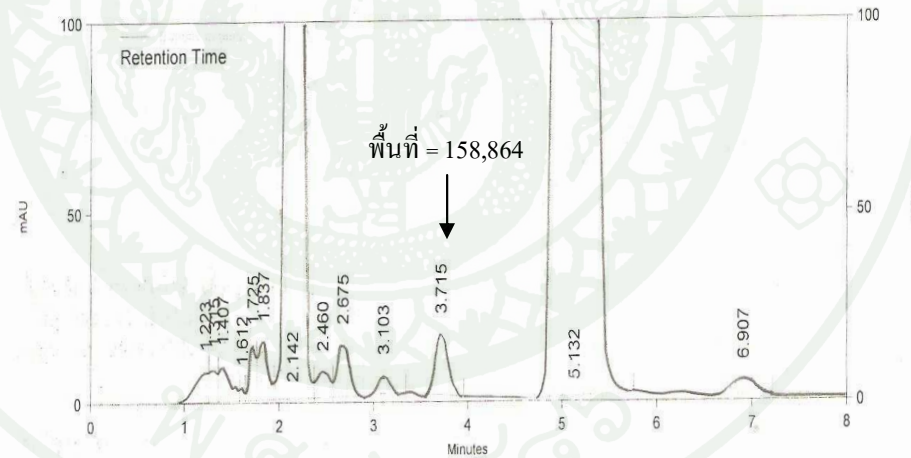
ภาพผนวกที่ 43 โกรามาโตแกรมผลการวิเคราะห์ปริมาณกรดอะมิโนชนิดแออล-ฟินิโละลาโนนในน้ำเลี้บงเชื้อ *E. coli* BL21 (DE3) ที่ใช้กลีเซอรอลดิบ ความเข้มข้น 30 กรัมต่อลิตรเป็นแหล่งคาร์บอน (การทดลองซ้ำที่ 1)



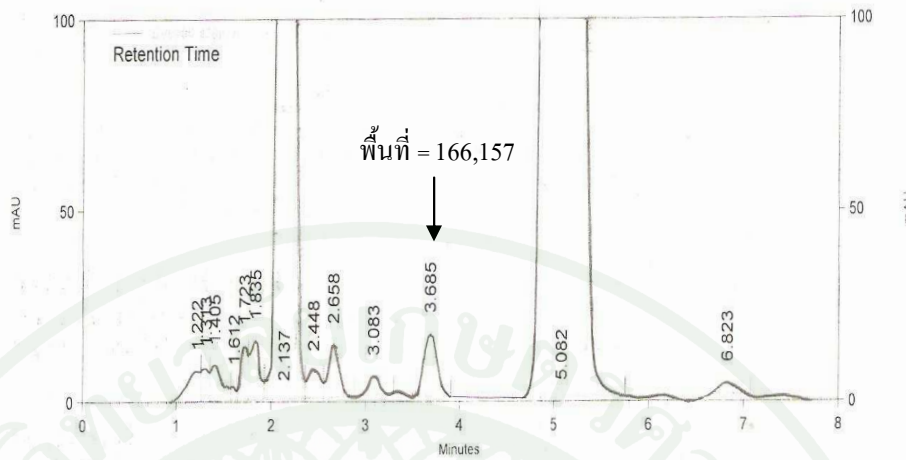
ภาพผนวกที่ 44 โกรามาโตแกรมผลการวิเคราะห์ปริมาณกรดอะมิโนชนิดแออล-ฟินิโละลาโนนในน้ำเลี้บงเชื้อ *E. coli* BL21 (DE3) ที่ใช้กลีเซอรอลดิบ ความเข้มข้น 30 กรัมต่อลิตรเป็นแหล่งคาร์บอน (การทดลองซ้ำที่ 2)



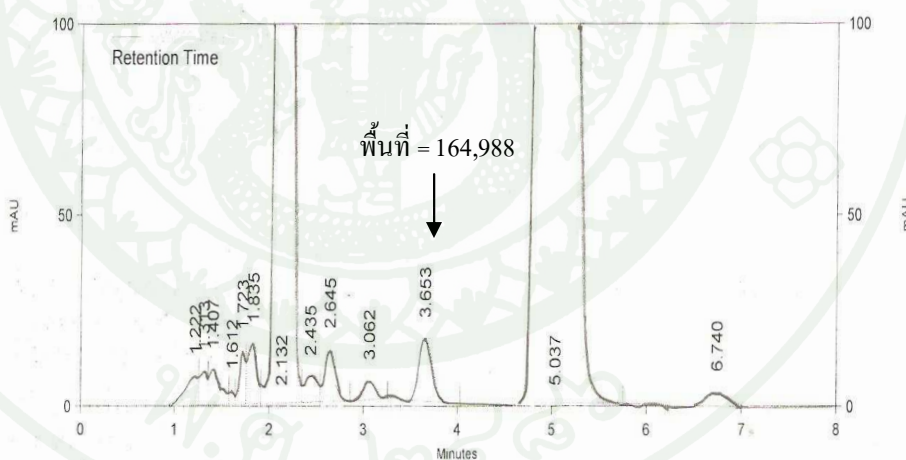
ภาพผนวกที่ 45 โกรามาโตแกรมผลการวิเคราะห์ปริมาณกรดอะมิโนชนิดแออล-ฟีนิลอะลานีนในน้ำเลี้บงเชื้อ *E. coli* BL21 (DE3) ที่ใช้กลีเซอรอลดิบ ความเข้มข้น 30 กรัมต่อลิตรเป็นแหล่งคาร์บอน (การทดลองชำที่ 3)



ภาพผนวกที่ 46 โกรามาโตแกรมผลการวิเคราะห์ปริมาณกรดอะมิโนชนิดแออล-ฟีนิลอะลานีนในน้ำเลี้บงเชื้อ *E. coli* BL21 (DE3) ที่ใช้กลีเซอรอลดิบ ความเข้มข้น 50 กรัมต่อลิตรเป็นแหล่งคาร์บอน (การทดลองชำที่ 1)



ภาพผนวกที่ 47 โคม่าโตแกรมผลการวิเคราะห์ปริมาณกรดอะมิโนชนิดแออล-ฟีนิโละลานีนในน้ำเลี้ยงเชื้อ *E. coli* BL21 (DE3) ที่ใช้กลีเซอรอลดิบ ความเข้มข้น 50 กรัมต่อลิตรเป็นแหล่งคาร์บอน (การทดลองช้ำที่ 2)



ภาพผนวกที่ 48 โคม่าโตแกรมผลการวิเคราะห์ปริมาณกรดอะมิโนชนิดแออล-ฟีนิโละลานีนในน้ำเลี้ยงเชื้อ *E. coli* BL21 (DE3) ที่ใช้กลีเซอรอลดิบ ความเข้มข้น 50 กรัมต่อลิตรเป็นแหล่งคาร์บอน (การทดลองช้ำที่ 3)



ตารางผนวกที่ จ1 ค่าการวิเคราะห์ปริมาณสบู่ในชั้นกลีเซอรอล

ค่าพีอีของกลีเซอรอล	เปอร์เซ็นต์ปริมาณสบู่ในชั้นกลีเซอรอล (เปอร์เซ็นต์โดยน้ำหนัก)			ค่าเฉลี่ย
	ชั้นที่1	ชั้นที่2	ชั้นที่3	
พีอีช2	-	-	-	-
พีอีช3	-	-	-	-
พีอีช 4	0.3	0.3	0.3	0.3
พีอีช5	0.5	0.5	0.5	0.5
พีอีช6	0.9	0.8	0.8	0.8
กลีเซอรอลดิบ(พีอีช 12)	7.9	7.9	7.9	7.9

ตารางผนวกที่ จ2 ค่าการวิเคราะห์ปริมาณถ้าในชั้นกลีเซอรอล

ค่าพีอีของกลีเซอรอล	เปอร์เซ็นต์ปริมาณสบู่ในชั้นกลีเซอรอล (เปอร์เซ็นต์โดยน้ำหนัก)			ค่าเฉลี่ย
	ชั้นที่1	ชั้นที่2	ชั้นที่3	
พีอีช2	2.54	2.53	2.58	2.55
พีอีช3	2.60	2.60	2.56	2.59
พีอีช 4	2.62	2.65	2.67	2.65
พีอีช5	2.72	2.83	2.77	2.77
พีอีช6	2.84	2.88	2.78	92.2
กลีเซอรอลดิบ(พีอีช 12)	3.86	3.94	3.91	3.90

ตารางผนวกที่ จ3 ค่าการวิเคราะห์ค่าความบริสุทธิ์ของกลีเซอรอล

ค่าพีอีของกลีเซอรอล เปอร์เซ็นต์ปริมาณสบู่ในชั้นกลีเซอรอล (เปอร์เซ็นต์โดยน้ำหนัก)

	ช้าที่1	ช้าที่2	ช้าที่3	ค่าเฉลี่ย
พีอีช 2	91	91	91	91
พีอีช 3	91	92	91	91
พีอีช 4	86	85	87	86
พีอีช 5	84	84	84	84
พีอีช 6	82	81	81	81
กลีเซอรอลดิบ(พีอีช 12)	76	76	75	76

ตารางผนวกที่ จ4 น้ำหนักเซลล์แห้งของ *E.coli* BI21 (DE3) ที่ได้จากการเพาะเลี้ยงในอาหารที่มีกลีเซอรอลชนิดต่าง ๆ ที่ความเข้มข้นต่าง ๆ เป็นแหล่งคาร์บอน

ชนิดของกลีเซอรอล (ความเข้มข้น กรัมต่อลิตร)	น้ำหนักเซลล์แห้ง (กรัมต่อลิตร)			
	การทดลองครั้งที่1	การทดลองครั้งที่2	การทดลองครั้งที่3	เฉลี่ย
กลีเซอรอลบริสุทธิ์				
5	1.57	1.72	1.75	1.68
10	1.99	2.05	1.88	1.97
30	1.84	1.79	1.96	1.86
50	1.64	1.61	1.83	1.69
กลีเซอรอลพีเอช 2				
5	1.67	1.82	1.60	1.70
10	1.90	2.13	1.99	2.01
30	1.96	1.99	1.86	1.94
50	1.74	1.73	1.85	1.77
กลีเซอรอลพีเอช 3				
5	1.62	1.80	1.82	1.75
10	2.05	2.16	1.96	2.06
30	1.97	2.00	1.94	1.97
50	1.78	1.82	1.92	1.84
กลีเซอรอลพีเอช 4				
5	1.71	1.81	1.77	1.76
10	2.04	2.01	2.22	2.09
30	1.91	1.99	2.14	2.01
50	1.72	1.91	1.93	1.85
กลีเซอรอลพีเอช 5				
5	1.80	1.86	1.78	1.81
10	2.03	2.11	2.19	2.11
30	1.96	2.07	2.17	2.07
50	1.77	1.96	1.87	1.87

ตารางผนวกที่ จ4 (ต่อ)

ชนิดของกลีเซอรอล (ความเข้มข้น grammต่อลิตร)	นำหน้าเซลล์แห้ง (grammต่อลิตร)				
	การทดลองครั้งที่1	การทดลองครั้งที่2	การทดลองครั้งที่3	เฉลี่ย	
กลีเซอรอลพีเอช 6					
5	1.89	1.88	1.71	1.83	
10	2.05	2.11	2.23	2.13	
30	2.07	2.15	2.15	1.12	
50	1.88	2.00	1.94	1.94	
กลีเซอรอลดิบ					
5	1.83	1.79	1.92	1.85	
10	2.75	2.83	2.80	2.79	
30	3.47	3.37	3.56	3.47	
50	2.43	2.51	2.67	2.54	

ตารางผนวกที่ จ5 ปริมาณกรดอะมิโนชนิดแอล-ฟินิโลลาเน็น ที่ได้จากการเพาะเลี้ยง *E.coli* BI21 (DE3) ในอาหารที่มีกลีเซอรอลชนิดต่าง ๆ ที่ความเข้มข้นต่าง ๆ เป็นแหล่งคาร์บอน

ชนิดของกลีเซอรอล (ความเข้มข้น กรัมต่อลิตร)	ปริมาณกรดอะมิโนชนิดแอล-ฟินิโลลาเน็น (มิลลิกรัมต่อลิตร)			
	การทดลองครั้งที่ 1	การทดลองครั้งที่ 2	การทดลองครั้งที่ 3	เฉลี่ย
กลีเซอรอลบริสุทธิ์				
5	1.50	1.60	1.70	1.60
10	32.10	32.70	33.40	32.70
30	25.40	25.80	25.80	25.70
50	13.20	13.60	13.40	13.40
กลีเซอรอลพี.โอ.ช 3				
5	4.40	3.60	4.30	4.10
10	31.70	32.00	34.30	32.70
30	29.00	26.80	27.50	27.80
50	18.20	17.50	17.90	17.90
กลีเซอรอลพี.โอ.ช 5				
5	3.60	4.20	3.90	3.90
10	40.30	40.80	40.00	40.40
30	30.40	30.40	30.90	30.60
50	18.00	18.40	18.20	18.20
กลีเซอรอลดิบ				
5	4.30	4.10	4.10	4.20
10	52.20	51.70	53.10	52.40
30	55.30	55.30	54.90	55.20
50	31.80	33.20	33.00	32.70

ตารางผนวกที่ จ6 น้ำหนักเซลล์แห้งของ *Escherichia coli* BL21 (DE3) ที่ได้จากเพาะเลี้ยงในอาหารที่ทำการแยกสูญออกเบรี่ยบเทียบ กับอาหารที่ไม่ได้แยกสูญออก

ชนิดของอาหารเลี้ยงเชื้อ	น้ำหนักเซลล์แห้ง (กรัมต่อลิตร)			
	การทดลองครั้งที่1	การทดลองครั้งที่2	การทดลองครั้งที่3	เฉลี่ย
อาหารที่มีสูญ	2.78	2.89	2.85	2.84
อาหารที่ถูกแยกสูญออก	1.99	1.92	2.01	1.97

ตารางผนวกที่ จ7 น้ำหนักเซลล์แห้งของ *Escherichia coli* BL21 (DE3) ที่ได้จากเพาะเลี้ยงในอาหารที่มีโซเดียมซัลเฟตความเข้มข้นต่าง ๆ

ความเข้มข้นของโซเดียมซัลเฟตในอาหาร (กรัมต่อลิตร)	น้ำหนักเซลล์แห้ง (กรัมต่อลิตร)			
	การทดลอง ครั้งที่1	การทดลอง ครั้งที่2	การทดลอง ครั้งที่3	เฉลี่ย
0	2.03	1.96	2.03	2.01
0.5	2.04	2.09	2.17	2.10
1	2.12	2.13	2.08	2.11
5	2.14	2.19	2.26	2.20

ประวัติการศึกษา และการทำงาน

ชื่อ – นามสกุล	ศุภชัย ฤกษ์เกย์ม
วัน เดือน ปี ที่เกิด	21 เดือนเมษายน พ.ศ. 2527
สถานที่เกิด	กรุงเทพมหานคร
ประวัติการศึกษา	ระดับมัธยมศึกษา โรงเรียนเทพศิรินทร์ร่วมเกล้า ระดับอุดมศึกษา วท.บ. (เทคโนโลยีชีวภาพ) คณะวิทยาศาสตร์ มหาวิทยาลัยมหิดล พ.ศ. 2549 ได้รับทุนจากศูนย์ความเป็นเลิศแห่งชาติด้านปีโตรเลียม ปีโตรเคมีและวัสดุขั้นสูง ภาควิชาวิศวกรรมเคมี คณะวิศวกรรมศาสตร์ มหาวิทยาลัยเกษตรศาสตร์
ทุนการศึกษาที่ได้รับ	